

Supplementary Information

Studies directed toward the synthesis of hedycoropyrans: total synthesis of des-hydroxy (-)-hedycoropyran B (*ent*- rhoiptelol B)

Priyanka Kataria,^{†,§} Rajesh Nomula,[†] and Ravindar Kontham^{*,†,§}

[†]Organic Chemistry Division, CSIR-National Chemical Laboratory, Dr. Homi Bhabha Road, Pune, 411008, India.

[§]Academy of Scientific and Innovative Research (AcSIR), Ghaziabad, 201002, India.

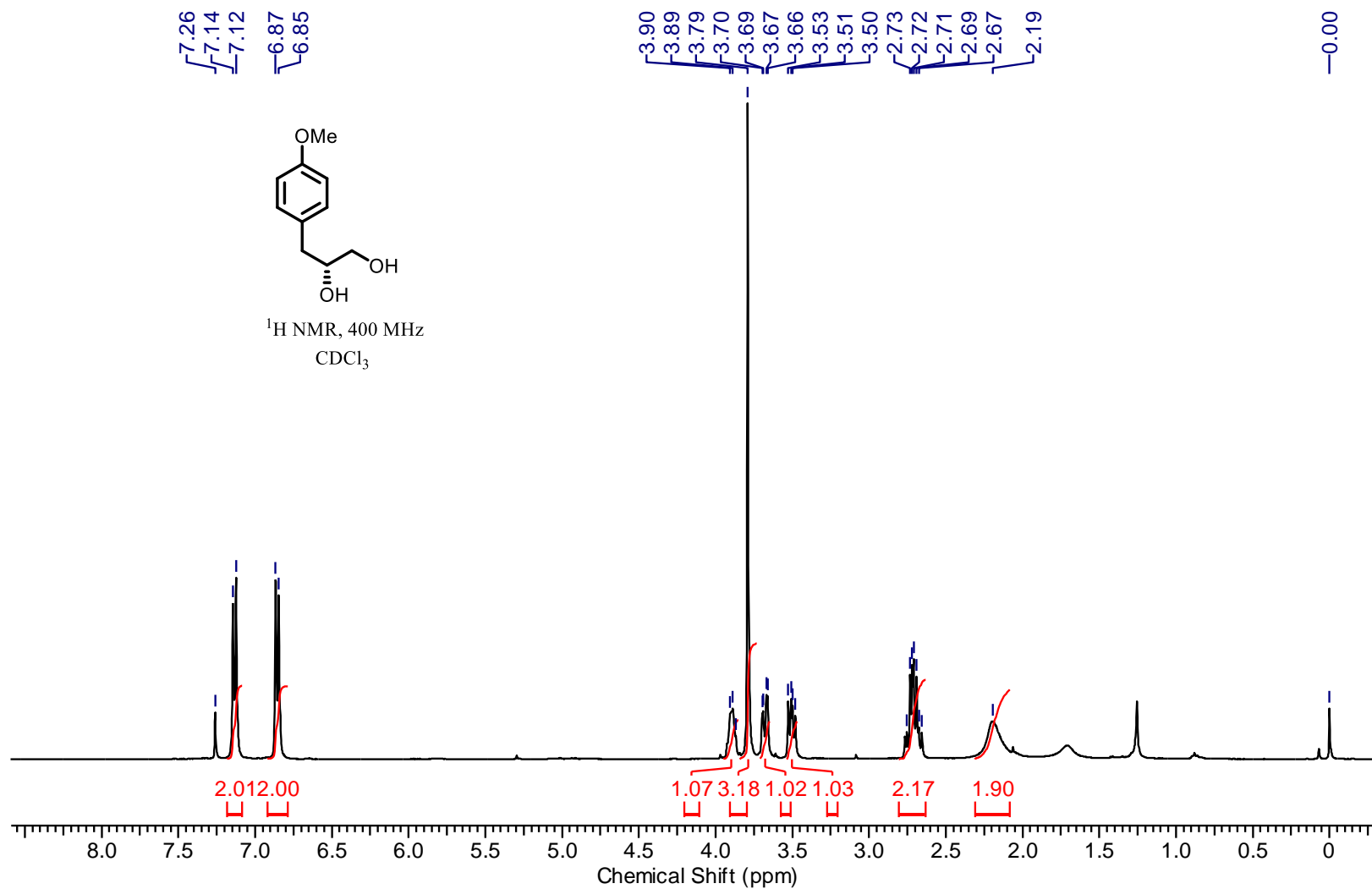
*E-mail: k.ravindar@ncl.res.in; konthamravindar@gmail.com

Table of Contents

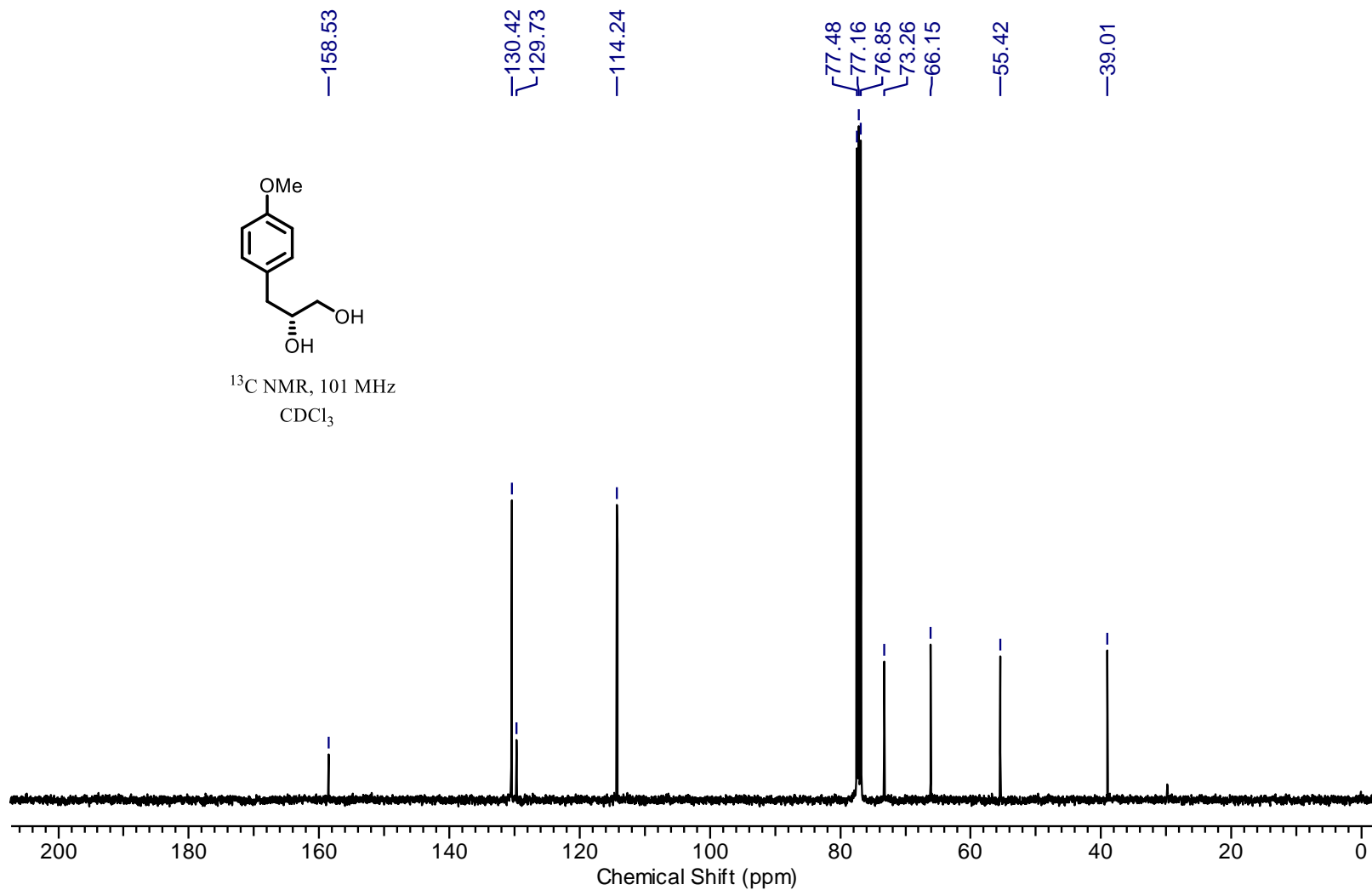
S. No	Contents	Page
1.	¹ H and ¹³ C NMR Spectra	S3-S113
2.	2D-NMR Spectra of 4-((2 <i>S</i> , 4 <i>R</i> , 6 <i>R</i>)-6-((<i>R</i>)-2-(4-((tert-butyldimethylsilyl)oxy)phenyl)-1-hydroxyethyl)-4-hydroxytetrahydro-2 <i>H</i> -pyran-2-yl)-2-methoxyphenyl 4-methylbenzenesulfonate (34)	S114-S118
3.	Table S1. NMR data comparison of synthesized, natural and first synthesis of rhoiptelol B	S119-S120

1. ^1H and ^{13}C NMR Spectra

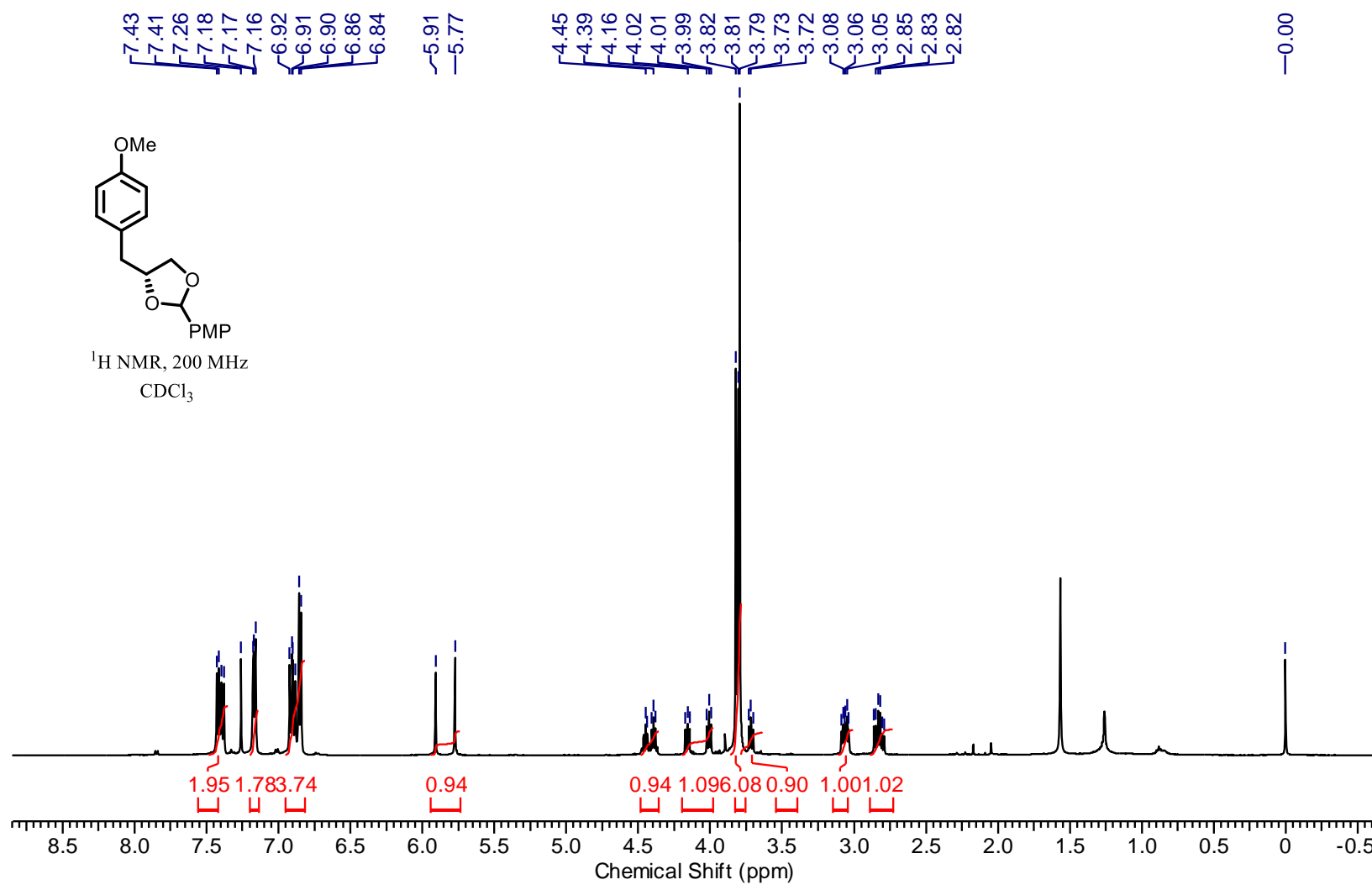
*(R)-3-(4-Methoxyphenyl)propane-1,2-diol (**S1**):*



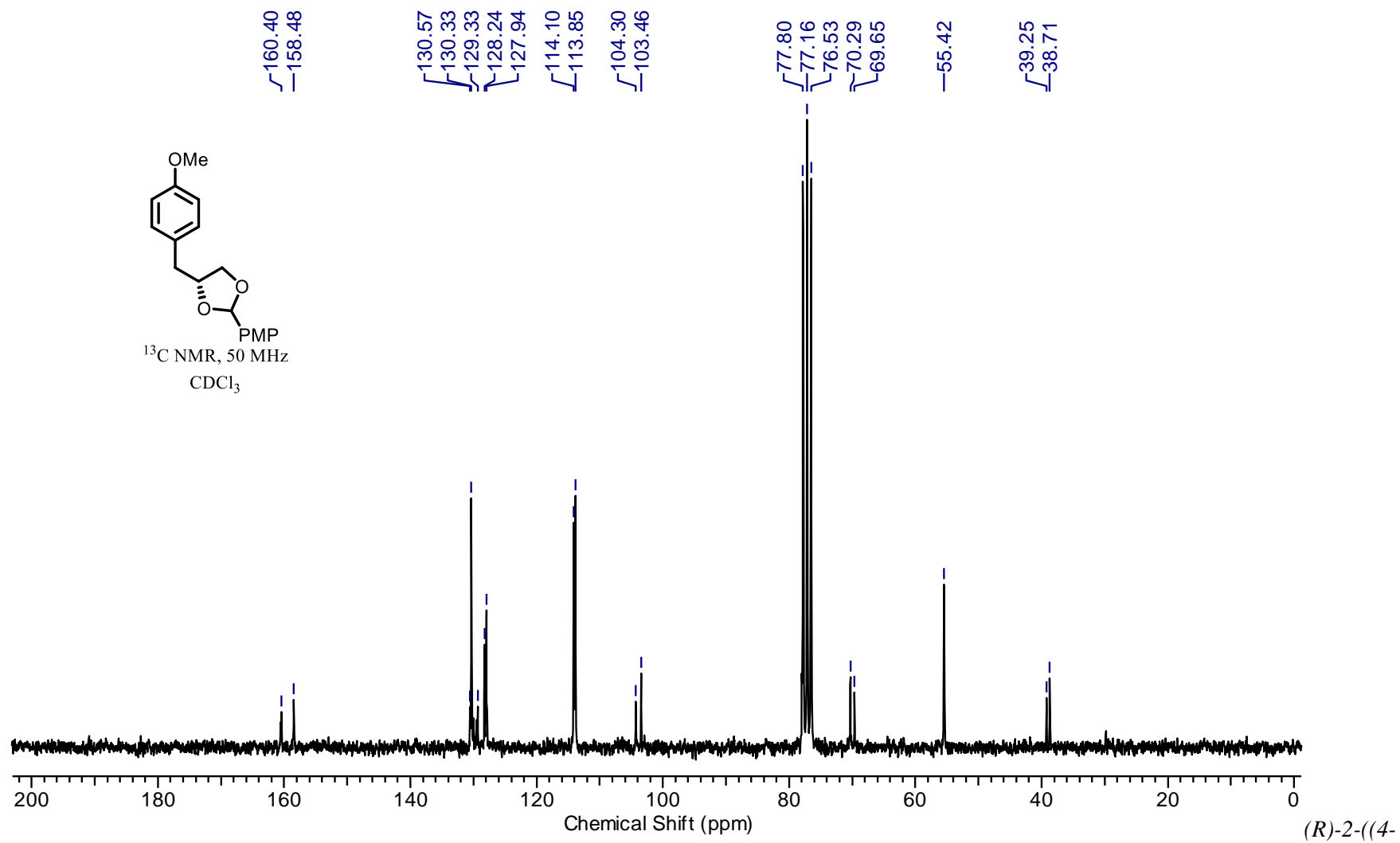
*(R)-3-(4-Methoxyphenyl)propane-1,2-diol (**S1**):*



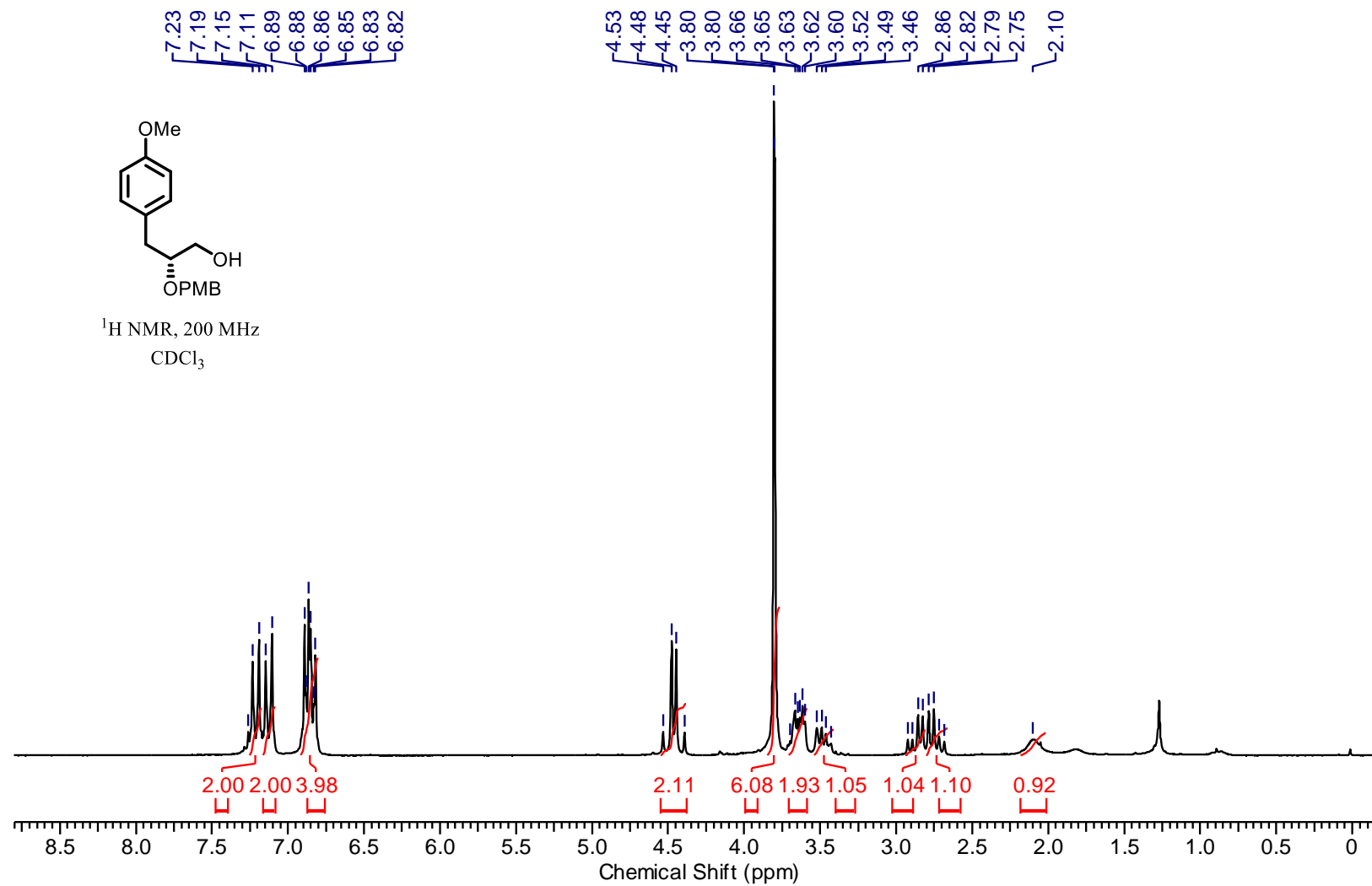
(4R)-4-(4-Methoxybenzyl)-2-(4-methoxyphenyl)-1,3-dioxolane (11):



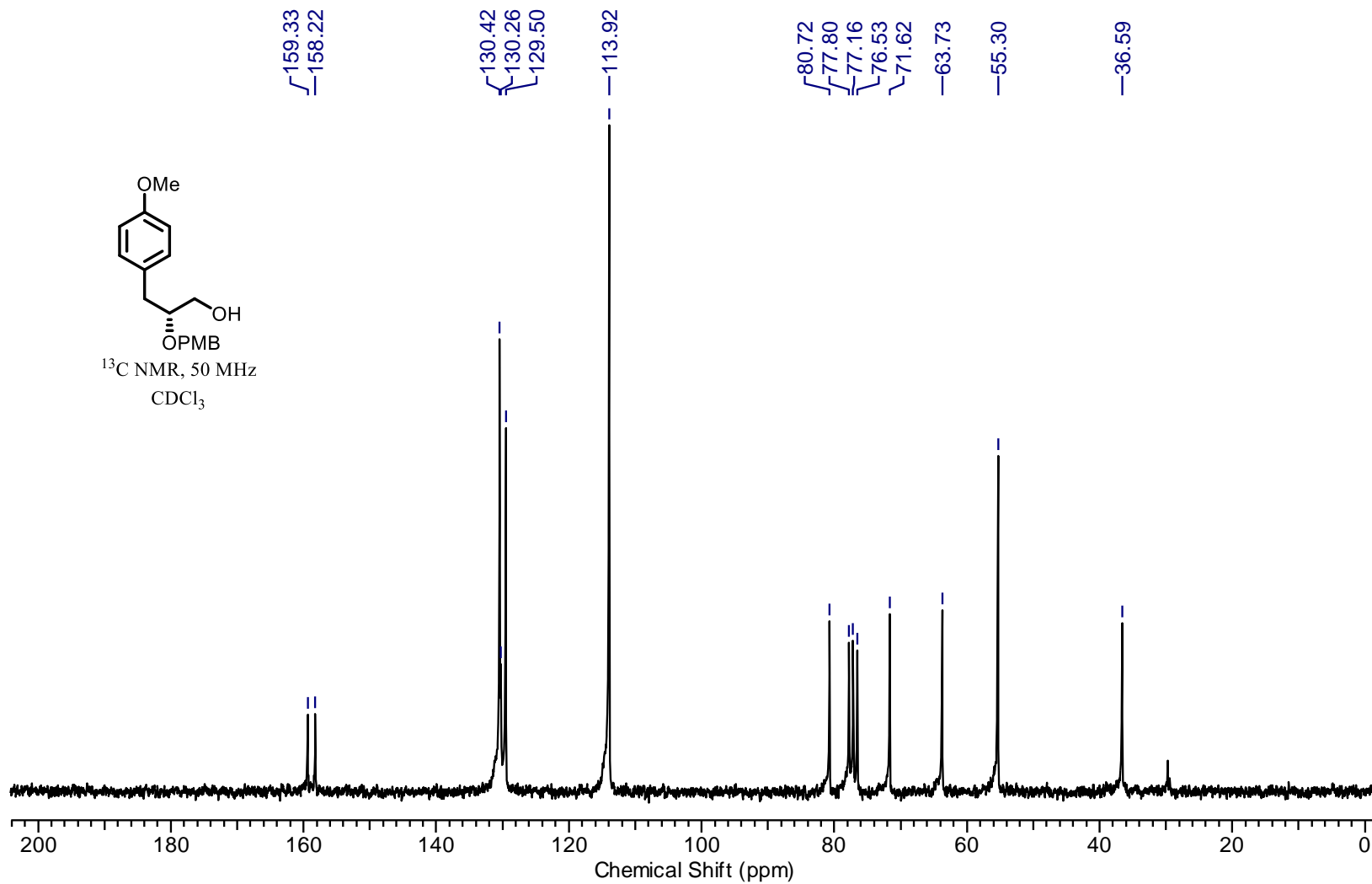
(4R)-4-(4-Methoxybenzyl)-2-(4-methoxyphenyl)-1,3-dioxolane (11):



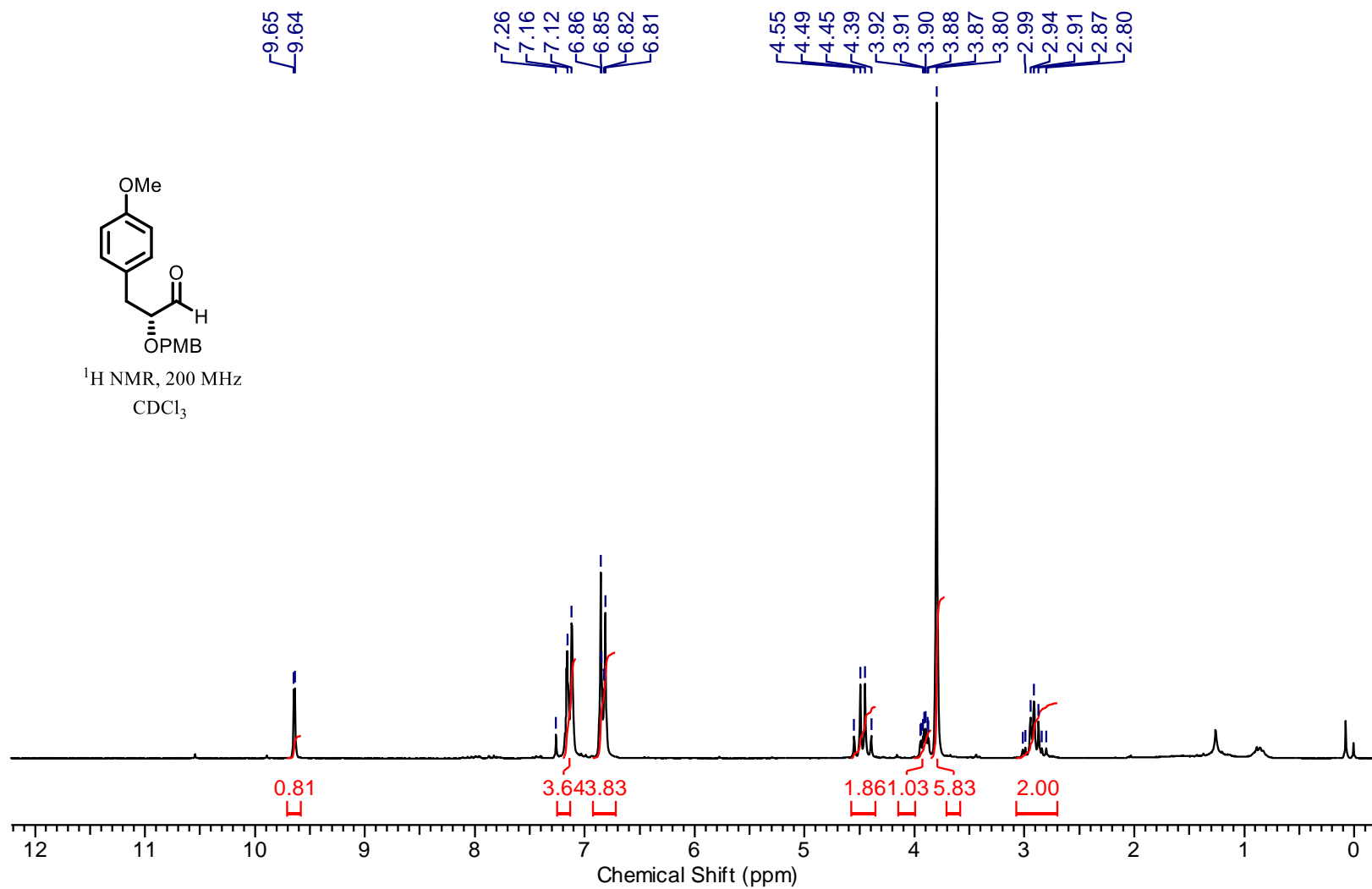
*Methoxybenzyl)oxy)-3-(4-methoxyphenyl)propan-1-ol (**S2**):*



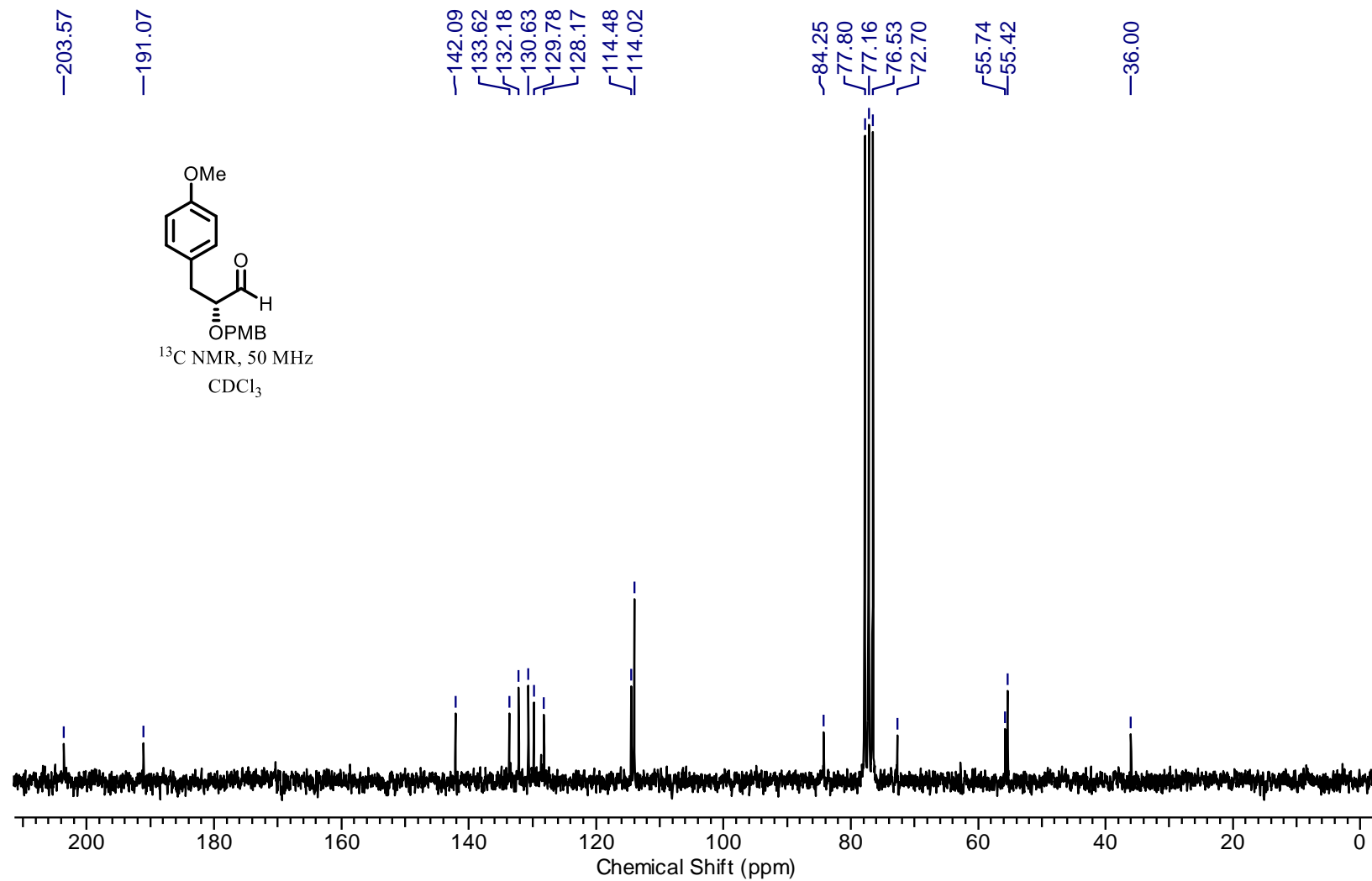
(R)-2-((4-Methoxybenzyl)oxy)-3-(4-methoxyphenyl)propan-1-ol (S2):



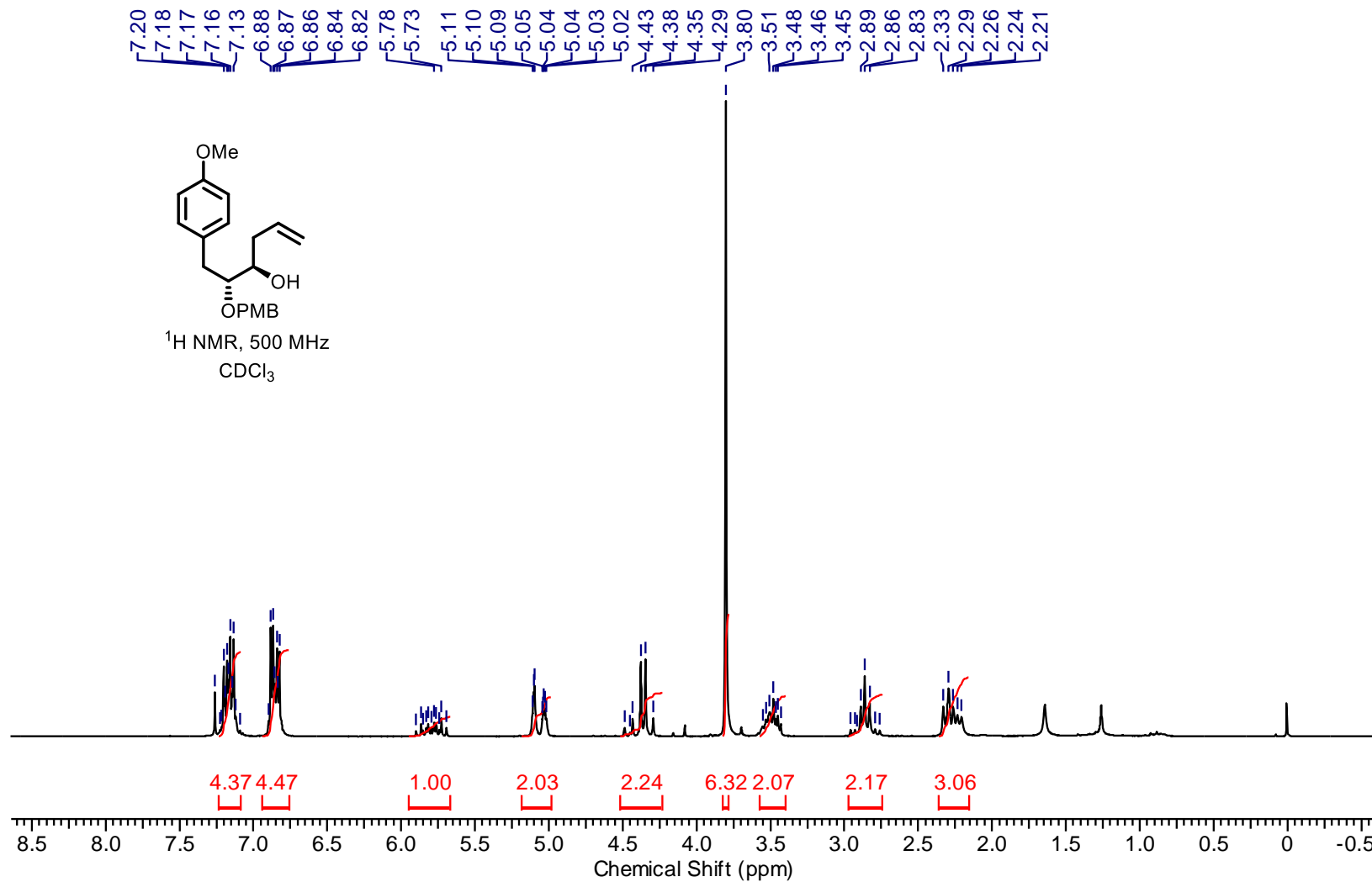
*(R)-2-((4-Methoxybenzyl)oxy)-3-(4-methoxyphenyl)propanal (**12**):*



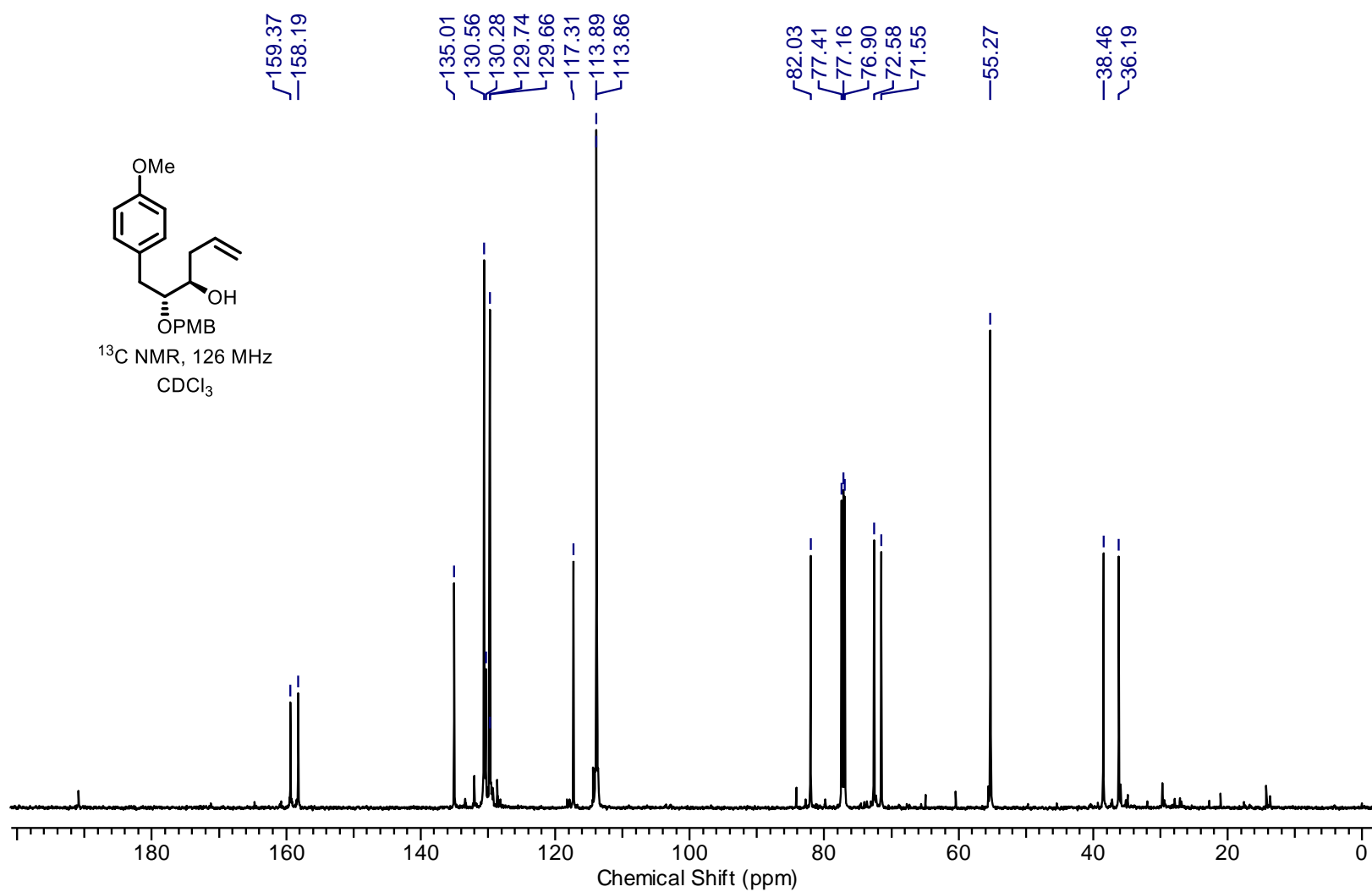
*(R)-2-((4-Methoxybenzyl)oxy)-3-(4-methoxyphenyl)propanal (**12**):*



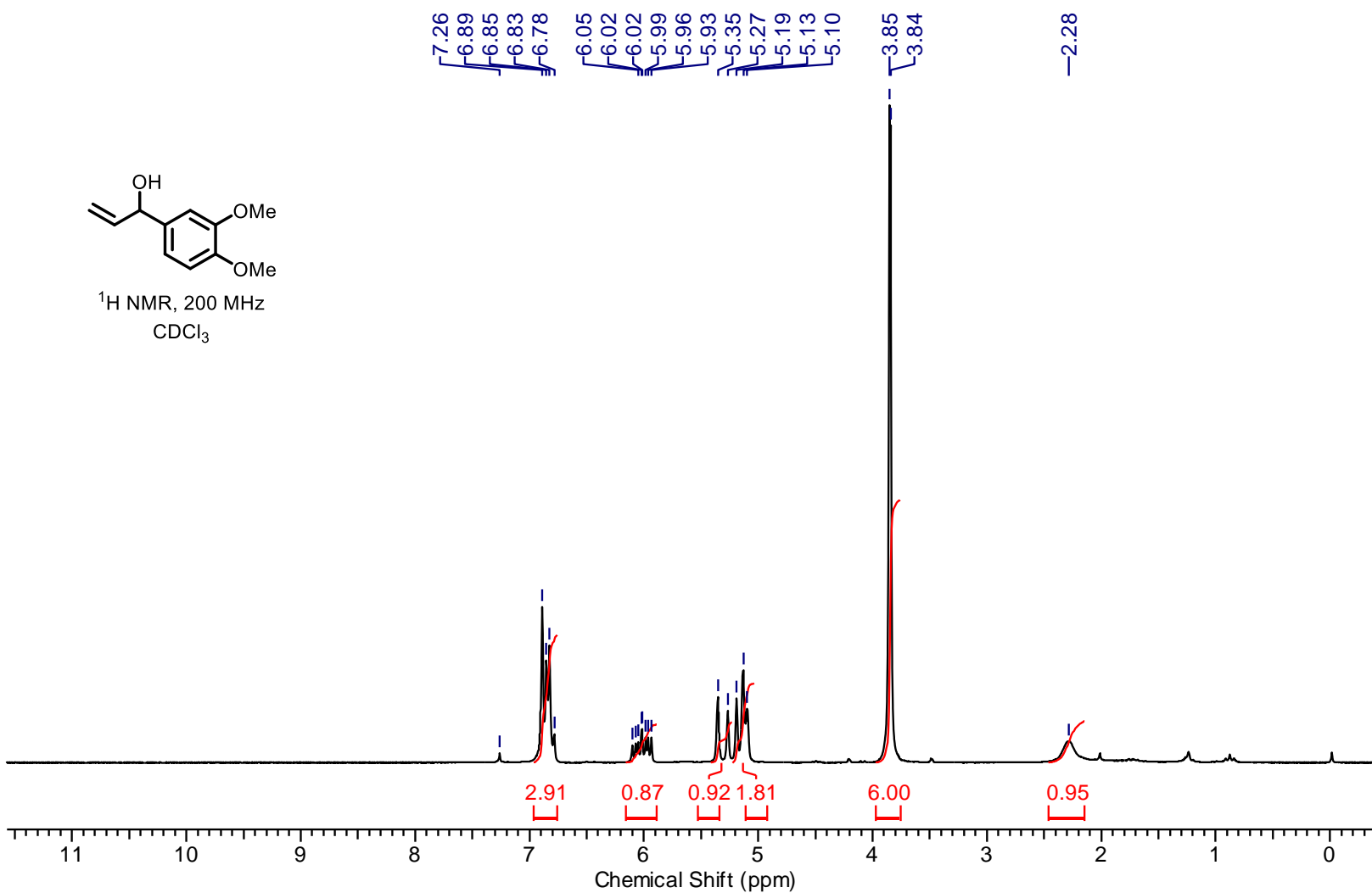
(2R, 3R)-2-((4-Methoxybenzyl)oxy)-1-(4-methoxyphenyl)hex-5-ene-3-ol (7):



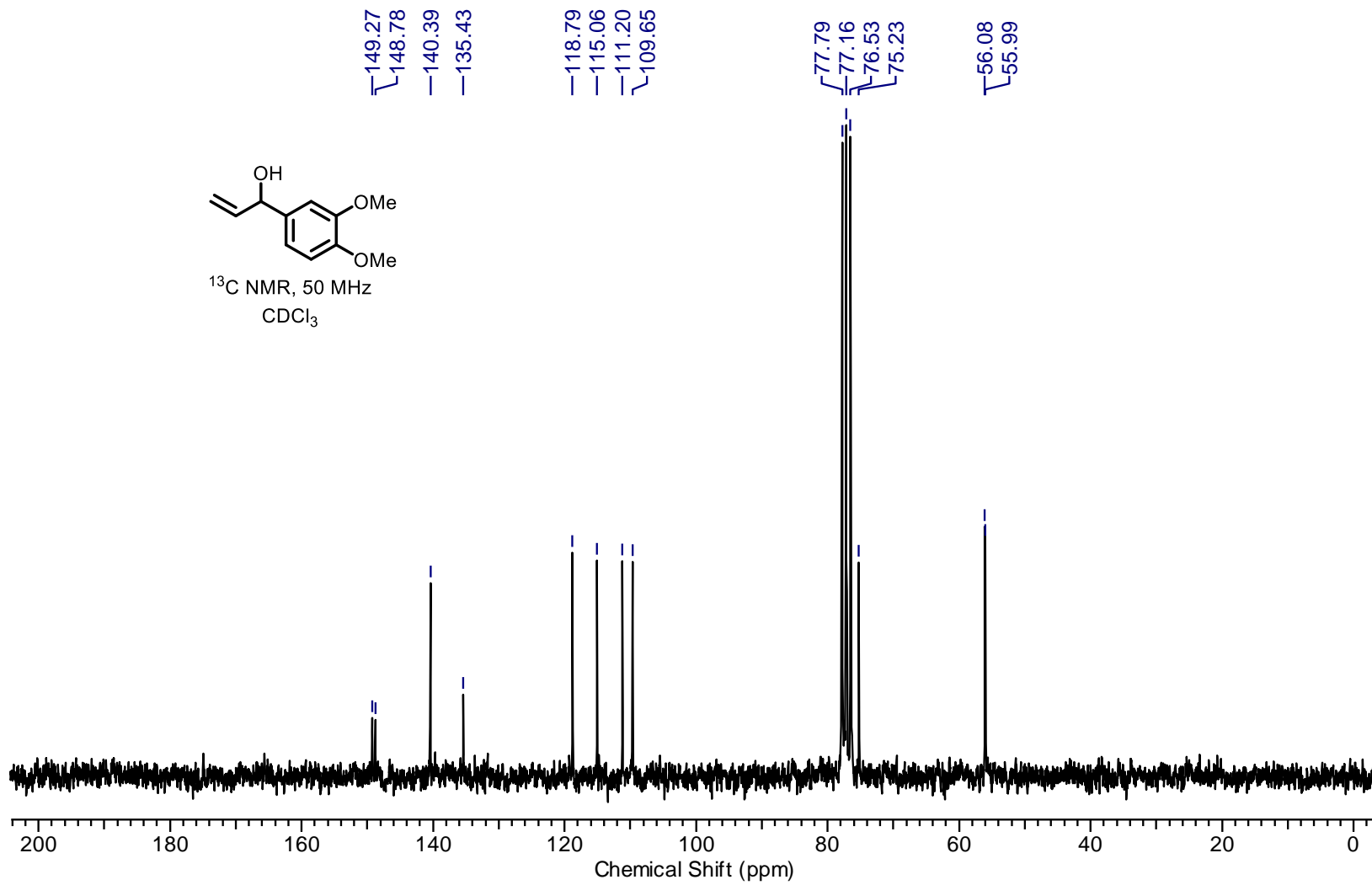
(2R, 3R)-2-((4-Methoxybenzyl)oxy)-1-(4-methoxyphenyl)hex-5-ene-3-ol (7):



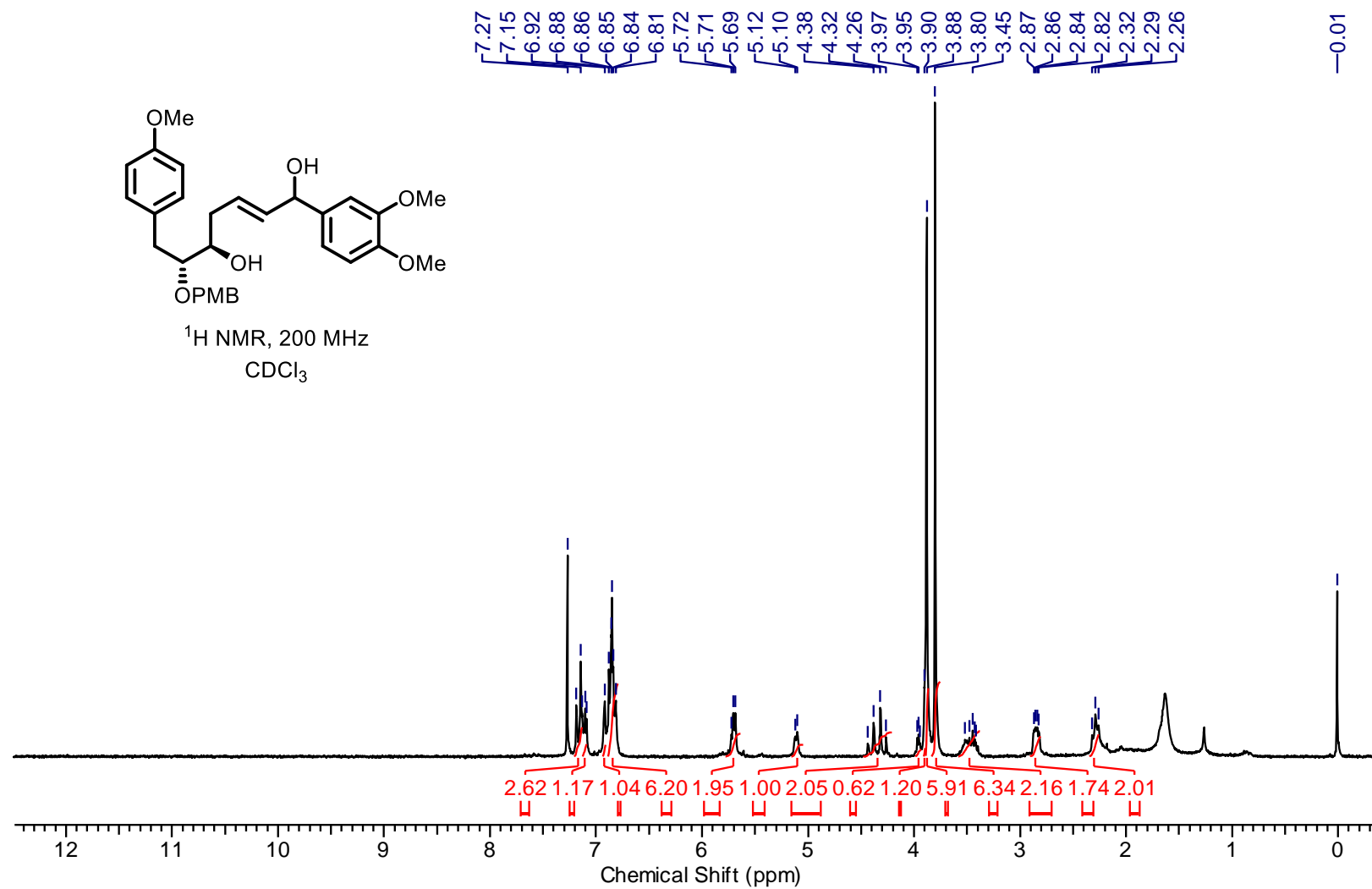
1-(3,4-Dimethoxyphenyl)prop-2-en-1-ol (8):



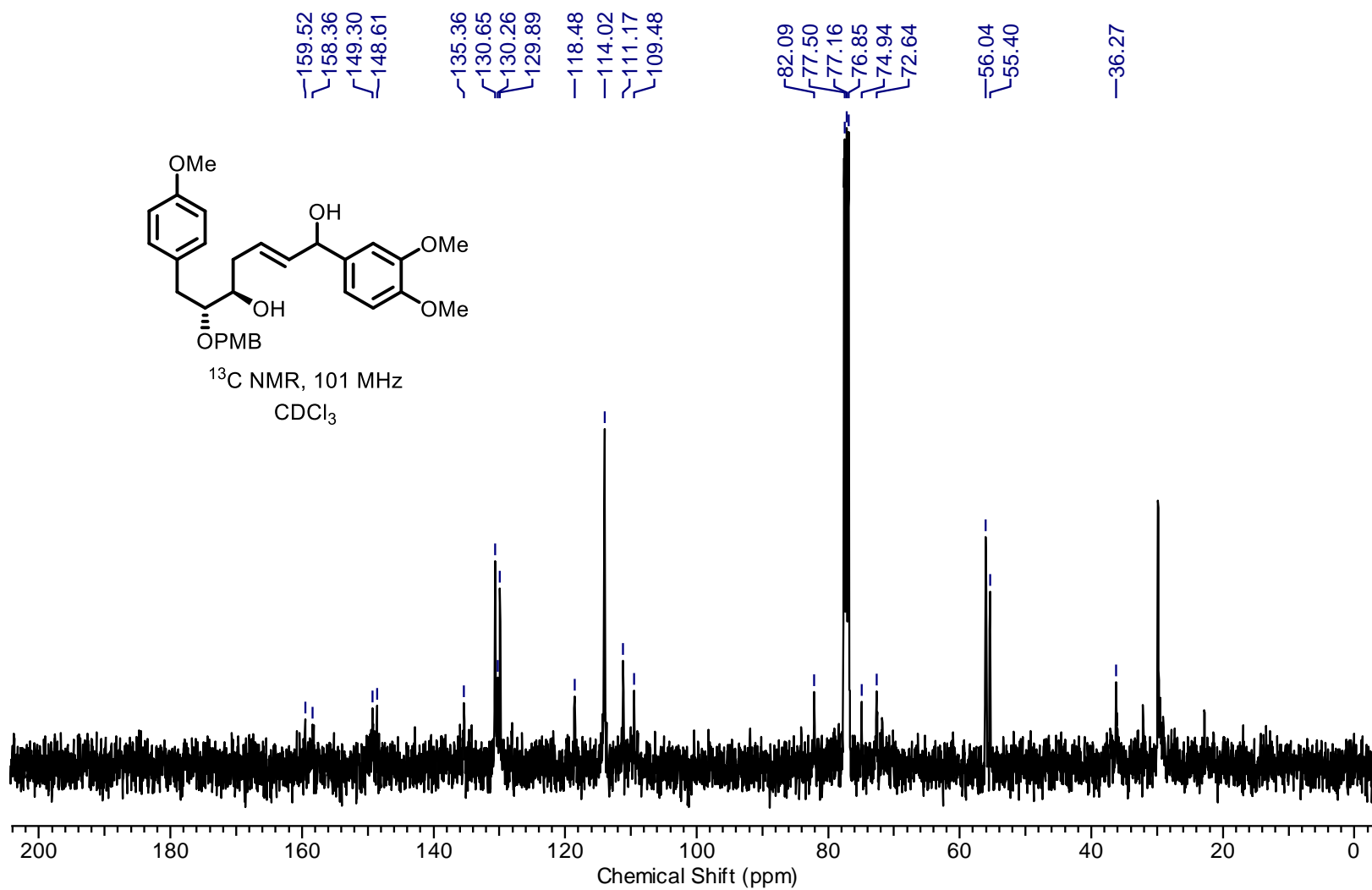
1-(3,4-Dimethoxyphenyl)prop-2-en-1-ol (8):



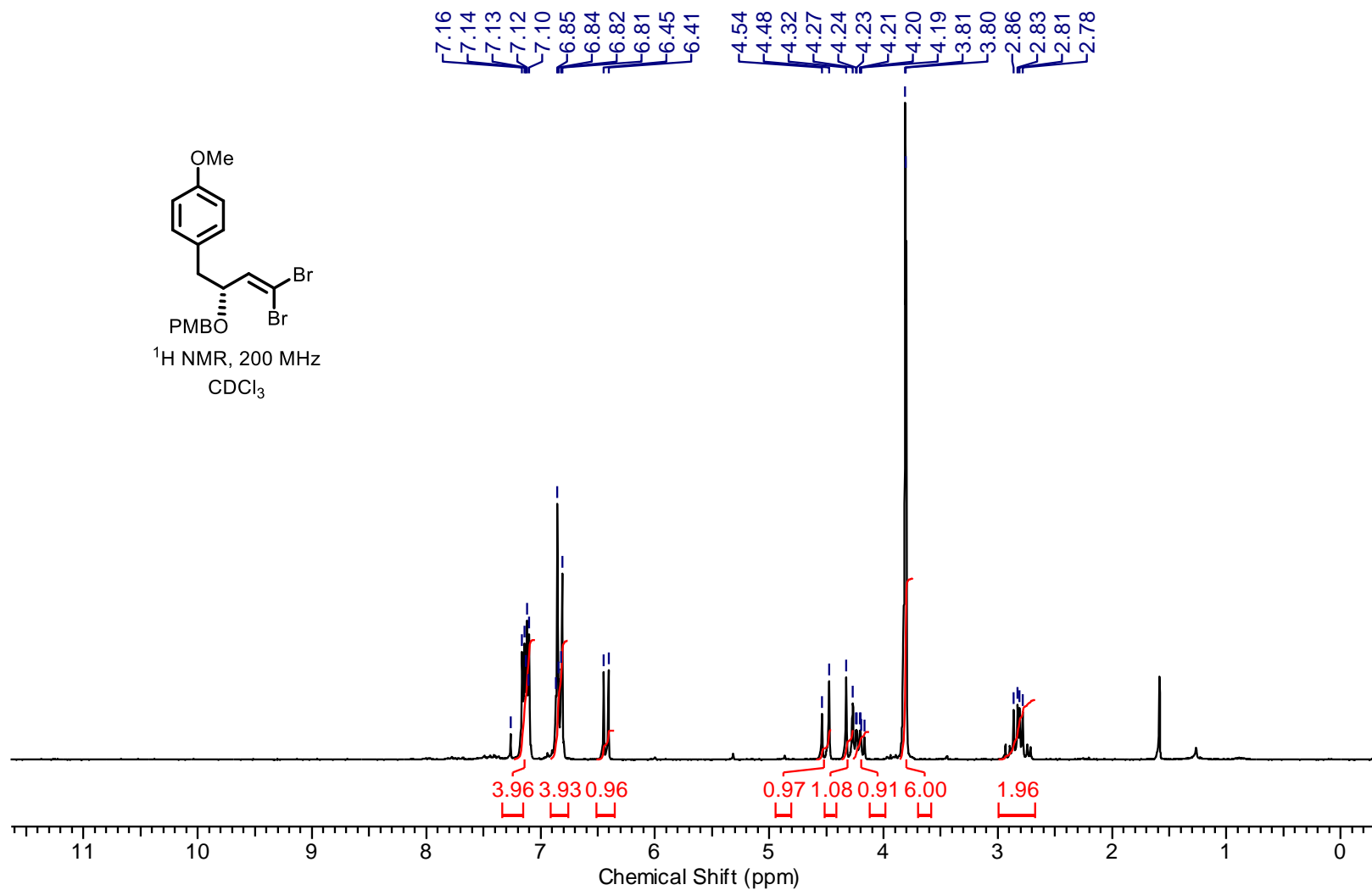
(5R, 6R, E)-1-(3,4-Dimethoxyphenyl)-6-((4-methoxybenzyl)oxy)-7-(4-methoxyphenyl)hept-2-ene-1,5-diol (6):



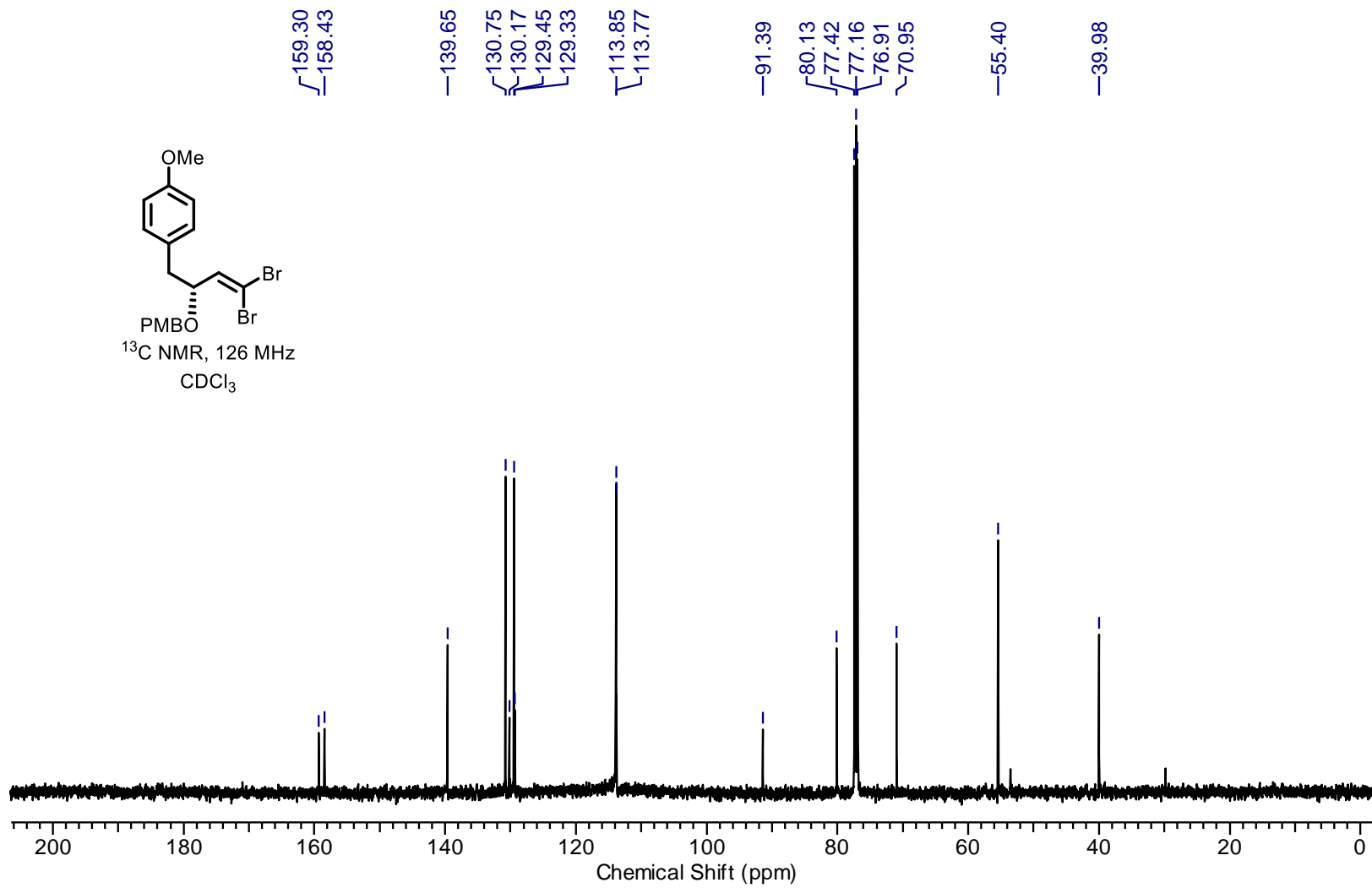
(5R, 6R, E)-1-(3,4-Dimethoxyphenyl)-6-((4-methoxybenzyl)oxy)-7-(4-methoxyphenyl)hept-2-ene-1,5-diol (6):



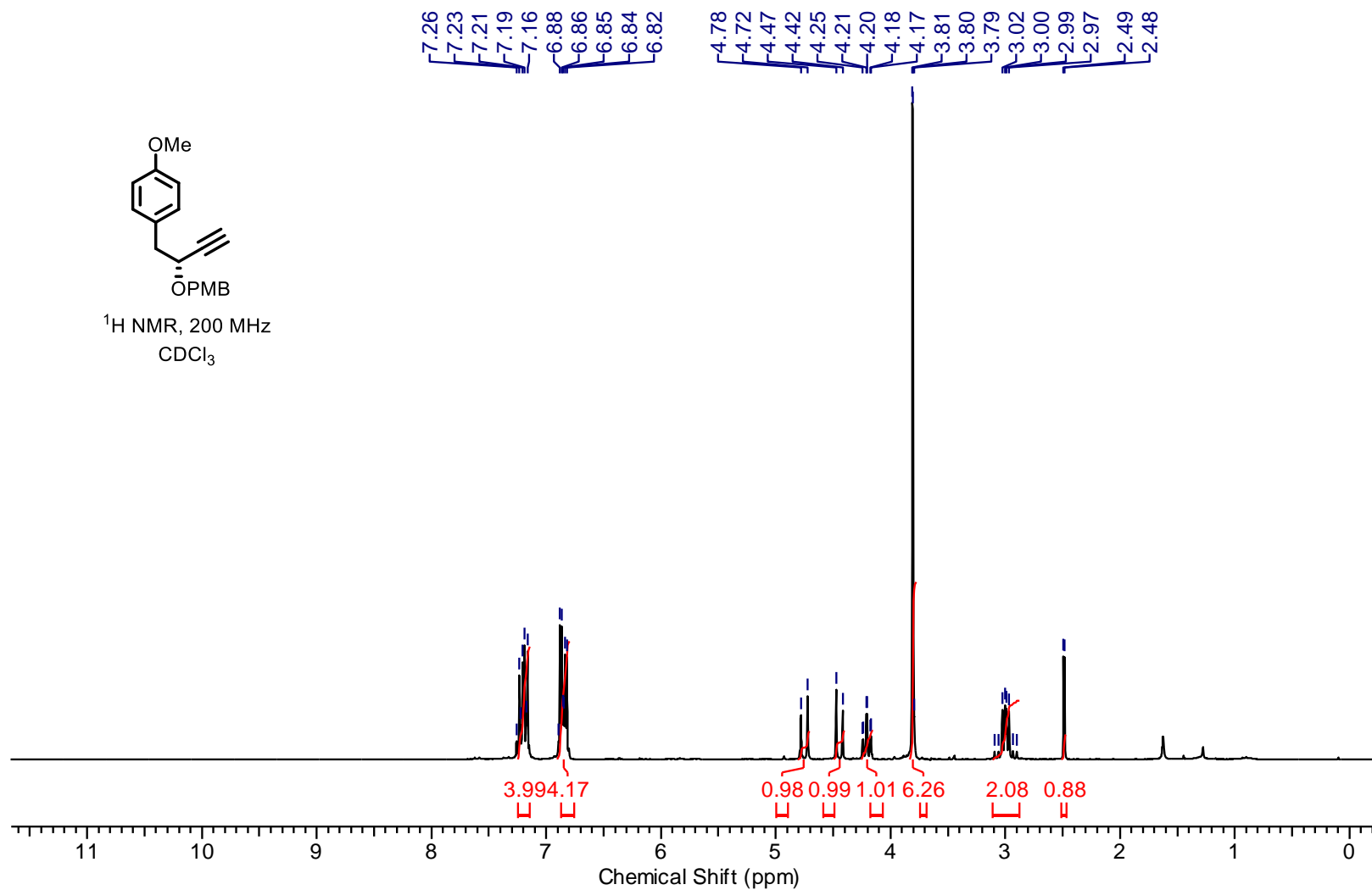
(R)-1-(((4,4-Dibromo-1-(4-methoxyphenyl)but-3-en-2-yl)oxy)methyl)-4-methoxybenzene (S3):



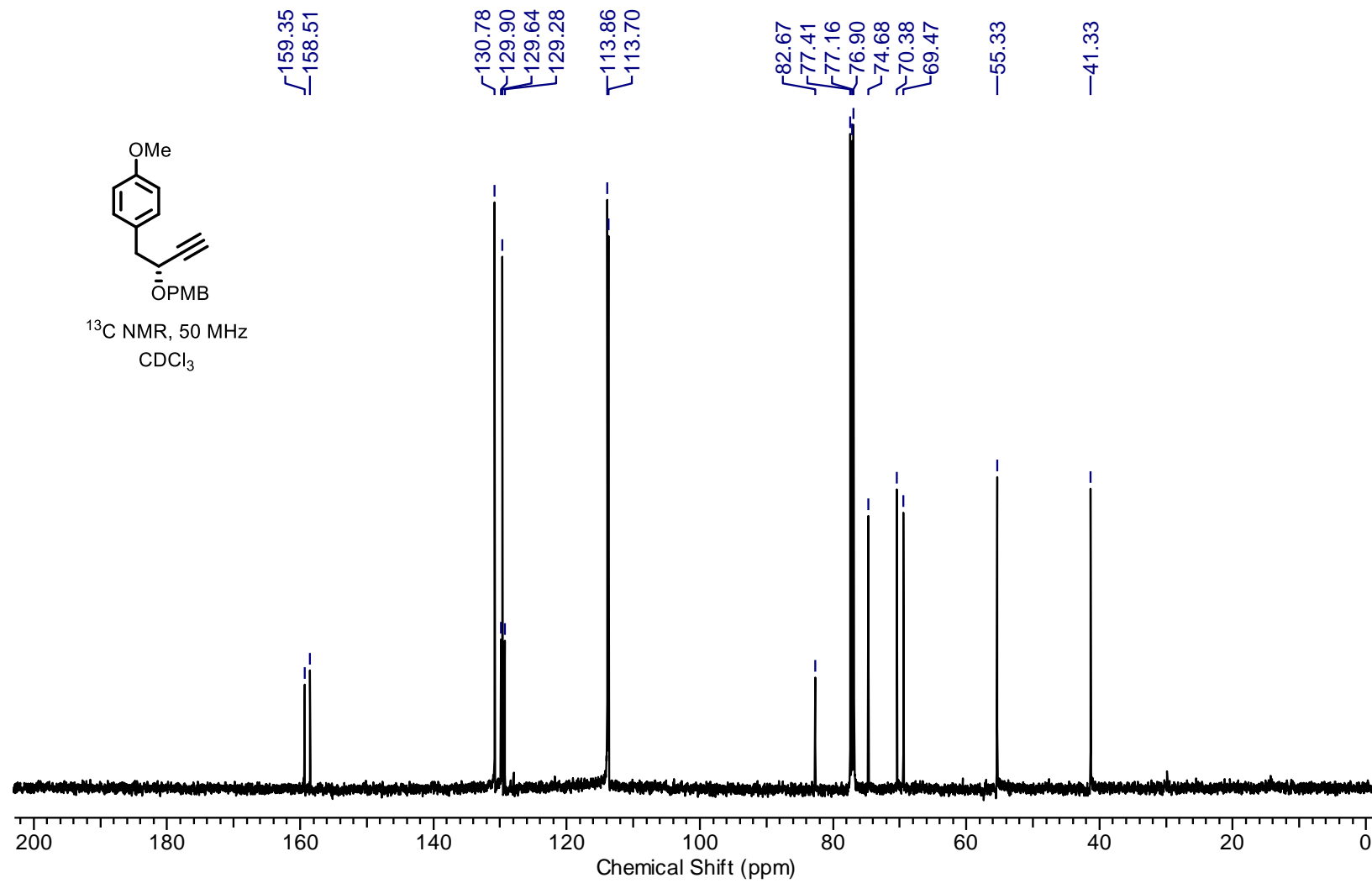
(R)-1-(((4,4-Dibromo-1-(4-methoxyphenyl)but-3-en-2-yl)oxy)methyl)-4-methoxybenzene (S3):



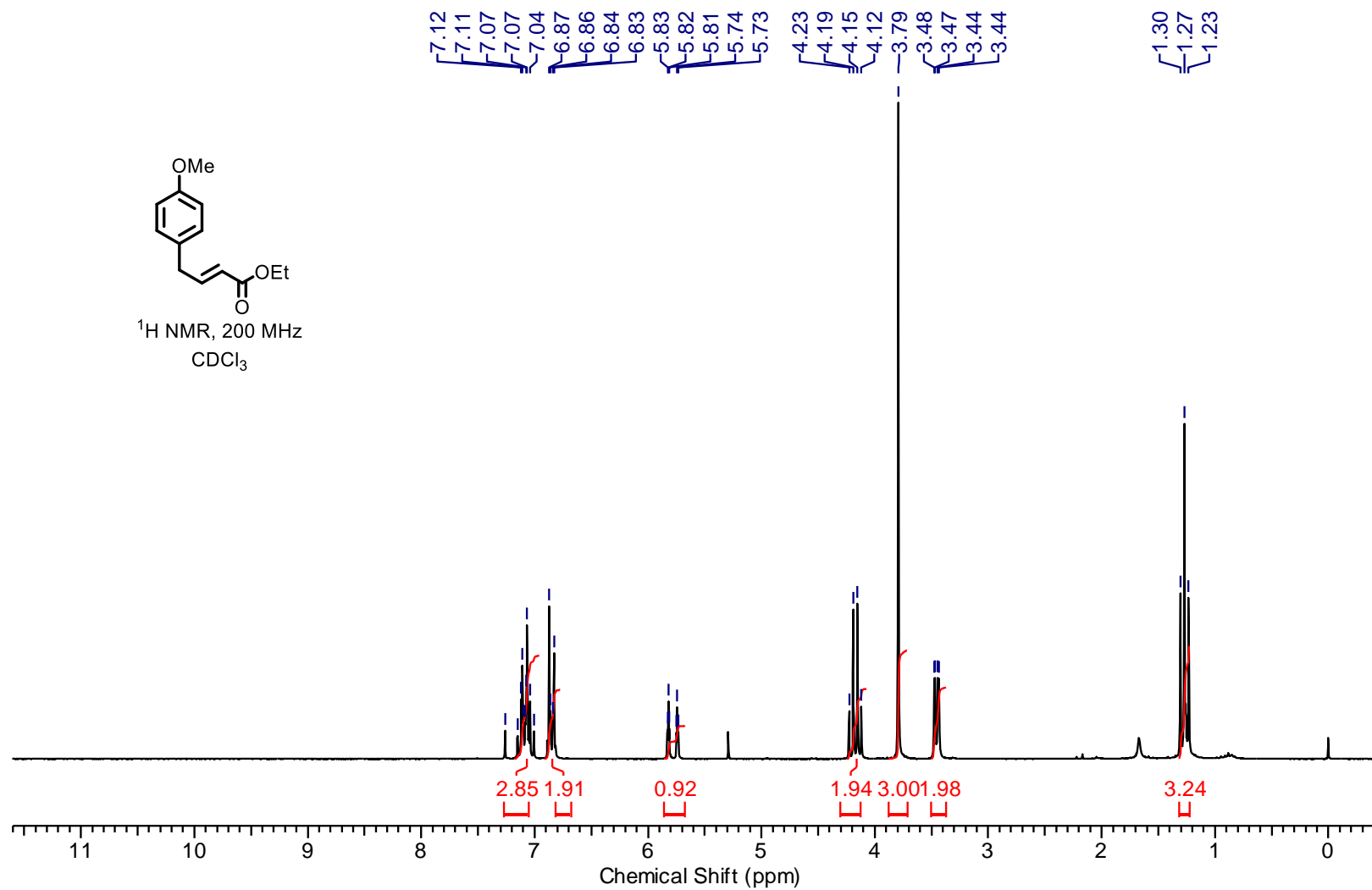
(R)-1-Methoxy-4-(2-((4-methoxybenzyl)oxy)but-3-yn-1-yl)benzene (15):



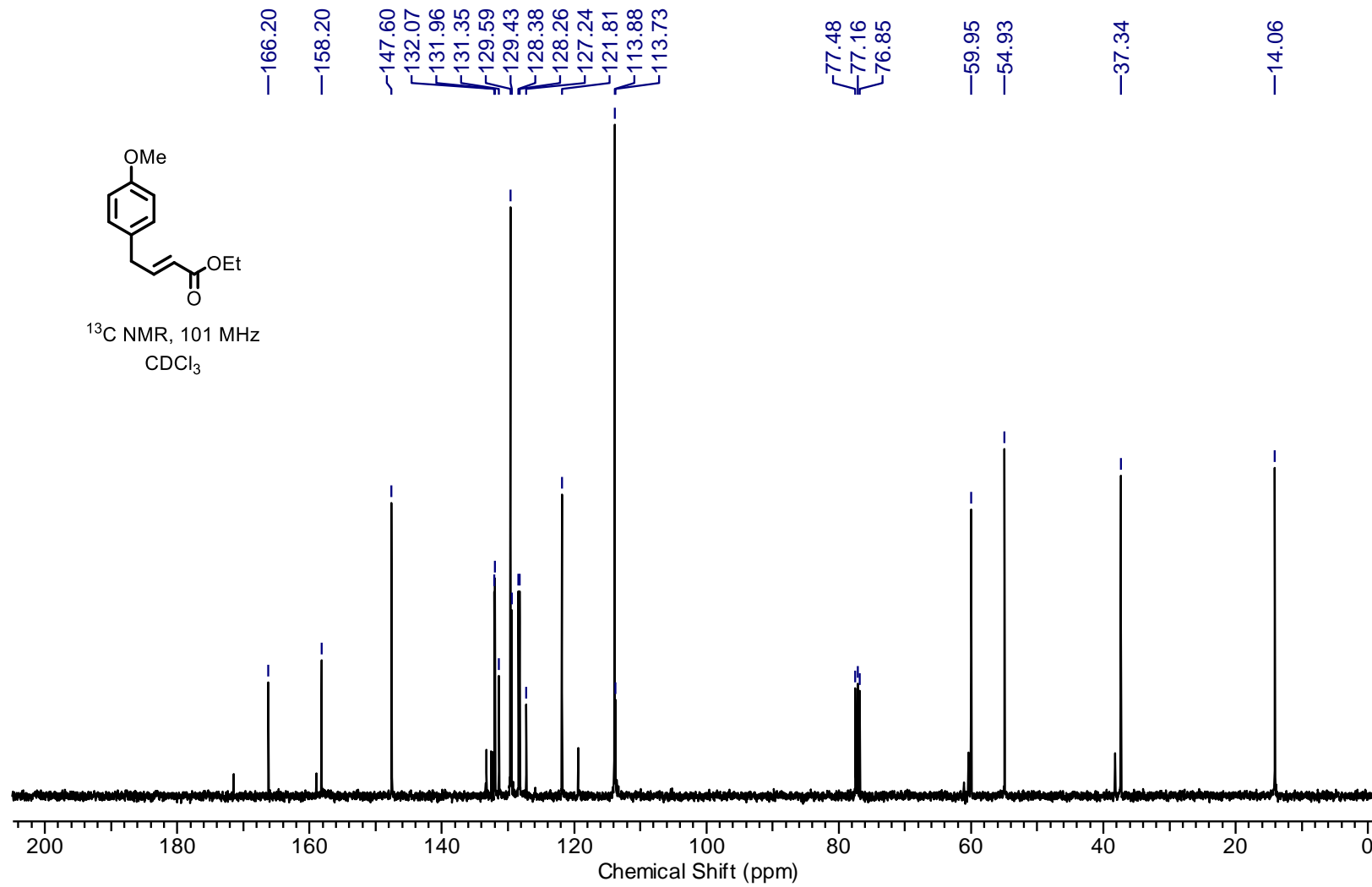
(R)-1-Methoxy-4-(2-((4-methoxybenzyl)oxy)but-3-yn-1-yl)benzene (15):



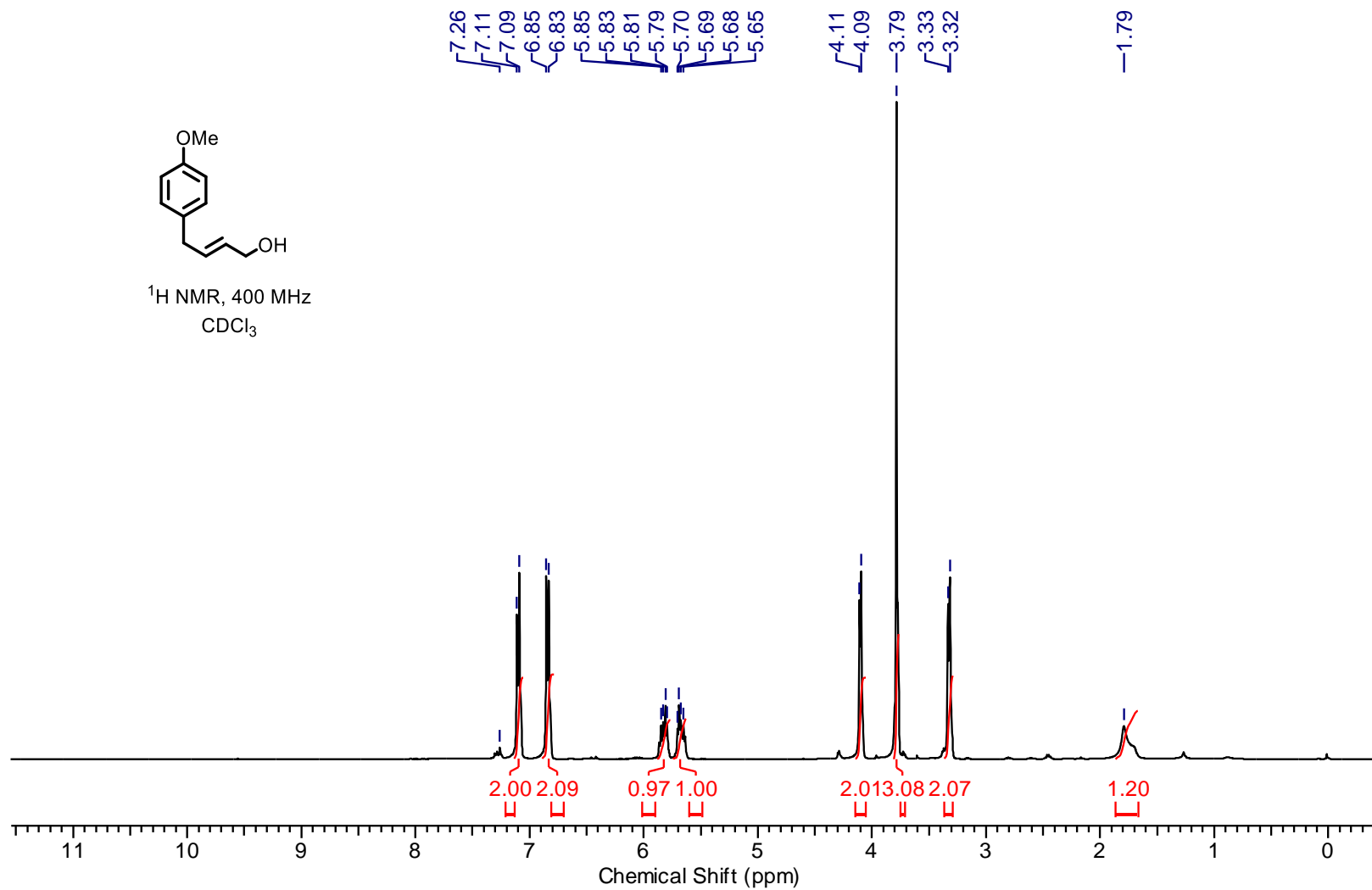
Ethyl (E)-4-(4-methoxyphenyl)but-2-enoate (**17**):



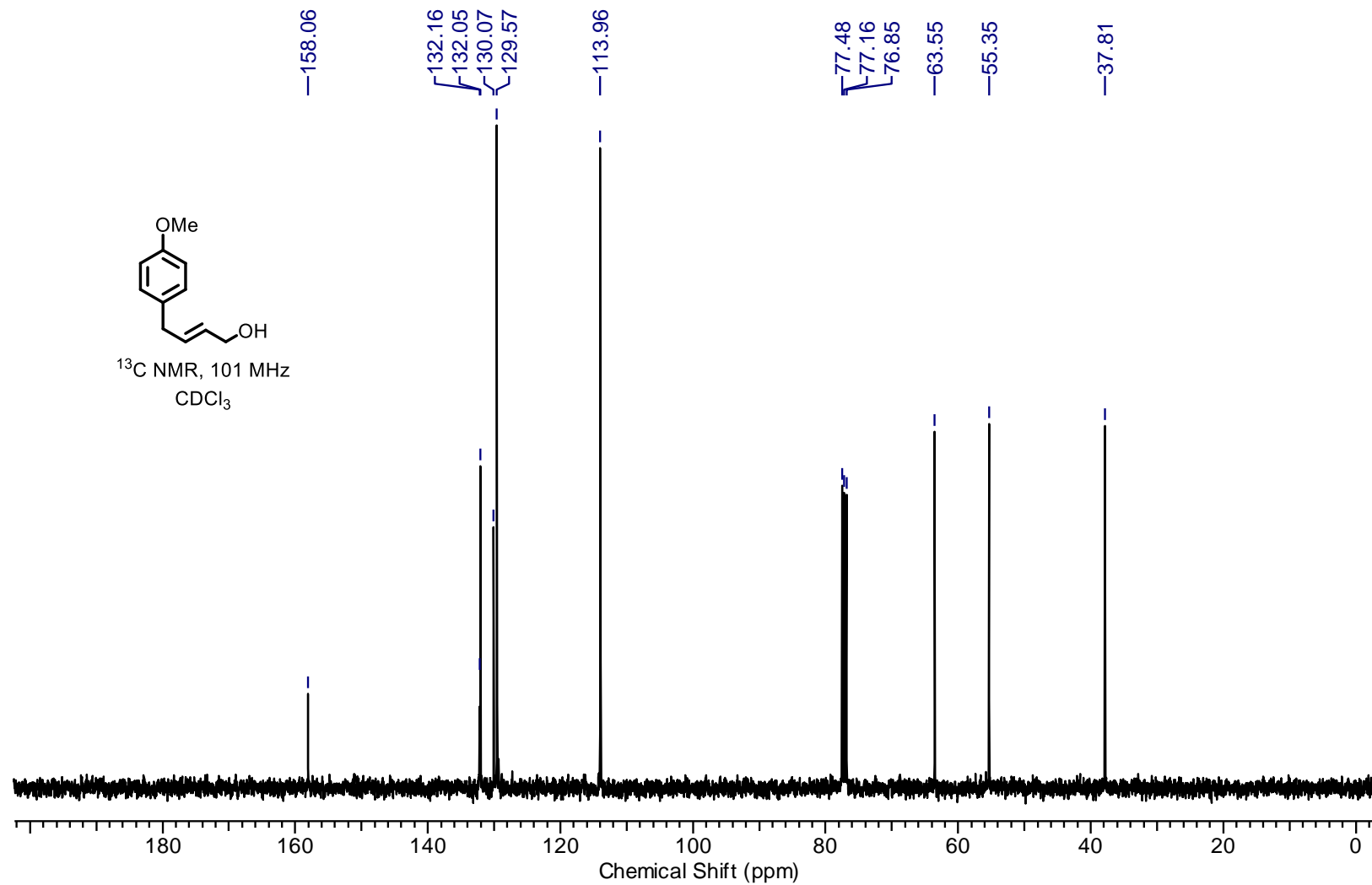
*Ethyl (E)-4-(4-methoxyphenyl)but-2-enoate (**17**):*



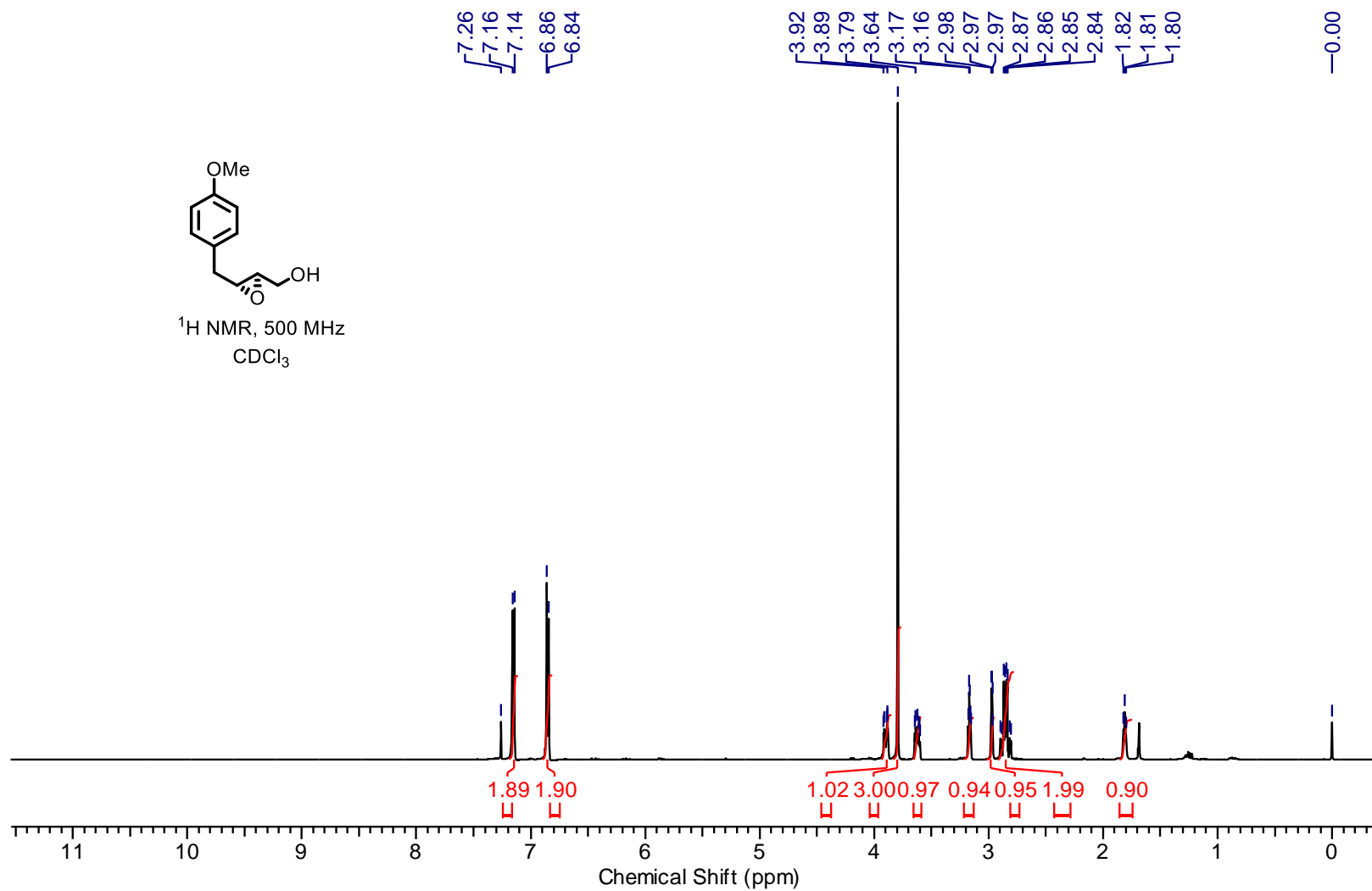
(E)-4-(4-Methoxyphenyl)but-2-en-1-ol (**S4**):



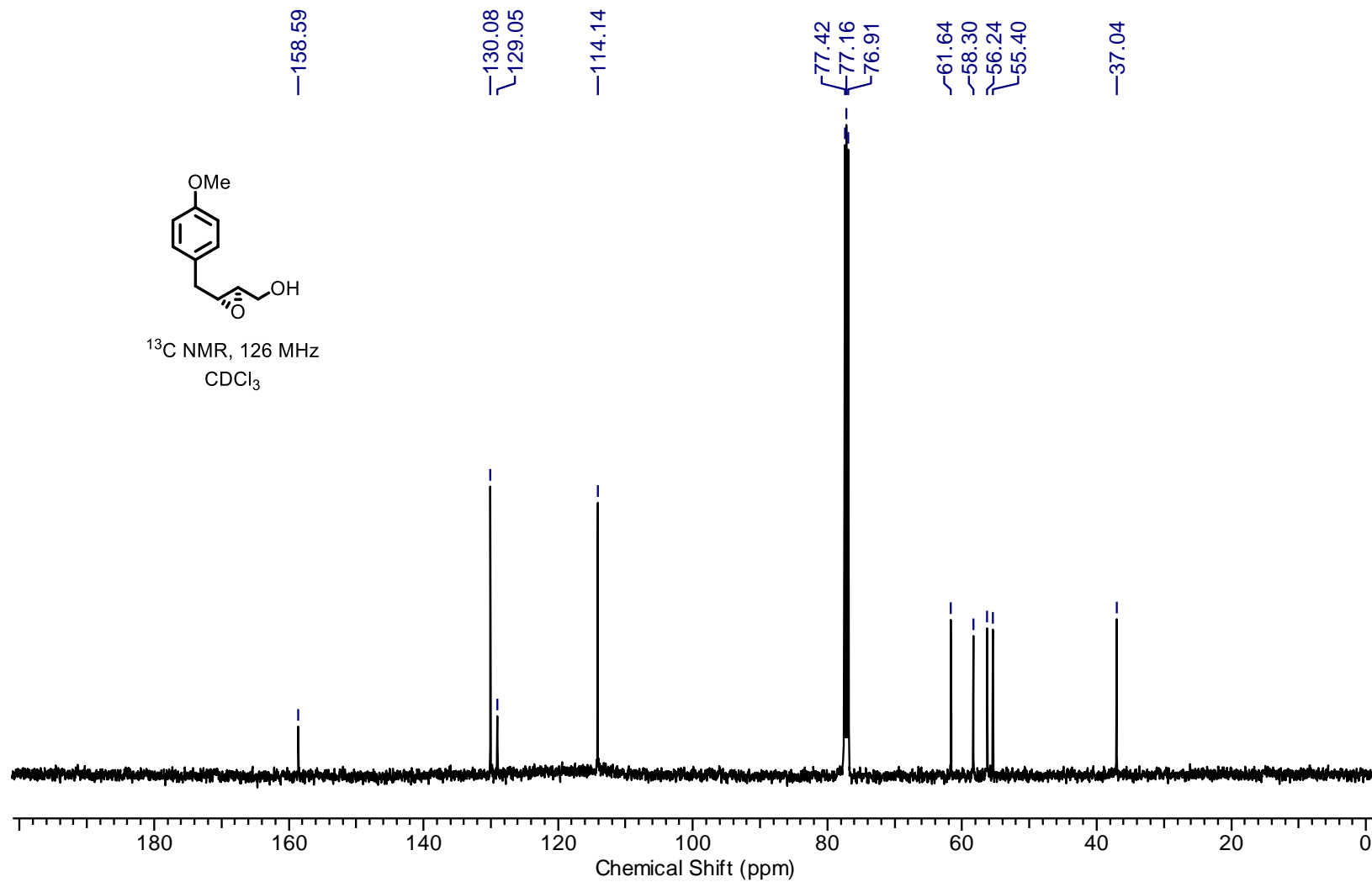
(E)-4-(4-Methoxyphenyl)but-2-en-1-ol (S4):



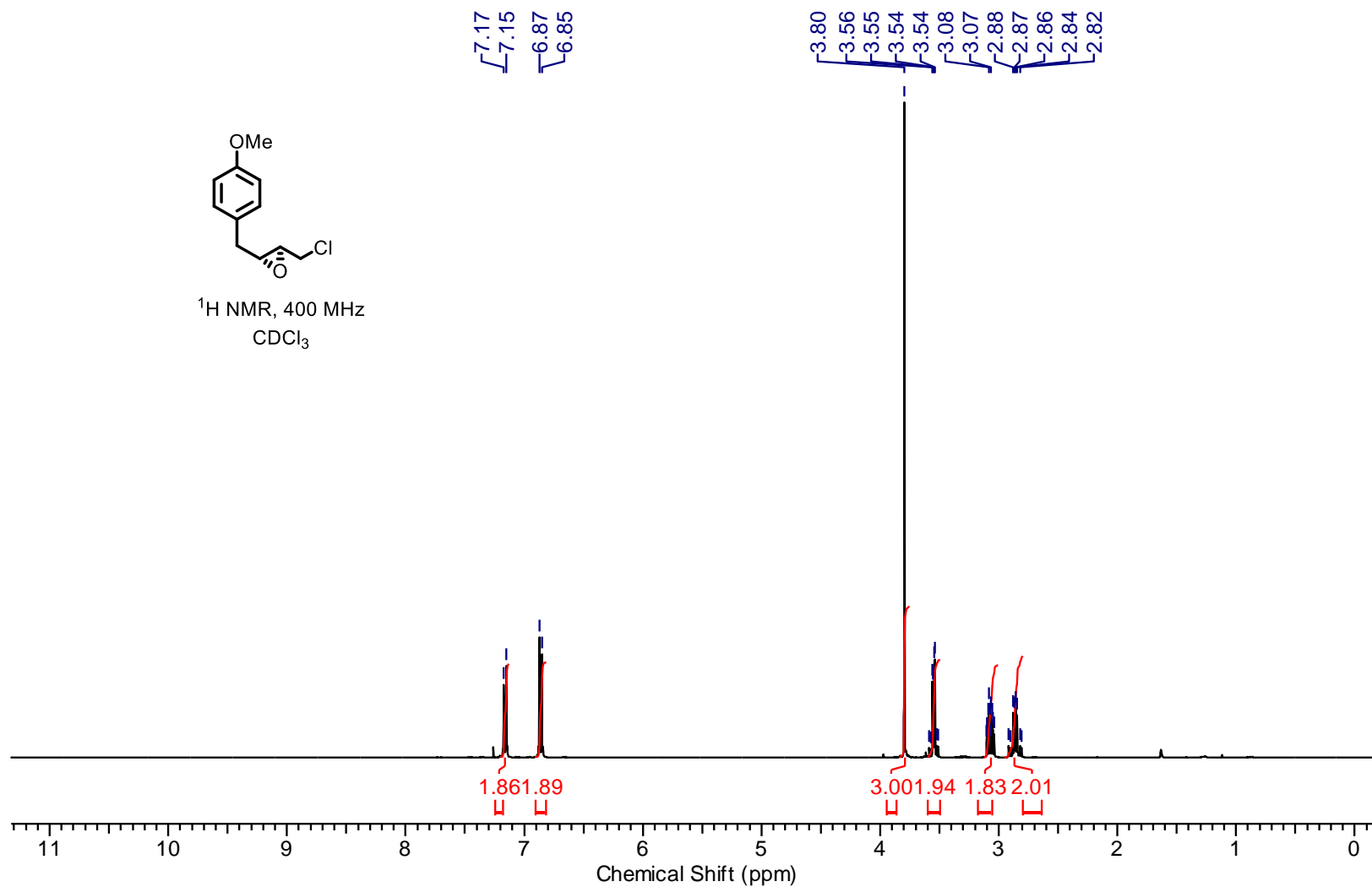
((2R, 3R)-3-(4-Methoxybenzyl)oxiran-2-yl)methanol (18):



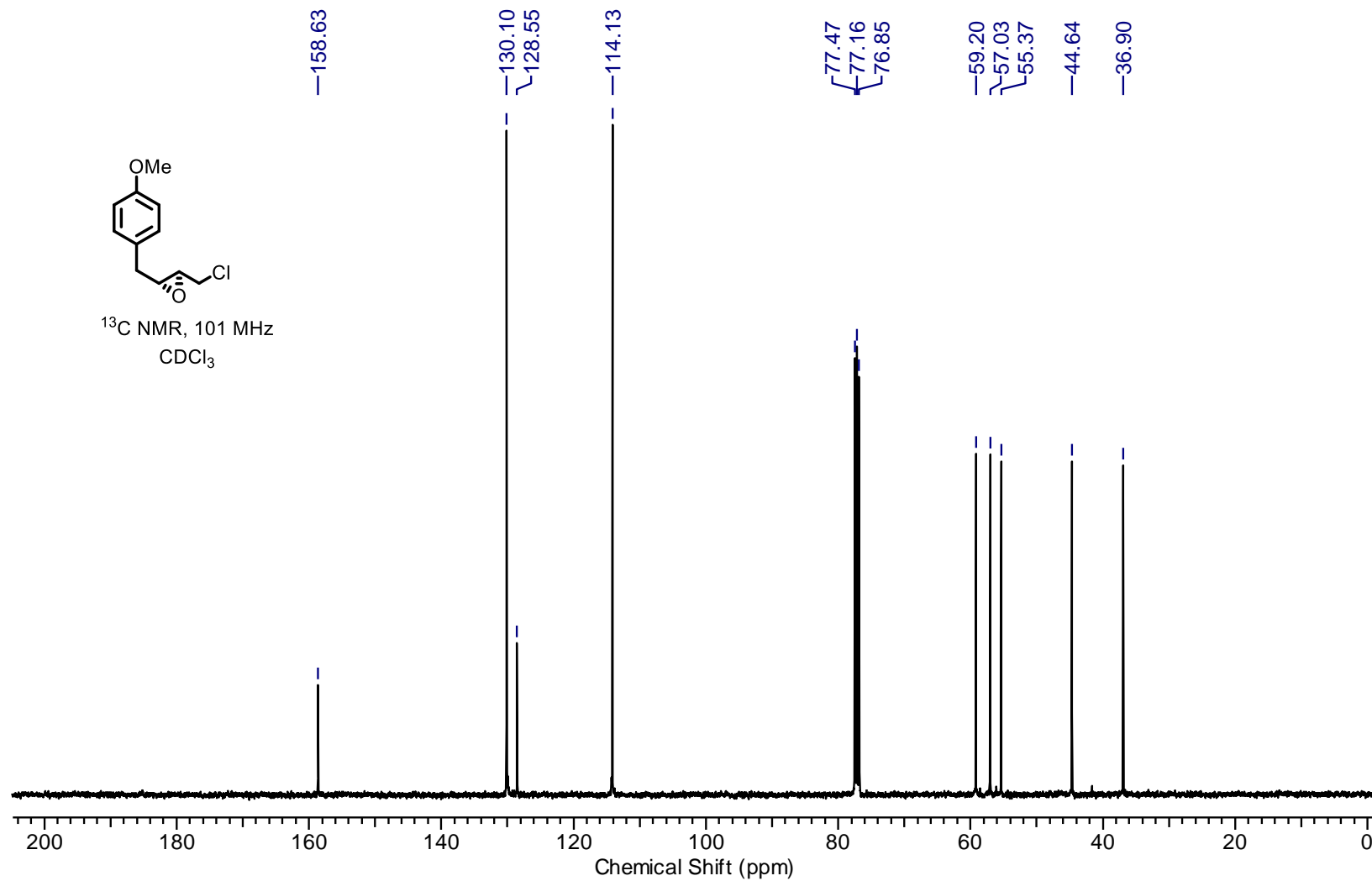
((2R, 3R)-3-(4-Methoxybenzyl)oxiran-2-yl)methanol (18):



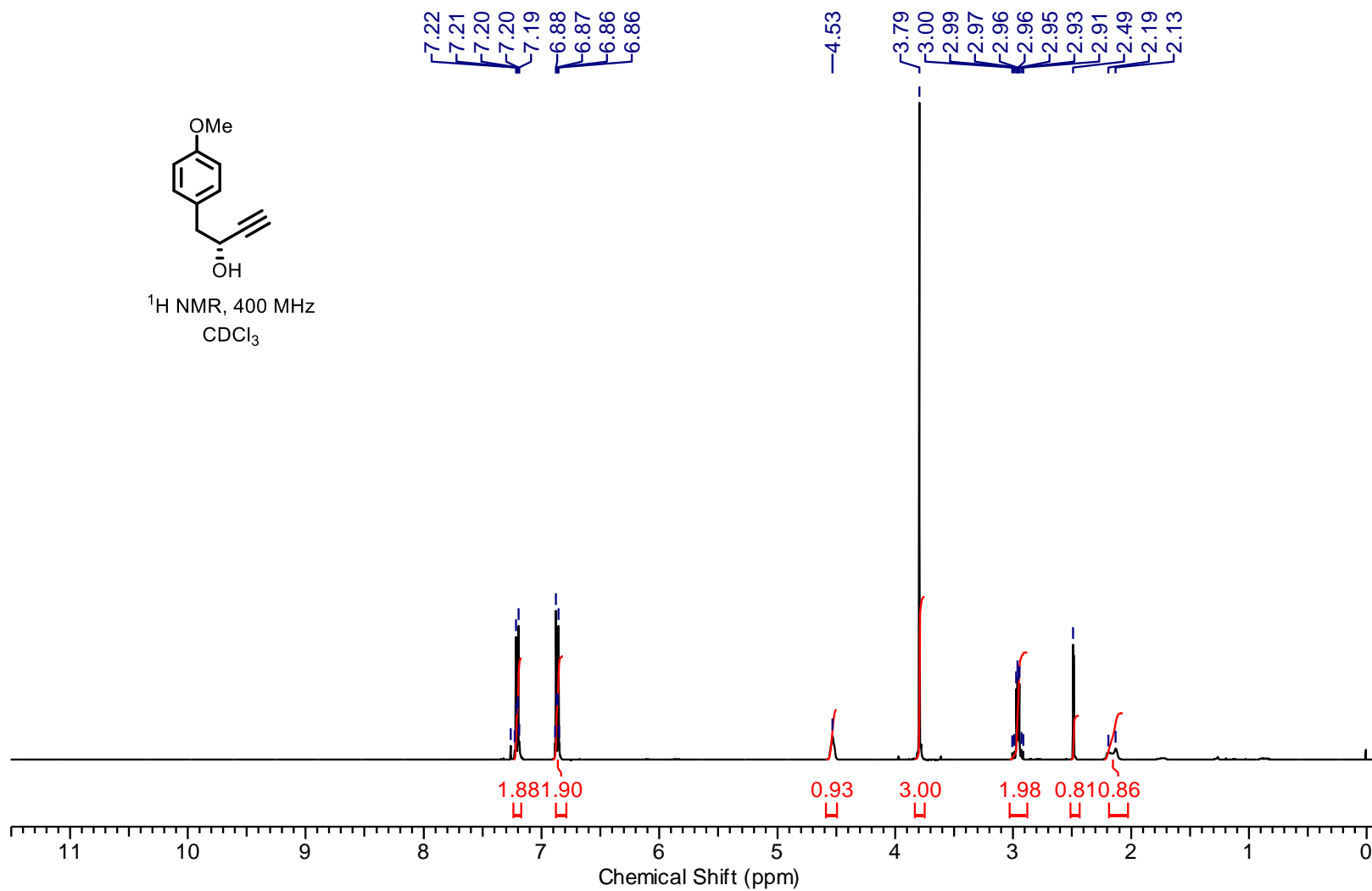
(2S, 3R)-2-(Chloromethyl)-3-(4-methoxybenzyl)oxirane (19):



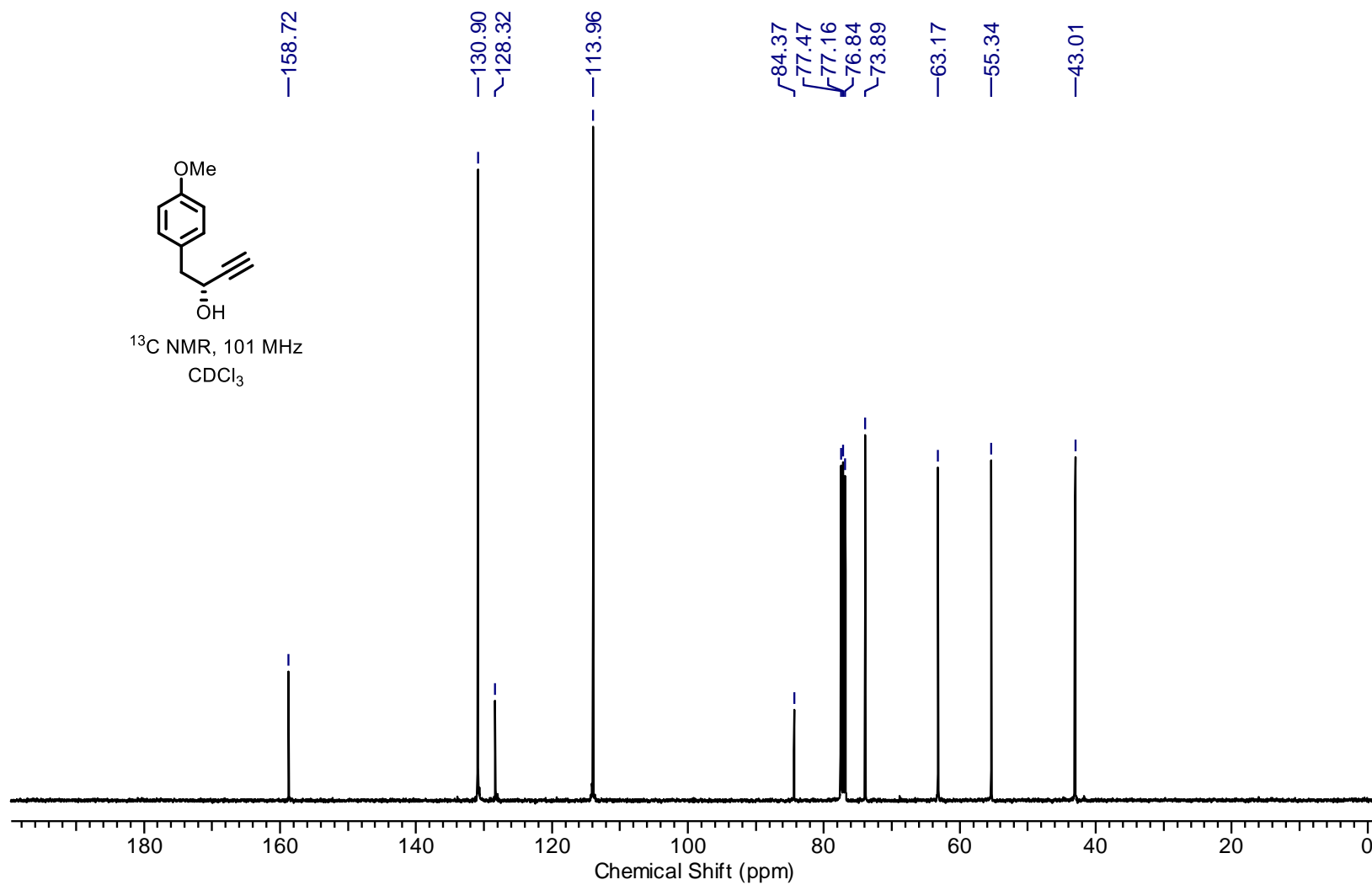
(2S, 3R)-2-(Chloromethyl)-3-(4-methoxybenzyl)oxirane (19):



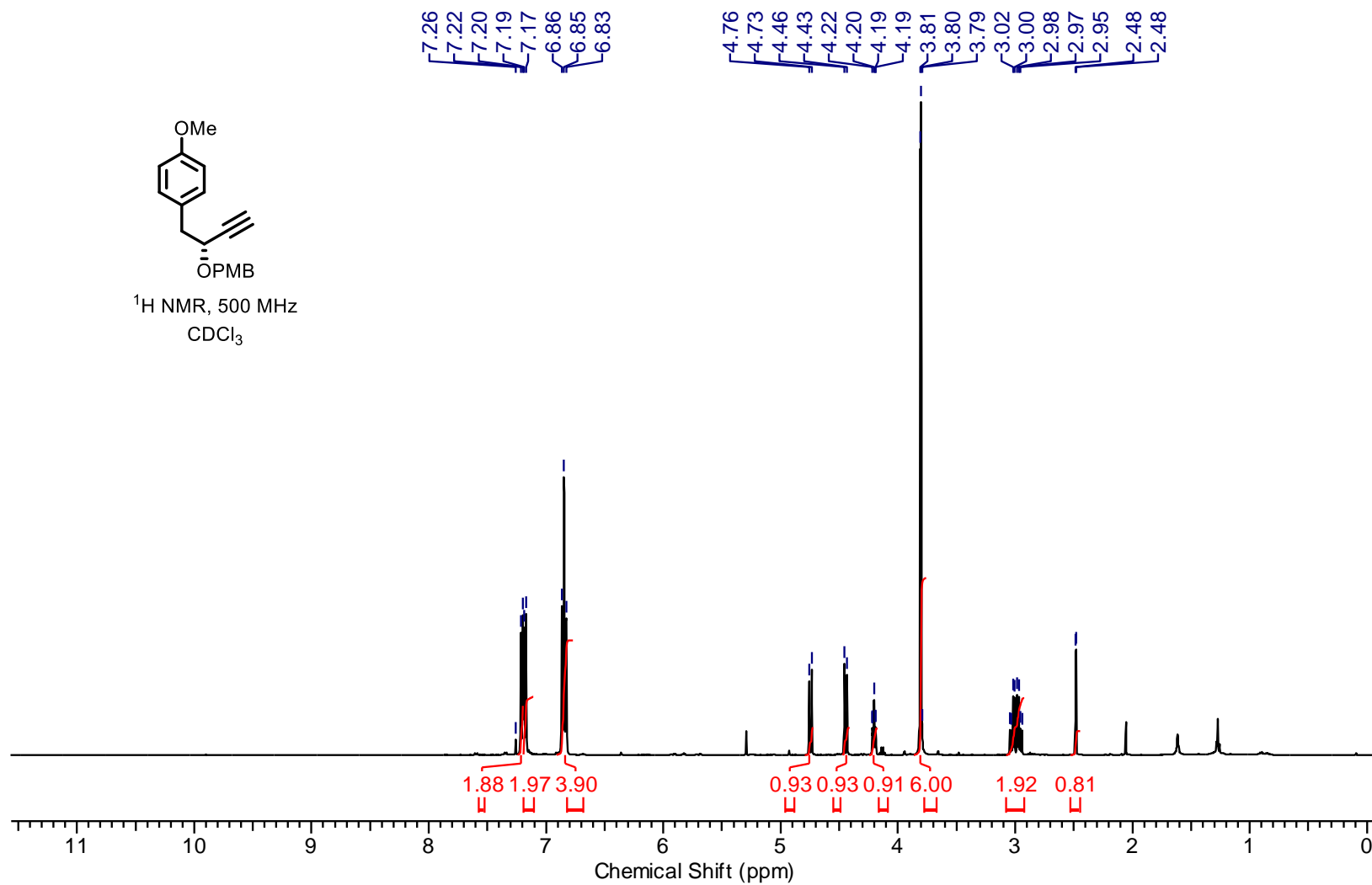
(R)-1-(4-Methoxyphenyl)but-3-yn-2-ol (S5):



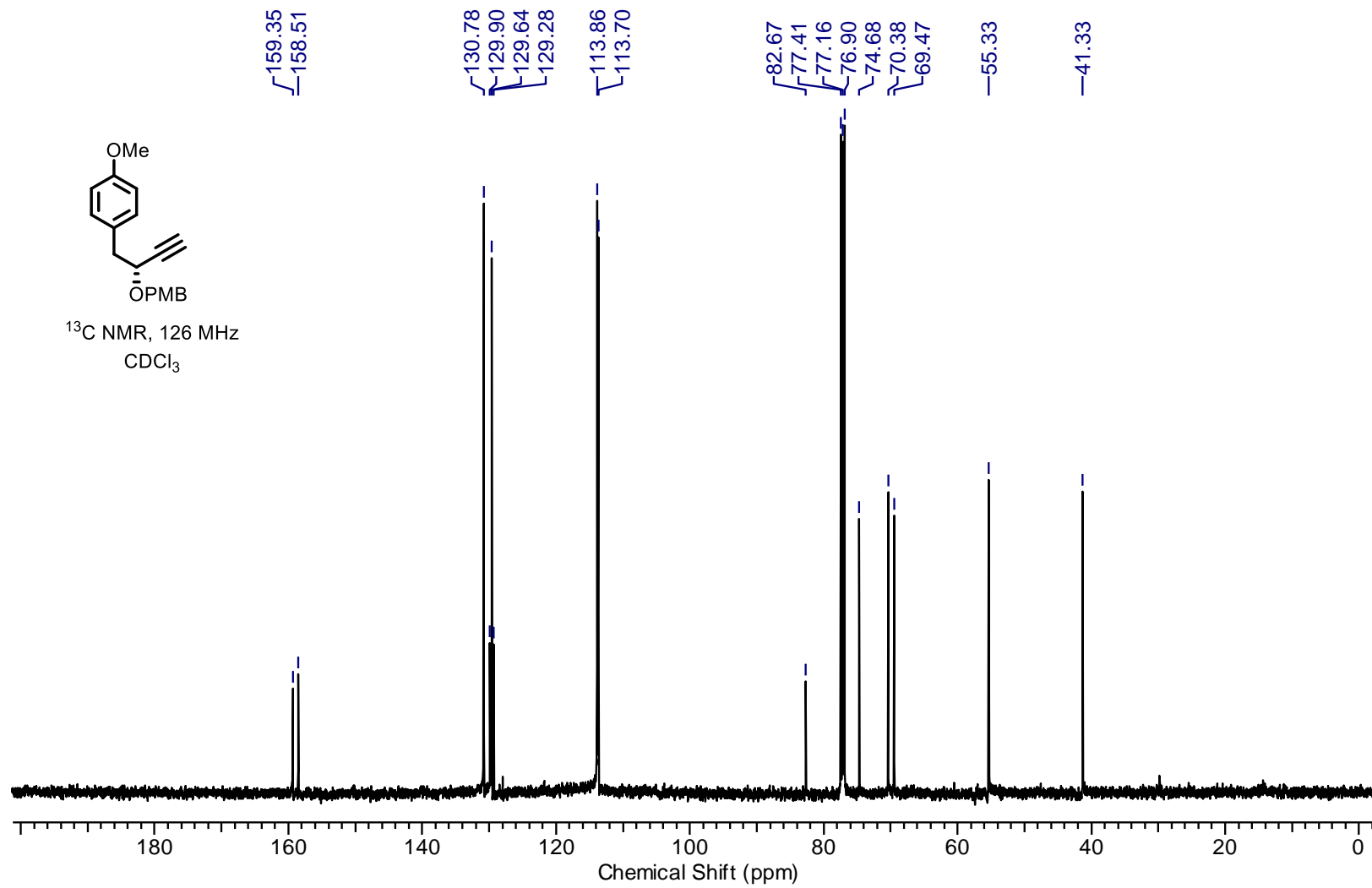
(R)-1-(4-Methoxyphenyl)but-3-yn-2-ol (S5):



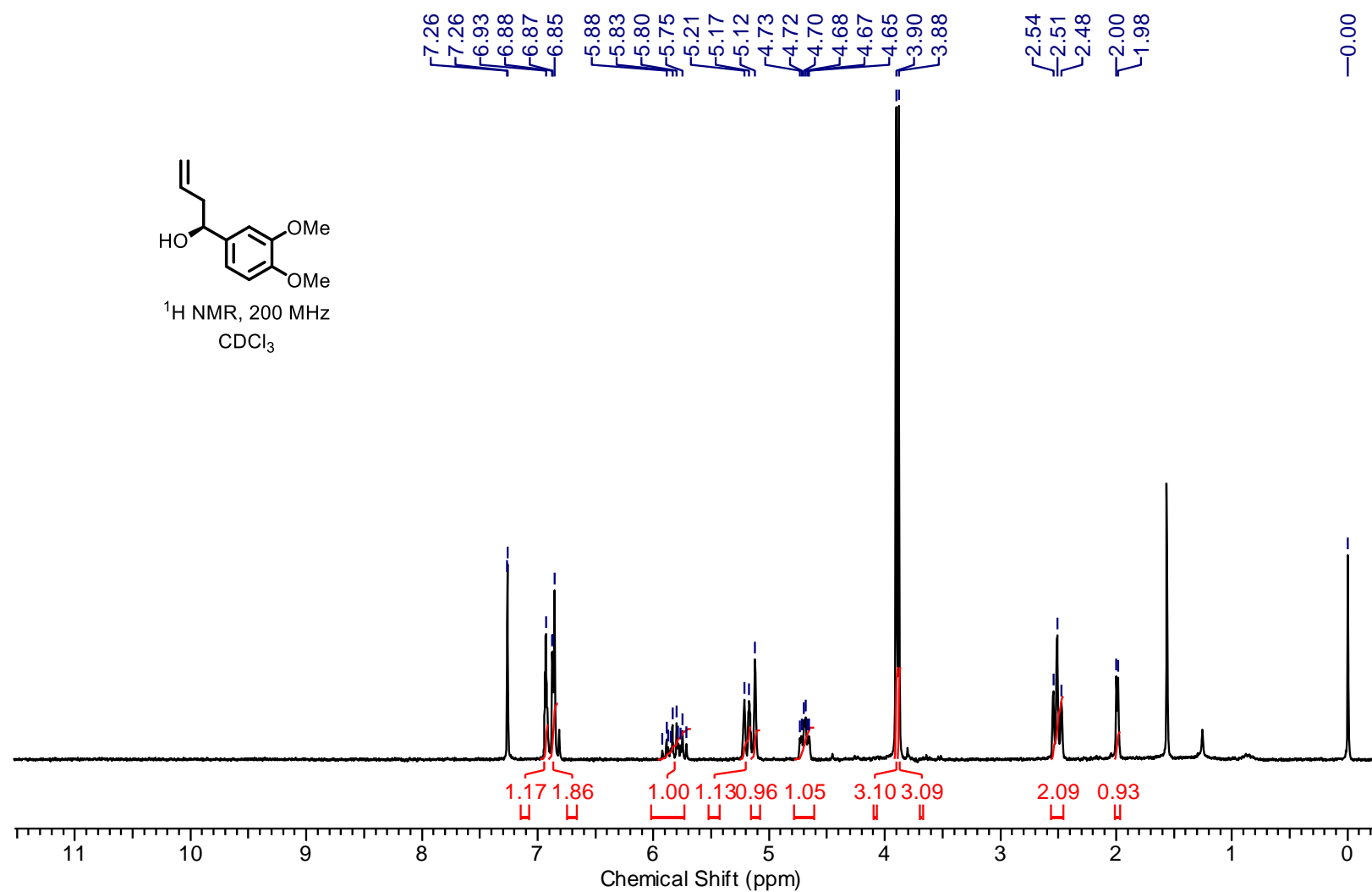
(*R*)-1-Methoxy-4-(2-((4-methoxybenzyl)oxy)but-3-yn-1-yl)benzene (**15**):



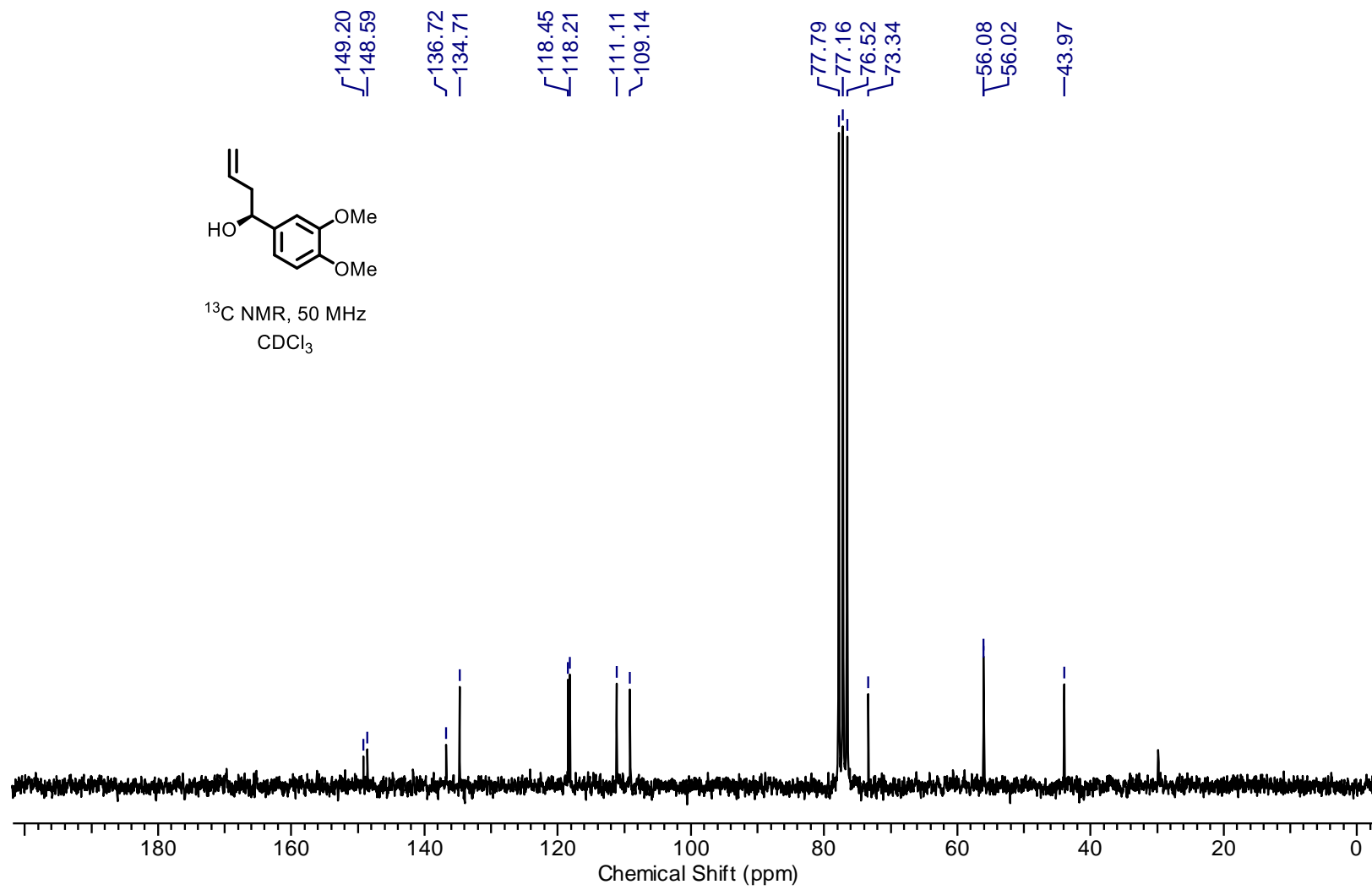
(R)-1-Methoxy-4-(2-((4-methoxybenzyl)oxy)but-3-yn-1-yl)benzene (15):



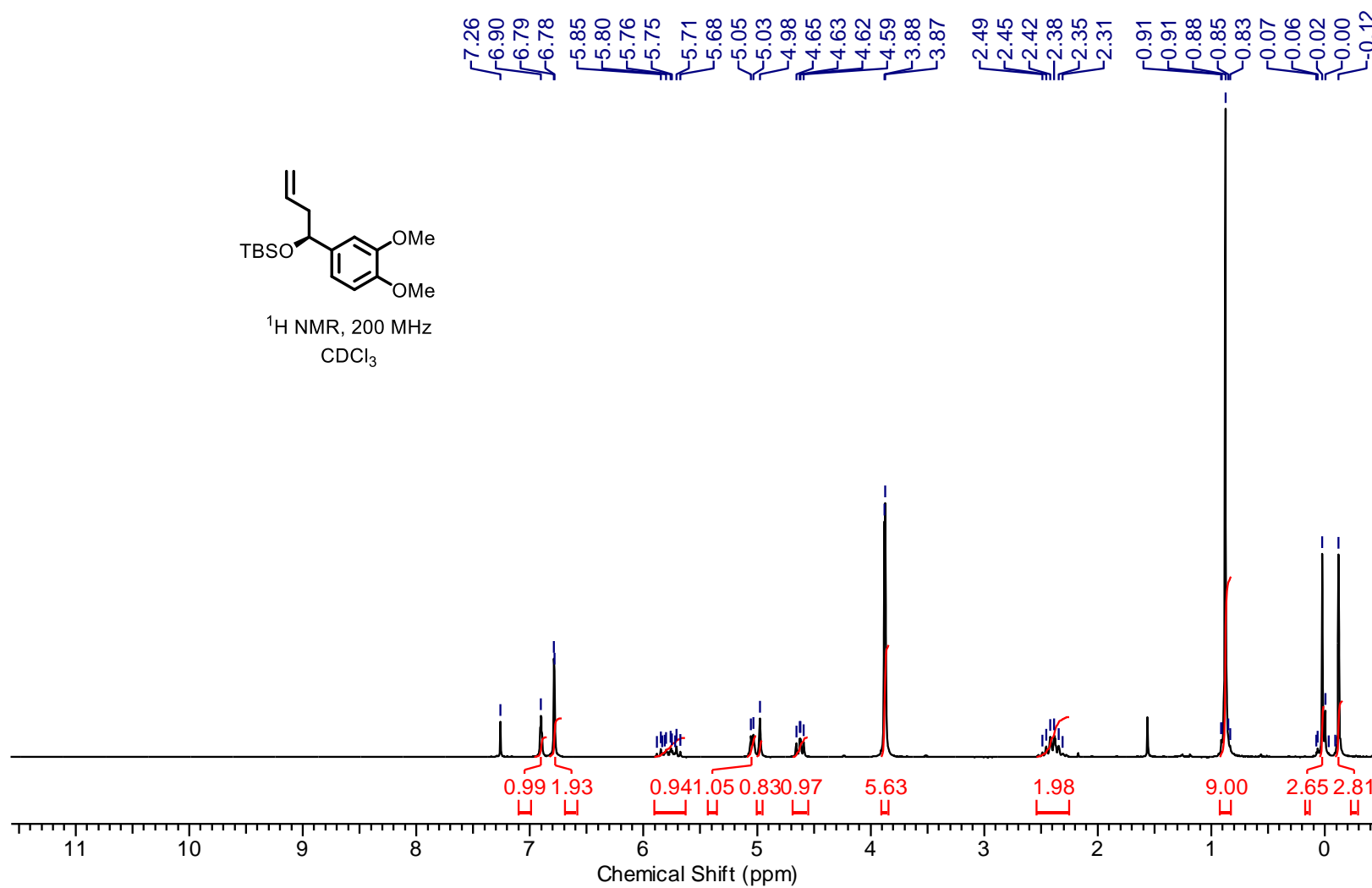
(S)-1-(3,4-Dimethoxyphenyl)but-3-en-1-ol (20):



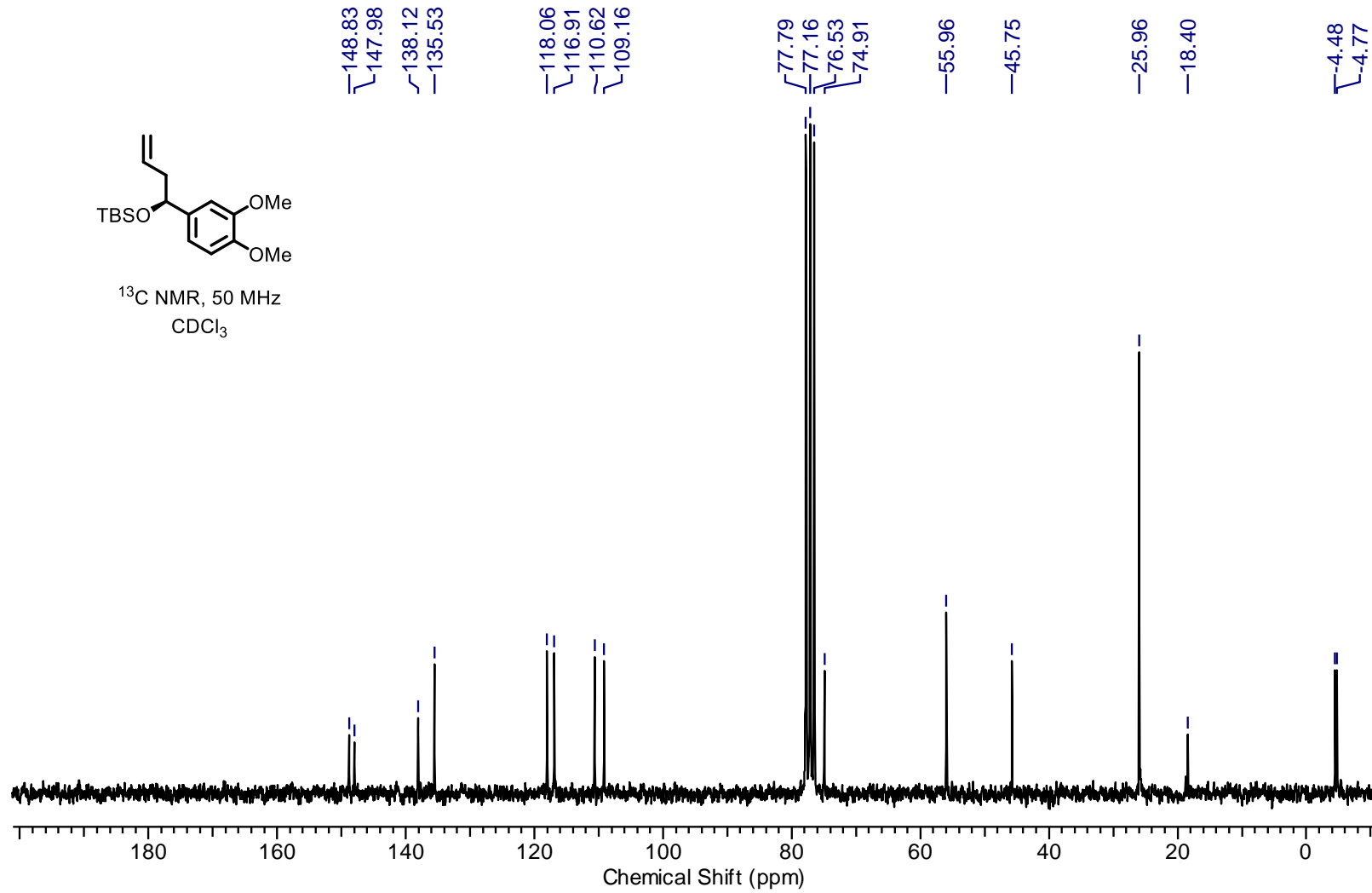
(S)-1-(3,4-Dimethoxyphenyl)but-3-en-1-ol (**20**):



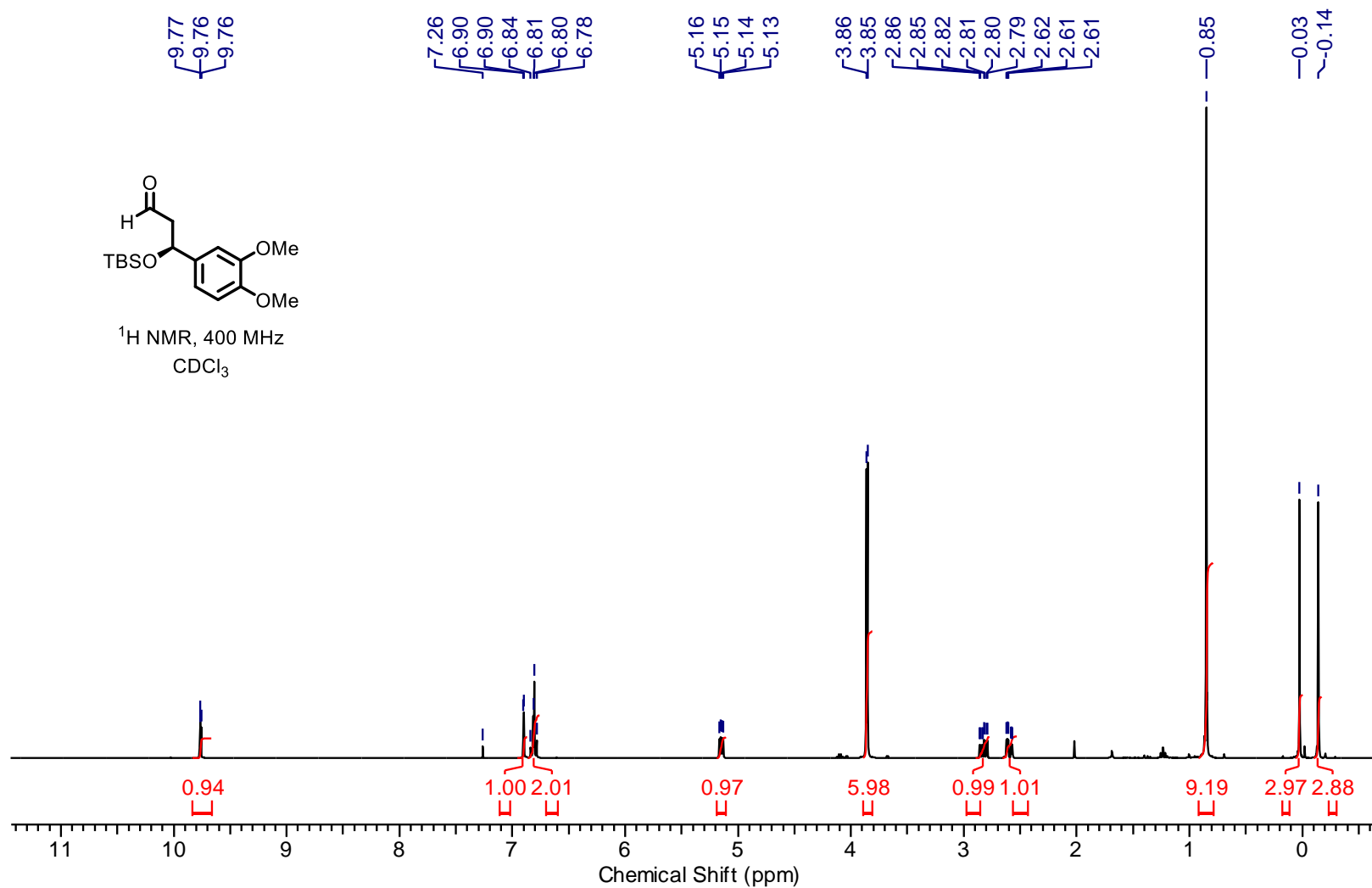
*(S)-Tert-butyl((1-(3,4-dimethoxyphenyl)but-3-en-1-yl)oxy)dimethylsilane (**S6**):*



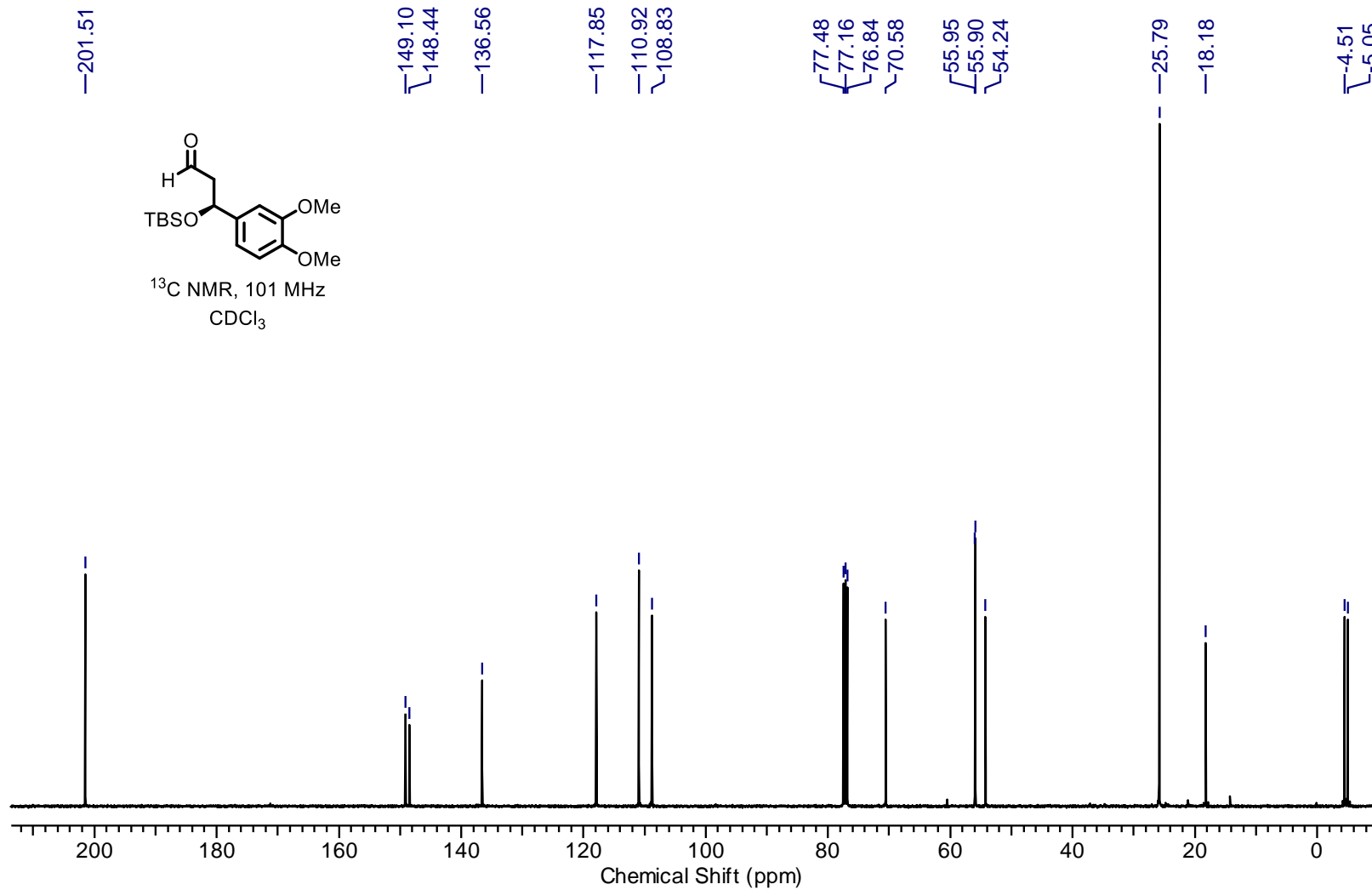
(S)-*Tert*-butyl((1-(3,4-dimethoxyphenyl)but-3-en-1-yl)oxy)dimethylsilane (**S6**):



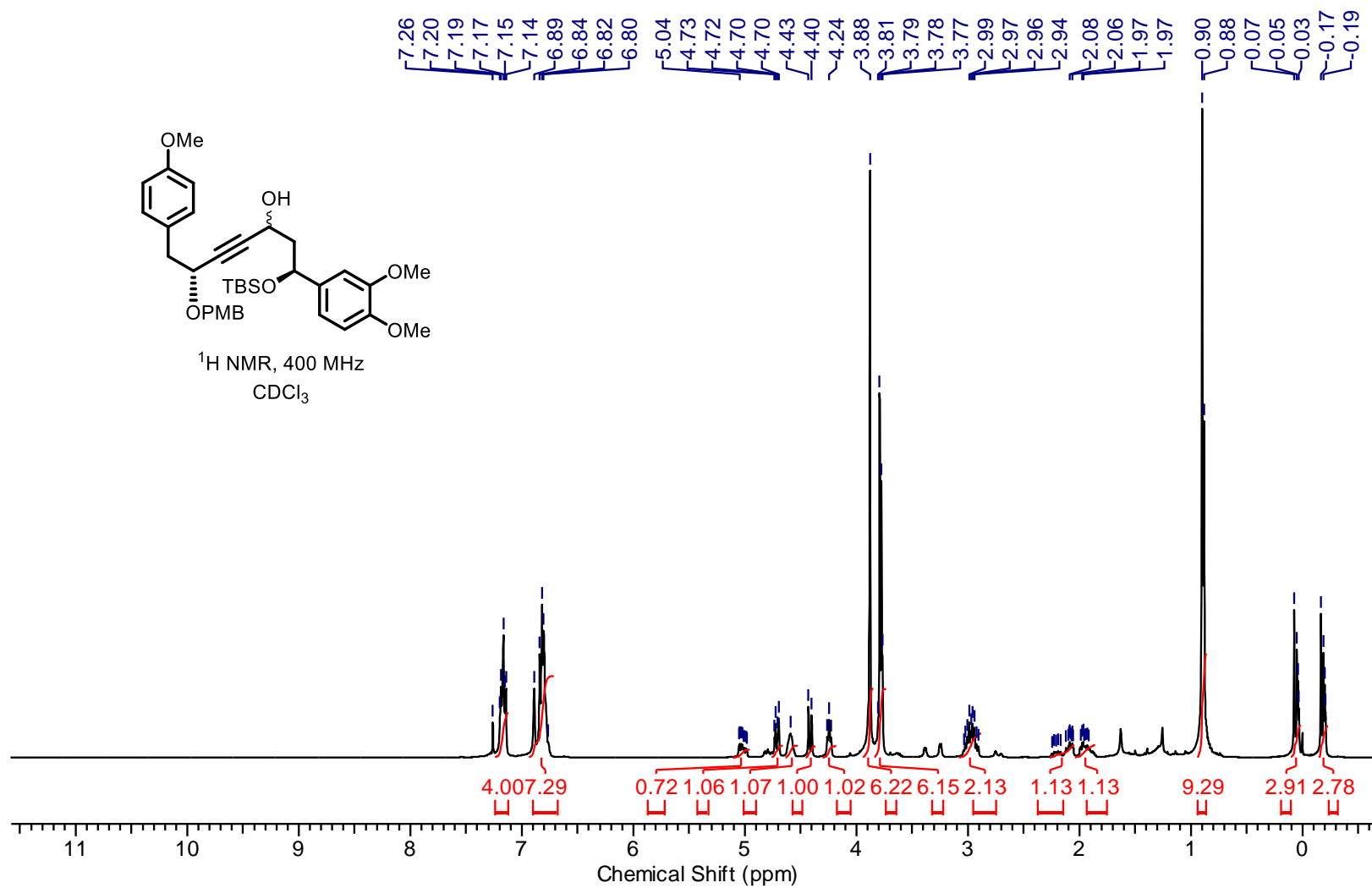
*(S)-3-((Tert-butyldimethylsilyl)oxy)-3-(3,4-dimethoxyphenyl)propanal (**16**):*



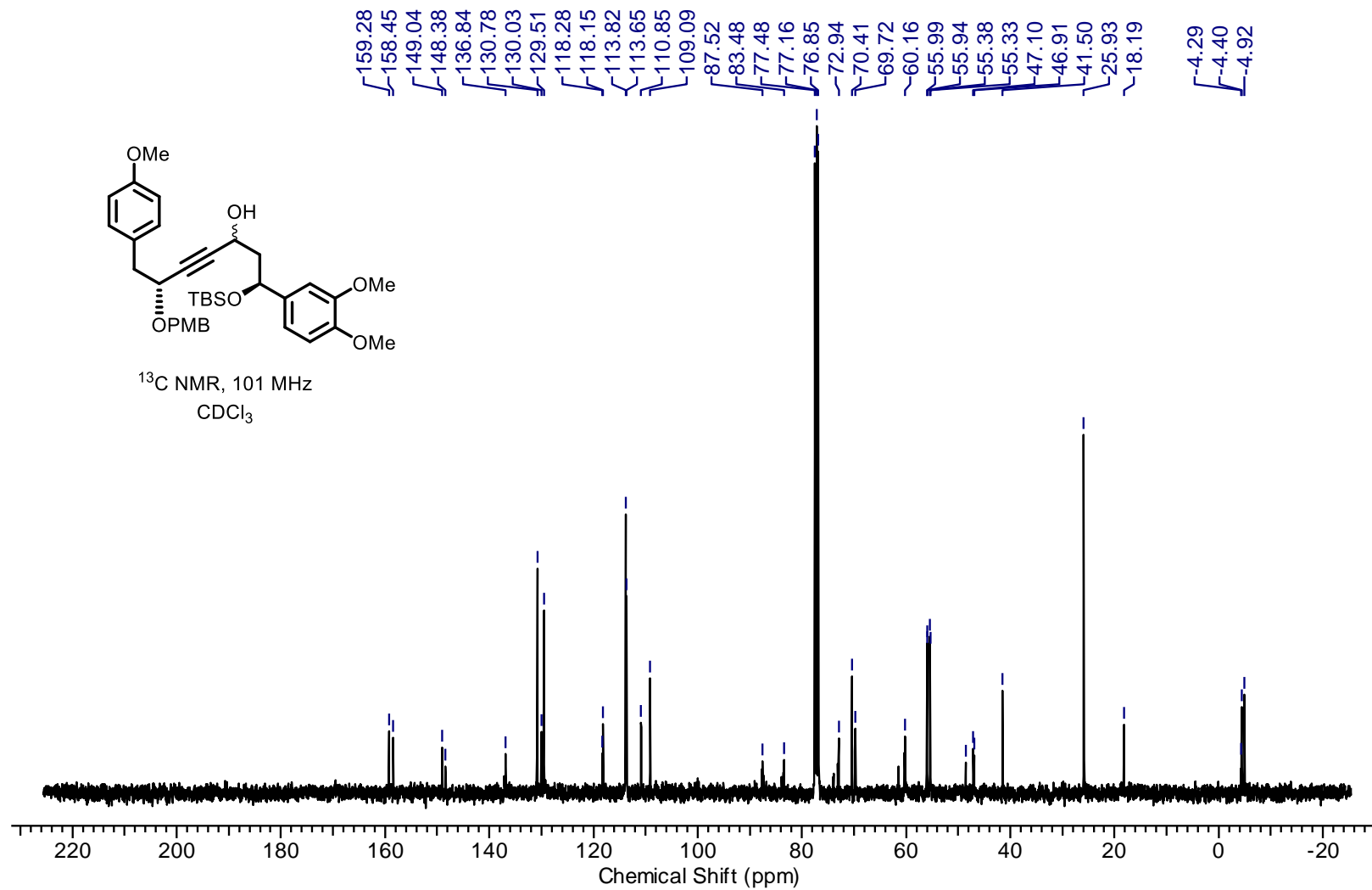
*(S)-3-((Tert-butyldimethylsilyl)oxy)-3-(3,4-dimethoxyphenyl)propanal (**16**):*



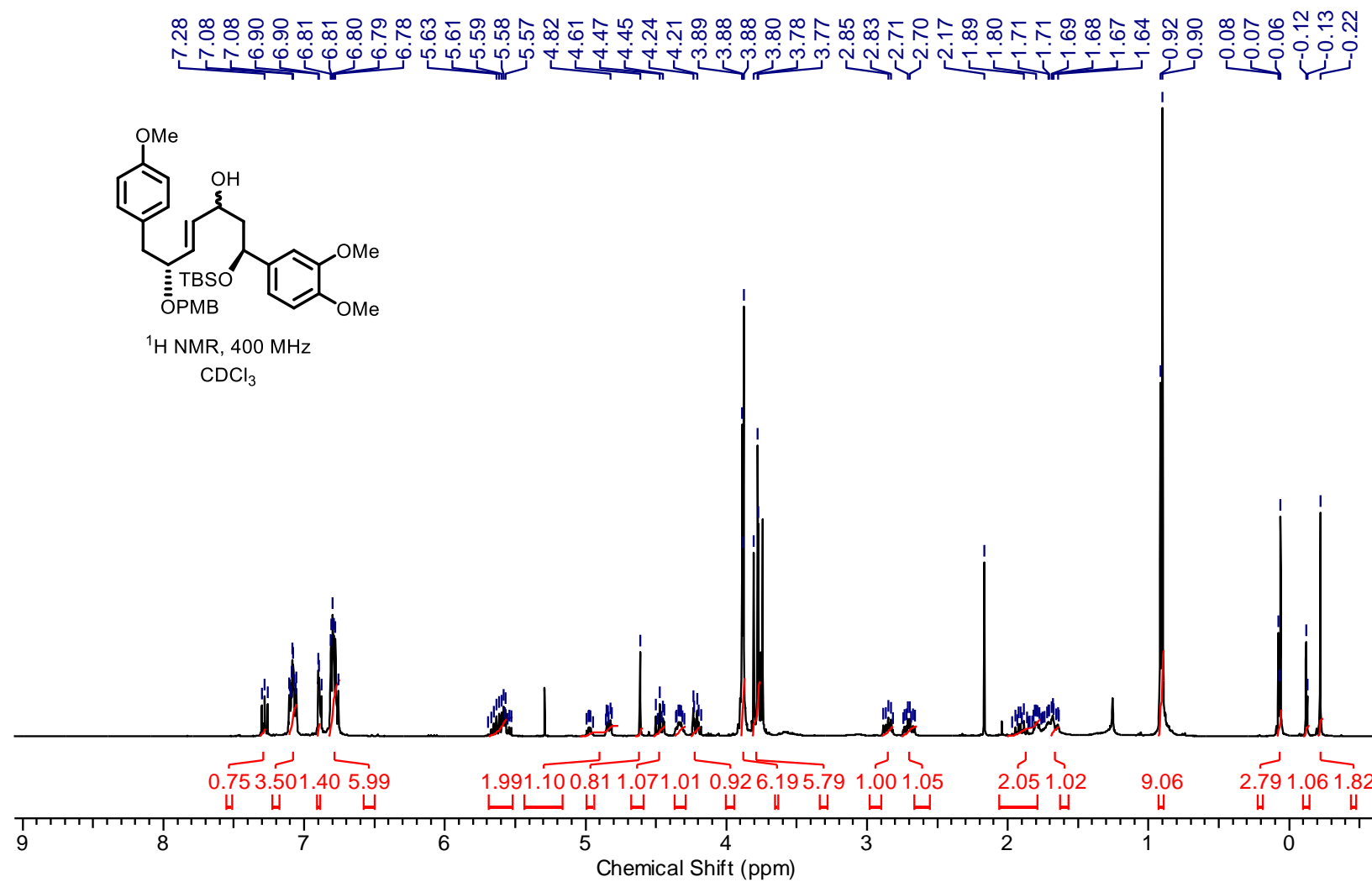
*(1*S*, 6*R*)-1-((Tert-butylidemethylsilyl)oxy)-1-(3,4-dimethoxyphenyl)-6-((4-methoxybenzyl)-oxy)-7-(4-methoxyphenyl)hept-4-yn-3-ol (21):*



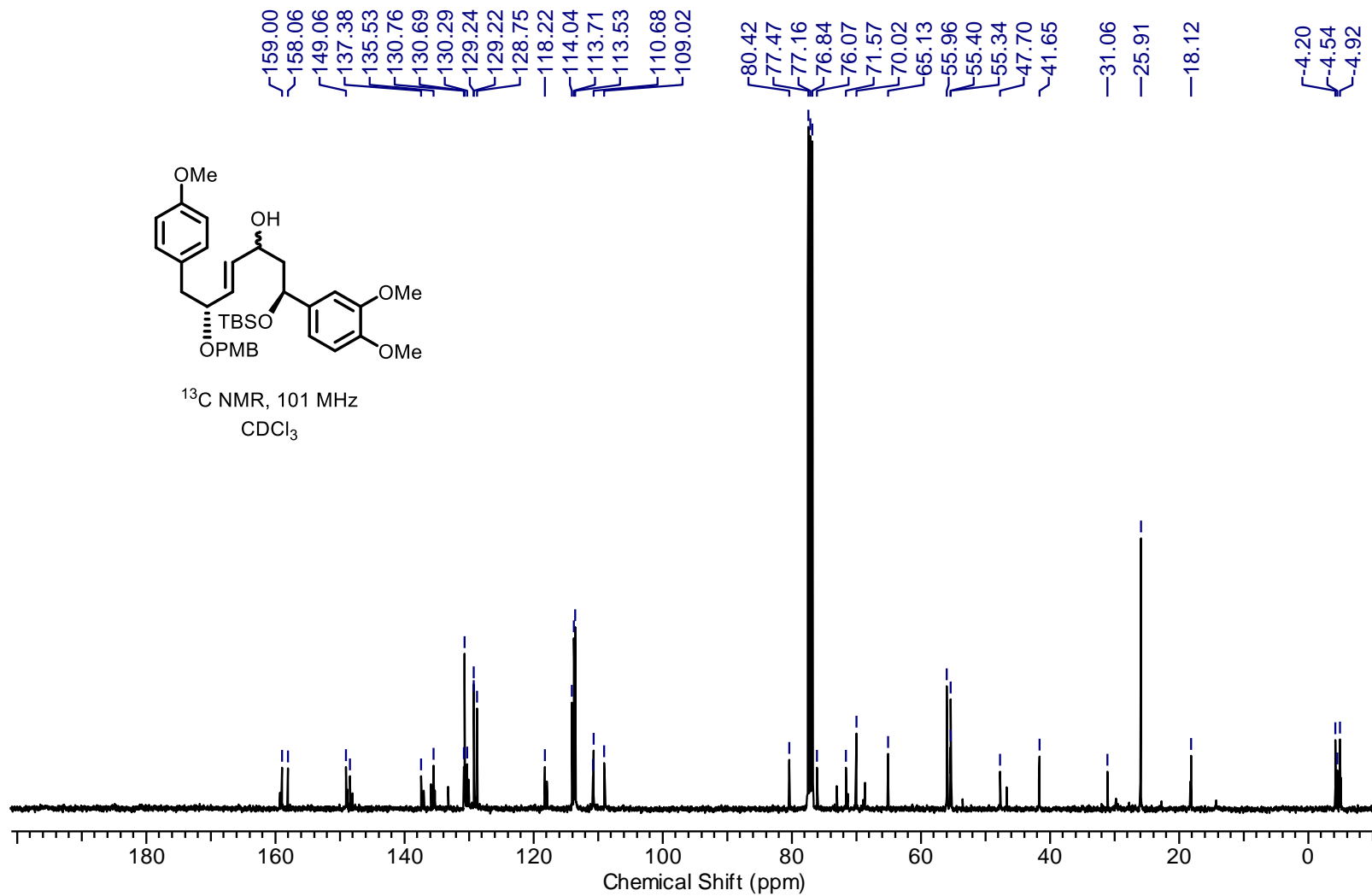
(*S*, *R*)-1-((Tert-butyldimethylsilyl)oxy)-1-(3,4-dimethoxyphenyl)-6-((4-methoxybenzyl)-oxy)-7-(4-methoxyphenyl)hept-4-yn-3-ol (**21**):



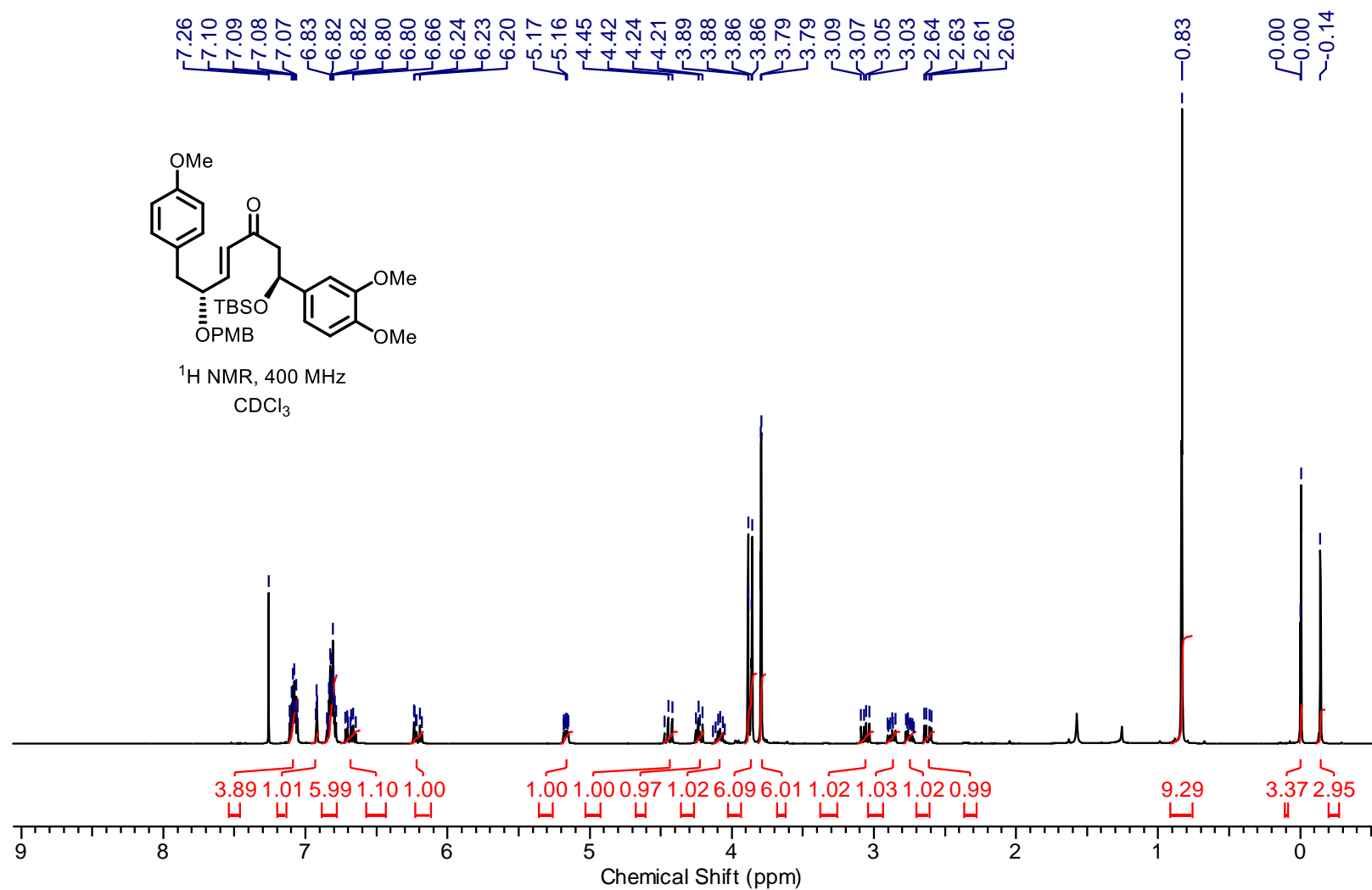
(*1S, 6R, E*)-1-((*Tert*-butyldimethylsilyl)oxy)-1-(3,4-dimethoxyphenyl)-6-((4-methoxybenzyl)-oxy)-7-(4-methoxyphenyl)hept-4-en-3-ol (**S7**):



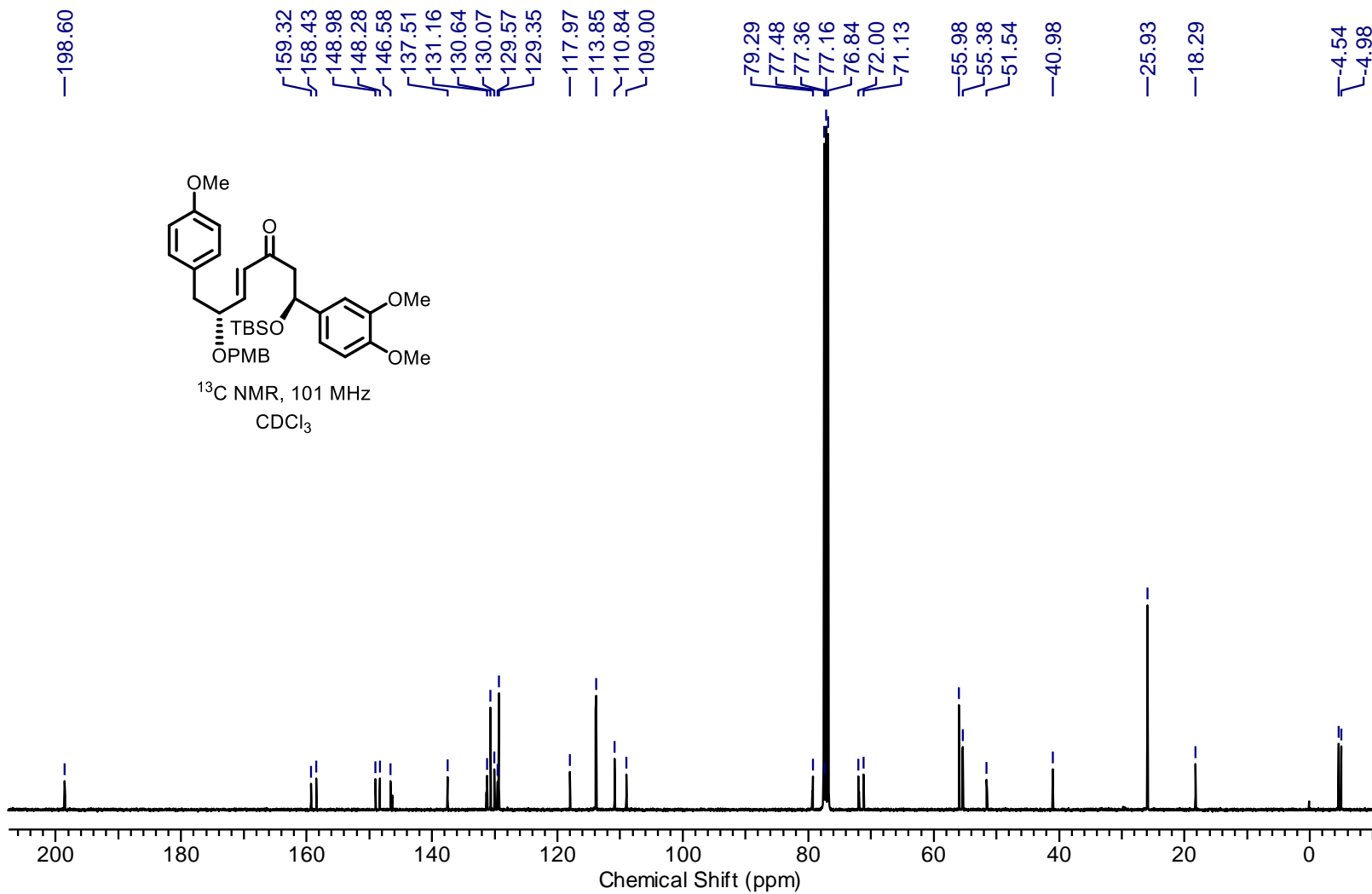
(*S*, *6R*, *E*)-1-((Tert-butyldimethylsilyl)oxy)-1-(3,4-dimethoxyphenyl)-6-((4-methoxybenzyl)-oxy)-7-(4-methoxyphenyl)hept-4-en-3-ol (**S7**):



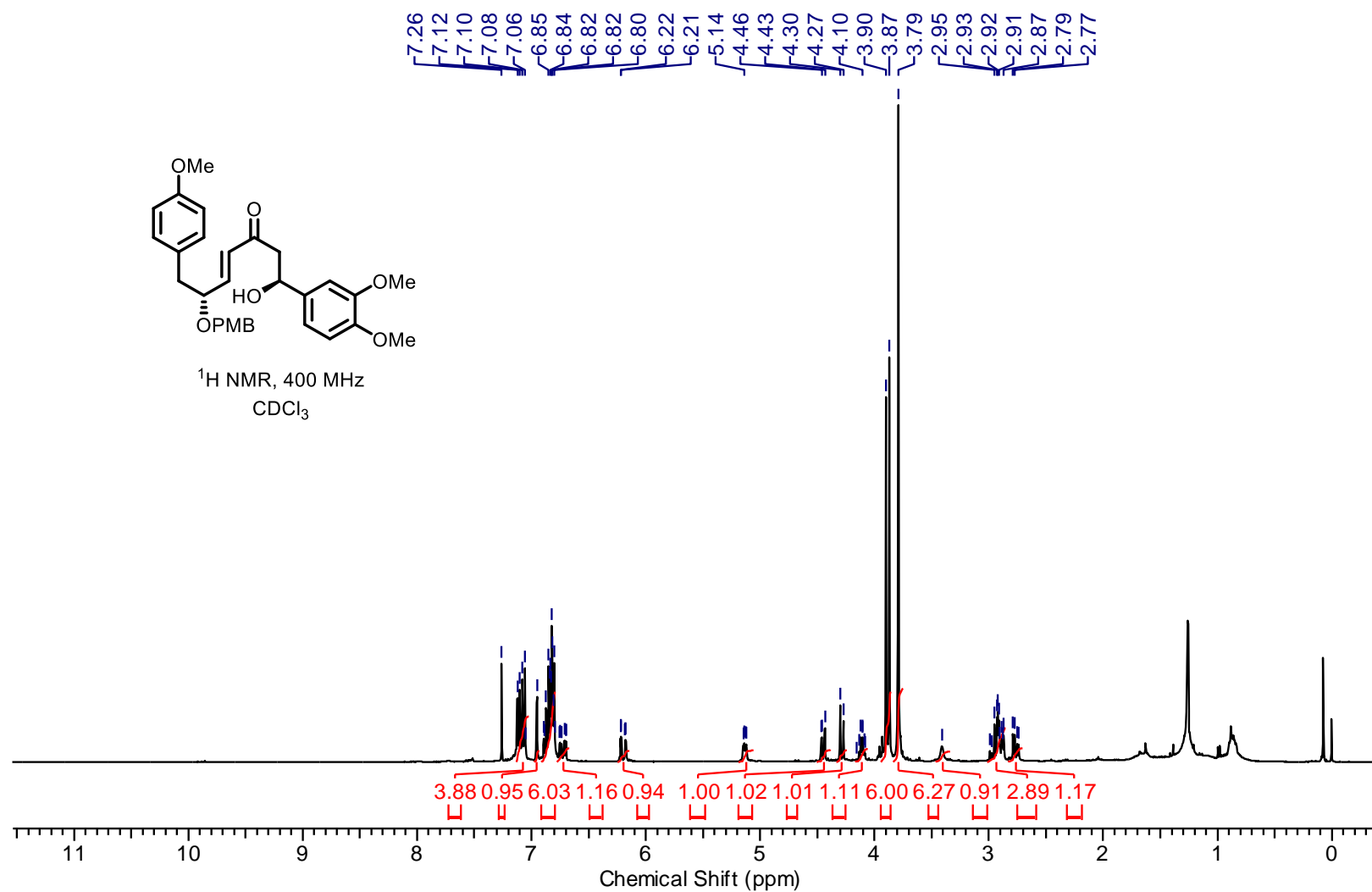
(1S, 6R, E)-1-((Tert-butyldimethylsilyl)oxy)-1-(3,4-dimethoxyphenyl)-6-((4-methoxybenzyl)-oxy)-7-(4-methoxyphenyl)hept-4-en-3-one (14):



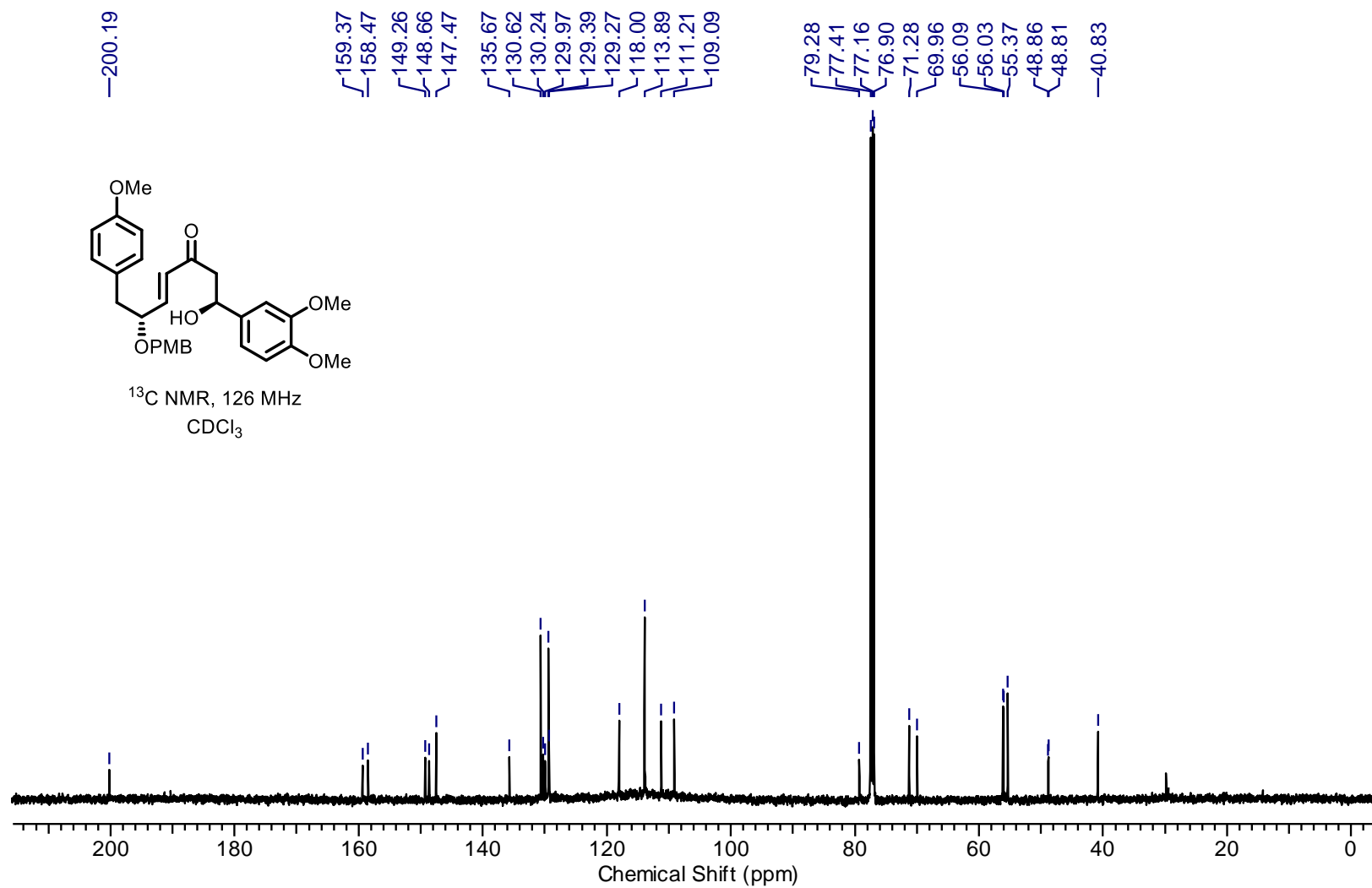
(1S, 6R, E)-1-((Tert-butyldimethylsilyl)oxy)-1-(3,4-dimethoxyphenyl)-6-((4-methoxybenzyl)-oxy)-7-(4-methoxyphenyl)hept-4-en-3-one (14):



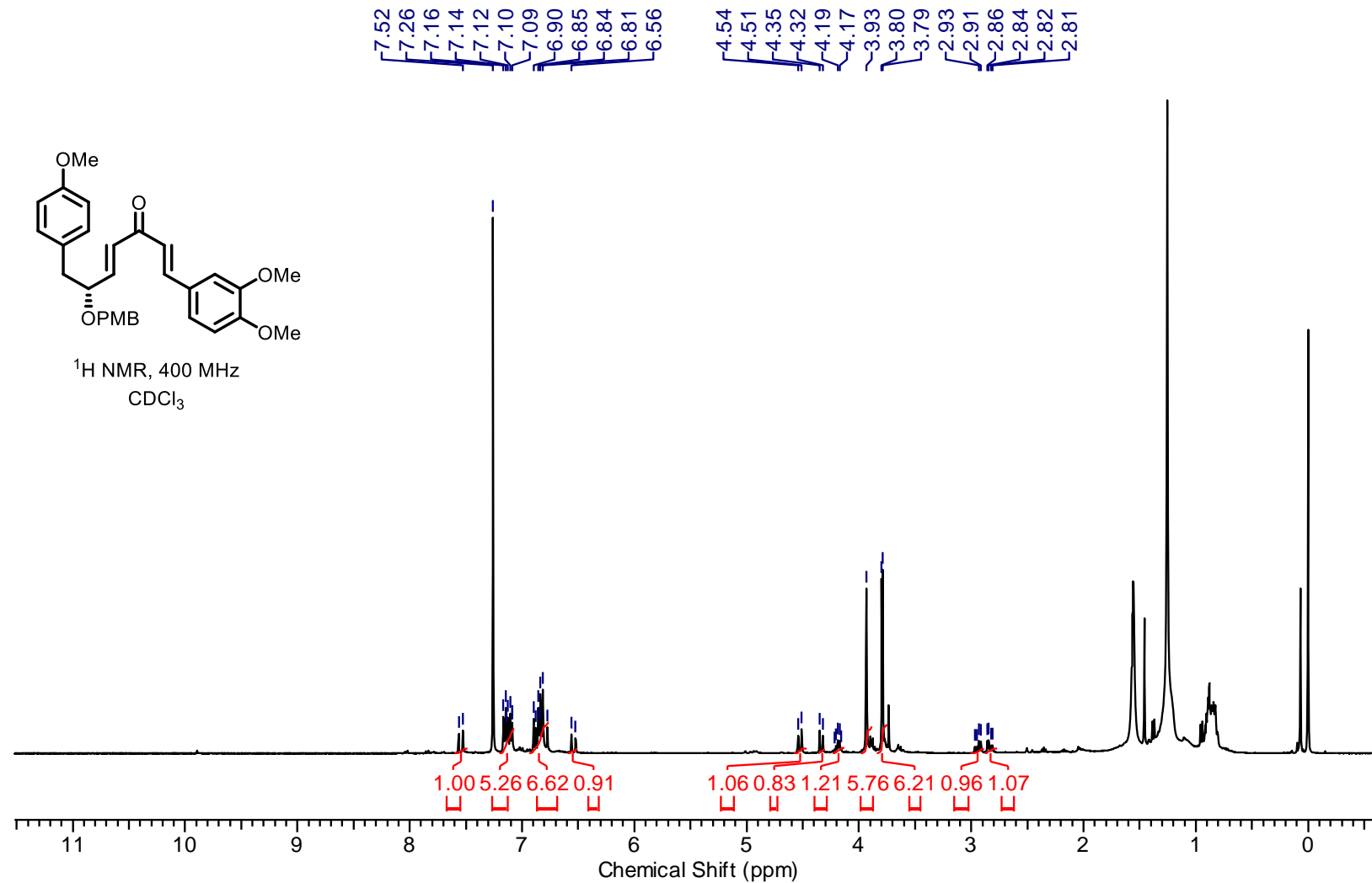
(1S, 6R, E)-1-(3,4-Dmethoxyphenyl)-1-hydroxy-6-((4-methoxybenzyl)oxy)-7-(4-methoxyphenyl)-hept-4-en-3-one (22):



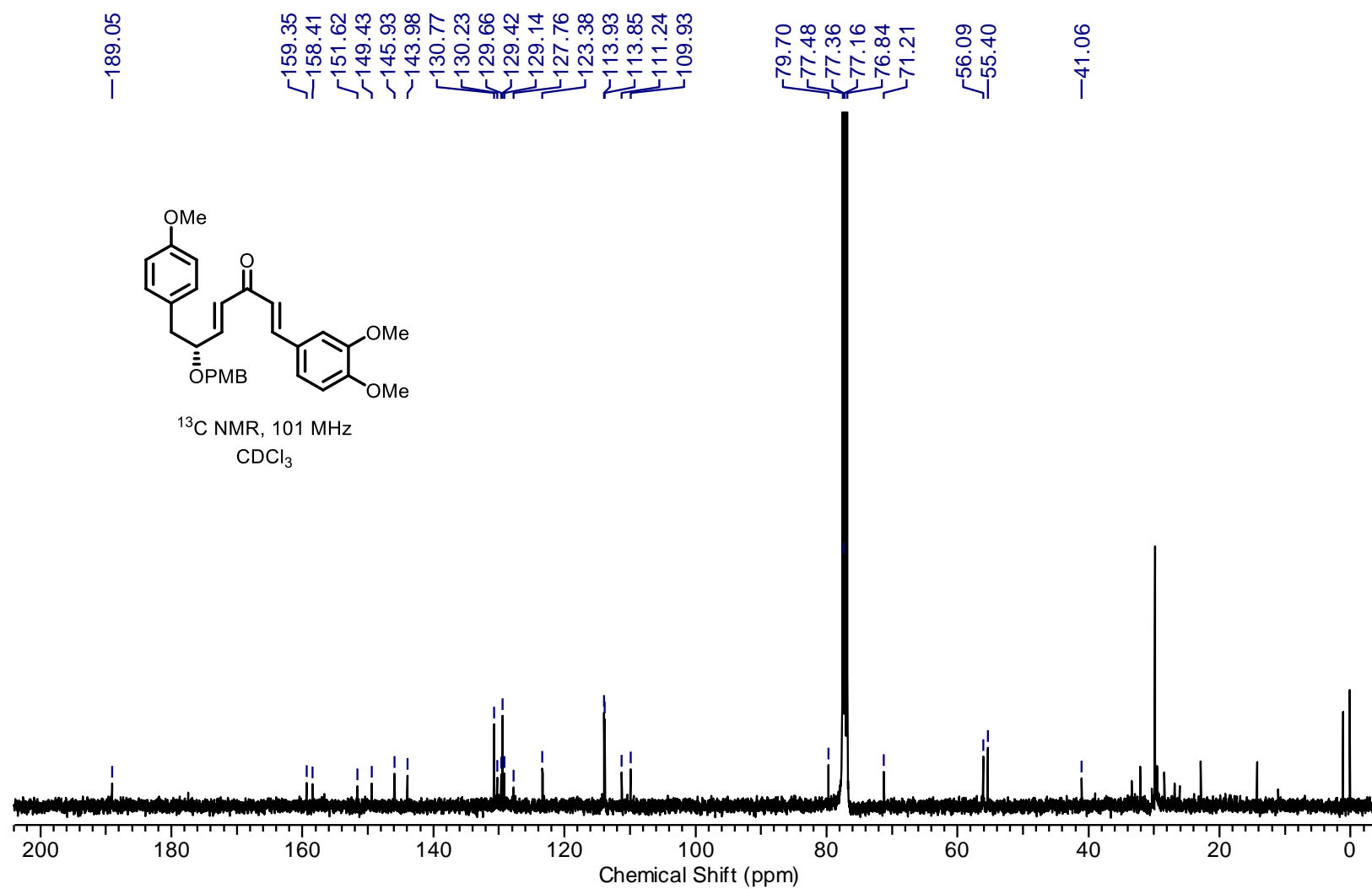
(*S*, *6R*, *E*)-1-(3,4-Dmethoxyphenyl)-1-hydroxy-6-((4-methoxybenzyl)oxy)-7-(4-methoxyphenyl)-hept-4-en-3-one (**22**):



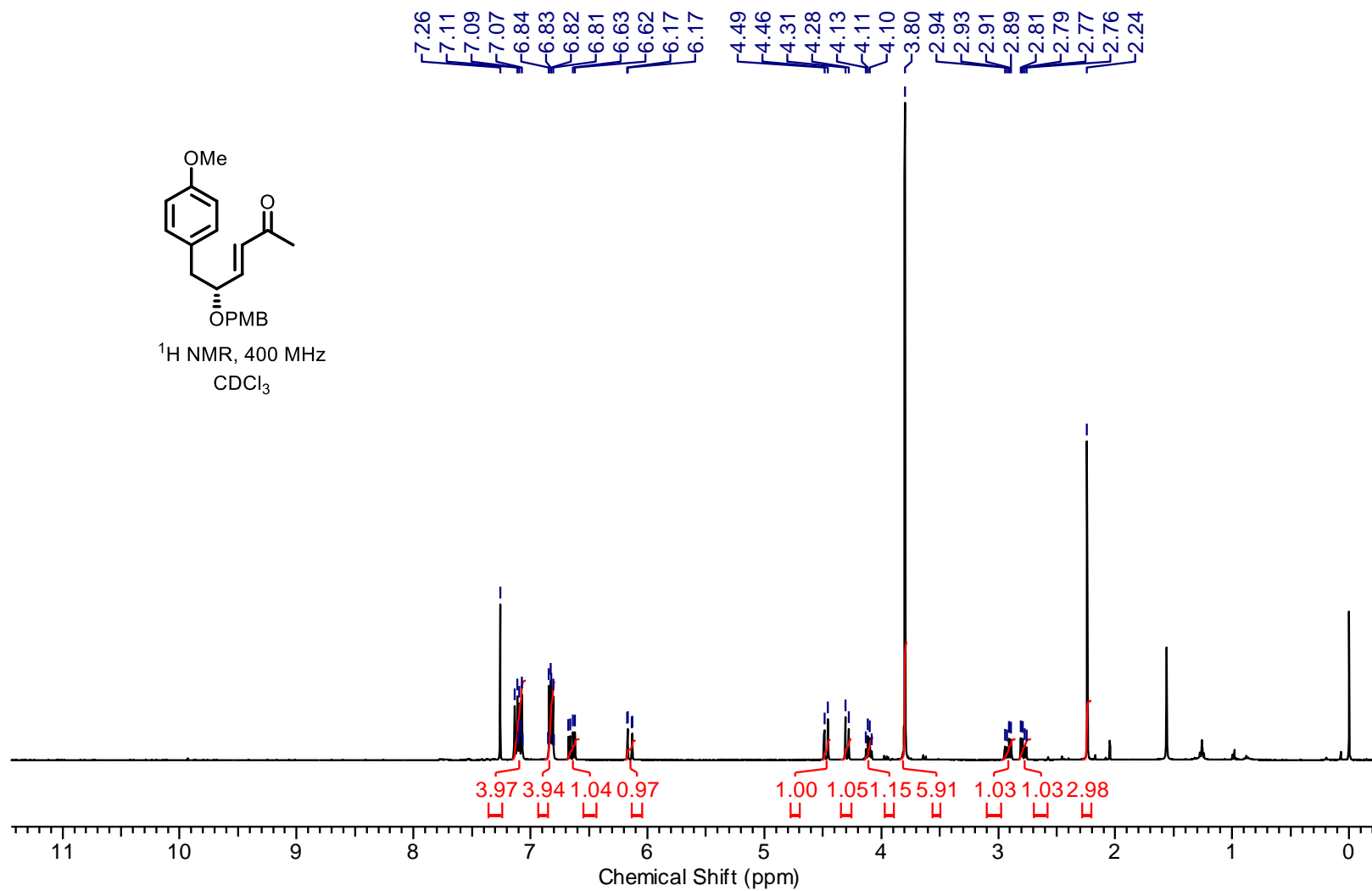
(R, 1E, 4E)-1-(3,4-Dimethoxyphenyl)-6-((4-methoxybenzyl)oxy)-7-(4-methoxyphenyl)hepta-1,4-dien-3-one (24):



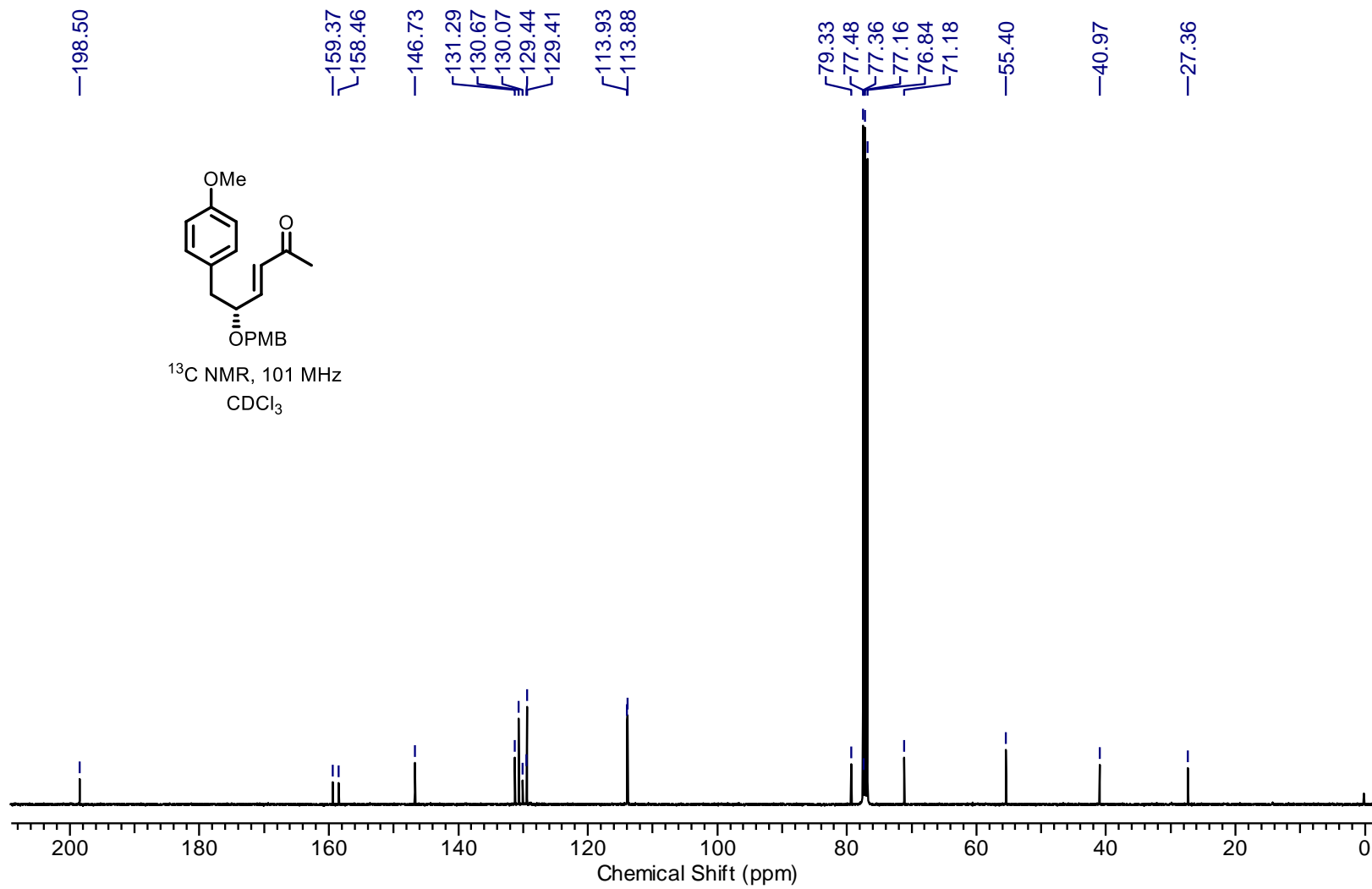
(*R*, 1*E*, 4*E*)-1-(3,4-Dimethoxyphenyl)-6-((4-methoxybenzyl)oxy)-7-(4-methoxyphenyl)hepta-1,4-dien-3-one (**24**):



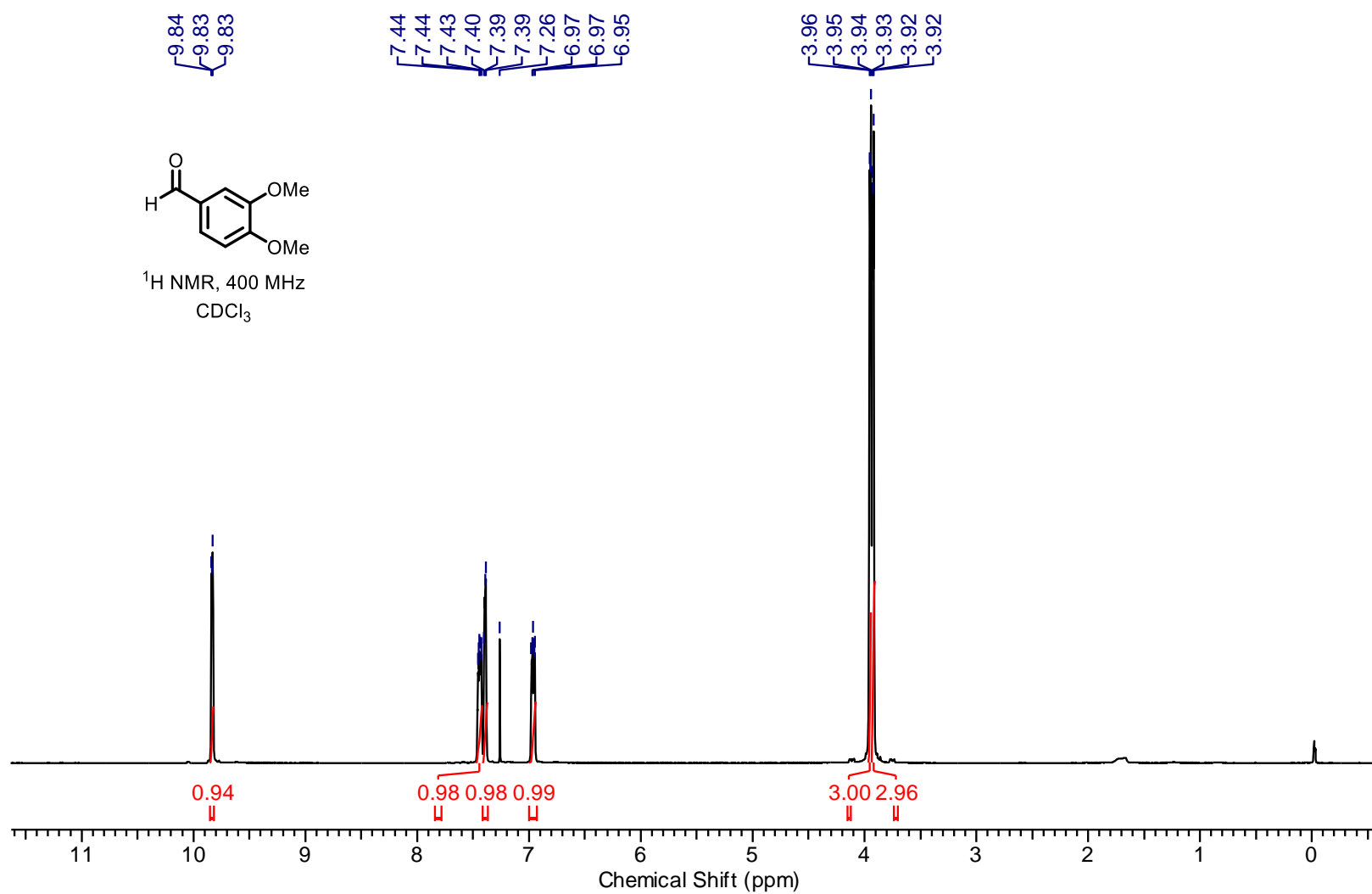
(R, E)-5-((4-Methoxybenzyl)oxy)-6-(4-methoxyphenyl)hex-3-en-2-one (25):



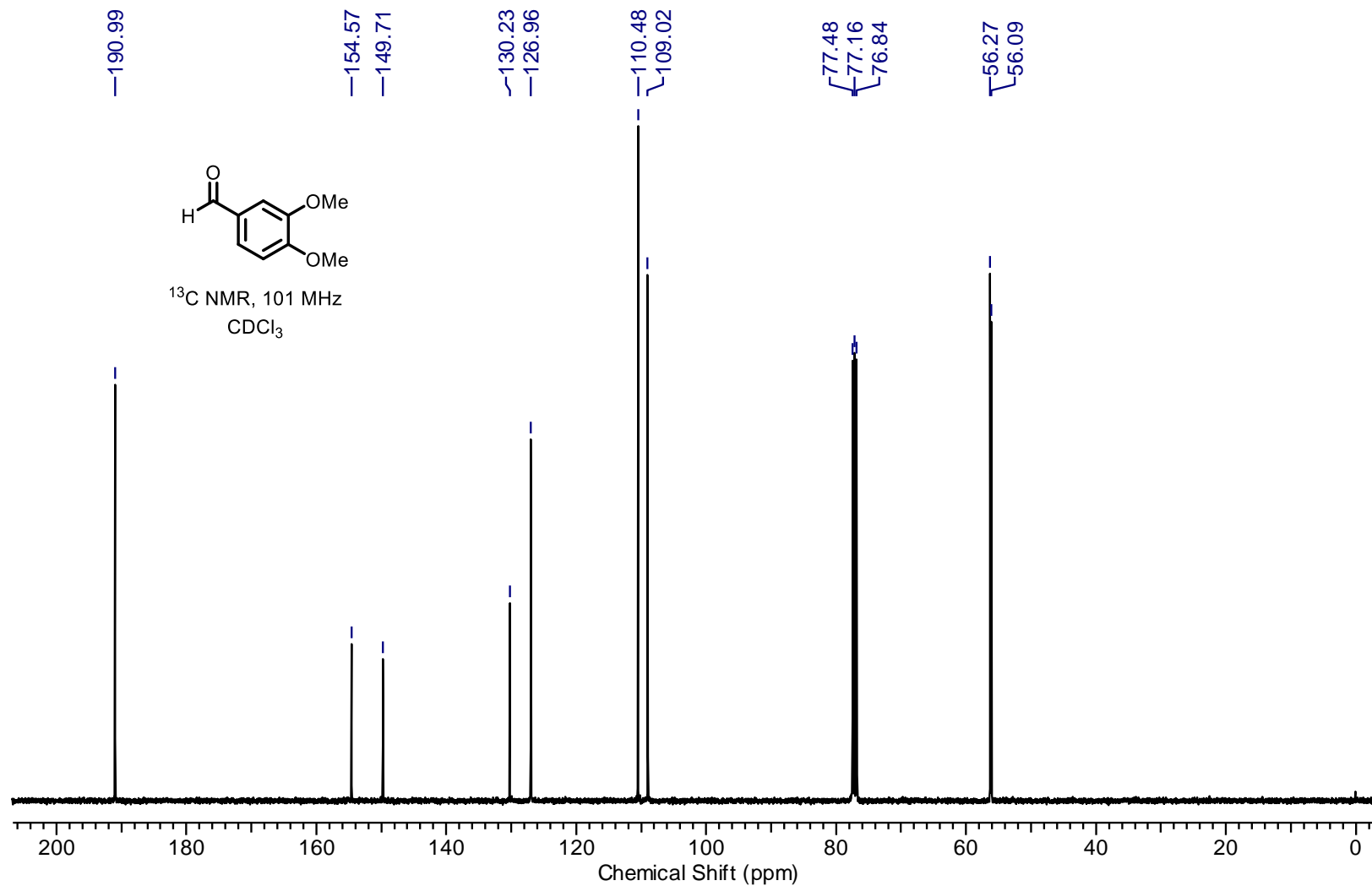
(R, E)-5-((4-Methoxybenzyl)oxy)-6-(4-methoxyphenyl)hex-3-en-2-one (25):



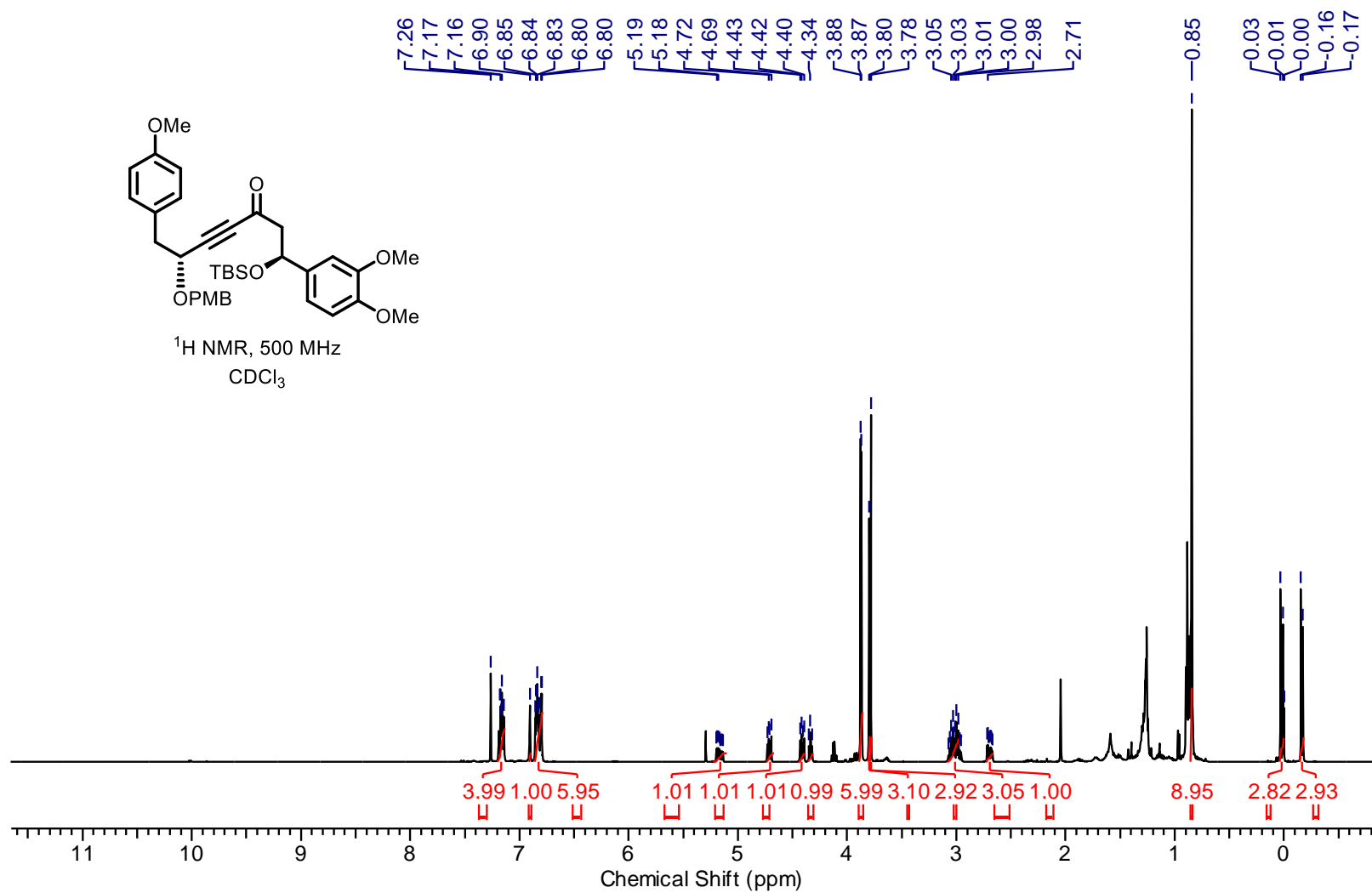
*3,4-Dimethoxybenzaldehyde (**10**):*



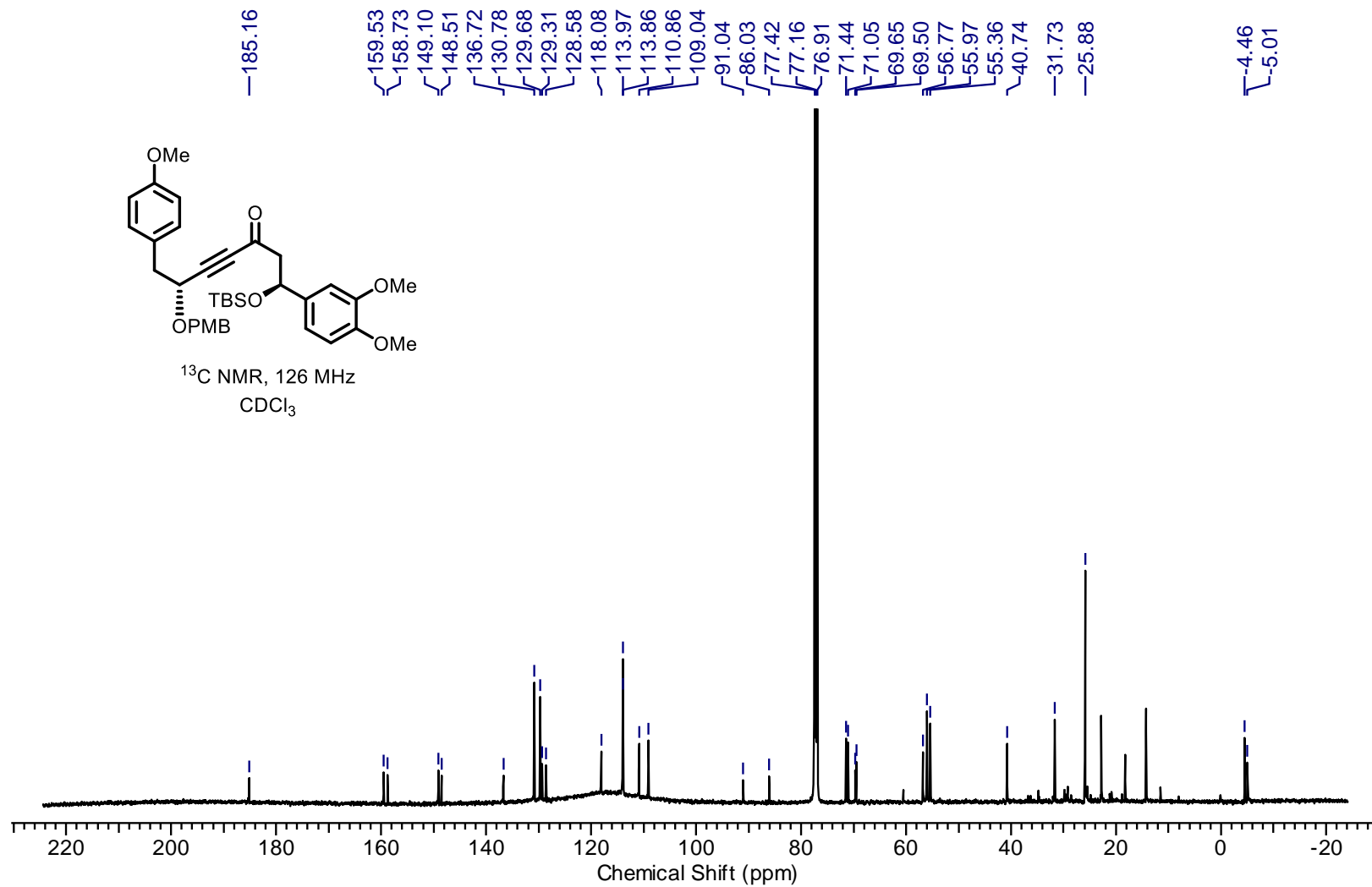
*3,4-Dimethoxybenzaldehyde (**10**):*



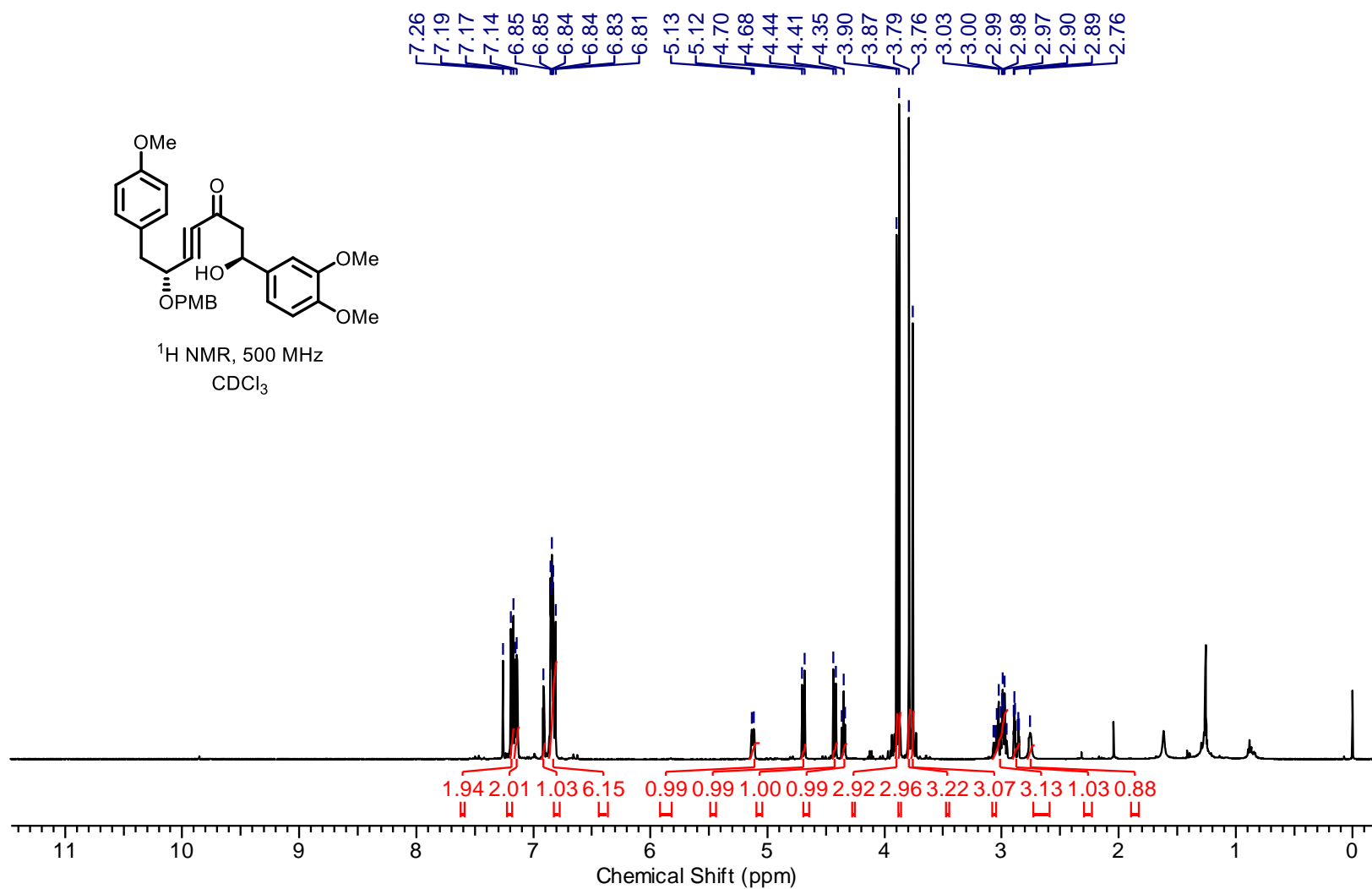
(*S*, *R*)-1-((Tert-butyldimethylsilyl)oxy)-1-(3,4-dimethoxyphenyl)-6-((4-methoxybenzyl)-oxy)-7-(4-methoxyphenyl)hept-4-yn-3-one (**14a**):



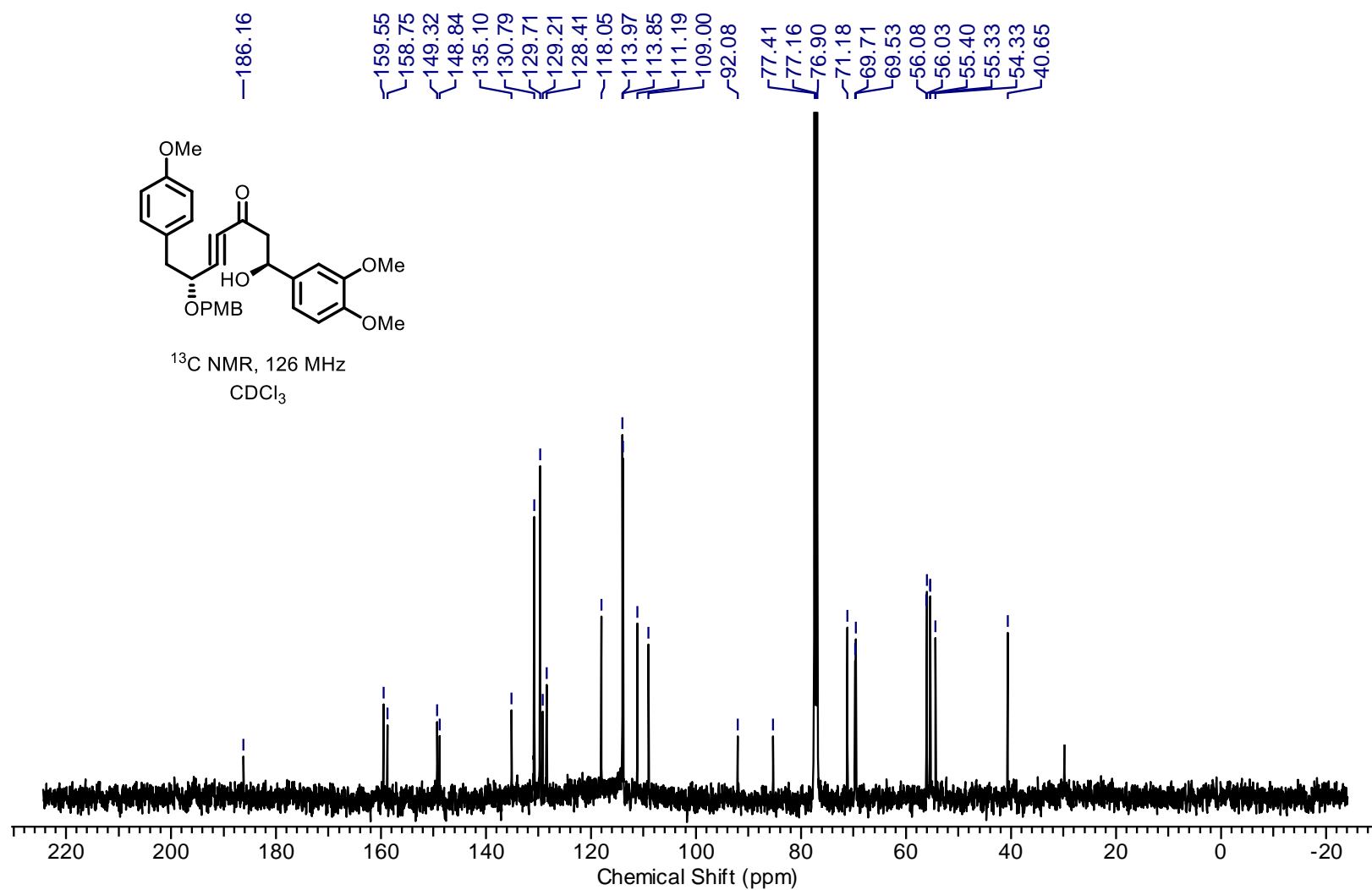
(*S*, *R*)-1-((Tert-butyldimethylsilyl)oxy)-1-(3,4-dimethoxyphenyl)-6-((4-methoxybenzyl)-oxy)-7-(4-methoxyphenyl)hept-4-yn-3-one (**14a**):



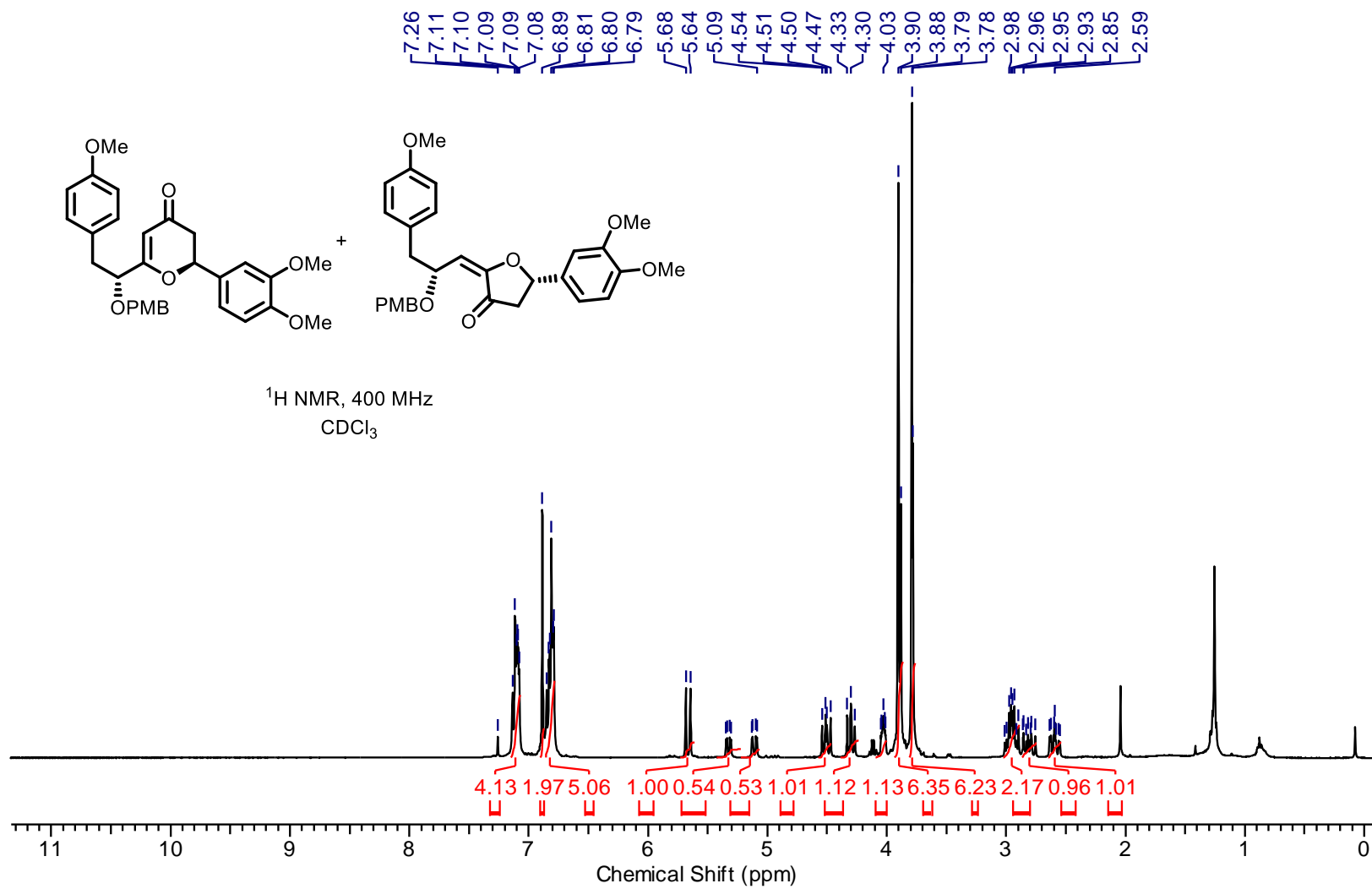
(*S*, *R*)-1-(3,4-Dimethoxyphenyl)-1-hydroxy-6-((4-methoxybenzyl)oxy)-7-(4-methoxyphenyl)hept-4-yn-3-one (**22a**):



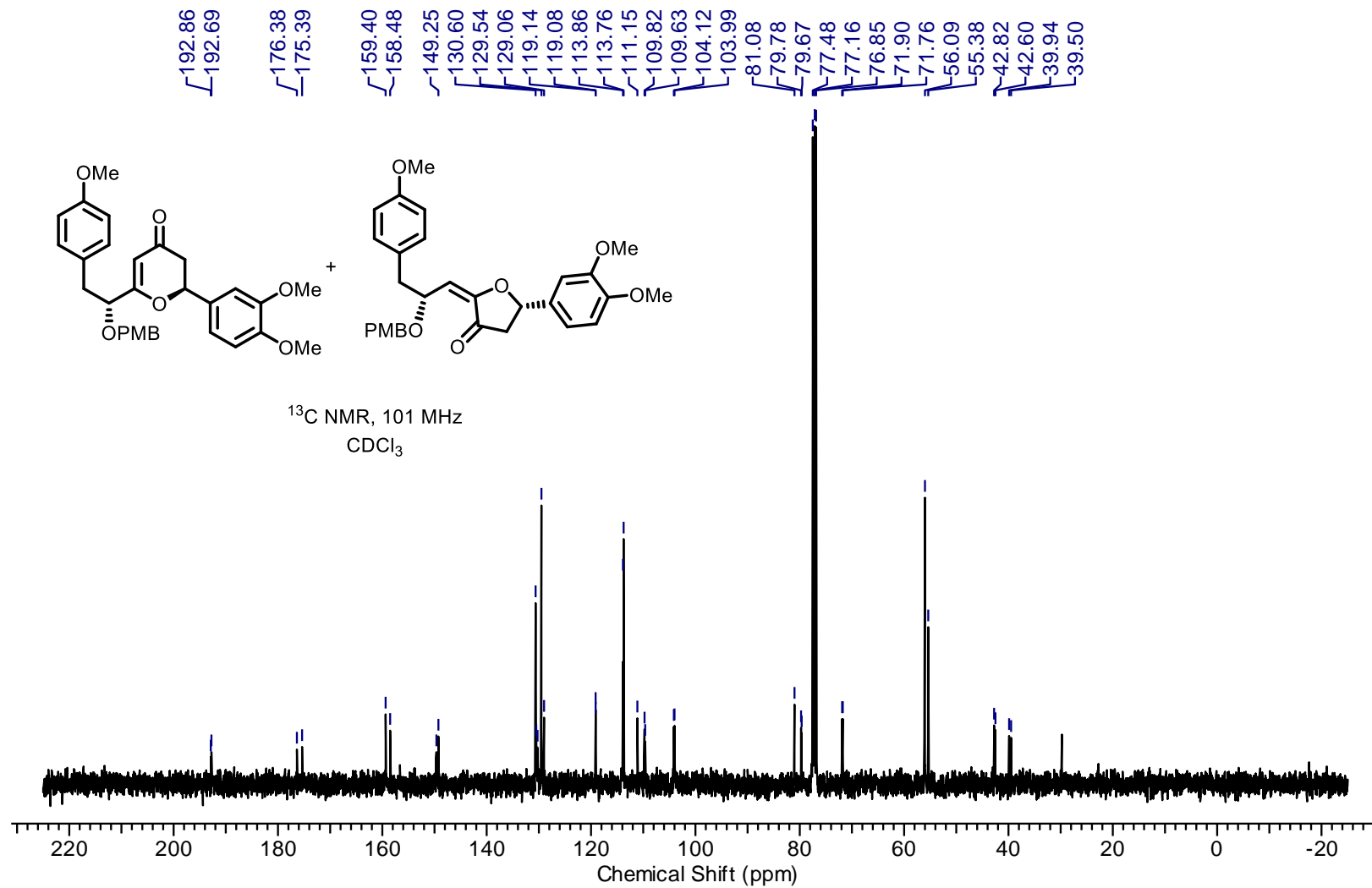
(*S*, *R*)-1-(3,4-Dimethoxyphenyl)-1-hydroxy-6-((4-methoxybenzyl)oxy)-7-(4-methoxyphenyl)hept-4-yn-3-one (**22a**):



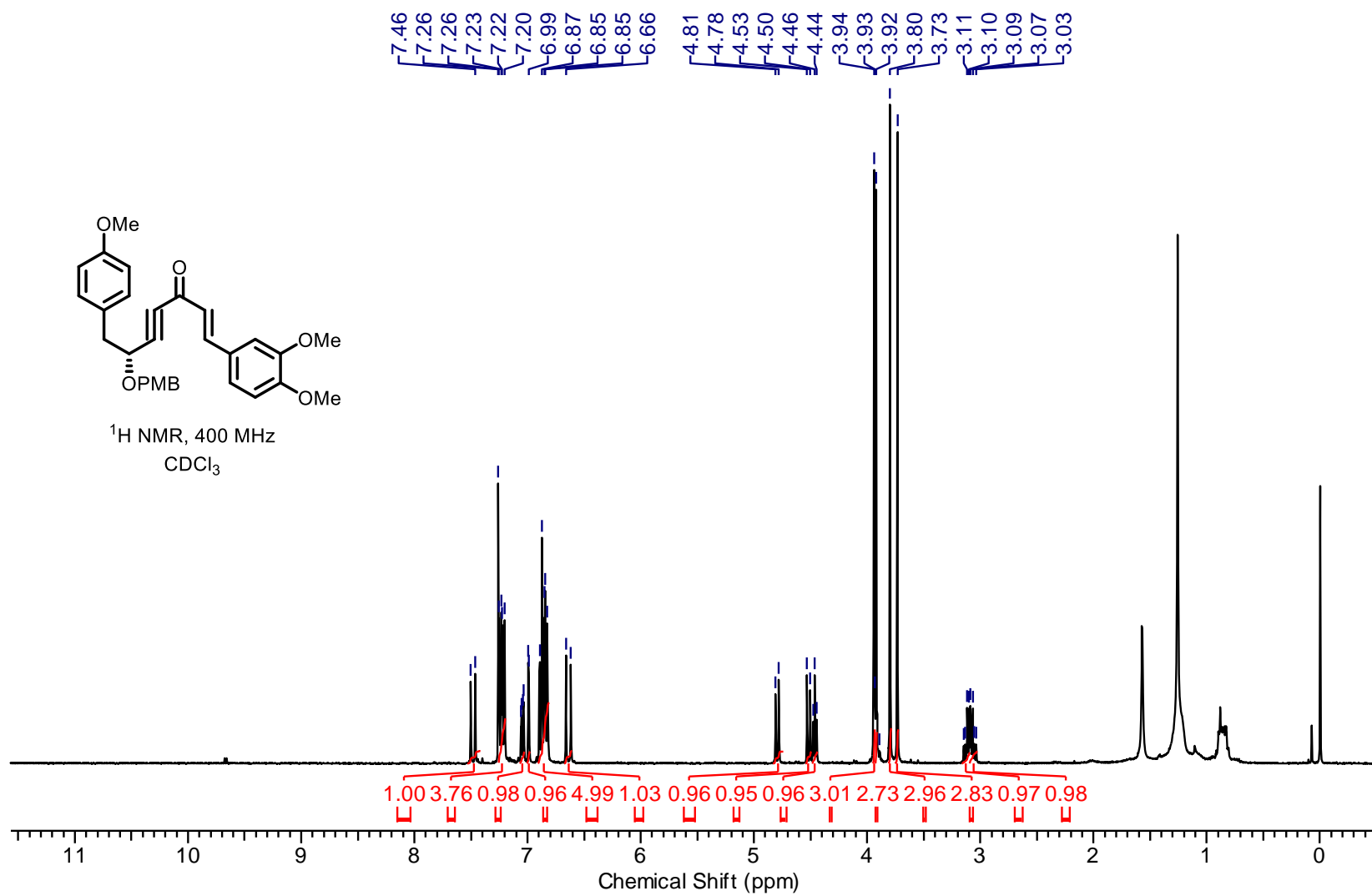
(S)-2-(3,4-Dimethoxyphenyl)-6-((R)-1-((4-methoxybenzyl)oxy)-2-(4-methoxyphenyl)ethyl)-2,3-dihydro-4H-pyran-4-one (**23a**) and (S, E)-5-(3,4-dimethoxyphenyl)-2-((R)-2-((4-methoxybenzyl)oxy)-3-(4-methoxyphenyl)propylidene)dihydrofuran-3(2H)-one (**26**):



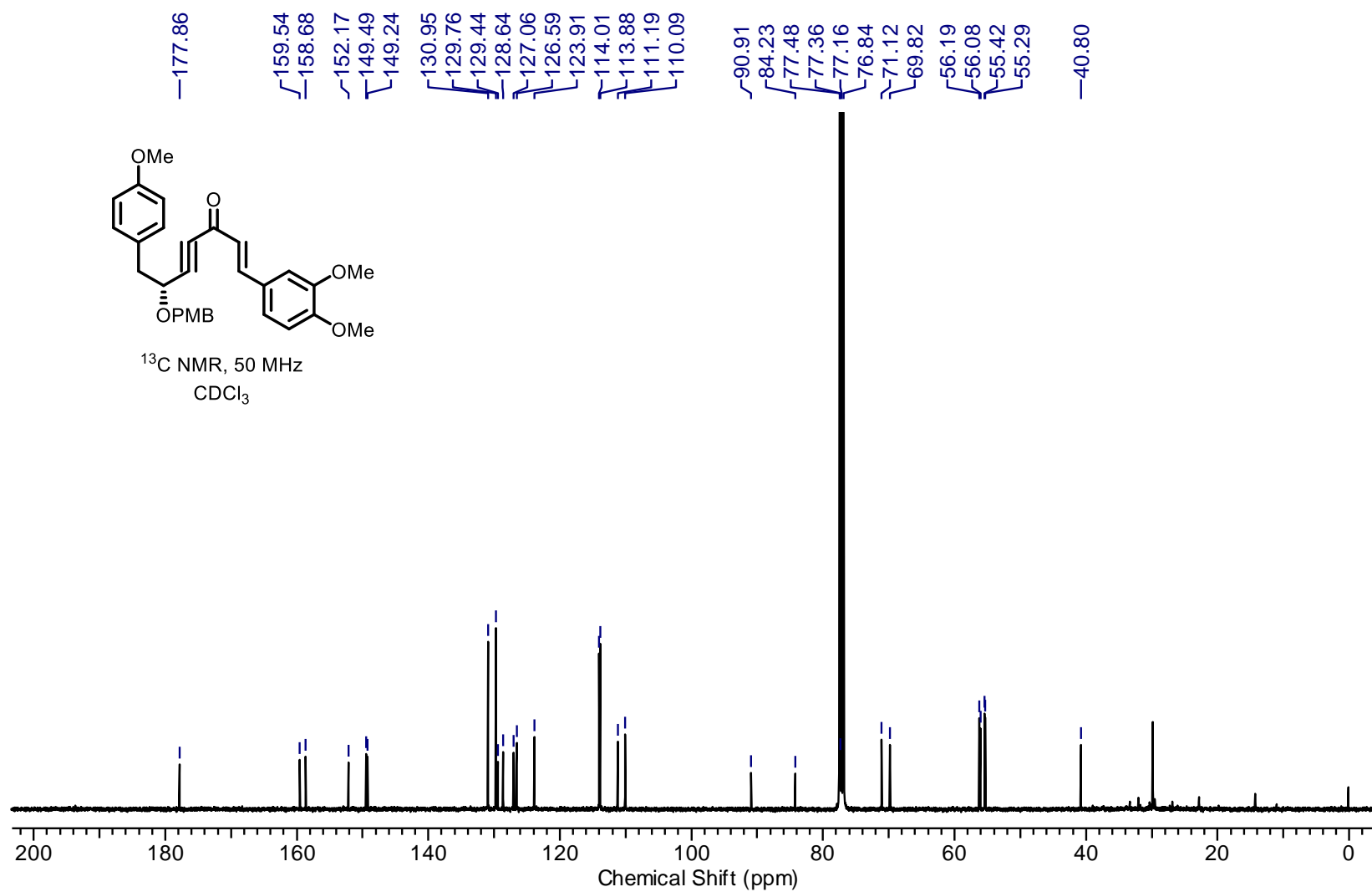
(S)-2-(3,4-Dimethoxyphenyl)-6-((R)-1-((4-methoxybenzyl)oxy)-2-(4-methoxyphenyl)ethyl)-2,3-dihydro-4H-pyran-4-one (**23a**) and (S, E)-5-(3,4-dimethoxyphenyl)-2-((R)-2-((4-methoxybenzyl)oxy)-3-(4-methoxyphenyl)propylidene)dihydrofuran-3(2H)-one (**26**):



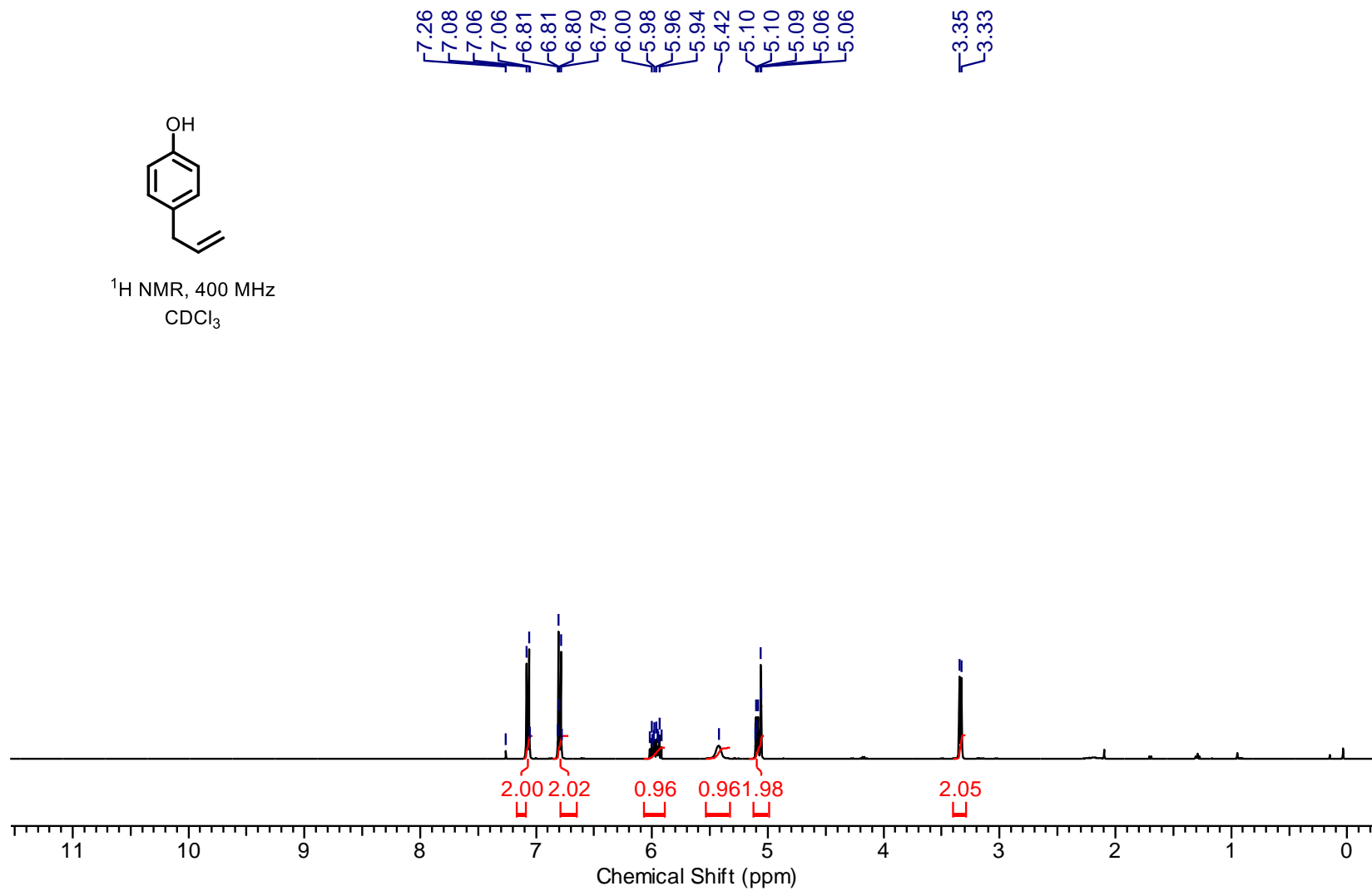
(R, E)-1-(3,4-Dimethoxyphenyl)-6-((4-methoxybenzyl)oxy)-7-(4-methoxyphenyl)hept-1-en-4-yn-3-one (24a):



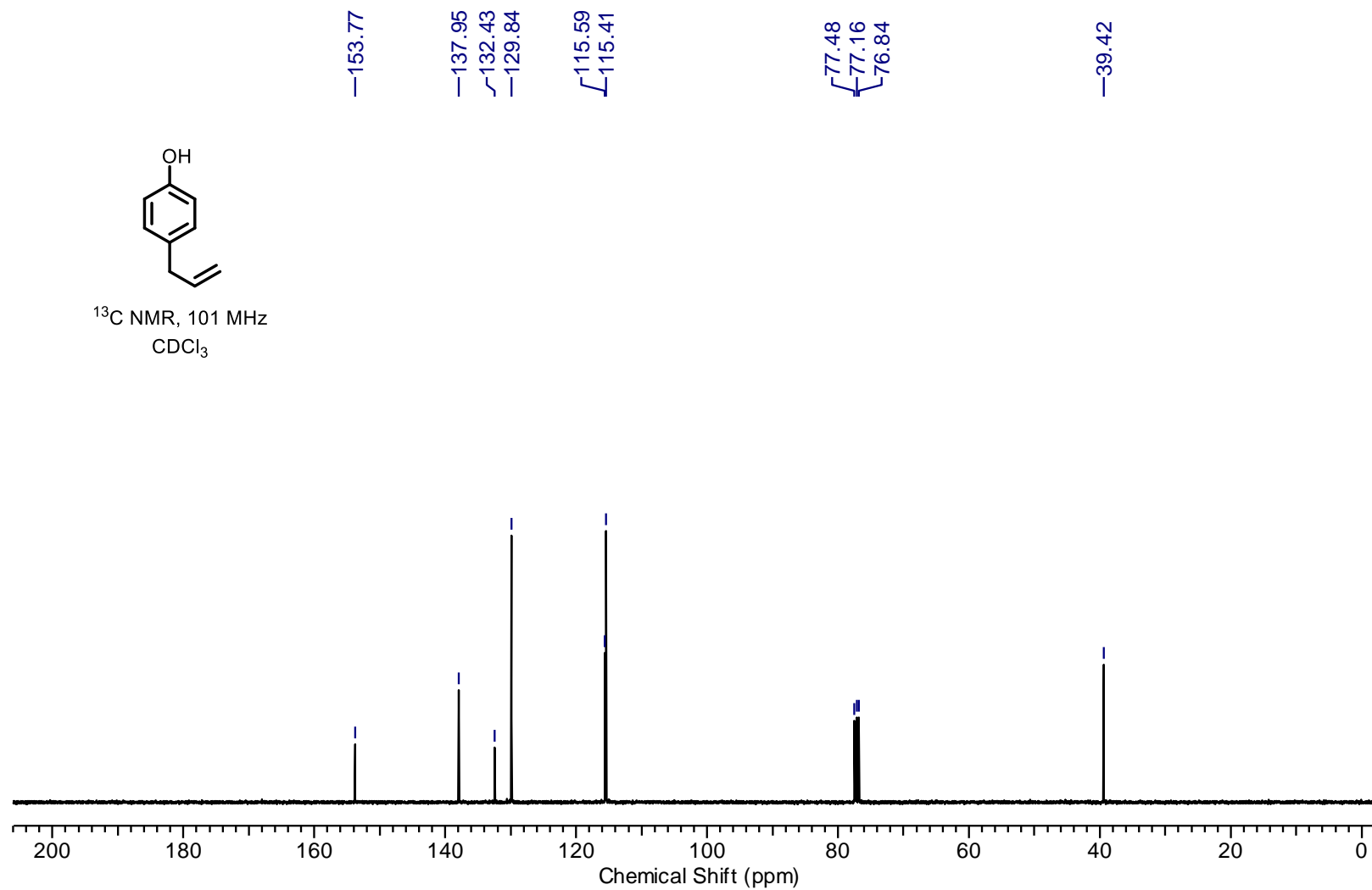
(R, E)-1-(3,4-Dimethoxyphenyl)-6-((4-methoxybenzyl)oxy)-7-(4-methoxyphenyl)hept-1-en-4-yn-3-one (24a):



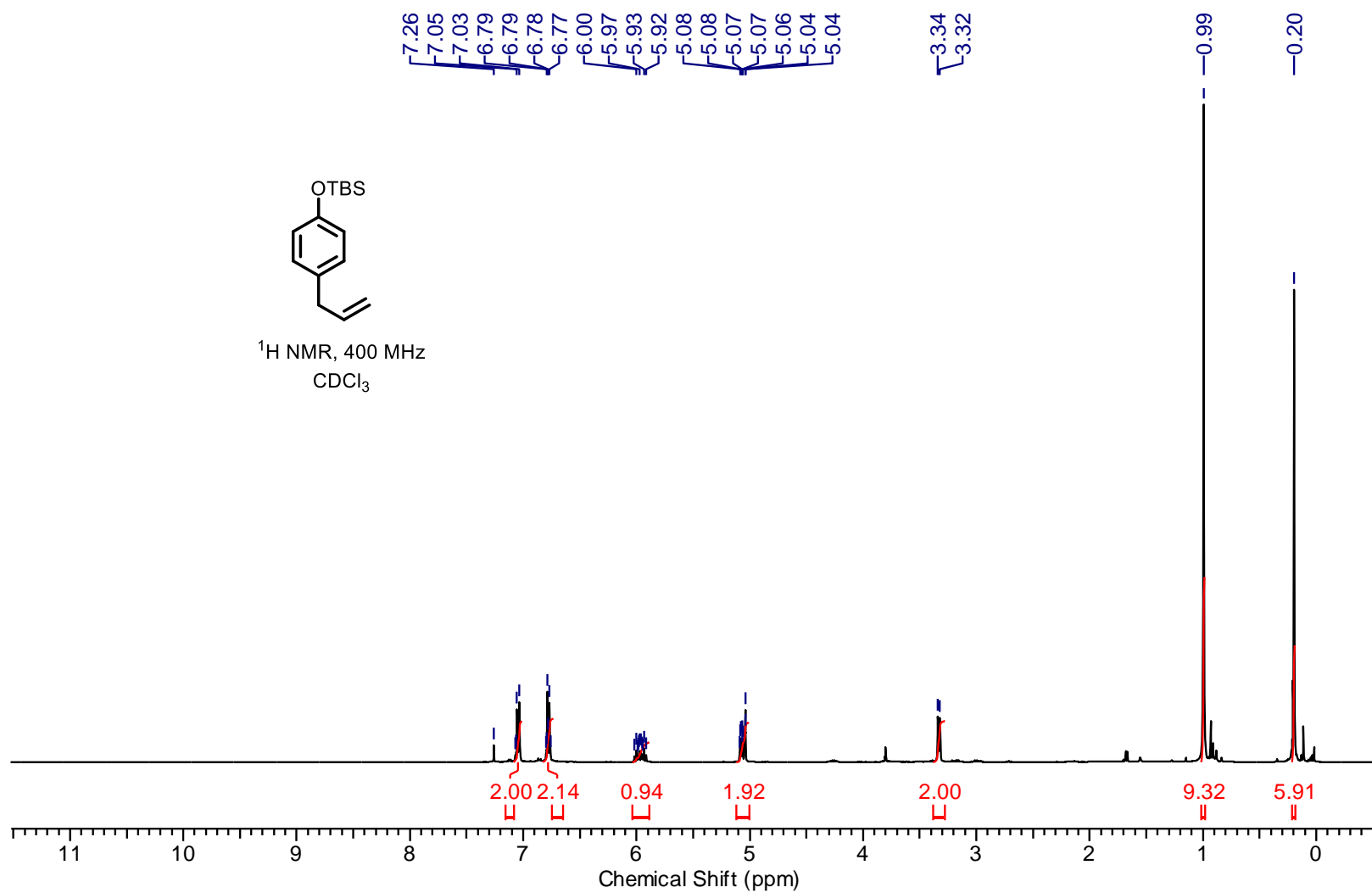
*4-Allylphenol (**S8**)*



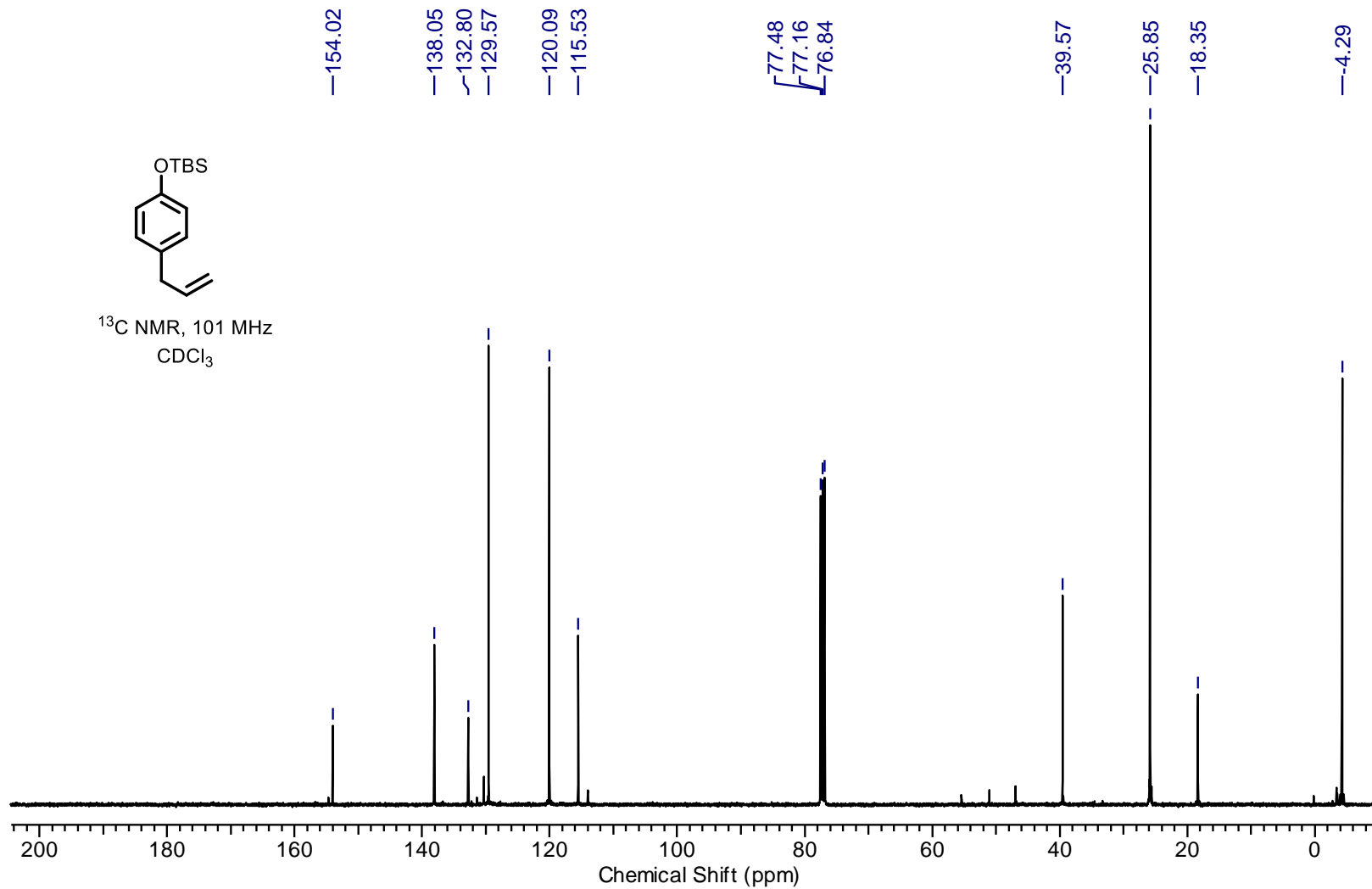
*4-Allylphenol (**S8**)*



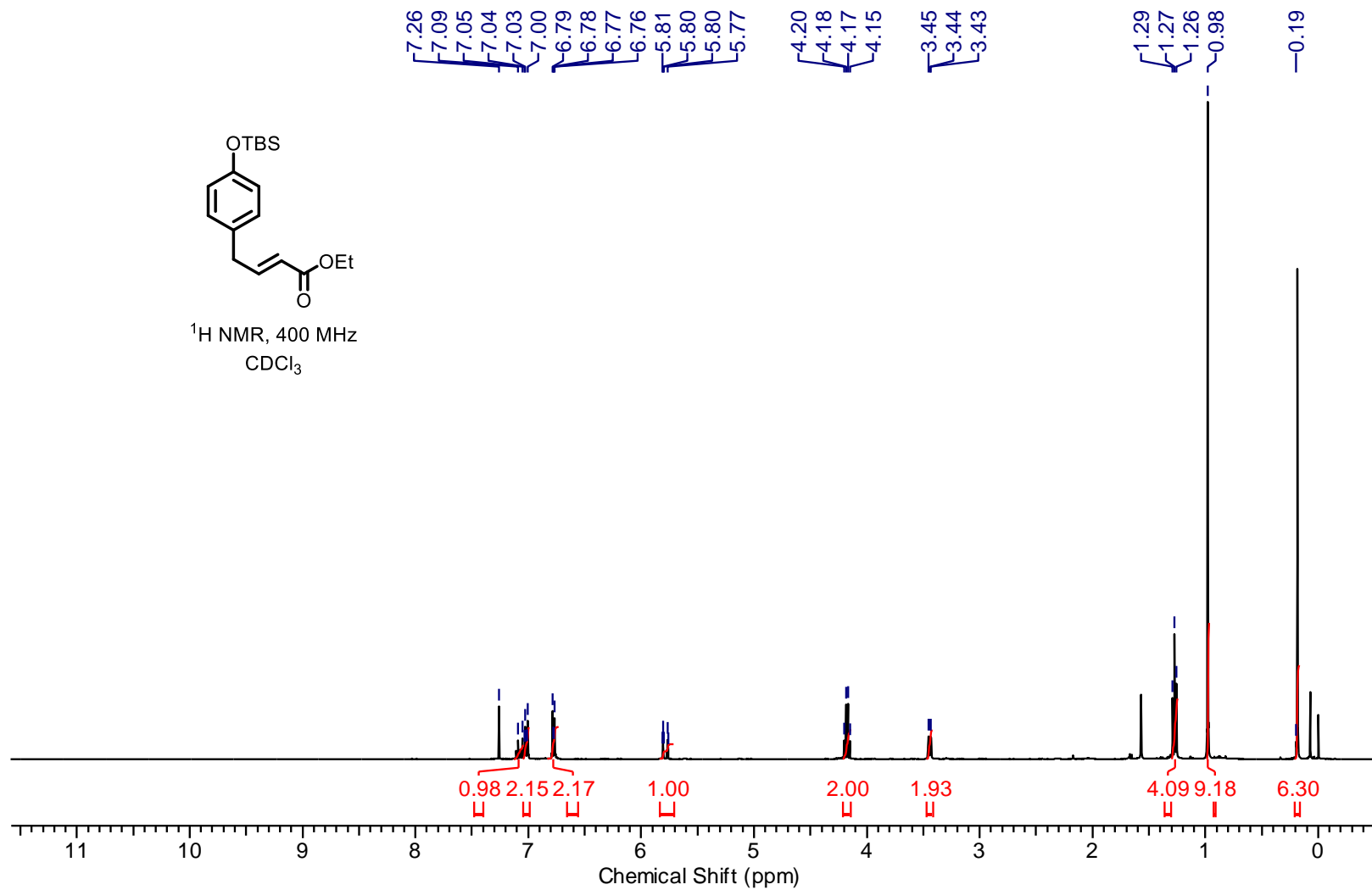
(4-Allylphenoxy)(tert-butyl)dimethylsilane (**9a**):



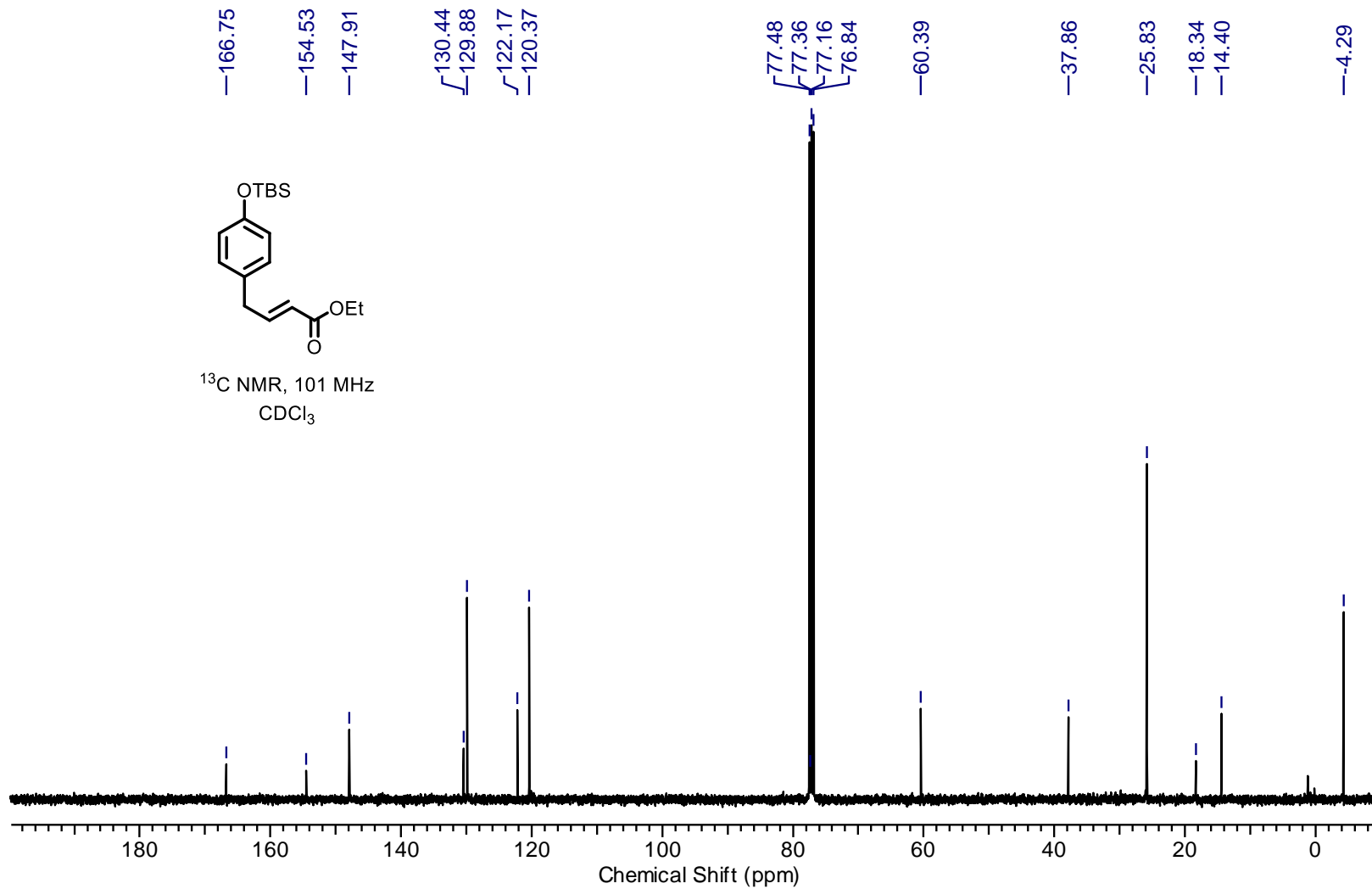
(4-Allylphenoxy)(tert-butyl)dimethylsilane (9a):



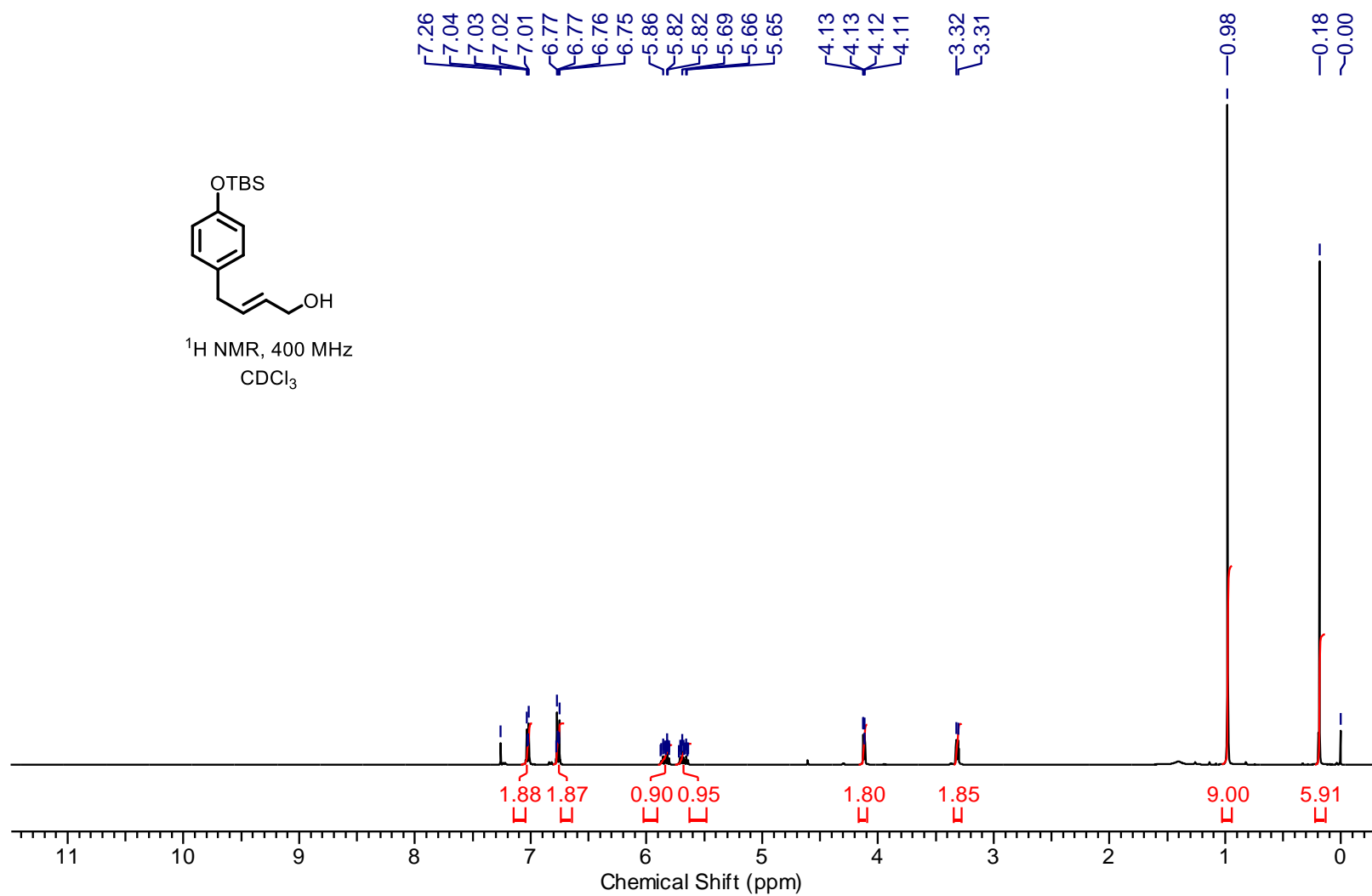
Ethyl-(E)-4-((tert-butyldimethylsilyl)oxy)phenylbut-2-enoate (17a):



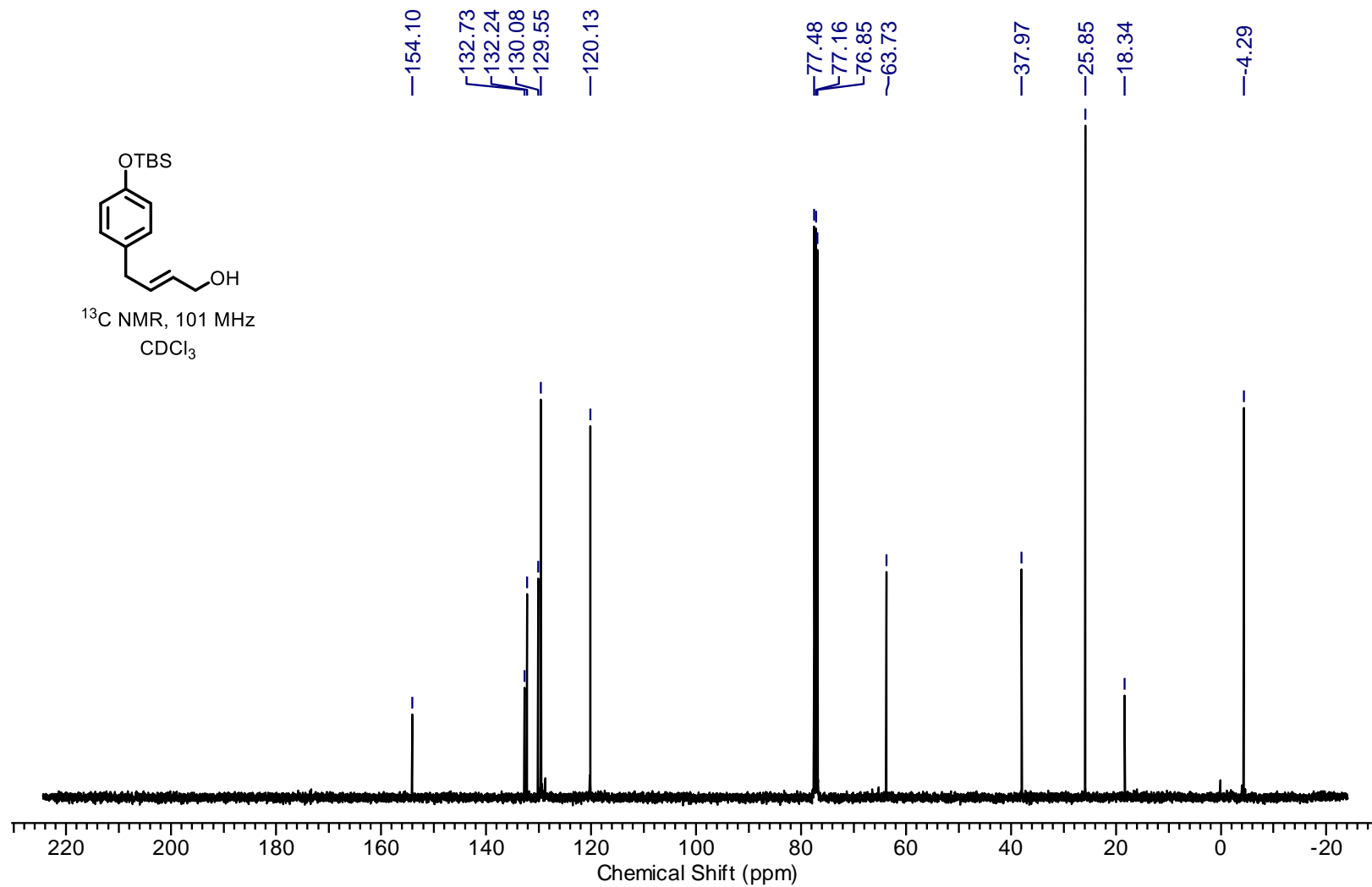
Ethyl-(E)-4-((tert-butyldimethylsilyl)oxy)phenylbut-2-enoate (17a):



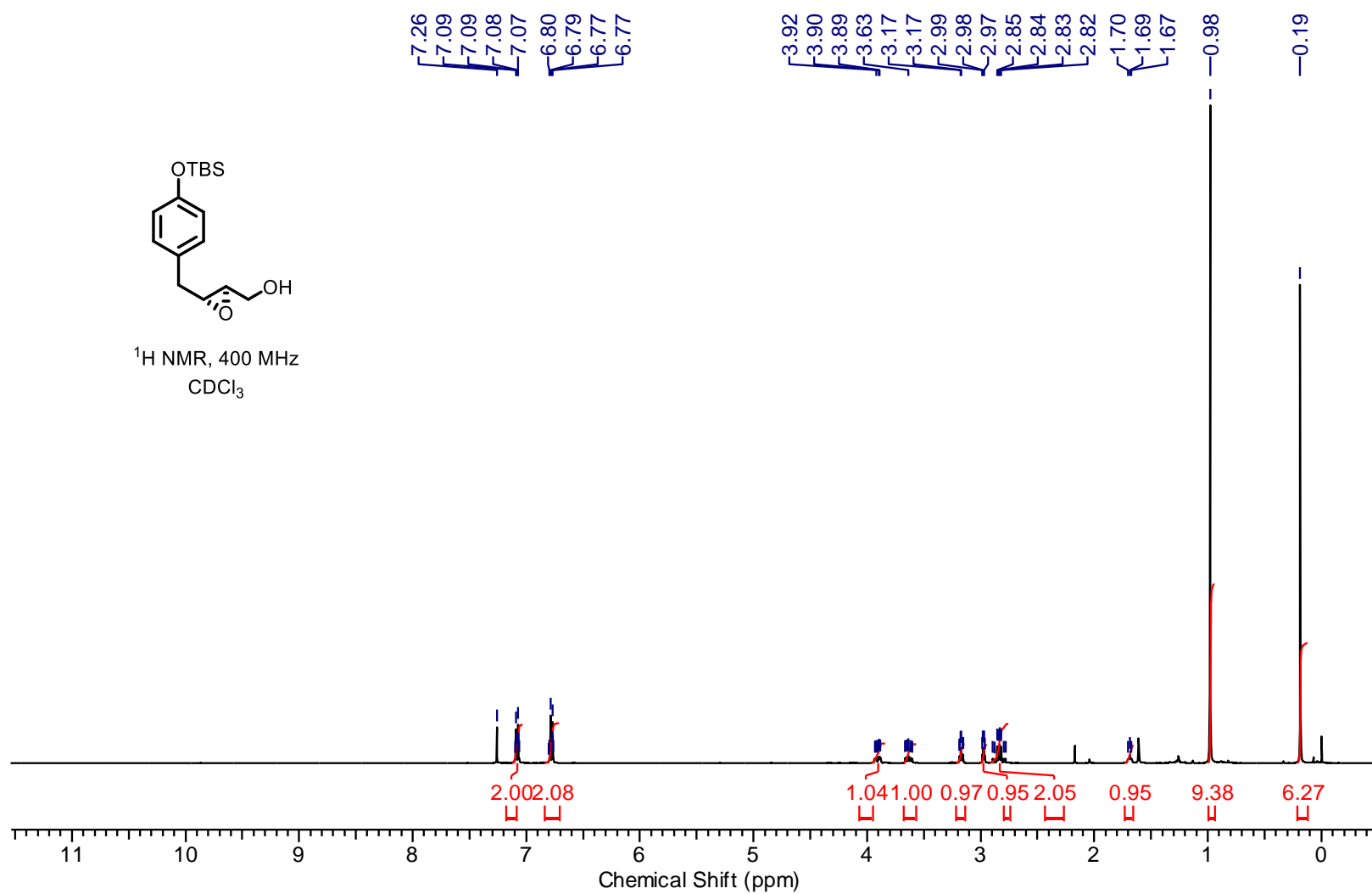
*(E)-4-((Tert-butyldimethylsilyl)oxy)phenylbut-2-en-1-ol (**S4a**):*



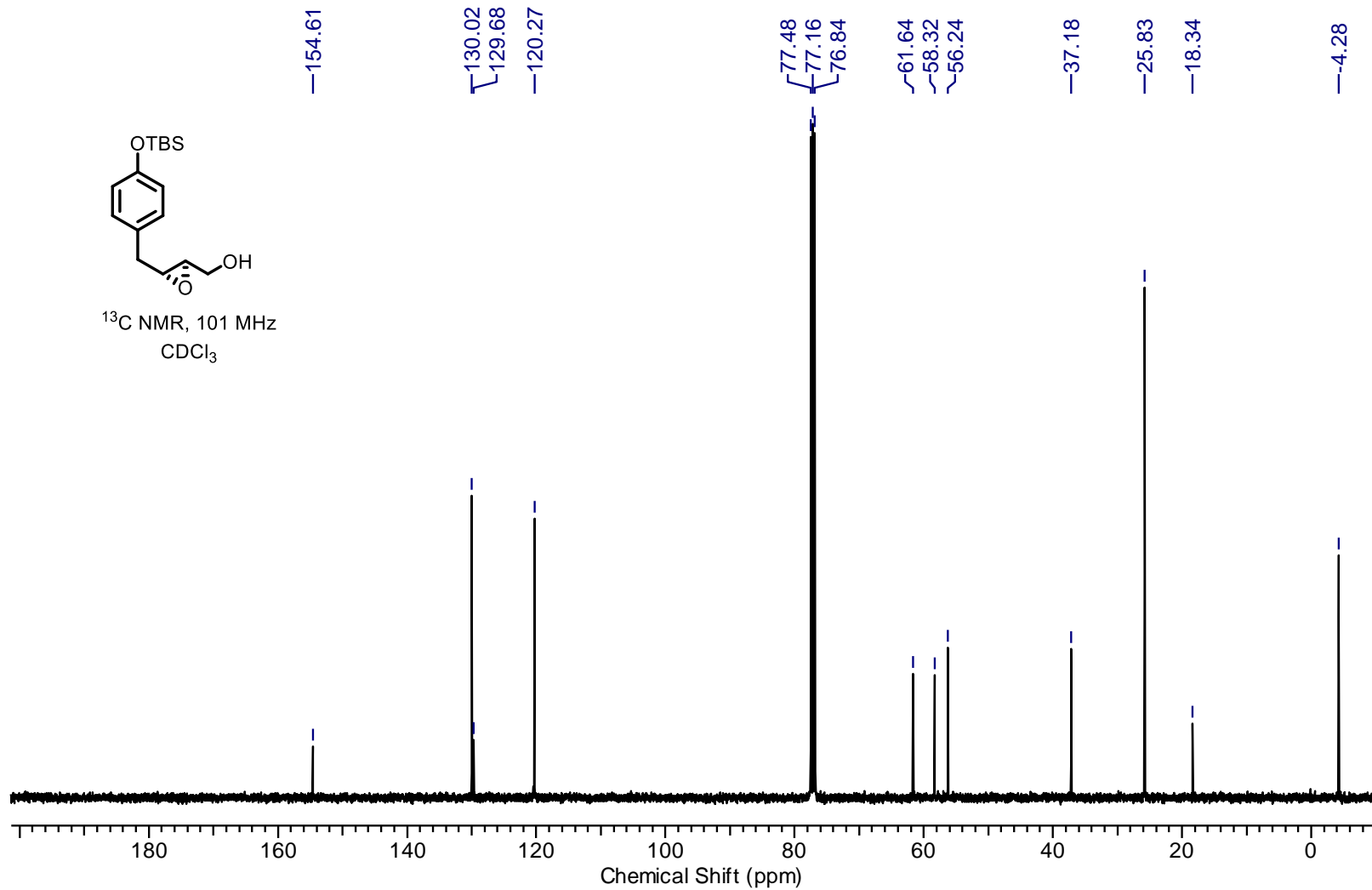
*(E)-4-((Tert-butyldimethylsilyl)oxy)phenylbut-2-en-1-ol (**S4a**):*



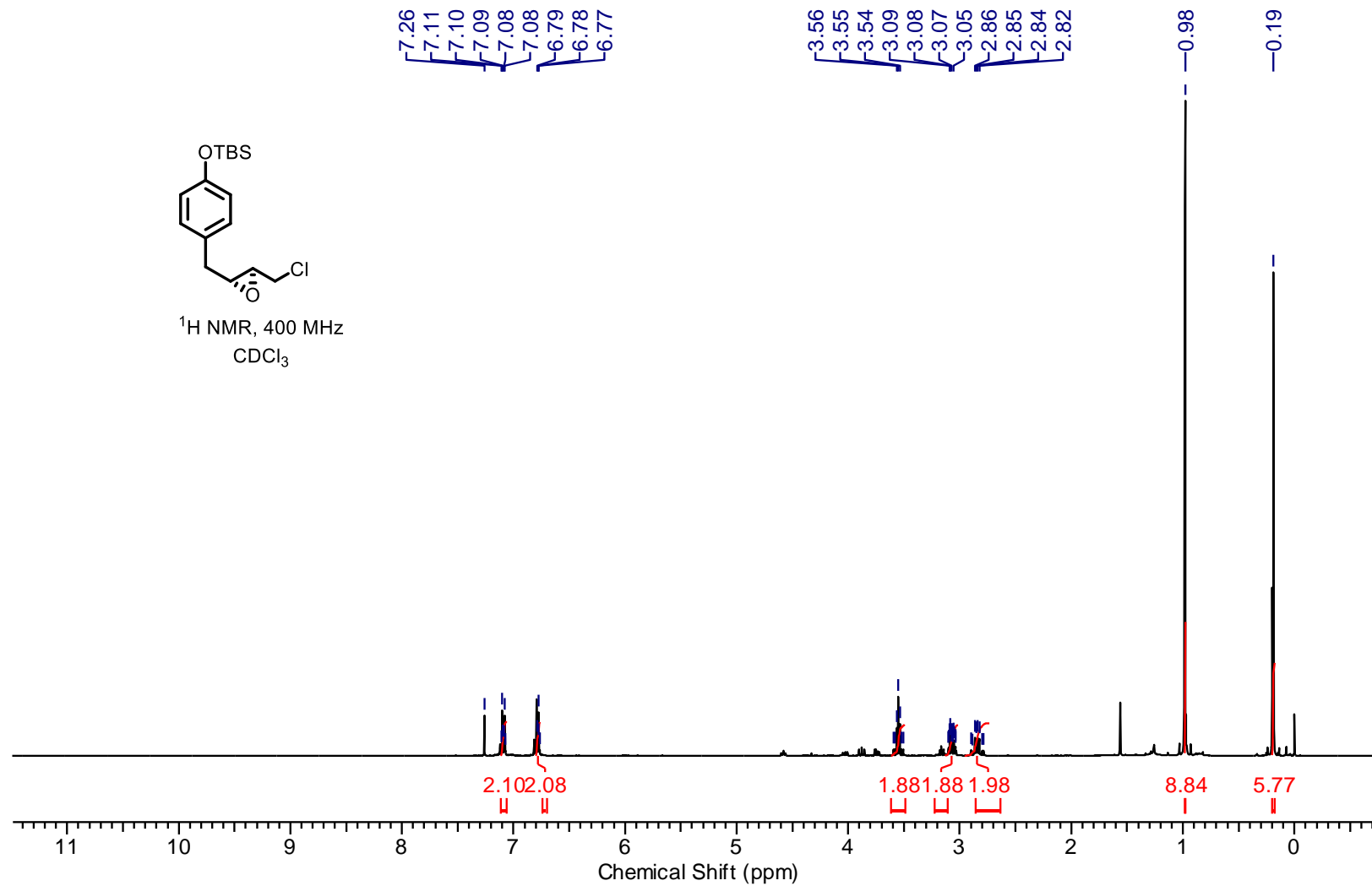
*((2R, 3R)-3-((4-((Tert-butyldimethylsilyl)oxy)benzyl)oxiran-2-yl)methanol (**18a**):*



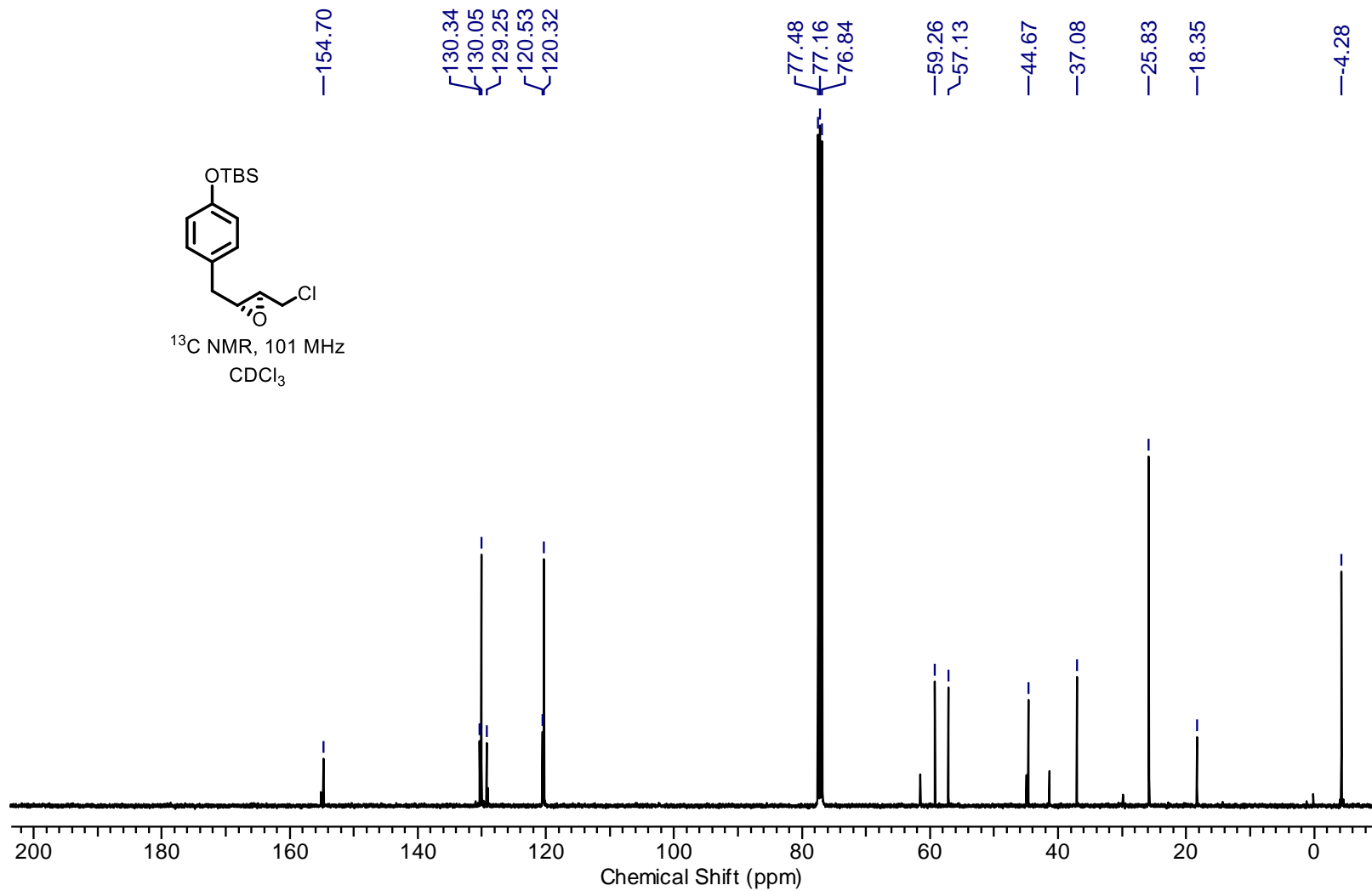
*((2R, 3R)-3-((4-((Tert-butyldimethylsilyl)oxy)benzyl)oxiran-2-yl)methanol (**18a**):*



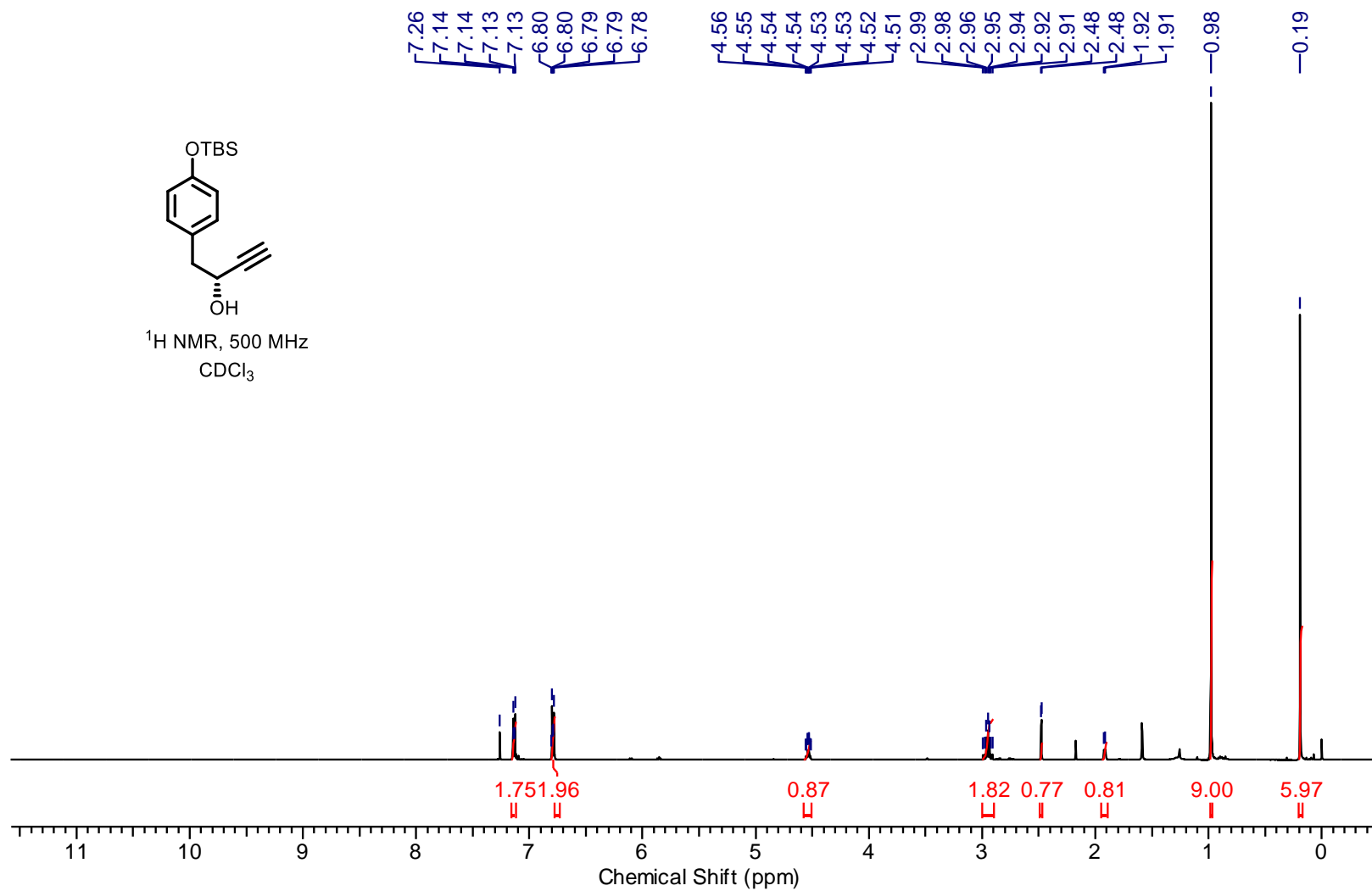
*Tert-butyl(4-(((2*R*,3*S*)-3-(chloromethyl)oxiran-2-yl)methyl)phenoxy)dimethylsilane (**19a**):*



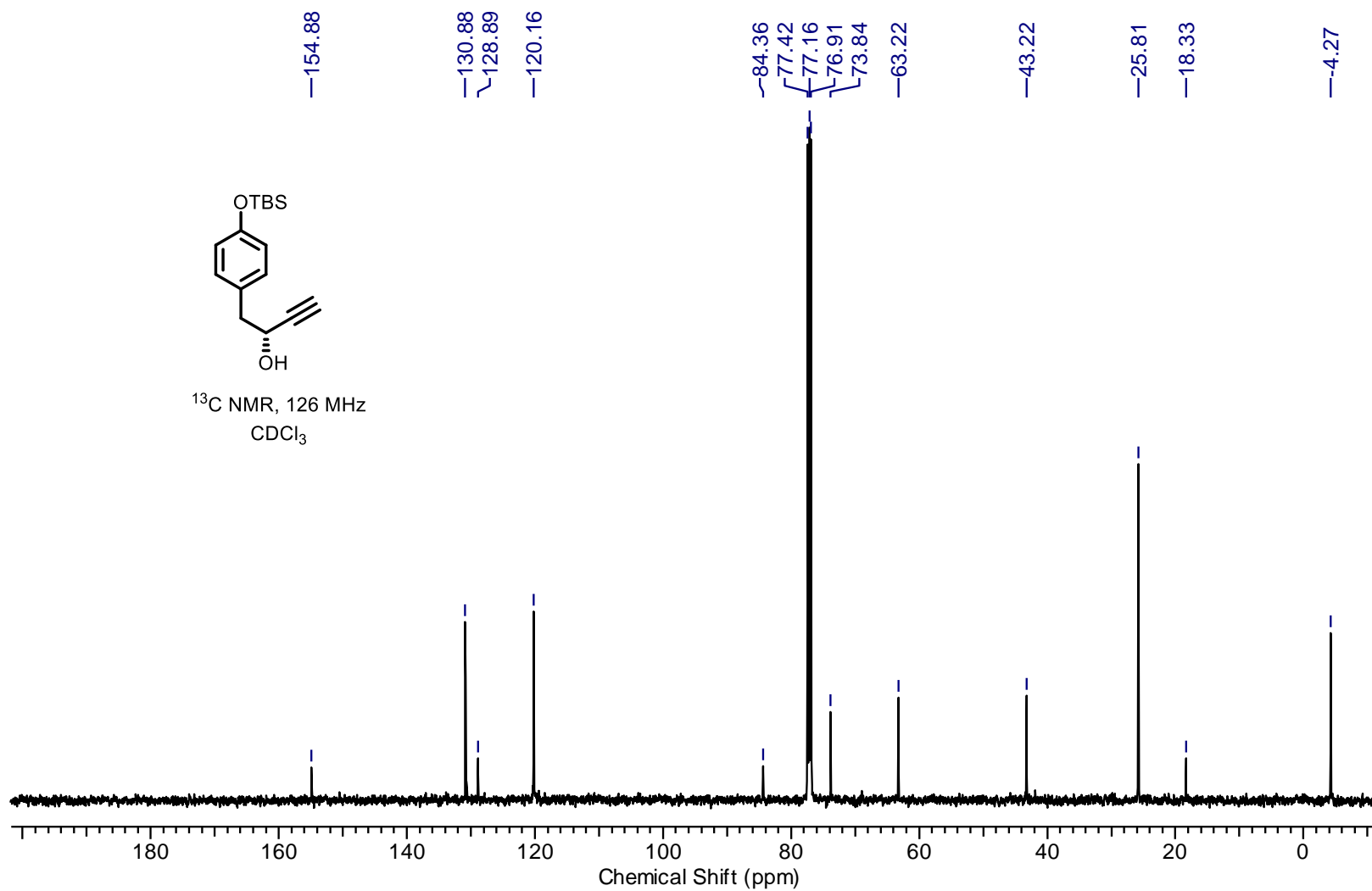
*Tert-butyl(4-(((2*R*,3*S*)-3-(chloromethyl)oxiran-2-yl)methyl)phenoxy)dimethylsilane (**19a**):*



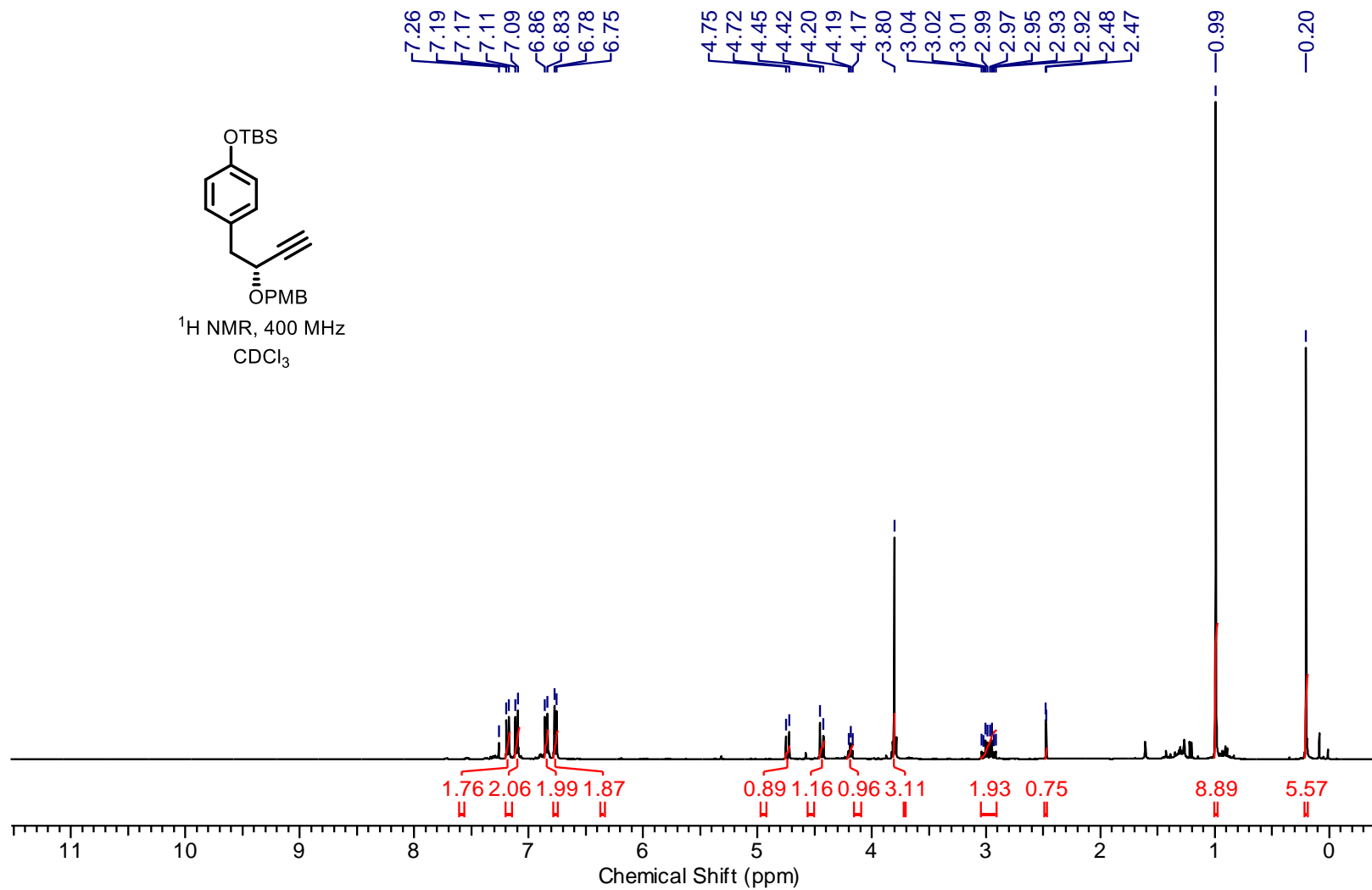
(R)-1-((Tert-butyldimethylsilyl)oxy)phenylbut-3-yn-2-ol (**S5a**):



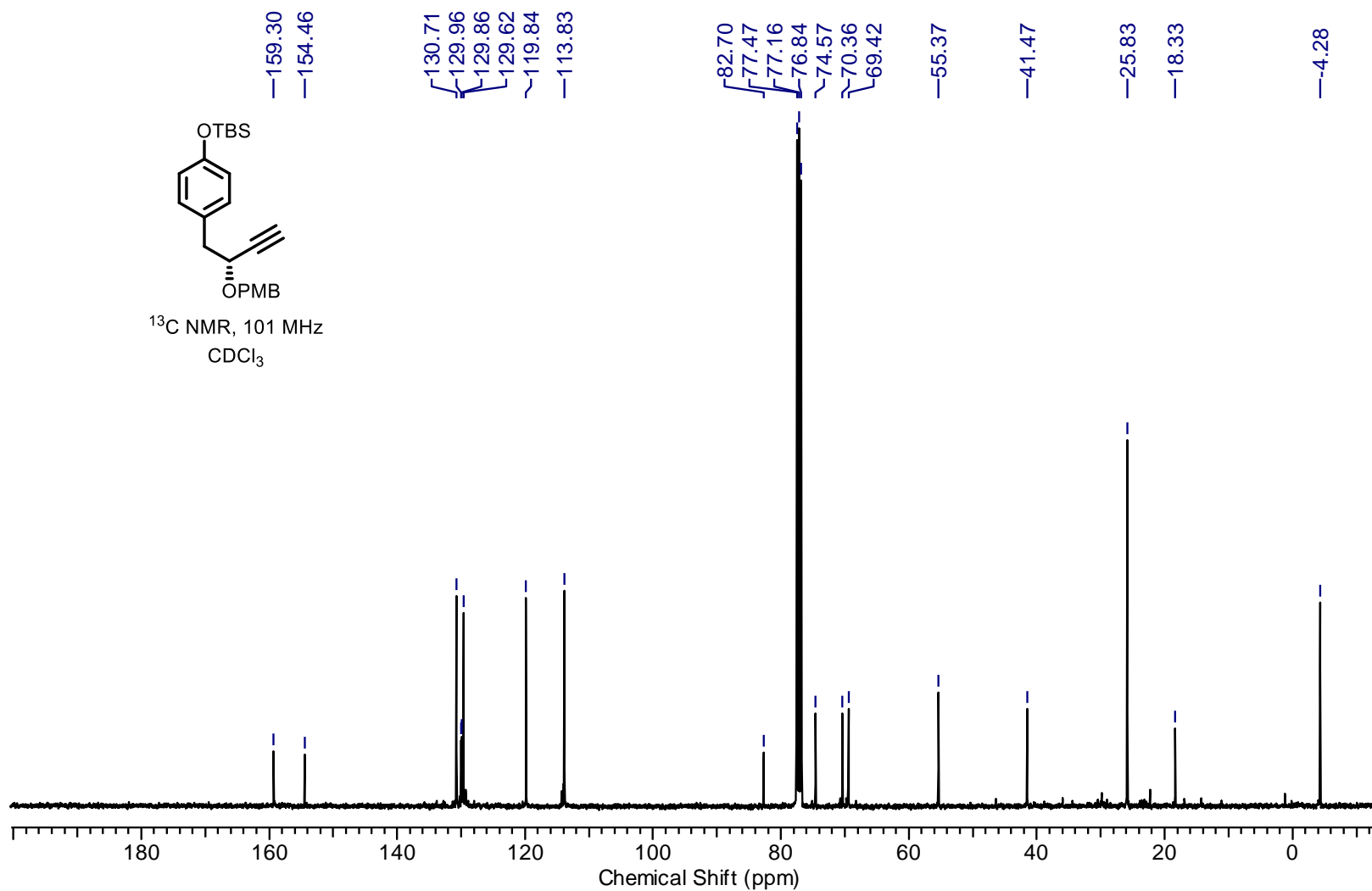
(R)-1-((Tert-butyldimethylsilyl)oxy)phenylbut-3-yn-2-ol (**S5a**):



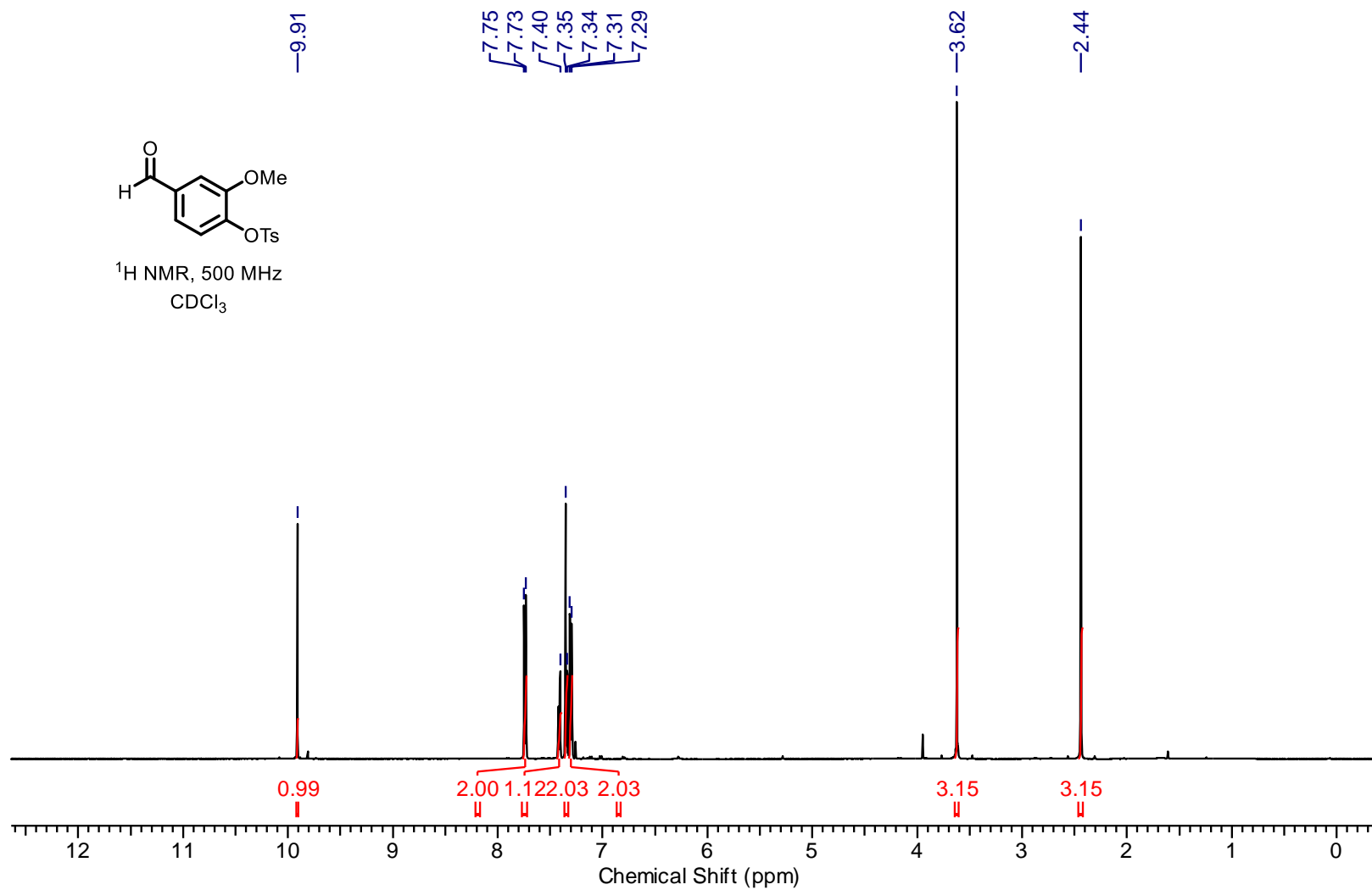
(R)-Tert-butyl(4-(2-((4-methoxybenzyl)oxy)but-3-yn-1-yl)phenoxy)dimethylsilane (15a):



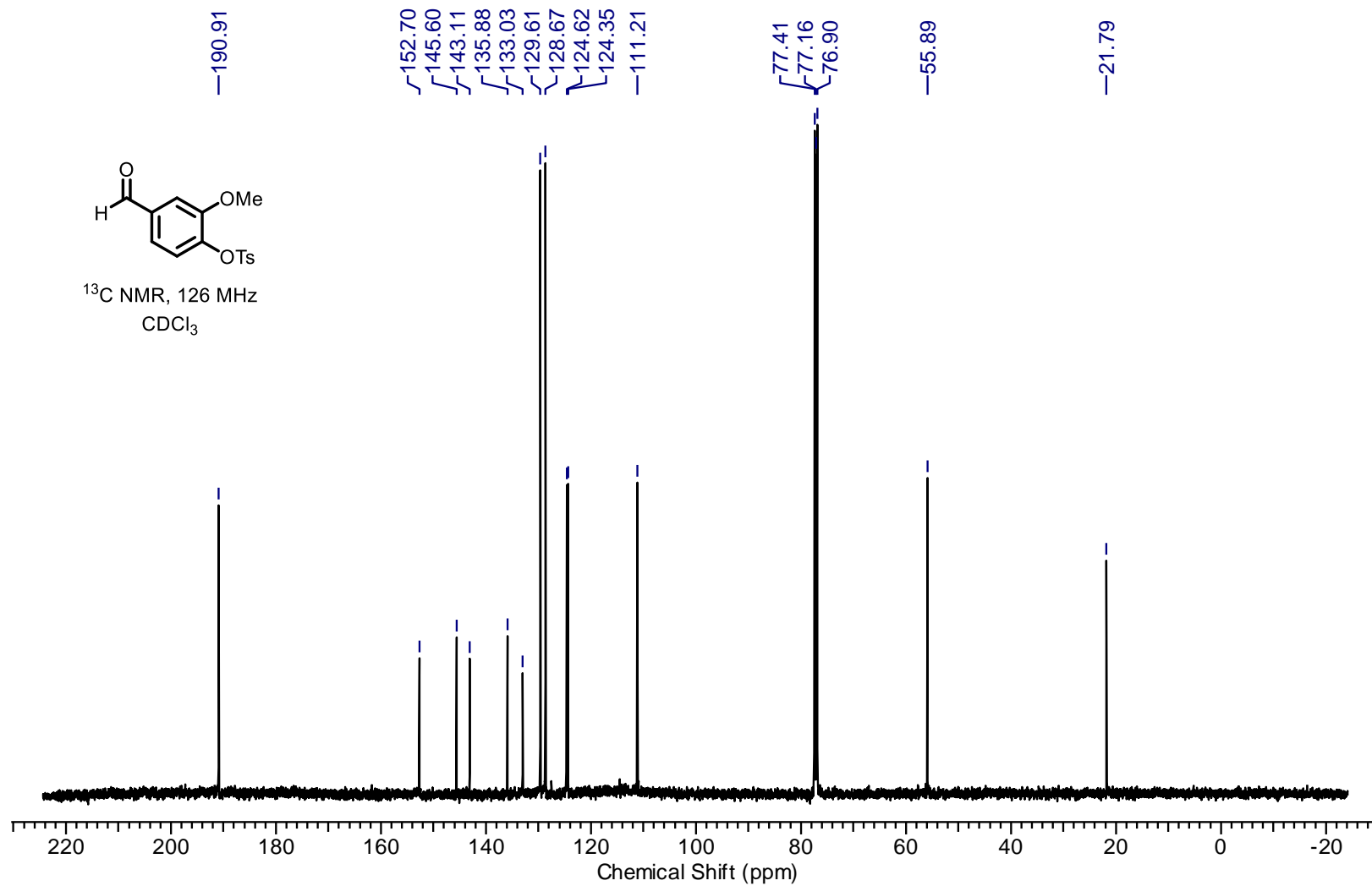
(R)-*Tert*-butyl(4-(2-((4-methoxybenzyl)oxy)but-3-yn-1-yl)phenoxy)dimethylsilane (**15a**):



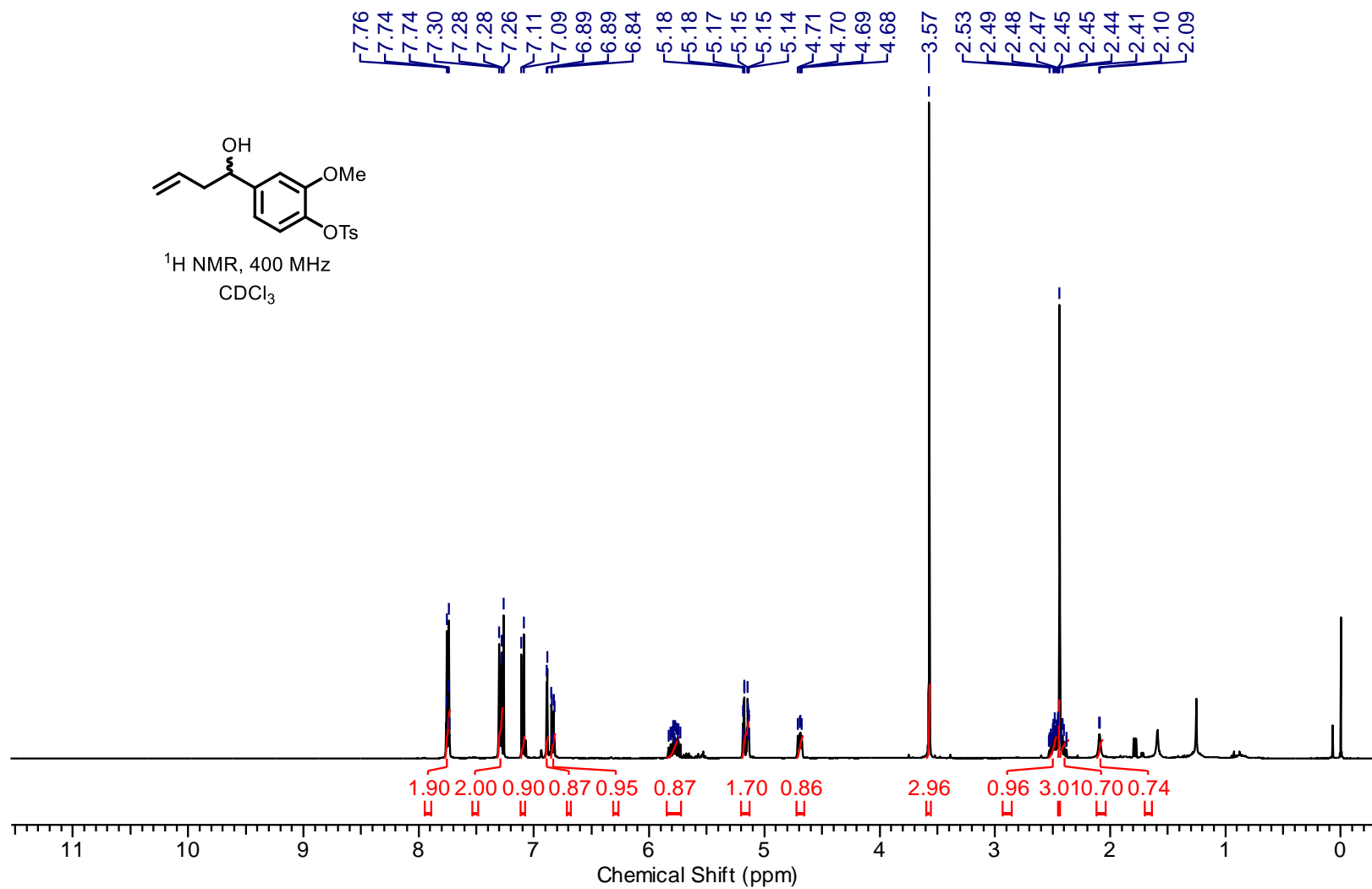
4-Formyl-2-methoxyphenyl-4-methylbenzenesulfonate (10a):



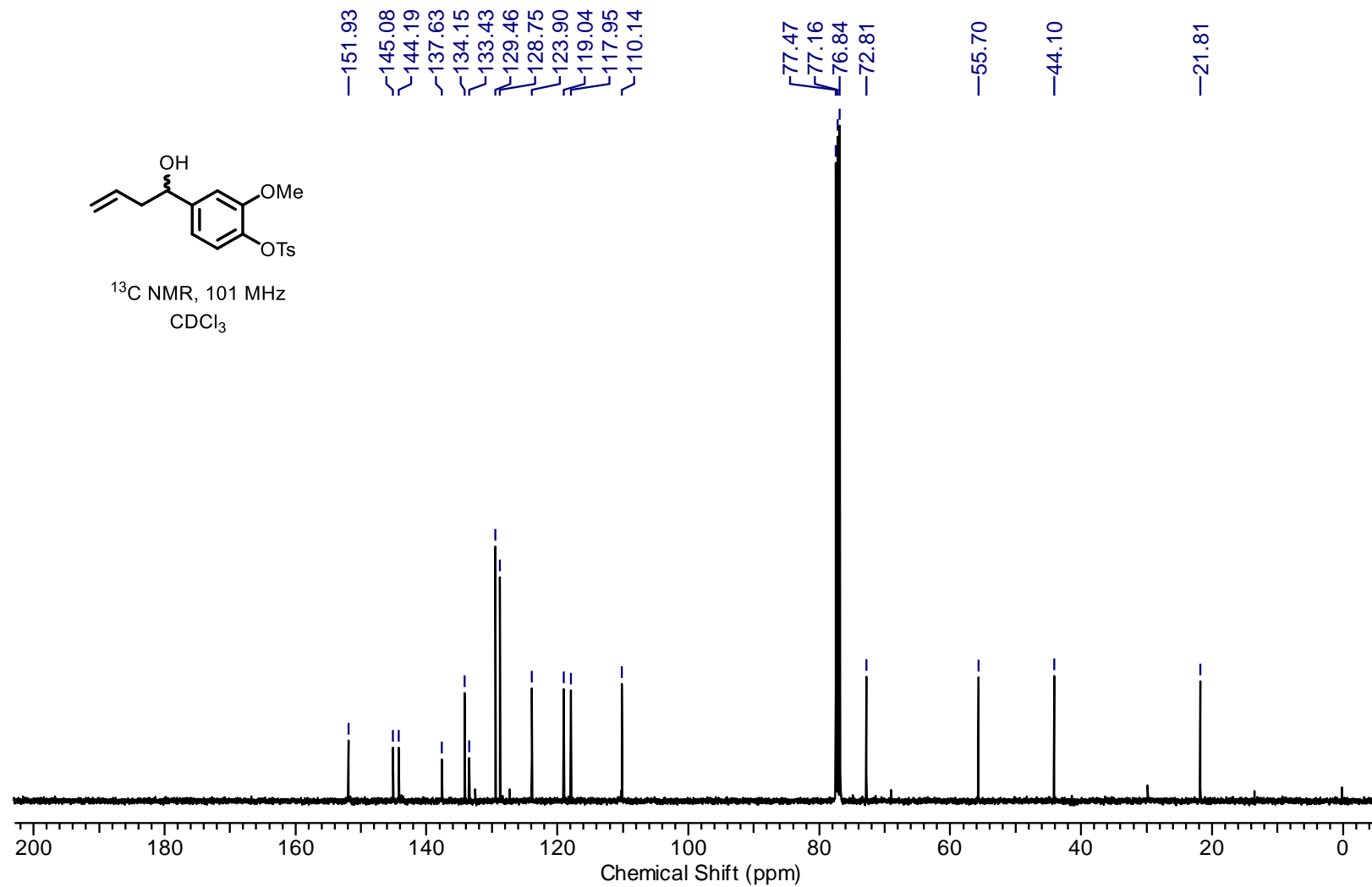
*4-Formyl-2-methoxyphenyl-4-methylbenzenesulfonate (**10a**):*



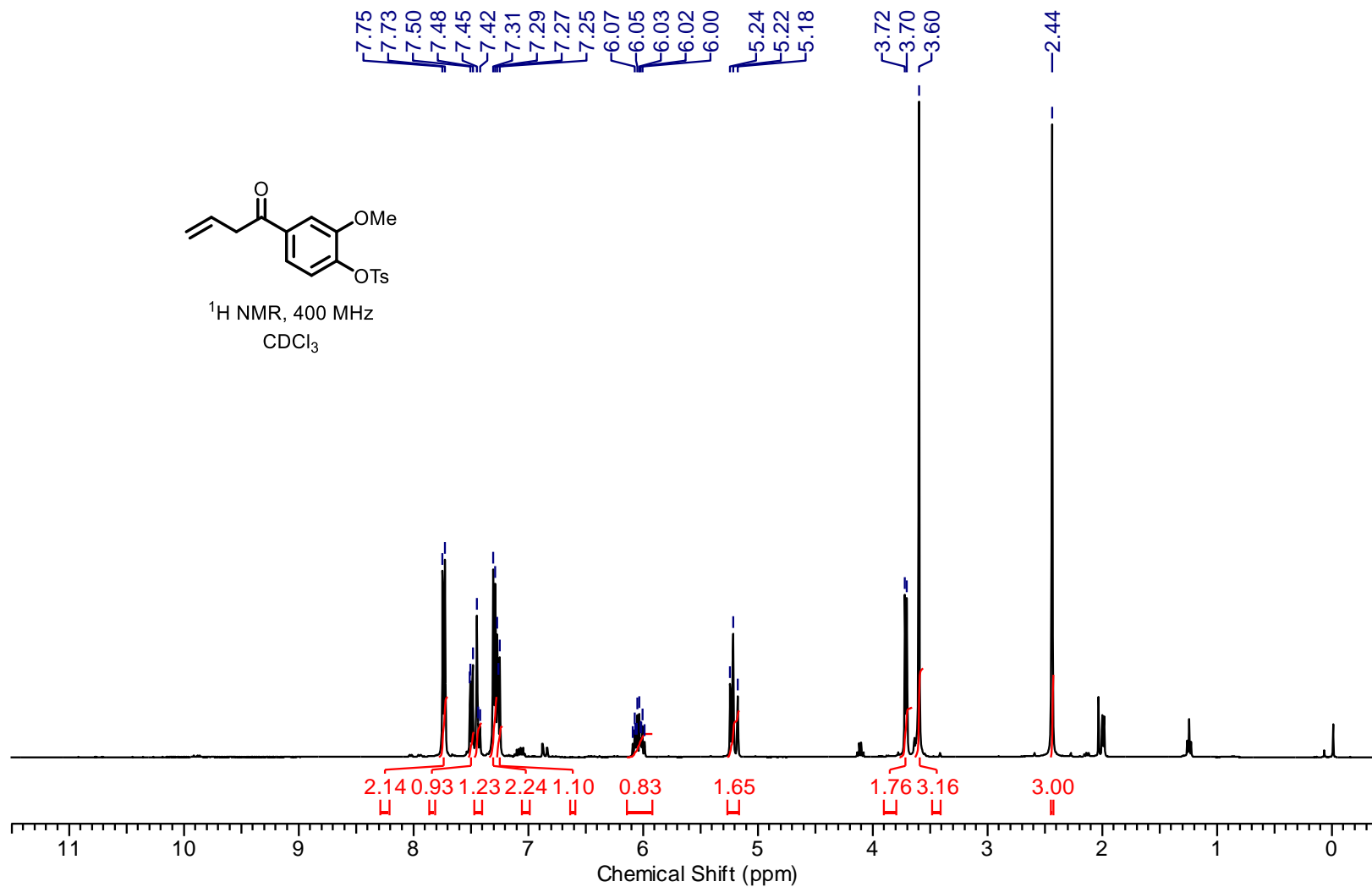
*4-(1-Hydroxybut-3-en-1-yl)-2-methoxyphenyl 4-methylbenzenesulphonate (**S9**):*



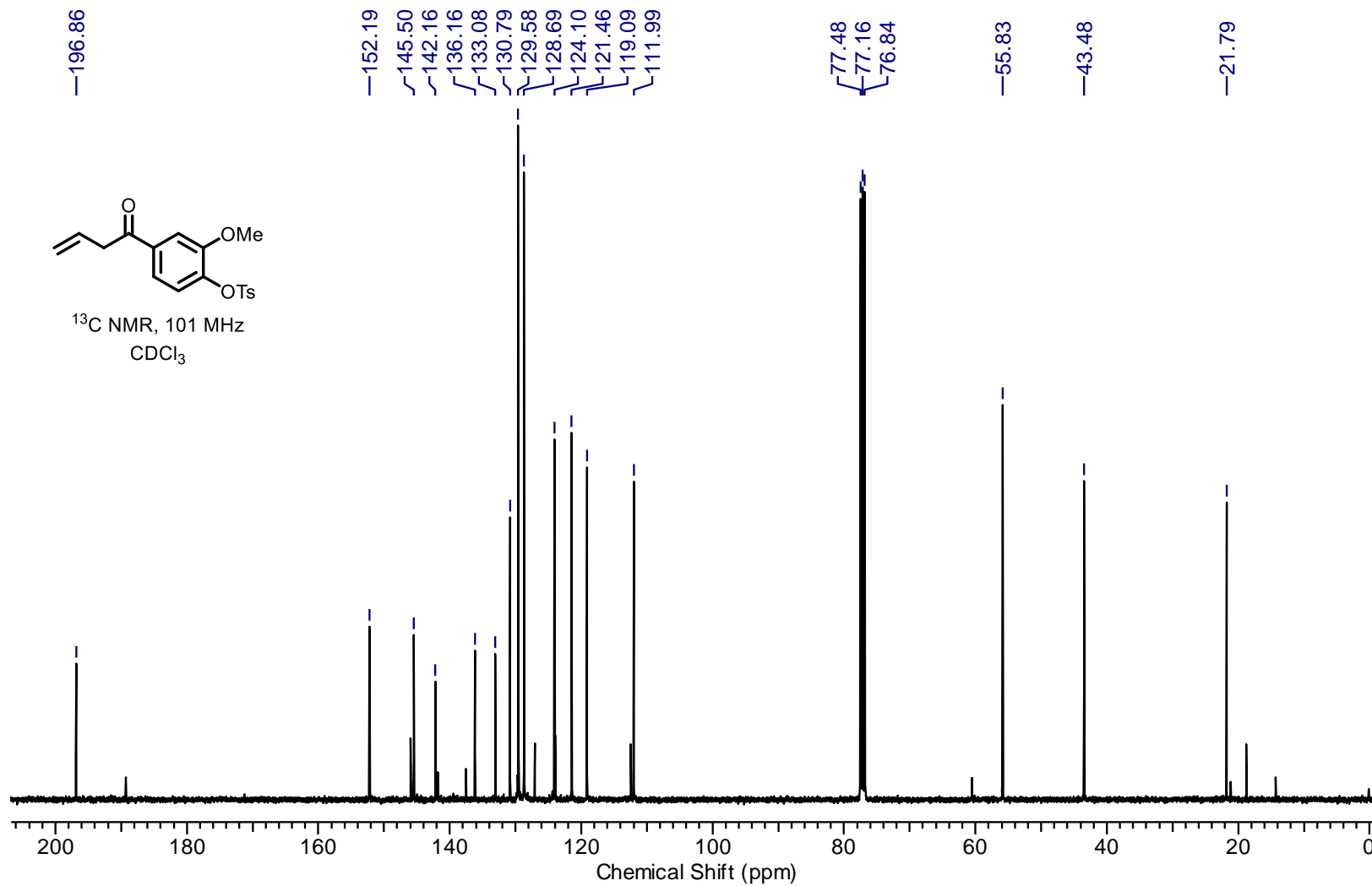
*4-(1-Hydroxybut-3-en-1-yl)-2-methoxyphenyl 4-methylbenzenesulphonate (**S9**):*



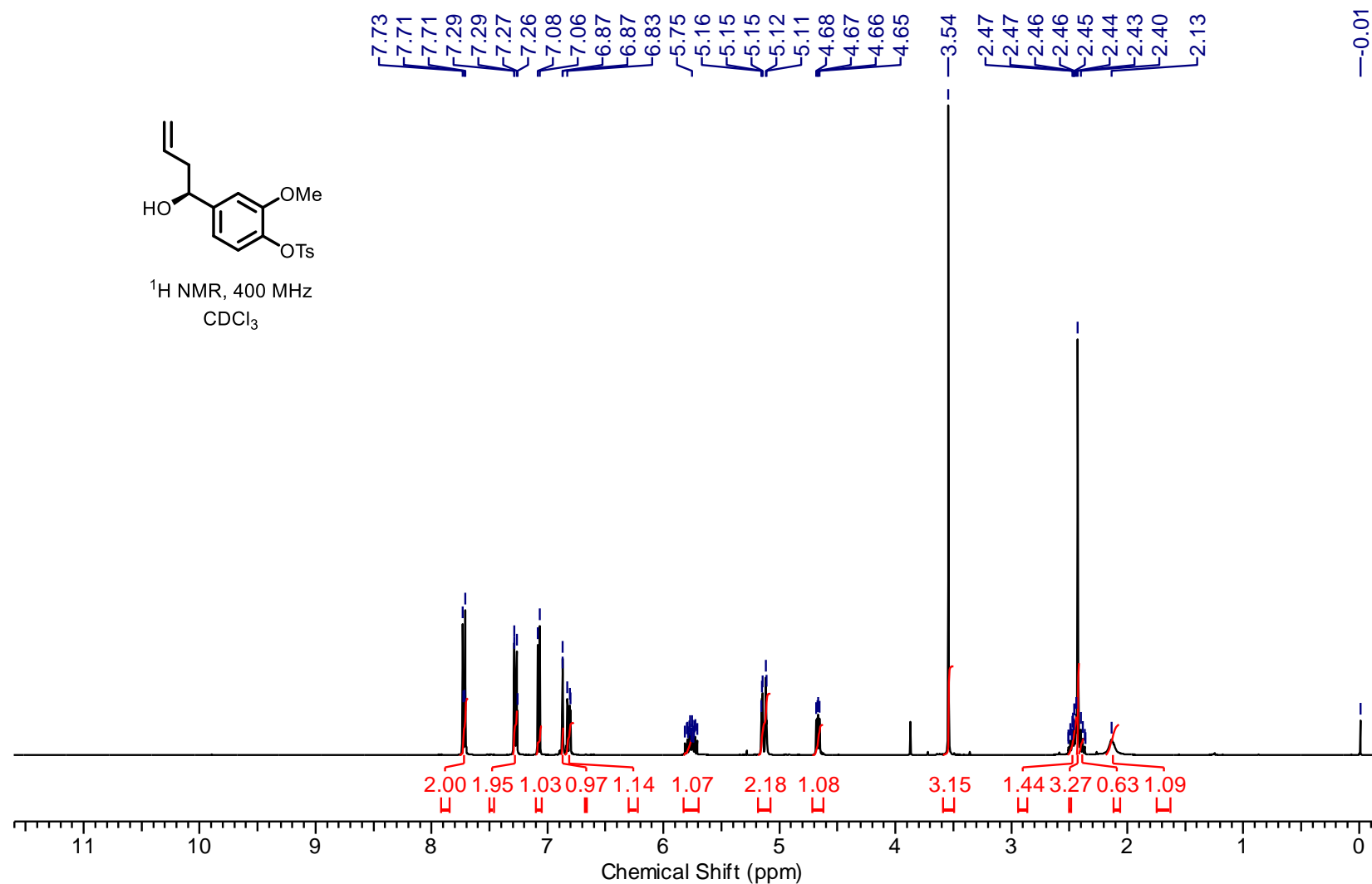
4-(But-3-enoyl)-2-methoxyphenyl-4-methylbenzenesulfonate (28):



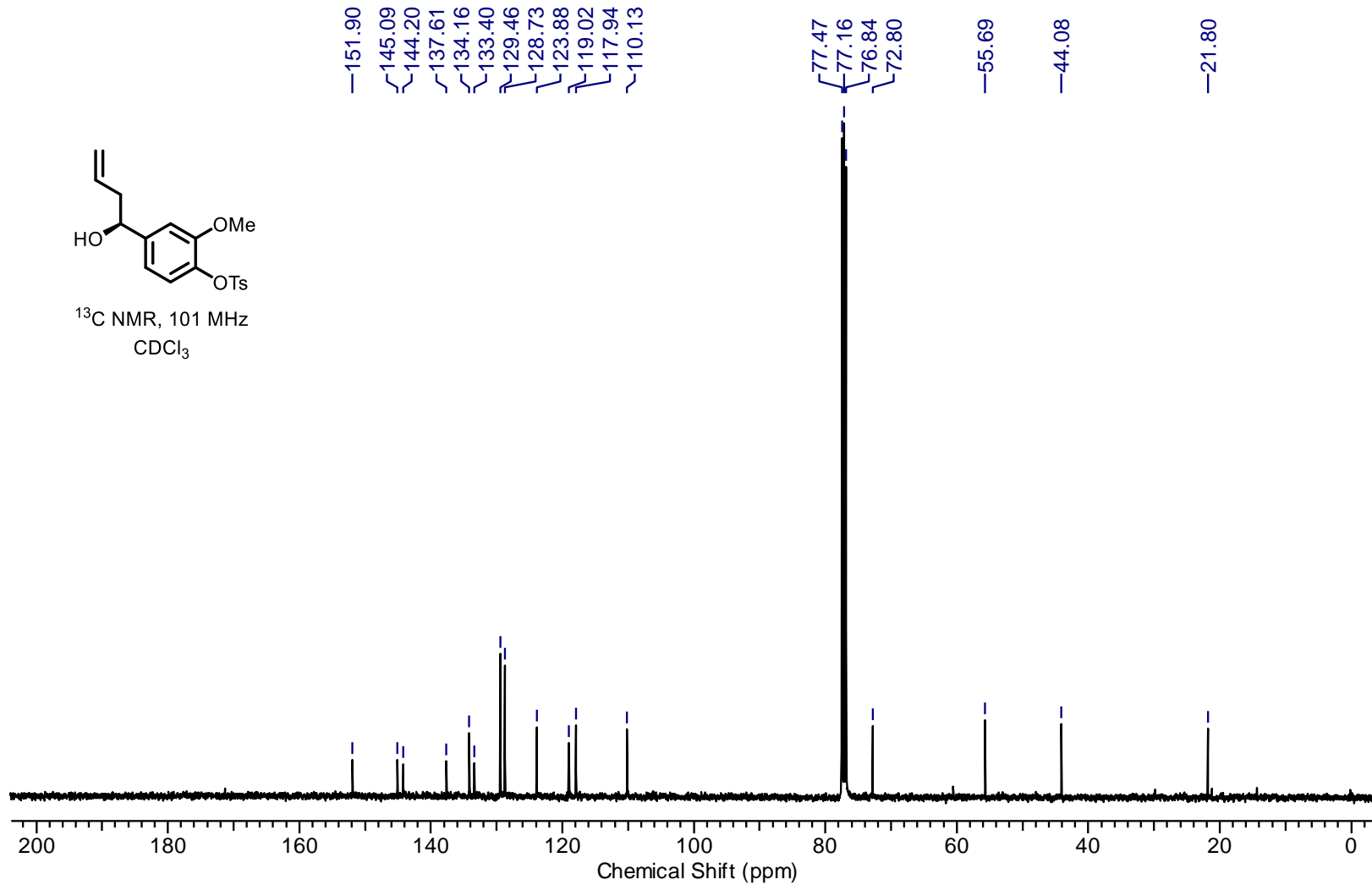
4-(But-3-enoyl)-2-methoxyphenyl-4-methylbenzenesulfonate (28):



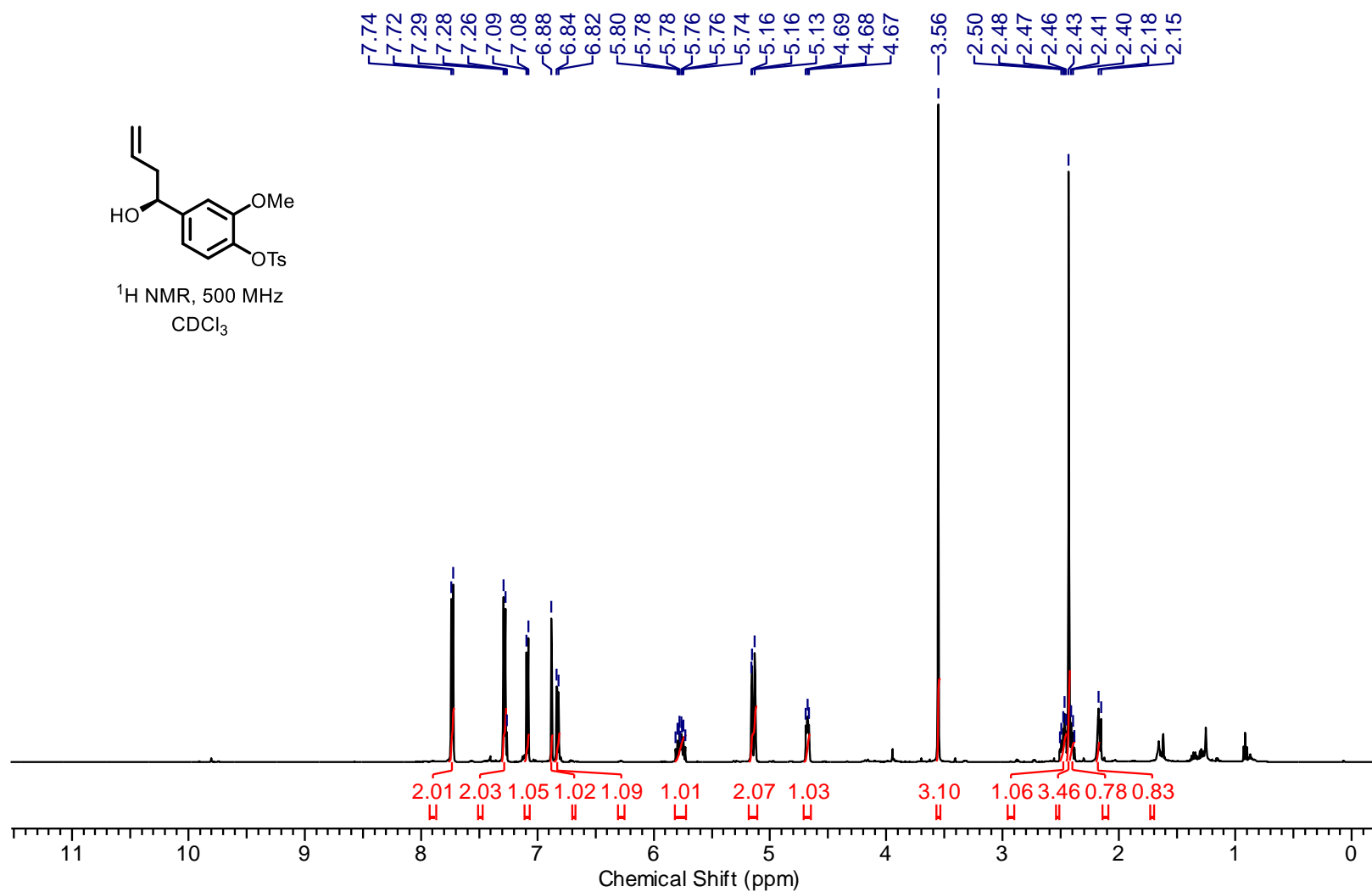
(*S*)-4-(1-Hydroxybut-3-en-1-yl)-2-methoxyphenyl-4-methylbenzenesulphonate (**20a**) (prepared from **28**)



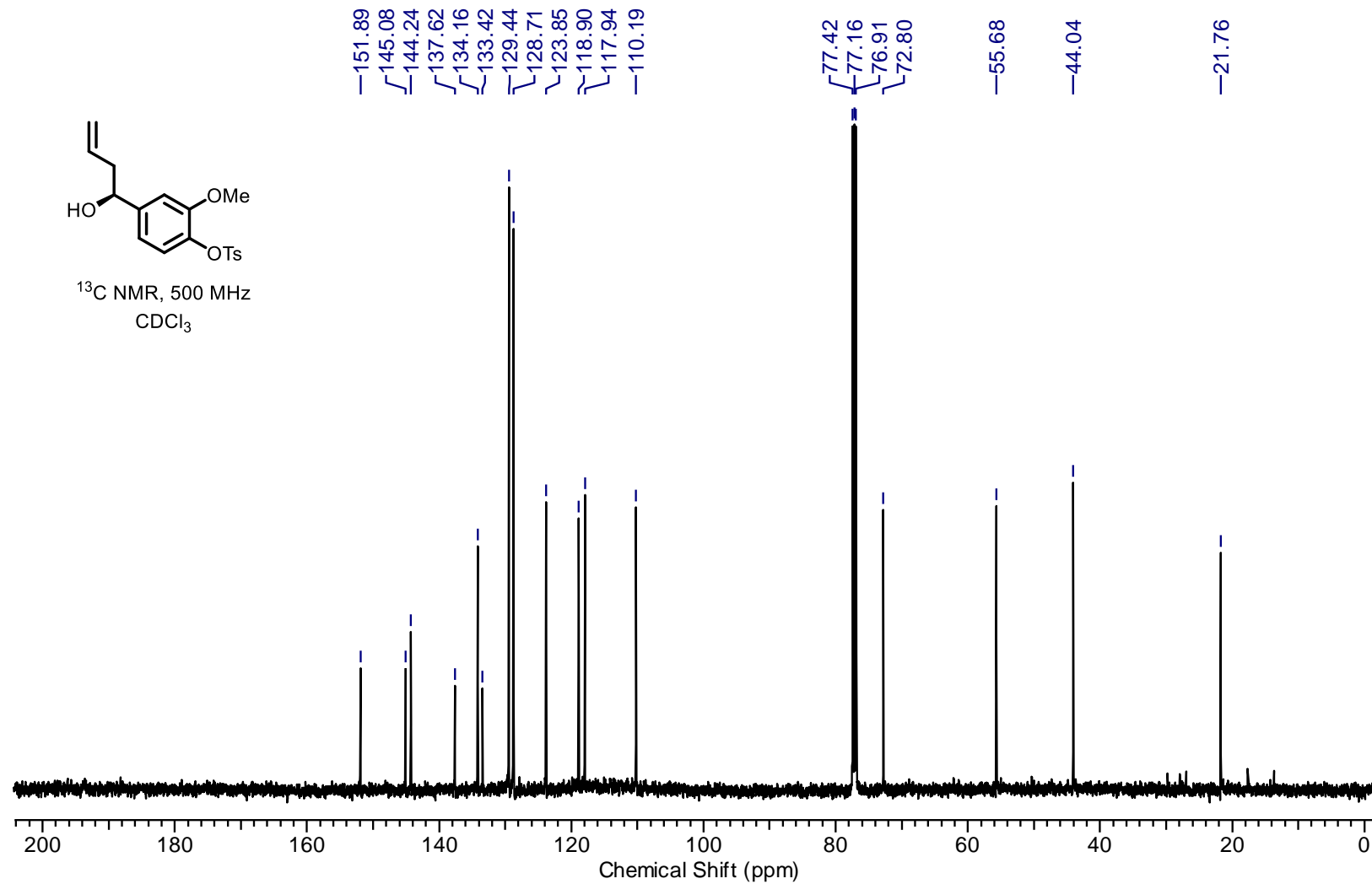
(S)-4-(1-Hydroxybut-3-en-1-yl)-2-methoxyphenyl-4-methylbenzenesulphonate (**20a**) (prepared from **28**)



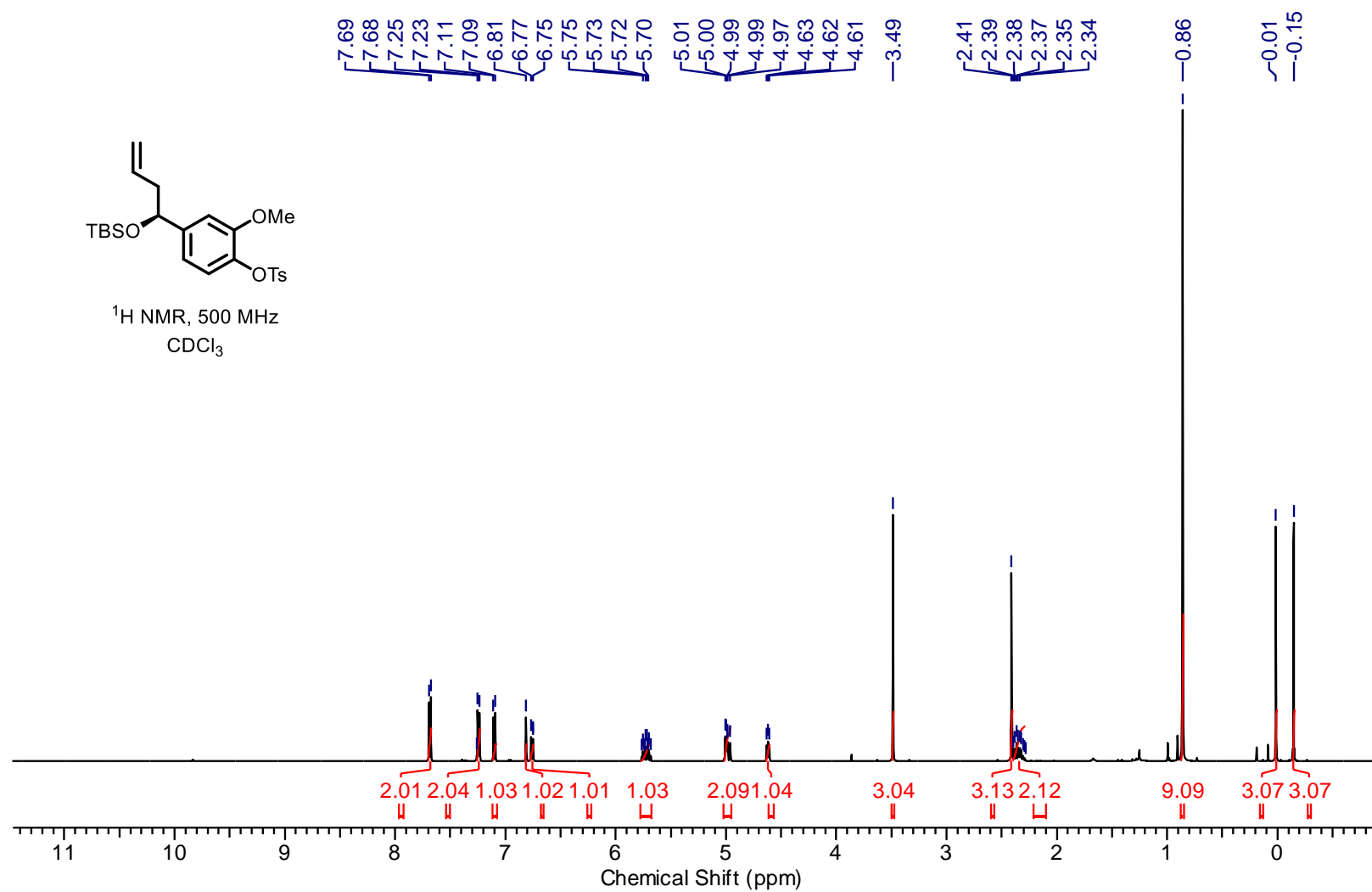
(S)-4-(1-Hydroxybut-3-en-1-yl)-2-methoxyphenyl-4-methylbenzenesulphonate (**20a**) (prepared from **10a**):



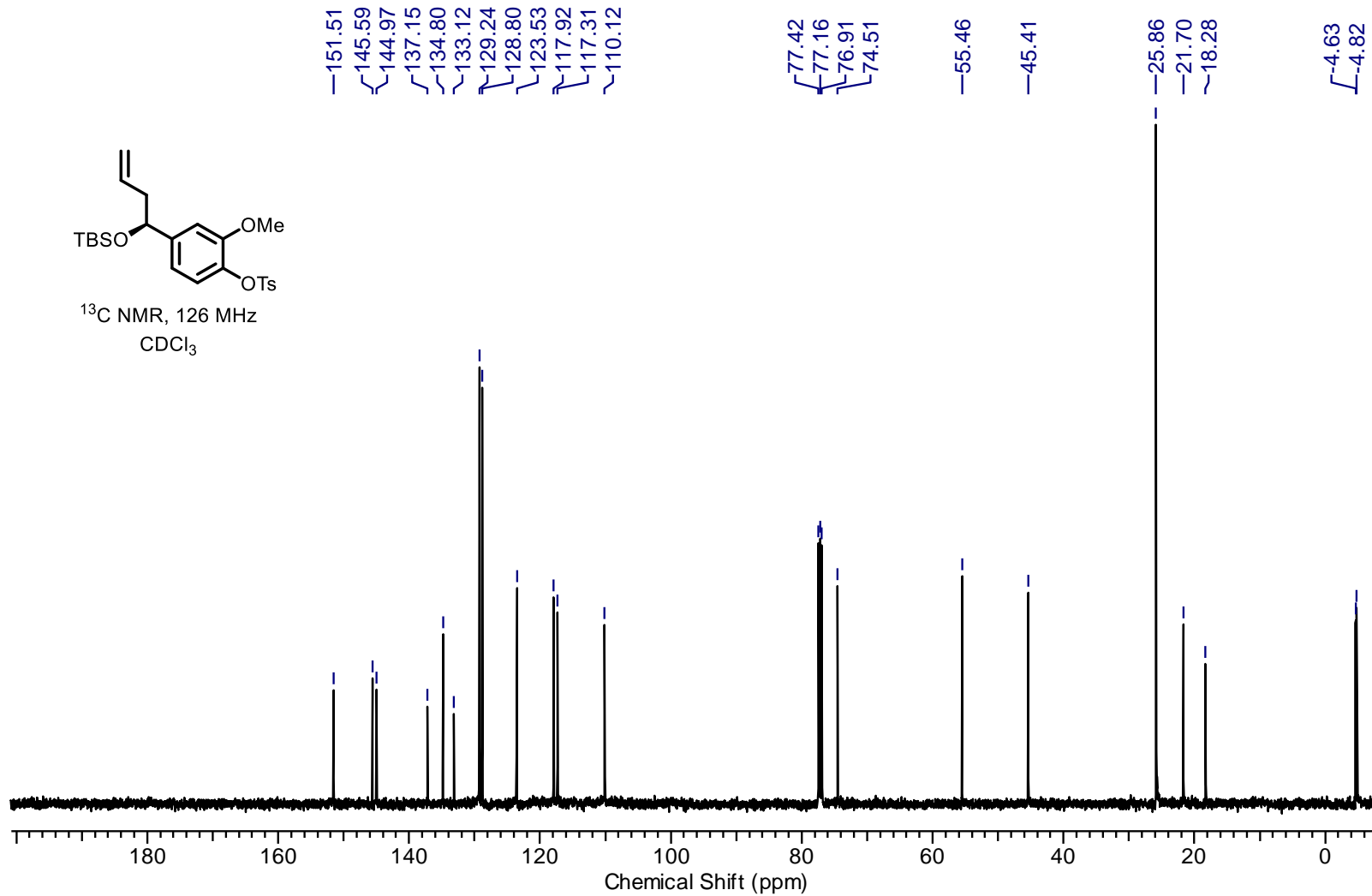
(S)-4-(1-Hydroxybut-3-en-1-yl)-2-methoxyphenyl-4-methylbenzenesulphonate (**20a**) (prepared from **10a**):



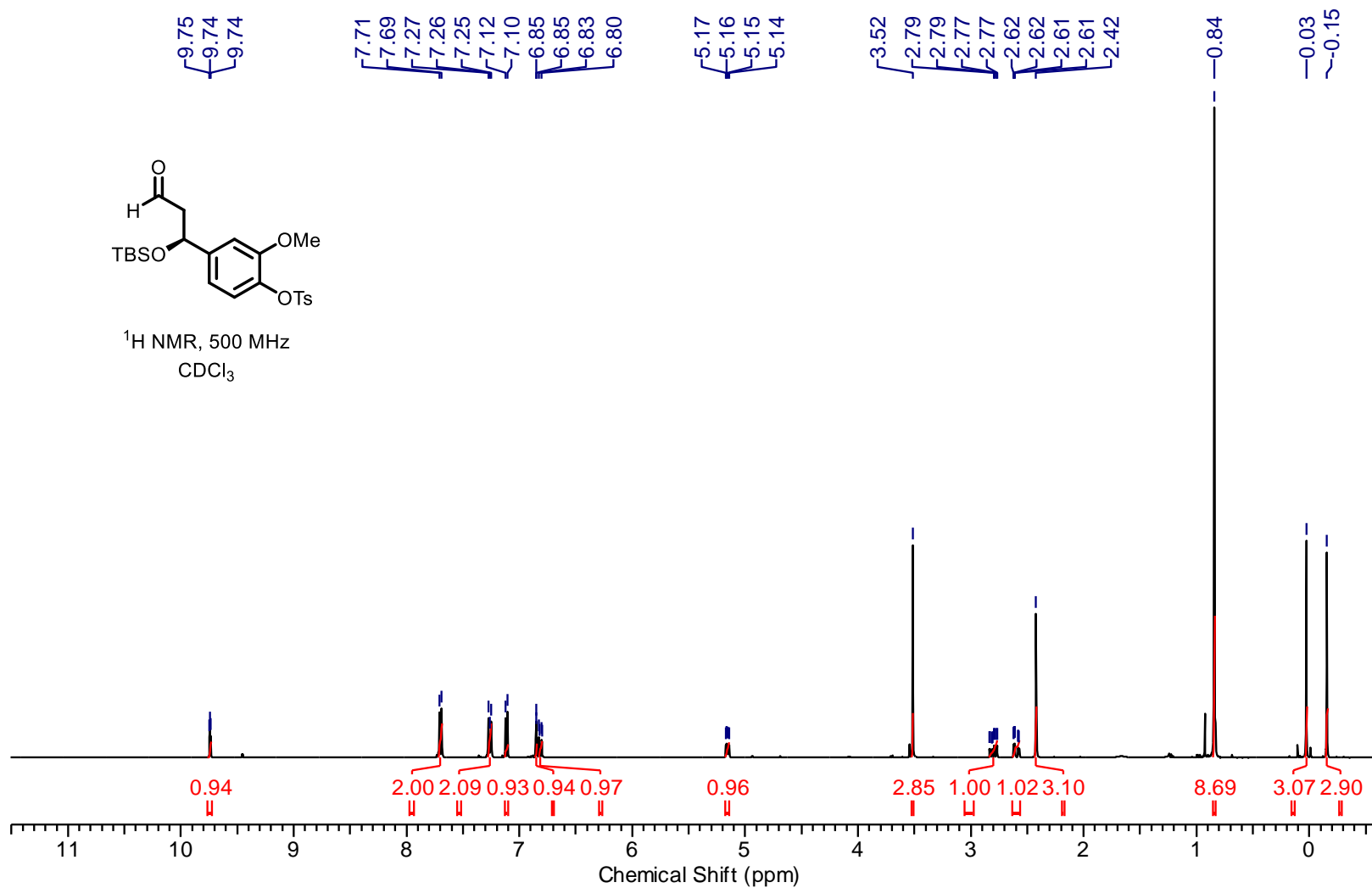
(S)-4-((*I*-(*Tert*-butyldimethylsilyl)oxy)but-3-en-1-yl)-2-methoxyphenyl-4-methylbenzene-sulphonate (**S6a**):



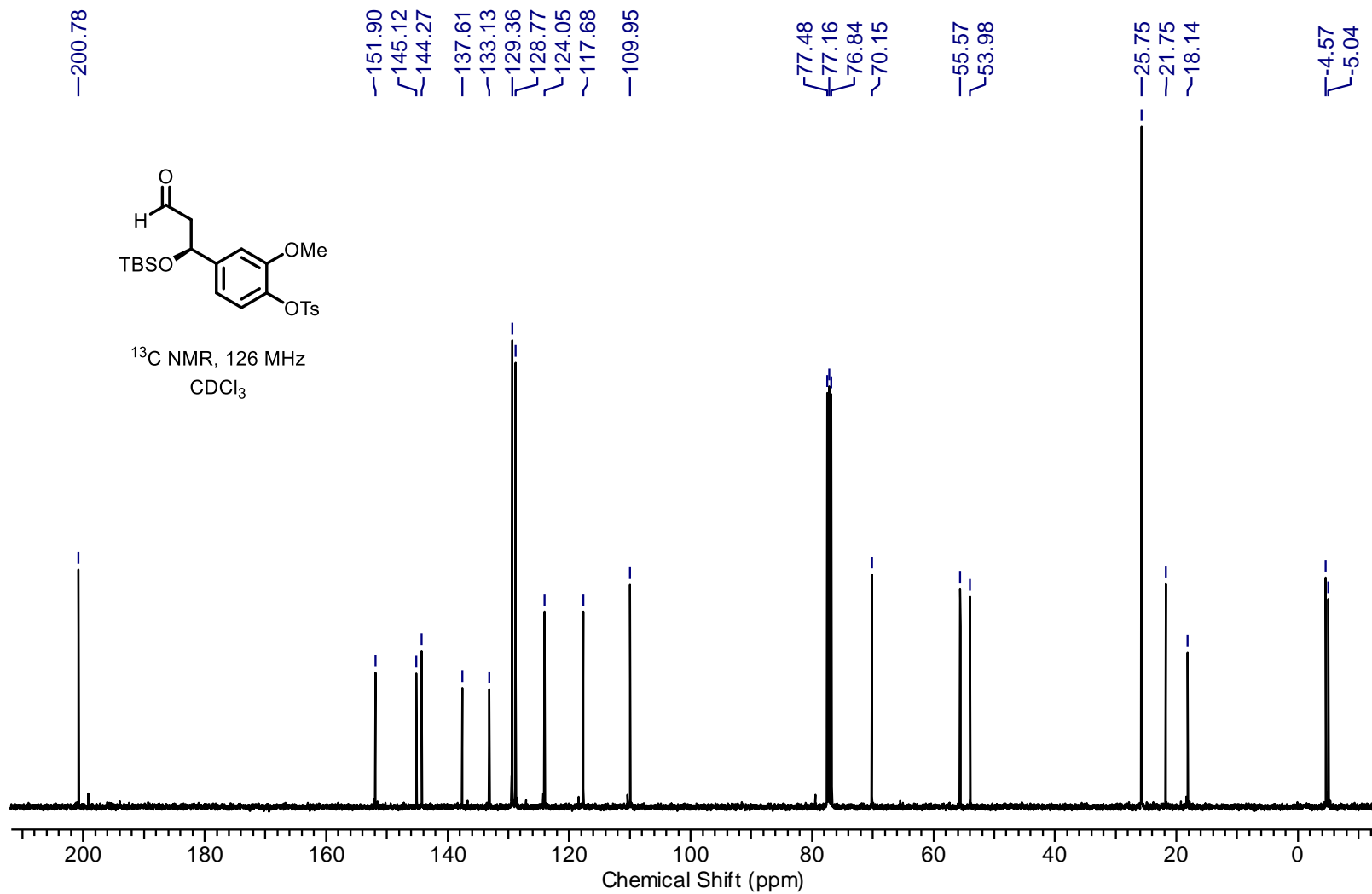
(S)-4-((*I*-(*Tert*-butyldimethylsilyl)oxy)but-3-en-1-yl)-2-methoxyphenyl-4- methylbenzene-sulphonate (**S6a**):



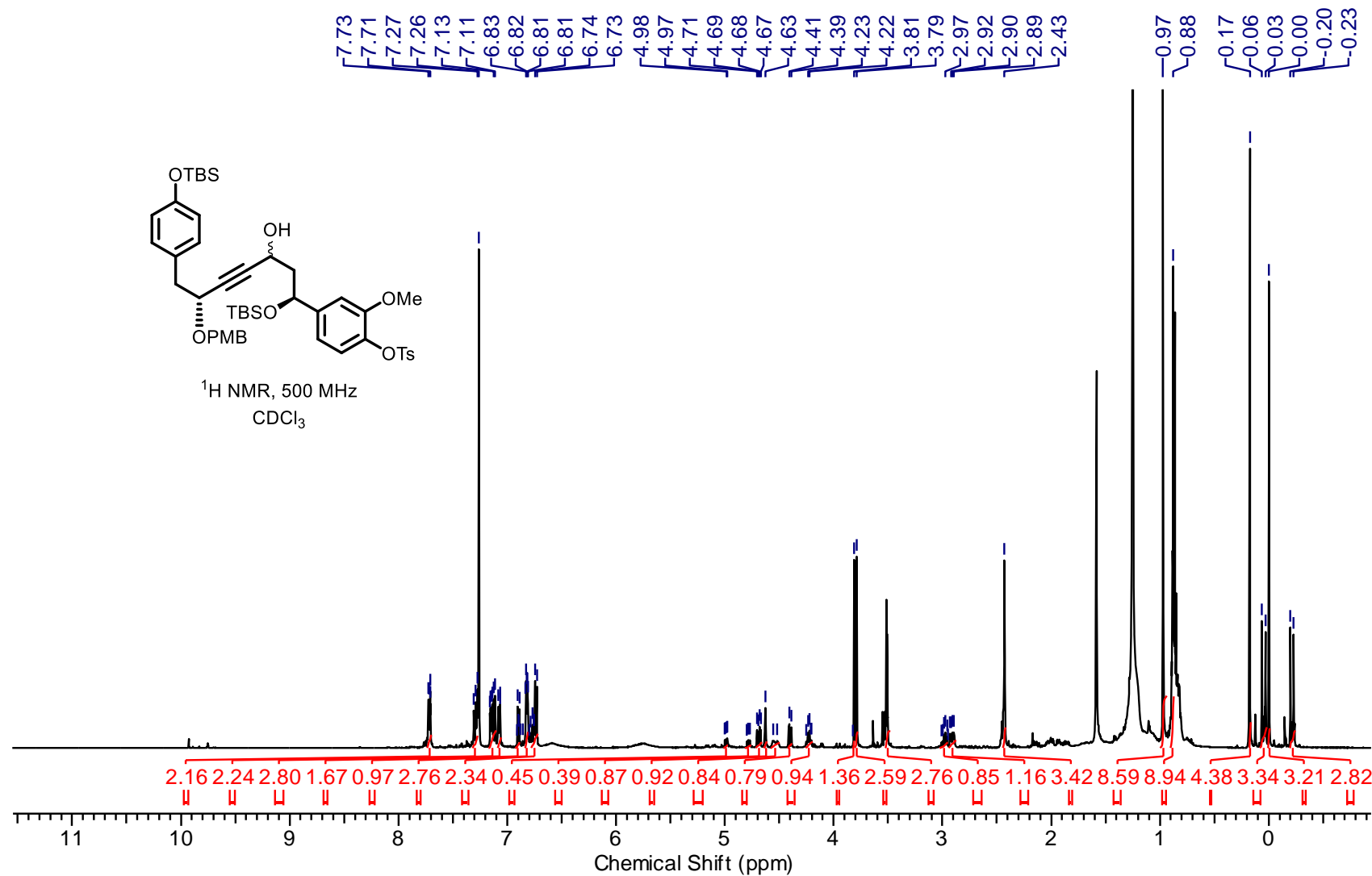
*(S)-4-((*Tert*-butyldimethylsilyl)oxy)-3-oxopropyl)-2-methoxyphenyl-4-methylbenzene-sulfonate (**16a**):*



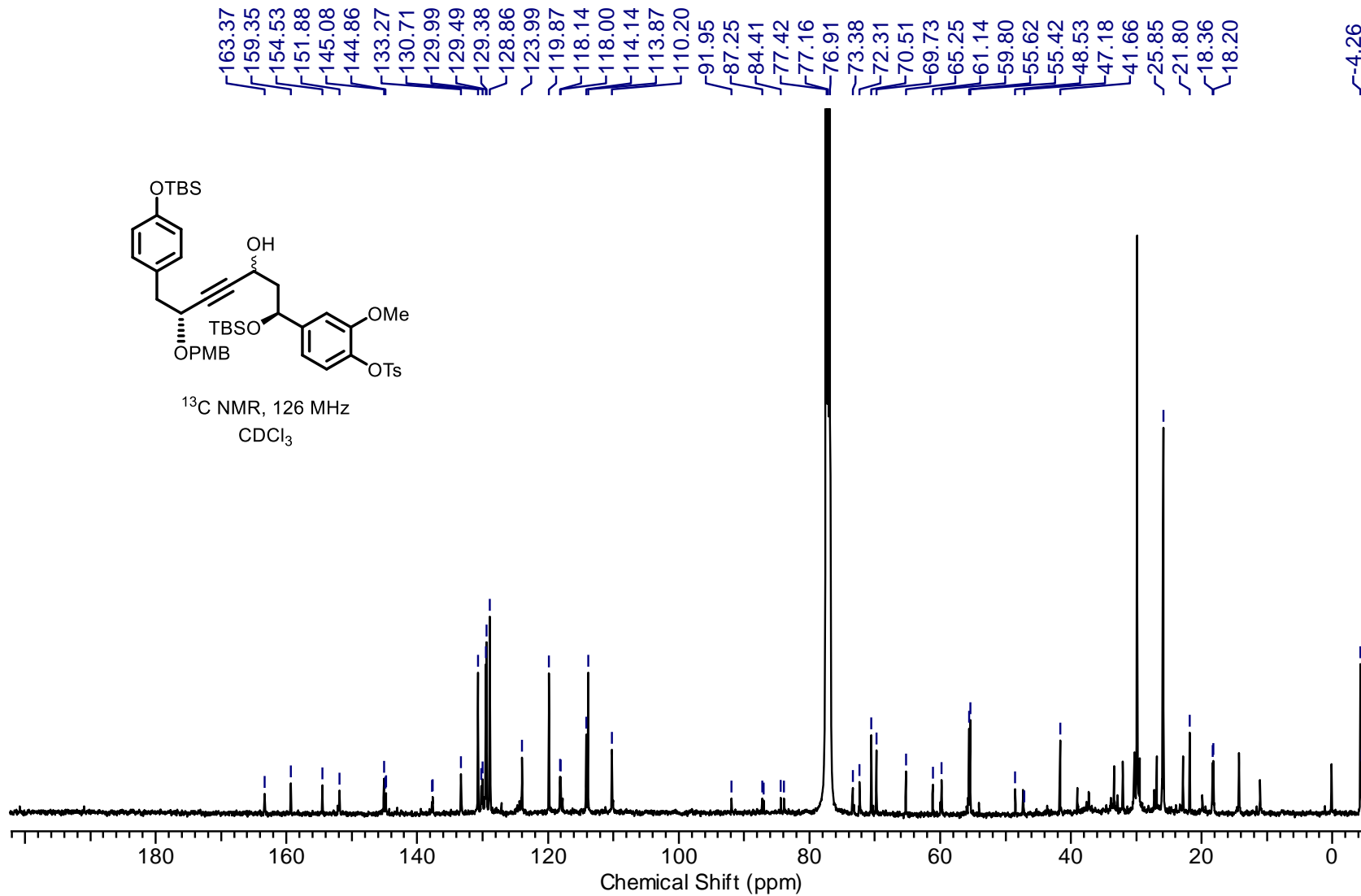
(S)-4-(1-((Tert-butyldimethylsilyl)oxy)-3-oxopropyl)-2-methoxyphenyl-4-methylbenzenesulfonate (16a):



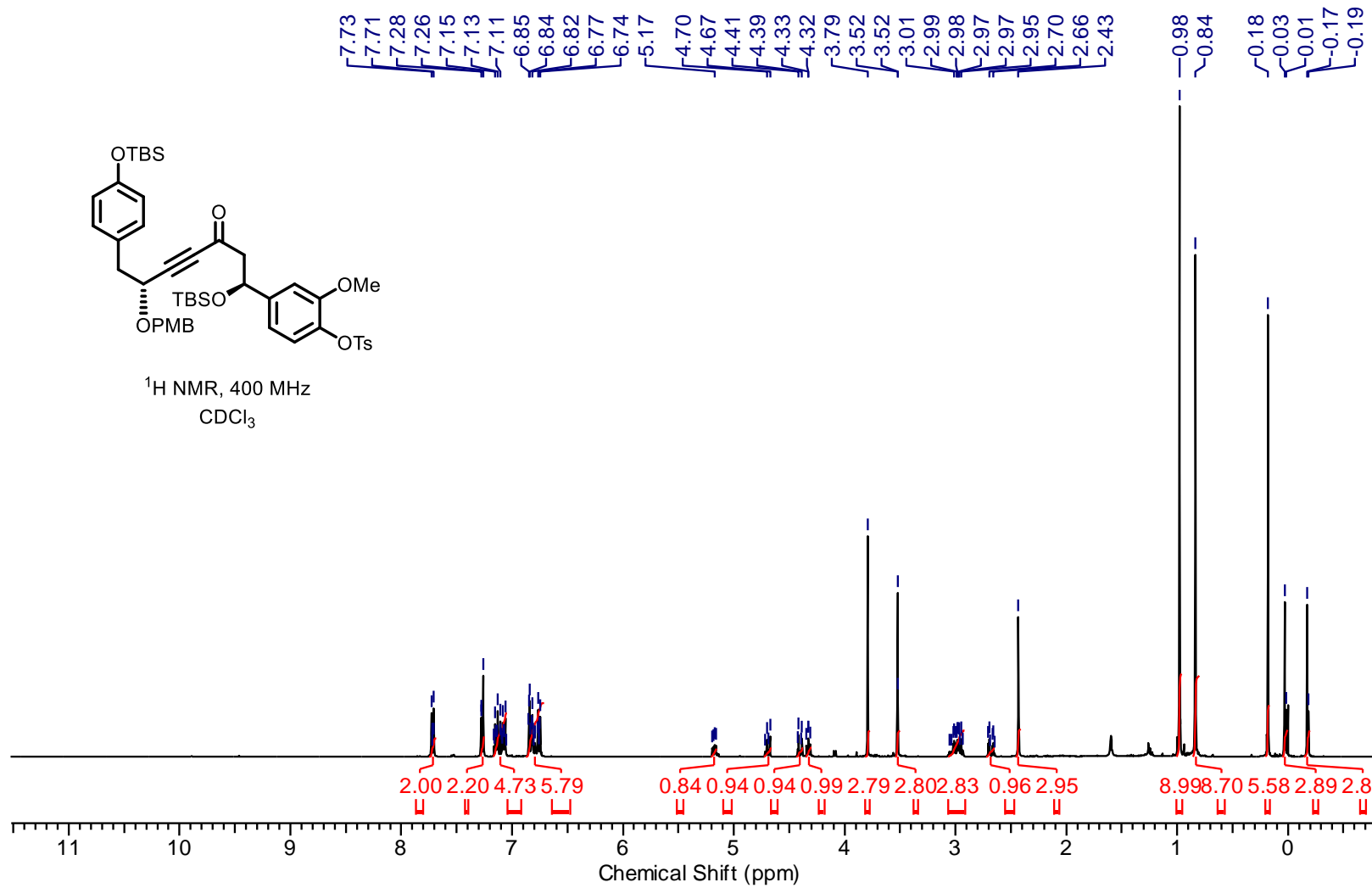
*4-((1*S*, 6*R*)-1-((tert-butyldimethylsilyl)oxy)-7-(4-((tert-butyldimethylsilyl)oxy)phenyl)-3-hydroxy-6-((4-methoxybenzyl)oxy)hept-4-yn-1-yl)-2-methoxyphenyl-4-methylbenzene-sulfonate (21a):*



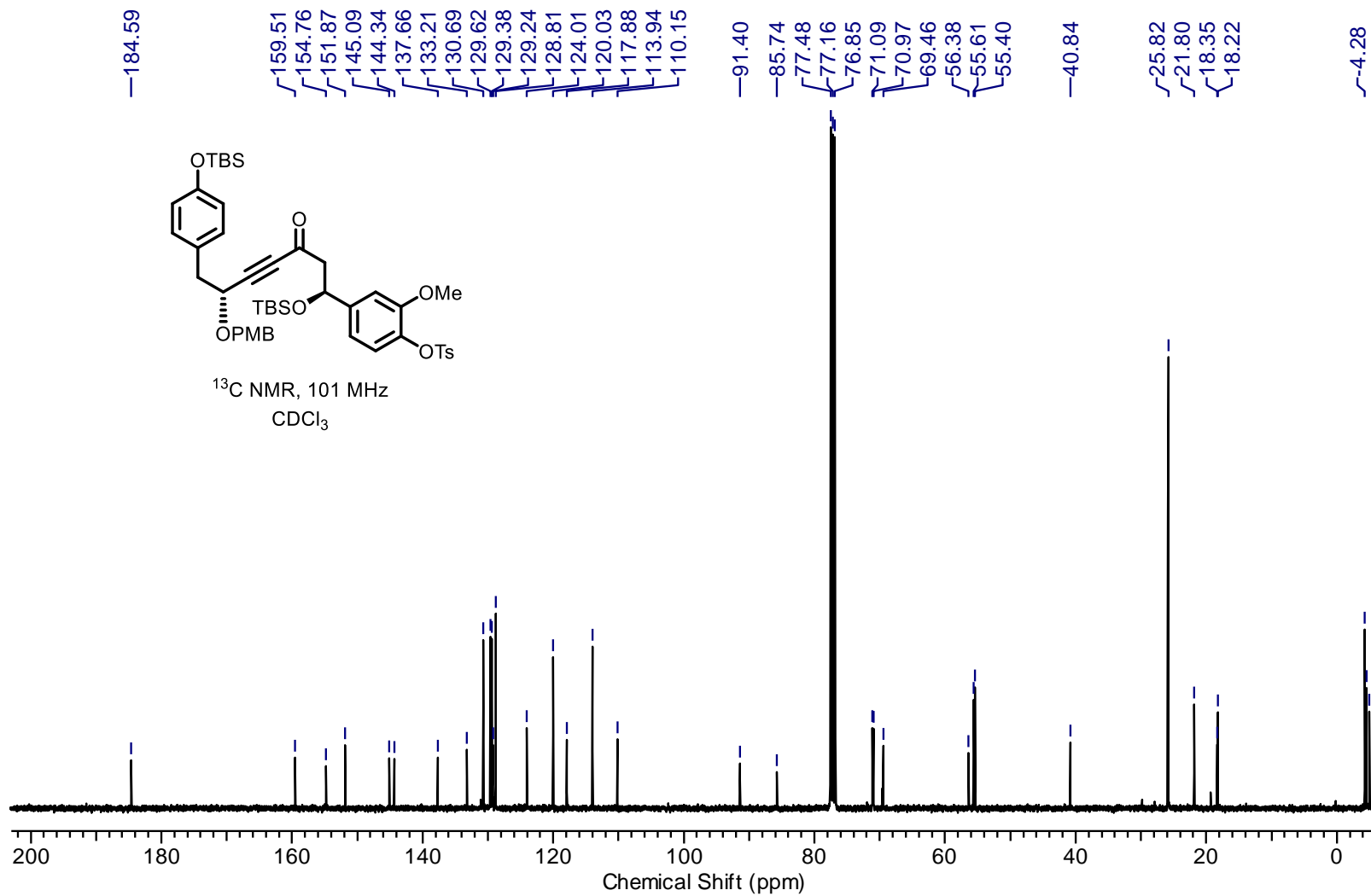
*4-((1*S*, 6*R*)-1-((*tert*-butyldimethylsilyl)oxy)-7-(4-((*tert*-butyldimethylsilyl)oxy)phenyl)-3-hydroxy-6-((4-methoxybenzyl)oxy)hept-4-yn-1-yl)-2-methoxyphenyl-4-methylbenzene-sulfonate (**21a**):*



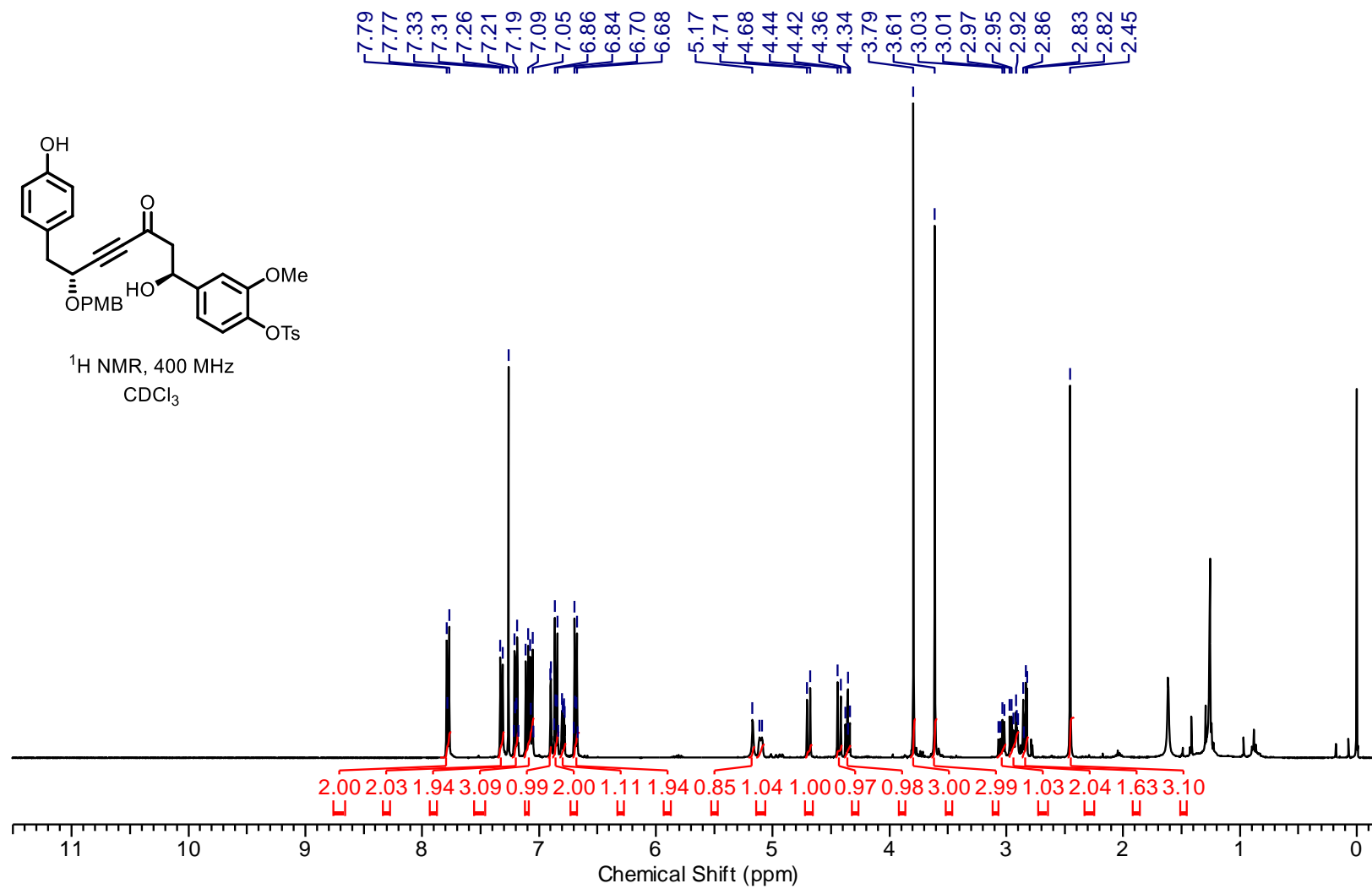
*4-((1*S*, 6*R*)-1-((tert-butyldimethylsilyl)oxy)-7-(4-((tert-butyldimethylsilyl)oxy)phenyl)-6-((4-methoxybenzyl)oxy)-3-oxohept-4-yn-1-yl)-2-methoxyphenyl-4-methylbenzenesulfonate (**14b**):*



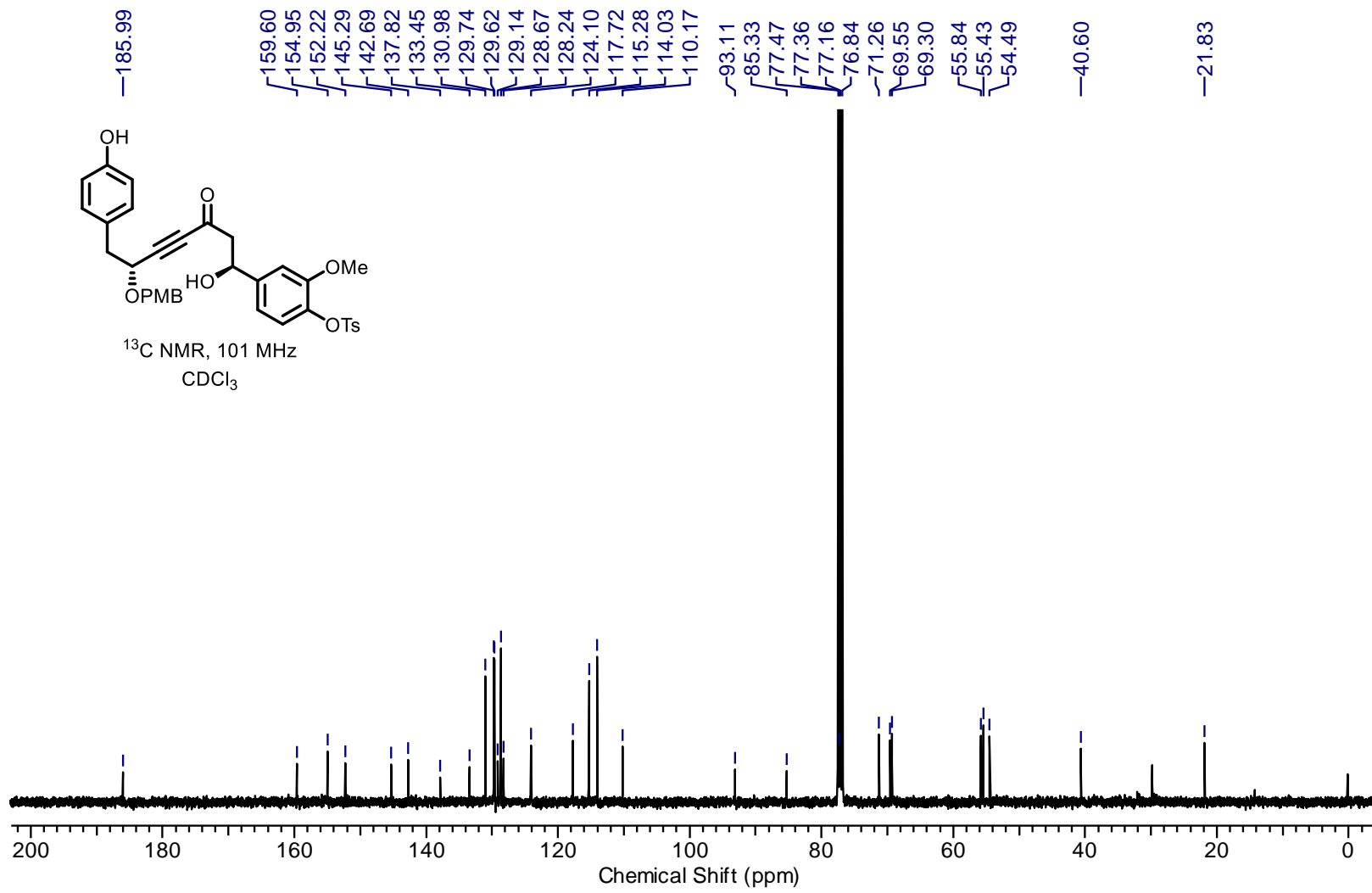
*4-((1*S*, 6*R*)-1-((tert-butyldimethylsilyl)oxy)-7-(4-((tert-butyldimethylsilyl)oxy)phenyl)-6-((4-methoxybenzyl)oxy)-3-oxohept-4-yn-1-yl)-2-methoxyphenyl-4-methylbenzenesulfonate (**14b**):*



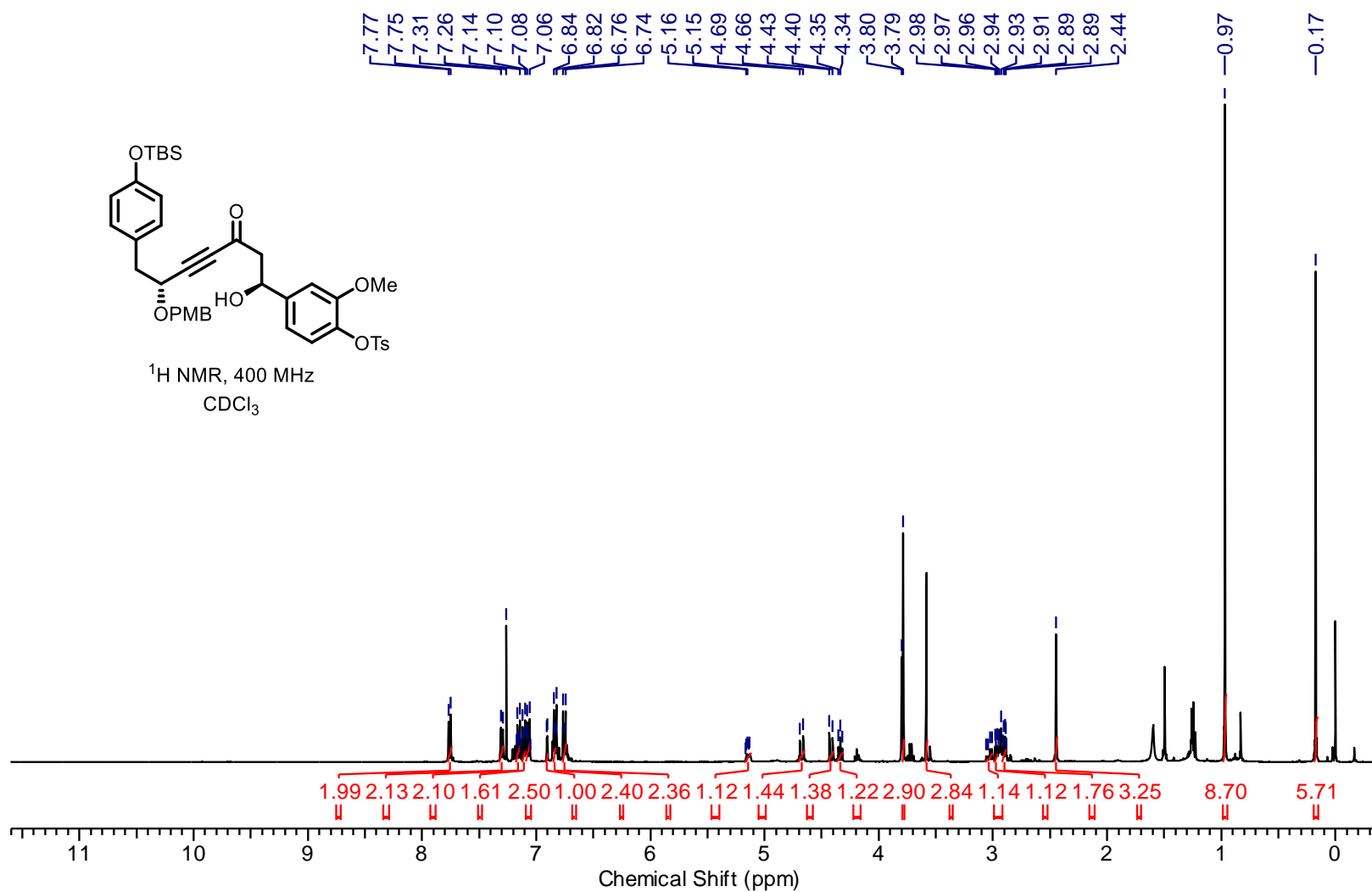
*4-((1*S*, 6*R*)-7-(4-((Tert-butylidemethylsilyl)oxy)phenyl)-1-hydroxy-6-((4-methoxybenzyl)-oxy)-3-oxohept-4-yn-1-yl)-2-methoxyphenyl 4-methylbenzenesulfonate (29):*



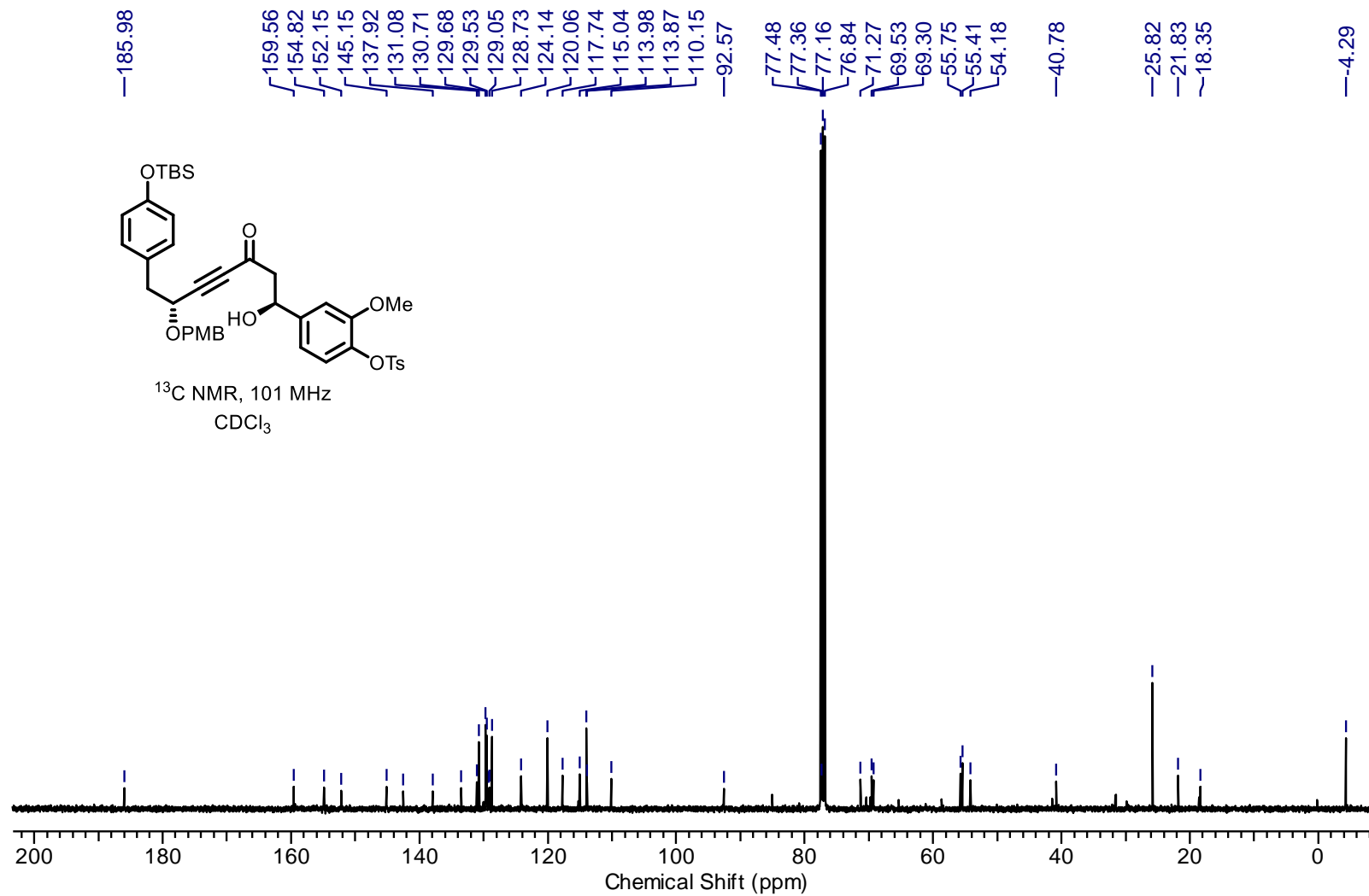
*4-((1*S*, 6*R*)-7-(4-((Tert-butylidemethylsilyl)oxy)phenyl)-1-hydroxy-6-((4-methoxybenzyl)-oxy)-3-oxohept-4-yn-1-yl)-2-methoxyphenyl 4-methylbenzenesulfonate (29):*



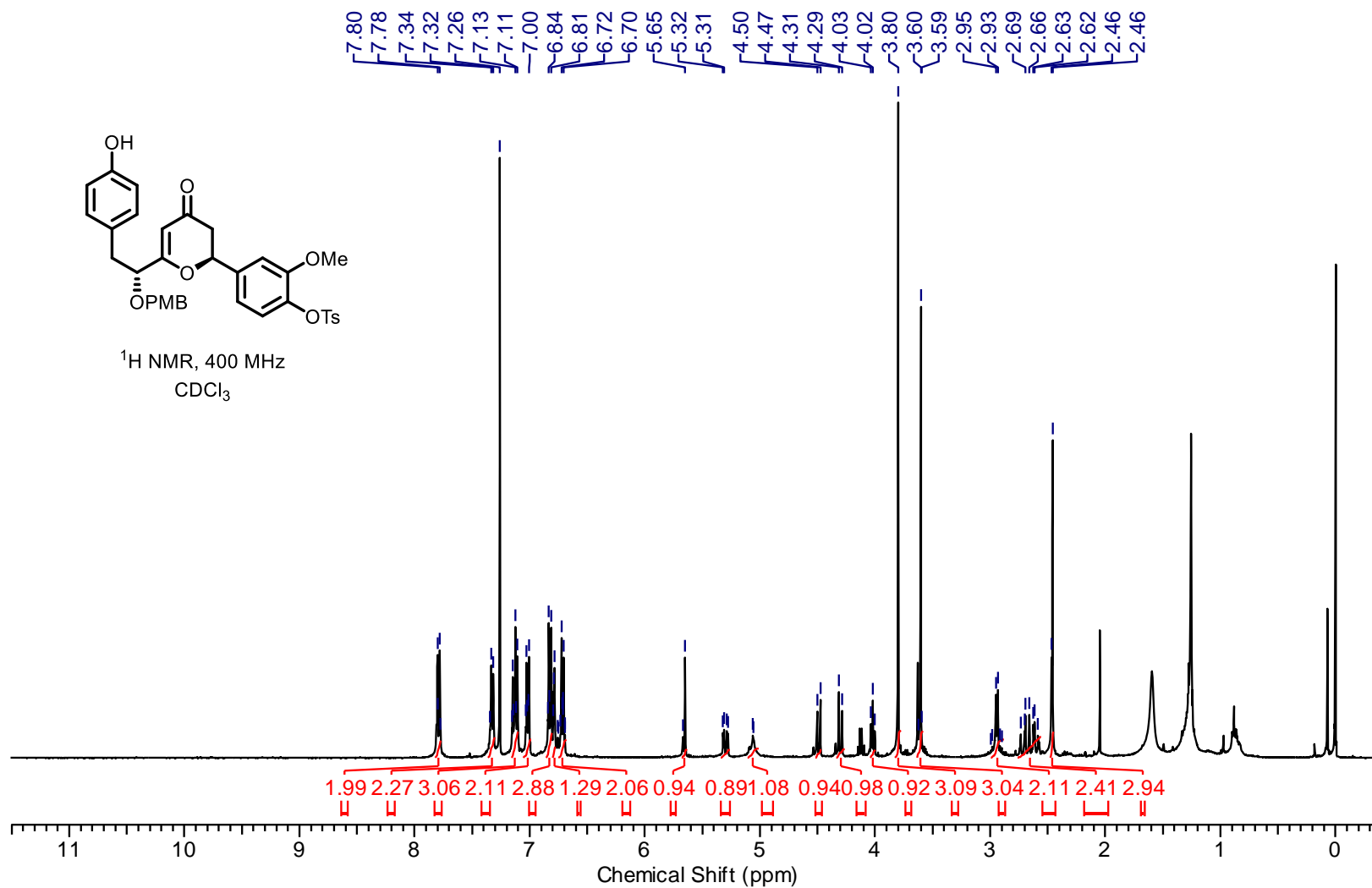
*4-((1*S*, 6*R*)-1-Hydroxy-7-(4-hydroxyphenyl)-6-((4-methoxybenzyl)oxy)-3-oxohept-4-yn-1-yl)-2-methoxyphenyl 4-methylbenzenesulfonate (30):*



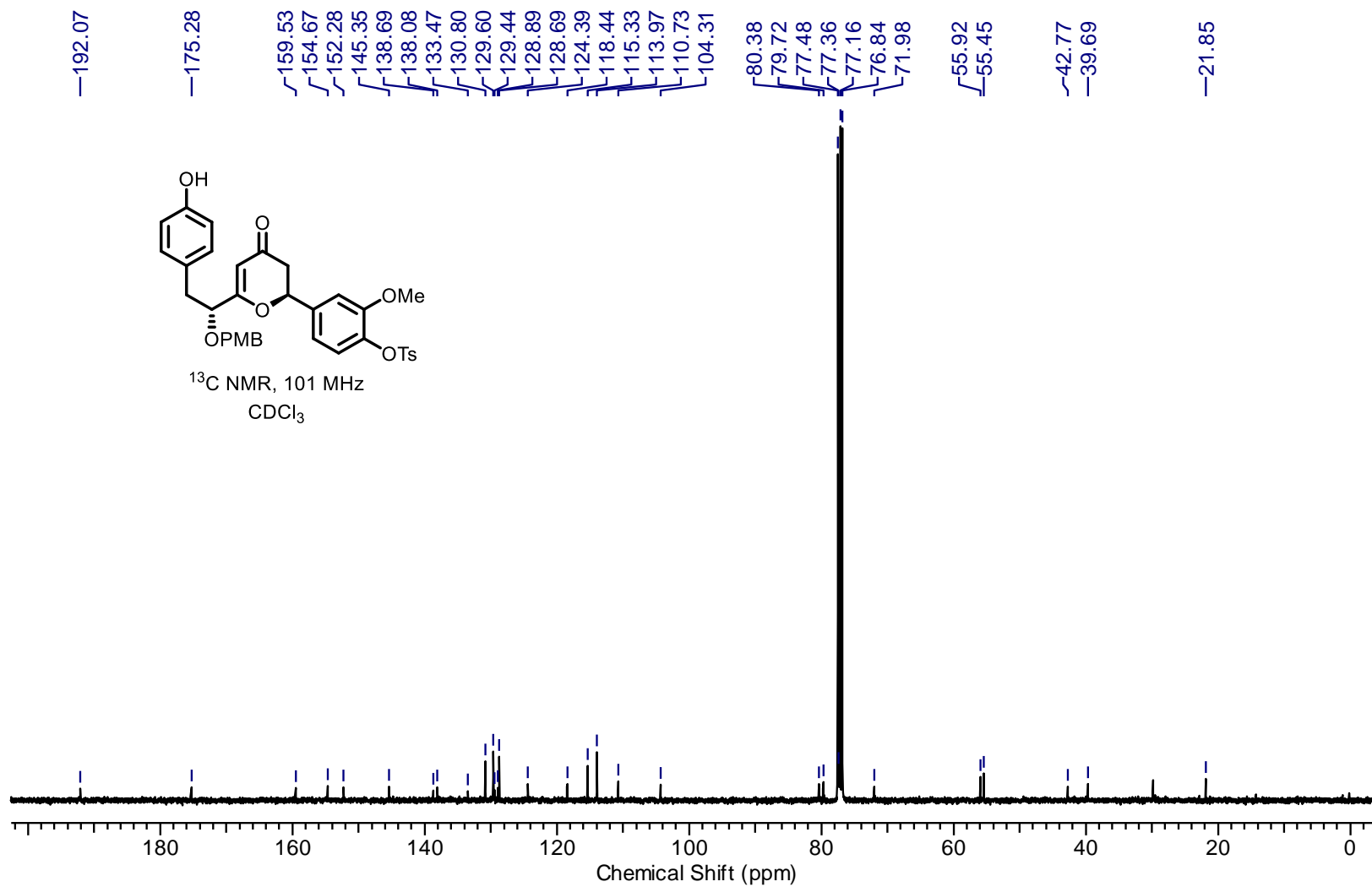
*4-((1*S*, 6*R*)-1-Hydroxy-7-(4-hydroxyphenyl)-6-((4-methoxybenzyl)oxy)-3-oxohept-4-yn-1-yl)-2-methoxyphenyl 4-methylbenzenesulfonate (30):*



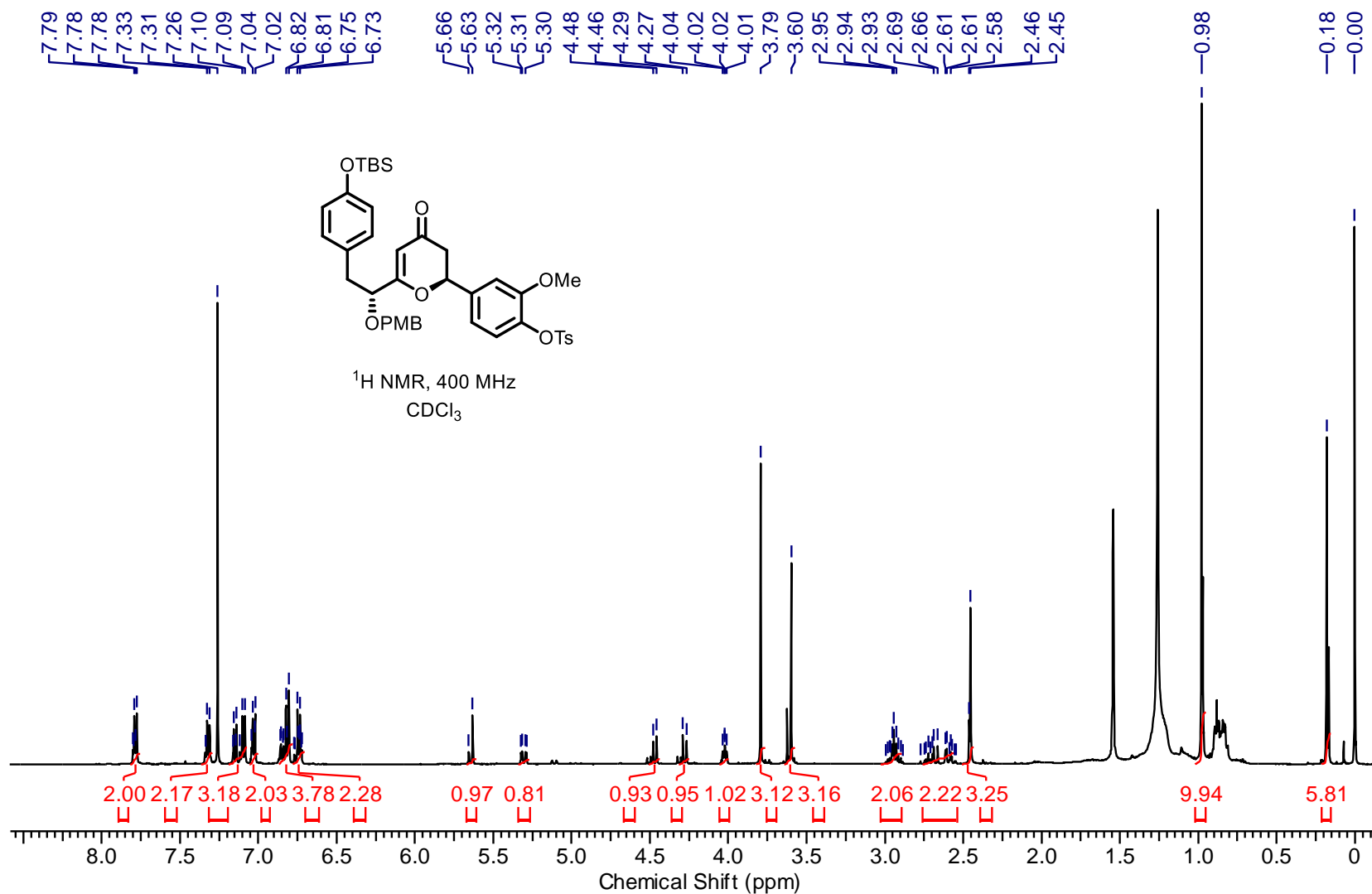
4-((S)-6-((R)-2-(4-Hydroxyphenyl)-1-((4-methoxybenzyl)oxy)ethyl)-4-oxo-3,4-dihydro-2H-pyran-2-yl)-2-methoxyphenyl 4-methylbenzenesulfonate (31):



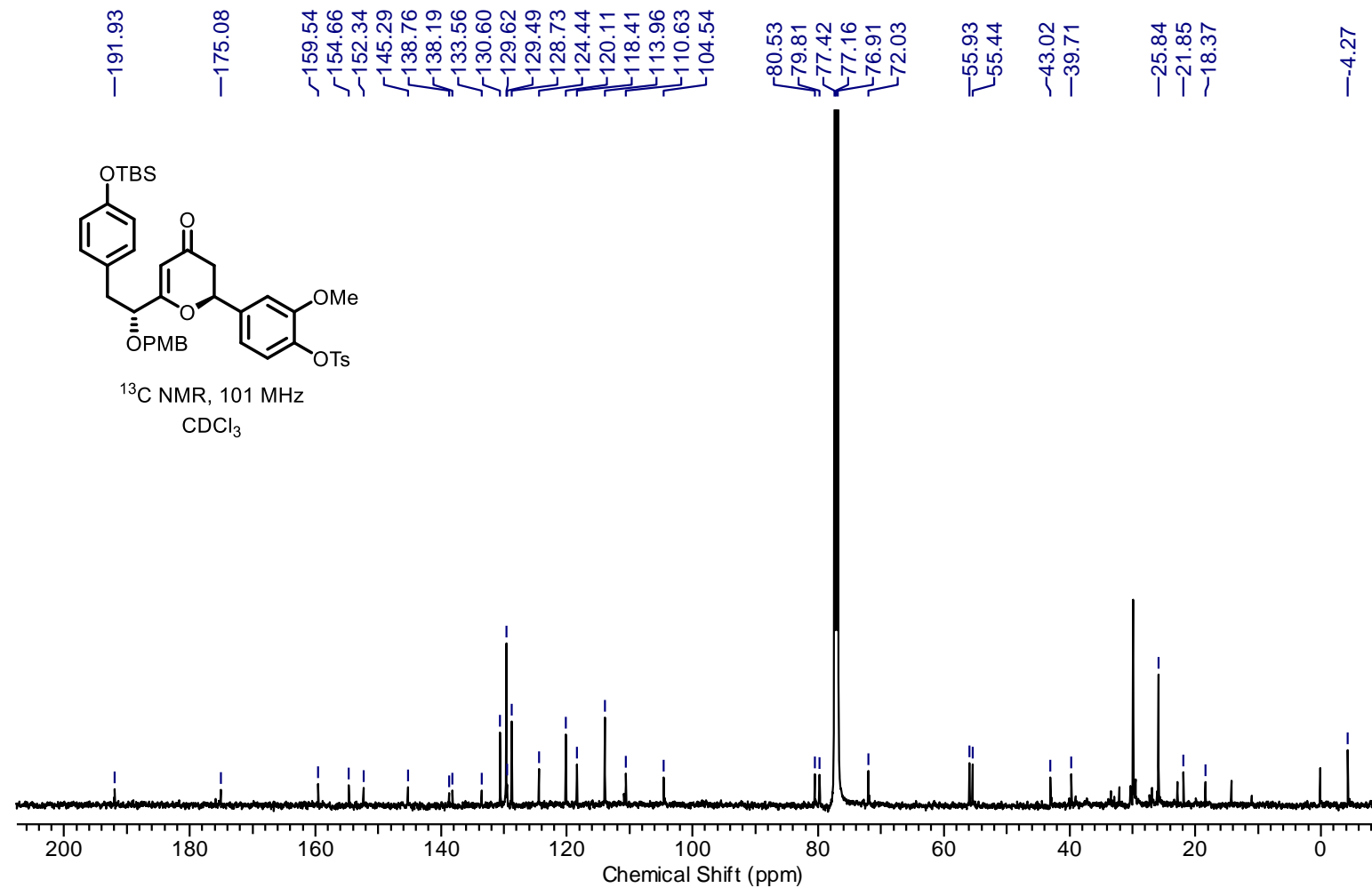
4-((S)-6-((R)-2-(4-Hydroxyphenyl)-1-((4-methoxybenzyl)oxy)ethyl)-4-oxo-3,4-dihydro-2H-pyran-2-yl)-2-methoxyphenyl 4-methylbenzenesulfonate (31):



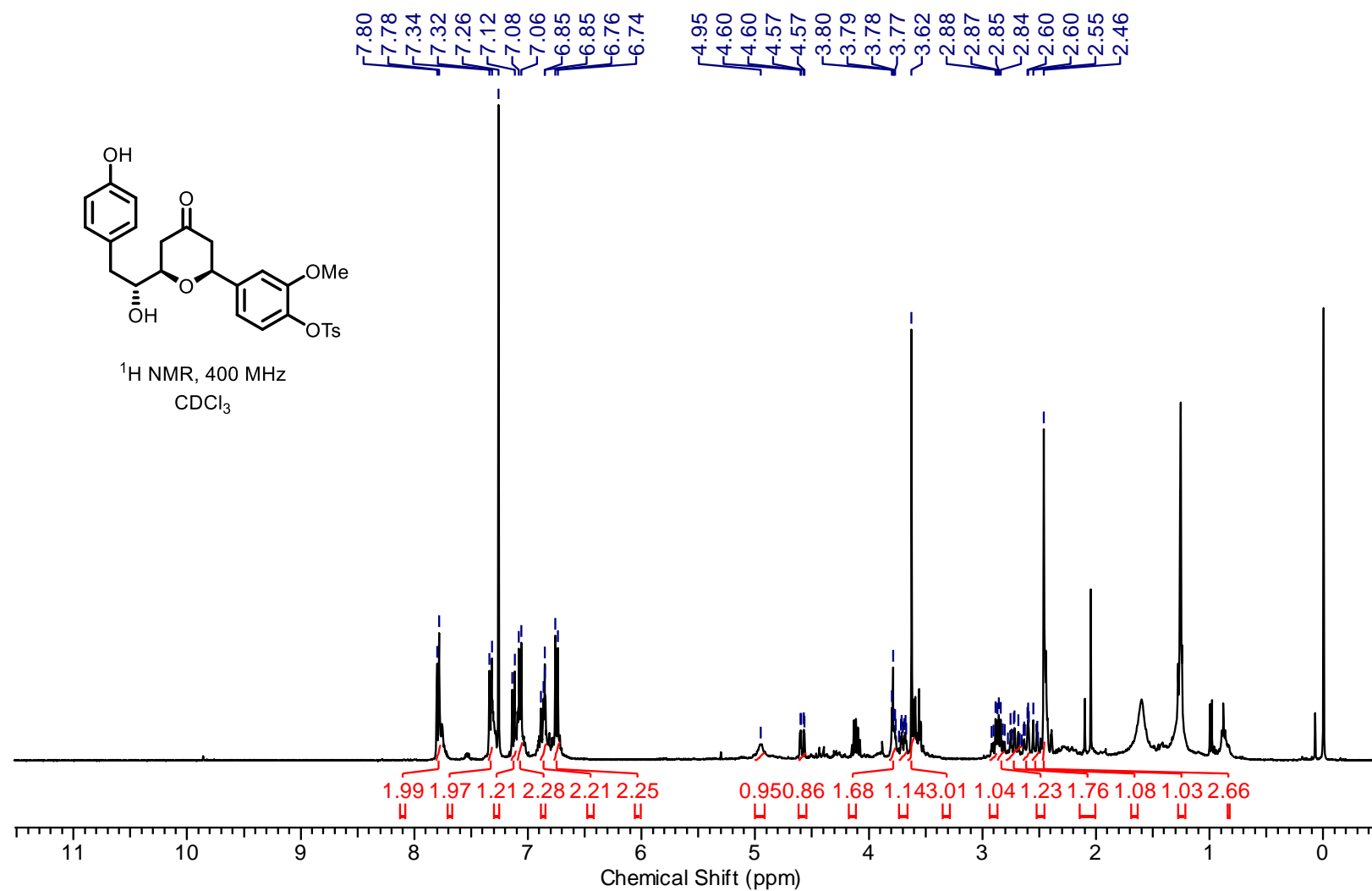
4-((S)-6-((R)-2-(4-((Tert-butyldimethylsilyl)oxy)phenyl)-1-((4-methoxybenzyl)oxy)ethyl)-4-oxo-3,4-dihydro-2H-pyran-2-yl)-2-methoxyphenyl-4-methylbenzenesulfonate (32):



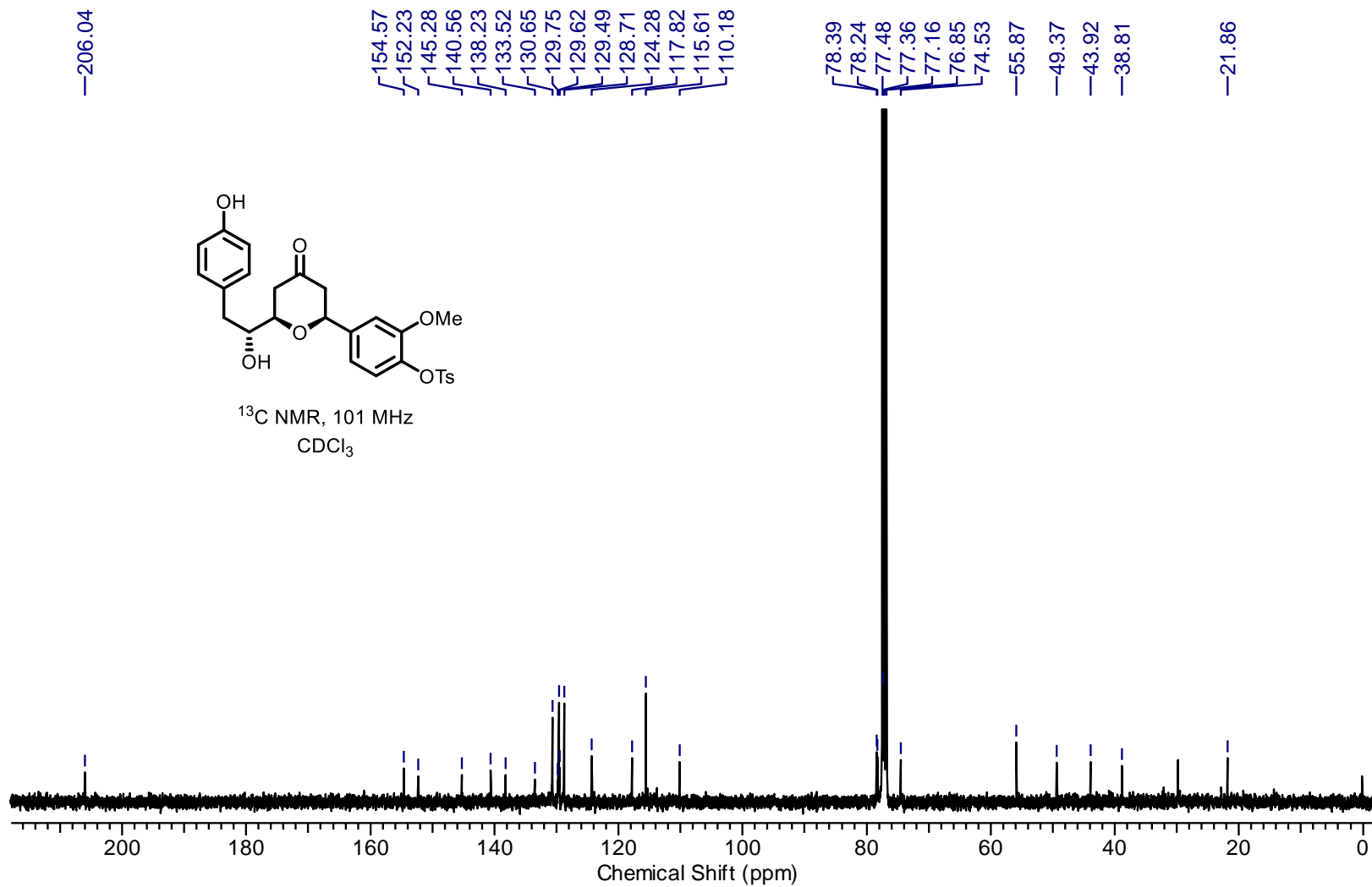
4-((S)-6-((R)-2-(4-((Tert-butyldimethylsilyl)oxy)phenyl)-1-((4-methoxybenzyl)oxy)ethyl)-4-oxo-3,4-dihydro-2H-pyran-2-yl)-2-methoxyphenyl-4-methylbenzenesulfonate (32):



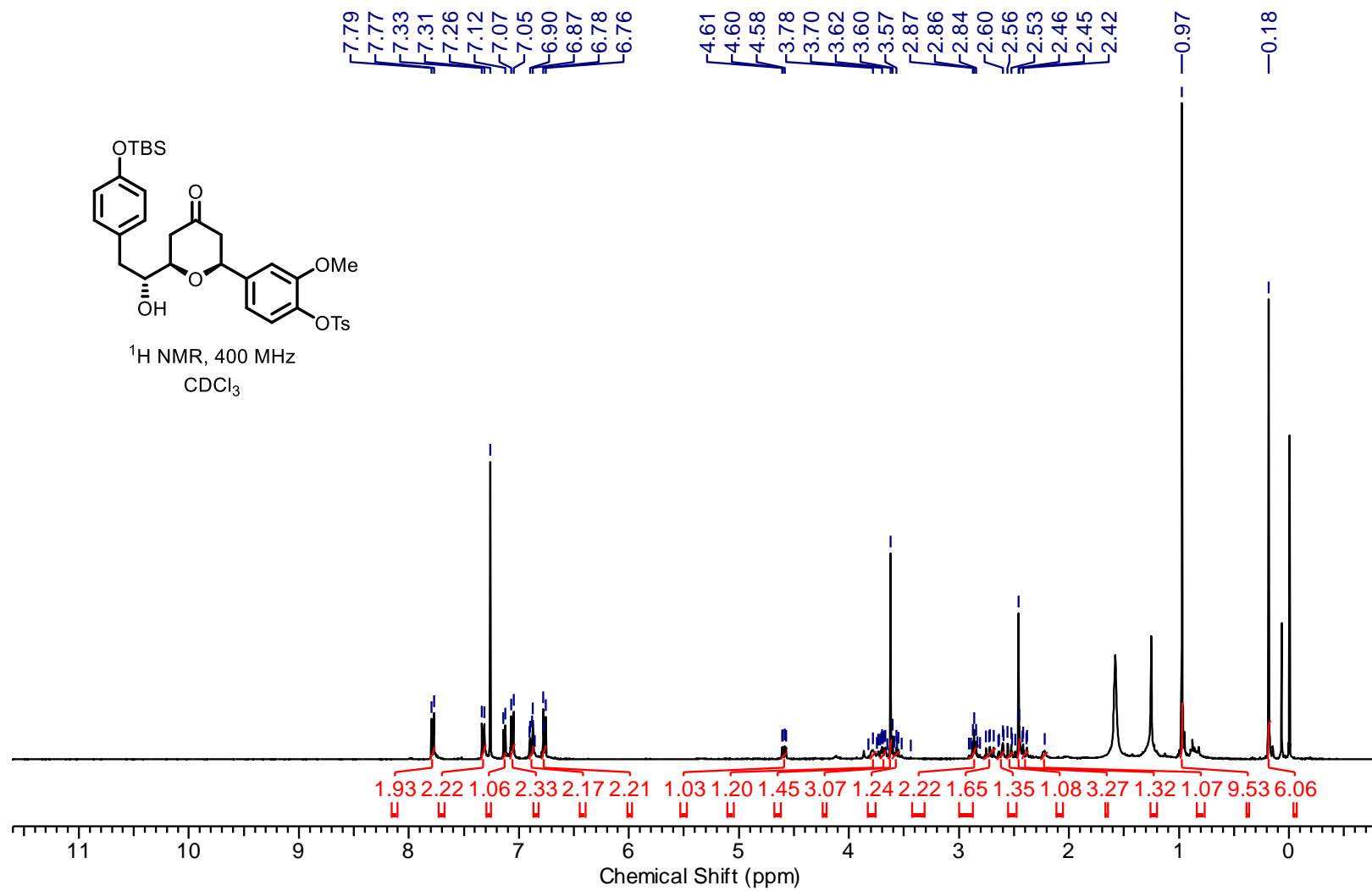
*4-((2*S*, 6*R*)-6-((*R*)-1-Hydroxy-2-(4-hydroxyphenyl)ethyl)-4-oxotetrahydro-2*H*-pyran-2-yl)-2-methoxyphenyl 4-methylbenzenesulfonate (**S10**):*



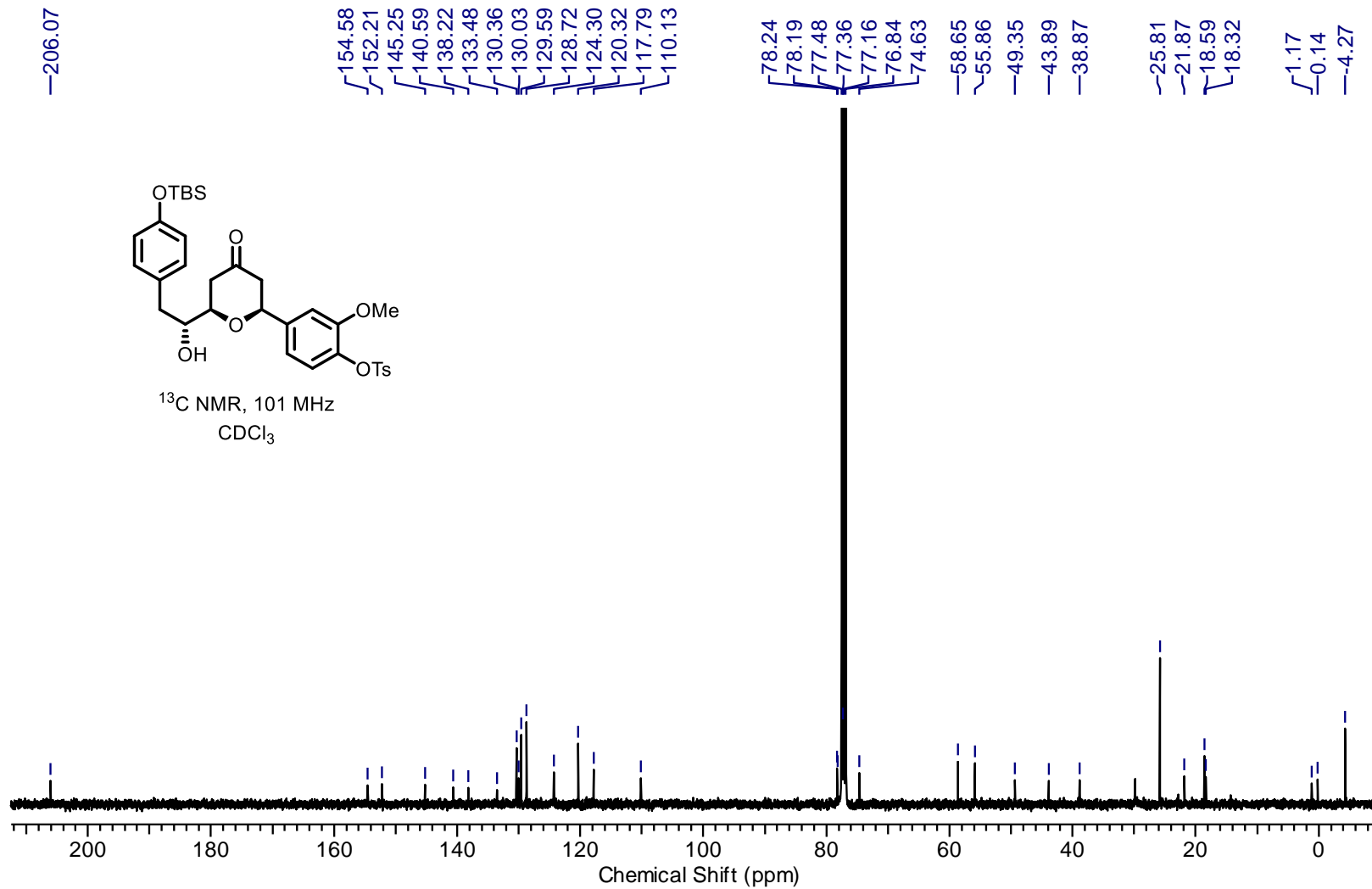
*4-((2*S*, 6*R*)-6-((*R*)-1-Hydroxy-2-(4-hydroxyphenyl)ethyl)-4-oxotetrahydro-2*H*-pyran-2-yl)-2-methoxyphenyl 4-methylbenzenesulfonate (**S10**):*



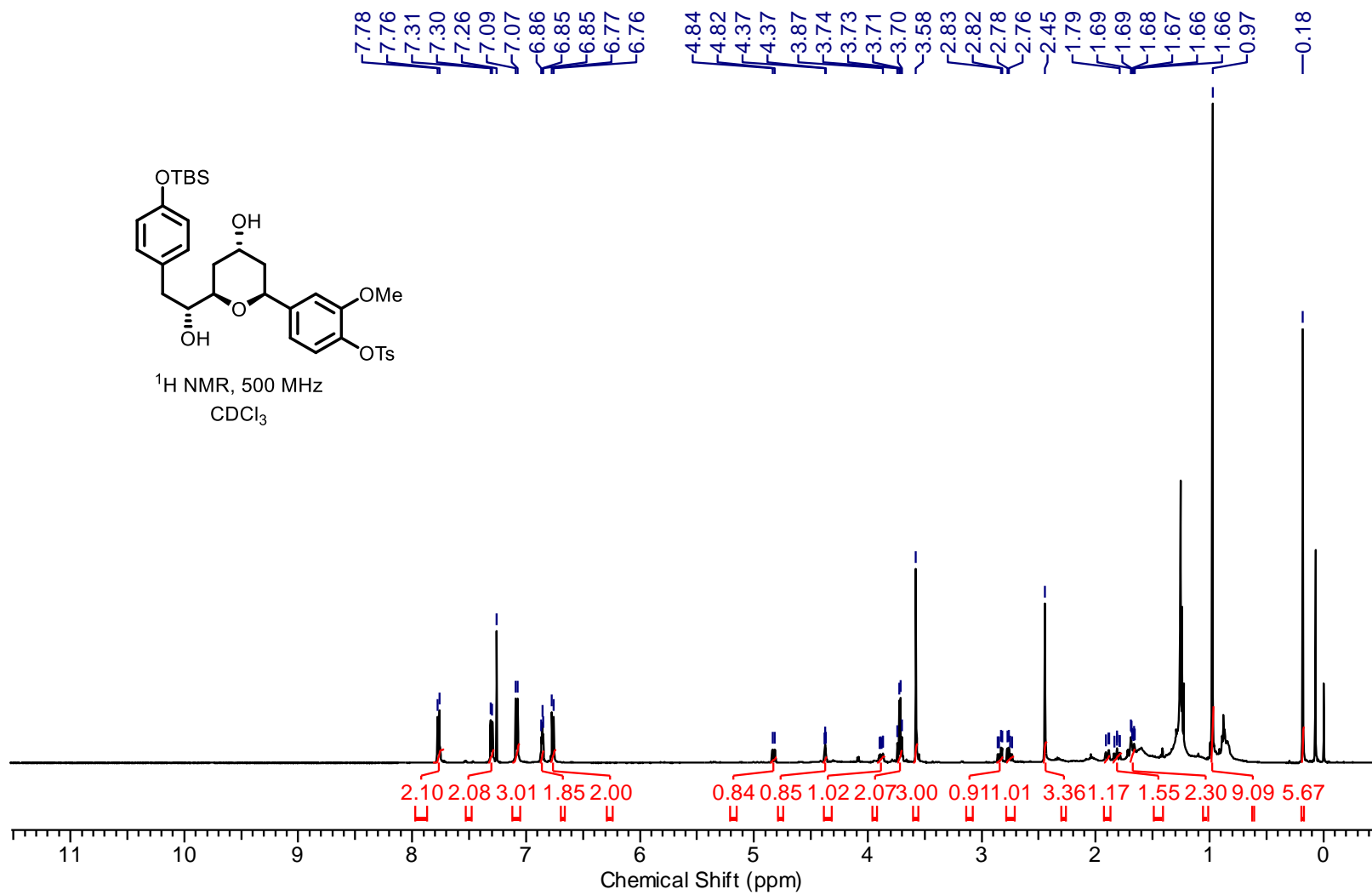
*4-((2*S*, 6*R*)-6-((*R*)-2-(4-((Tert-butyldimethylsilyl)oxy)phenyl)-1-hydroxyethyl)-4-oxotetrahydro-2*H*-pyran-2-yl)-2-methoxyphenyl 4-methylbenzenesulfonate (S11):*



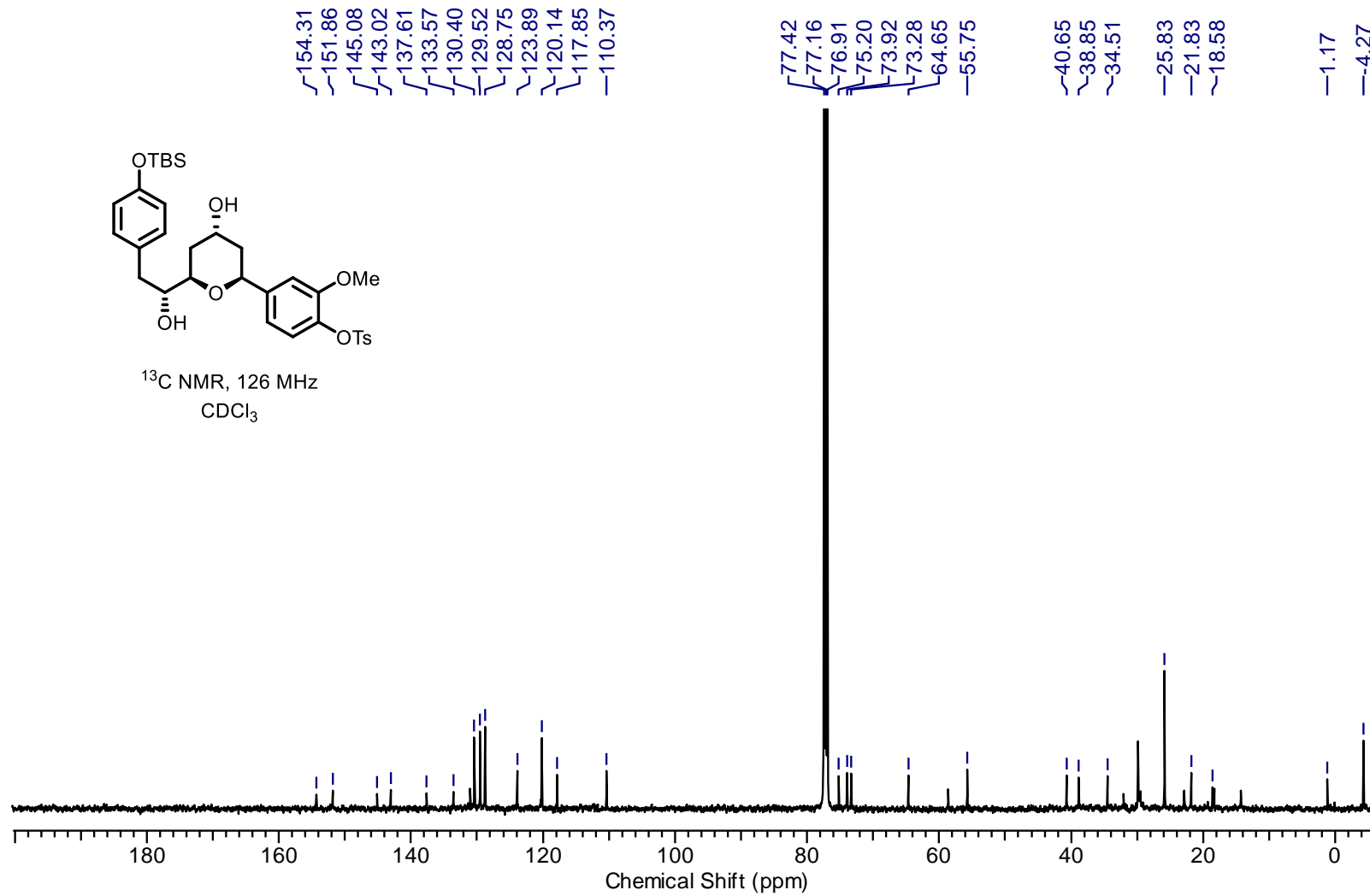
*4-((2*S*, 6*R*)-6-((*R*)-2-(4-((Tert-butyldimethylsilyl)oxy)phenyl)-1-hydroxyethyl)-4-oxotetrahydro-2*H*-pyran-2-yl)-2-methoxyphenyl 4-methylbenzenesulfonate (S11):*



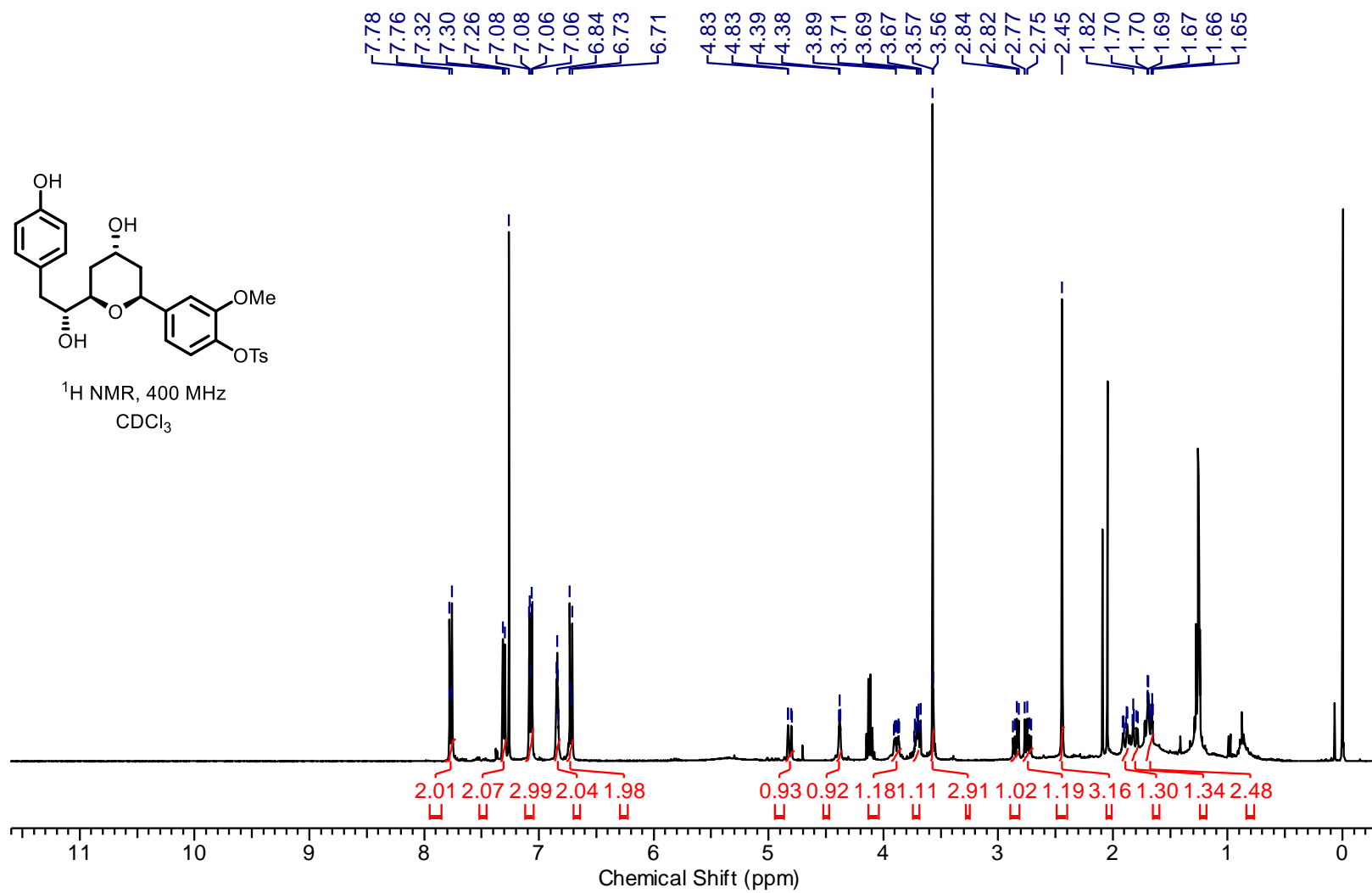
*4-((2*S*, 4*R*, 6*R*)-6-((*R*)-2-(4-((Tert-butyldimethylsilyl)oxy)phenyl)-1-hydroxyethyl)-4-hydroxytetra-hydro-2*H*-pyran-2-yl)-2-methoxyphenyl 4-methylbenzenesulfonate (34):*



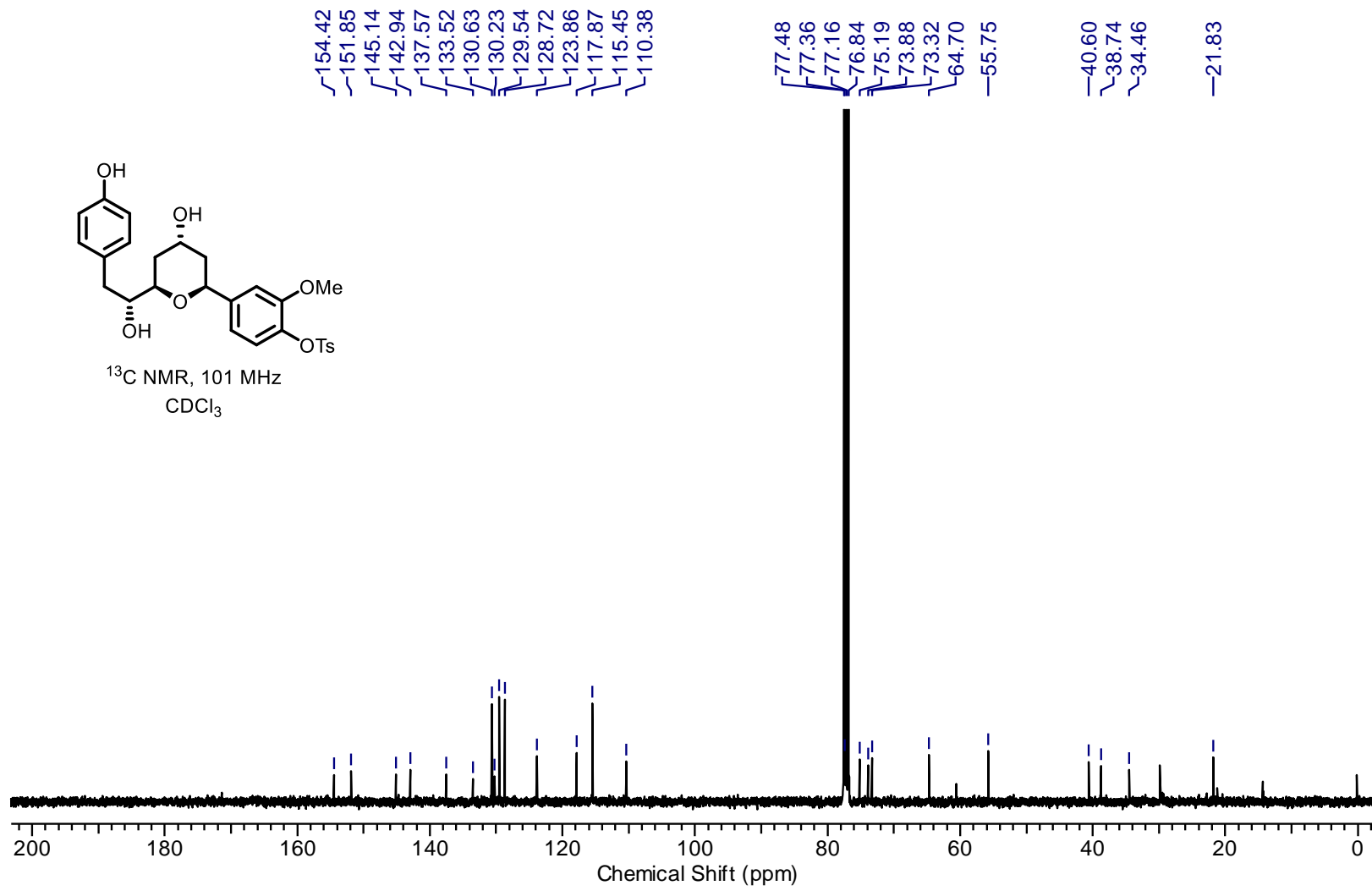
*4-((2*S*, 4*R*, 6*R*)-6-((*R*)-2-(4-((Tert-butyldimethylsilyl)oxy)phenyl)-1-hydroxyethyl)-4-hydroxytetra-hydro-2*H*-pyran-2-yl)-2-methoxyphenyl 4-methylbenzenesulfonate (**34**):*



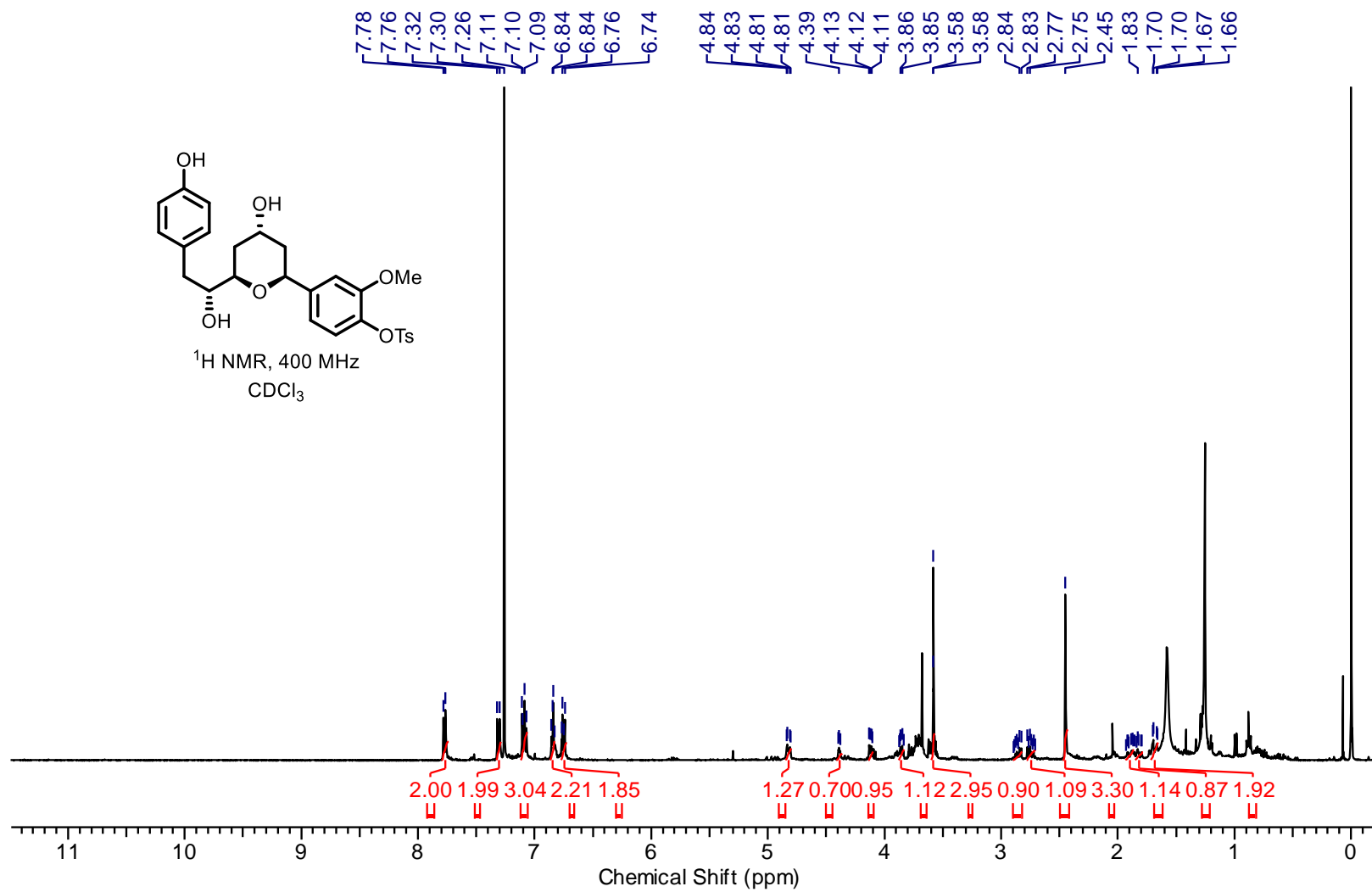
*4-((2*S*, 4*R*, 6*R*)-4-Hydroxy-6-((*R*)-1-hydroxy-2-(4-hydroxyphenyl)ethyl)tetrahydro-2*H*-pyran-2-yl)-2-methoxyphenyl 4-methylbenzenesulfonate (**35**) (using LS-Selectride):*



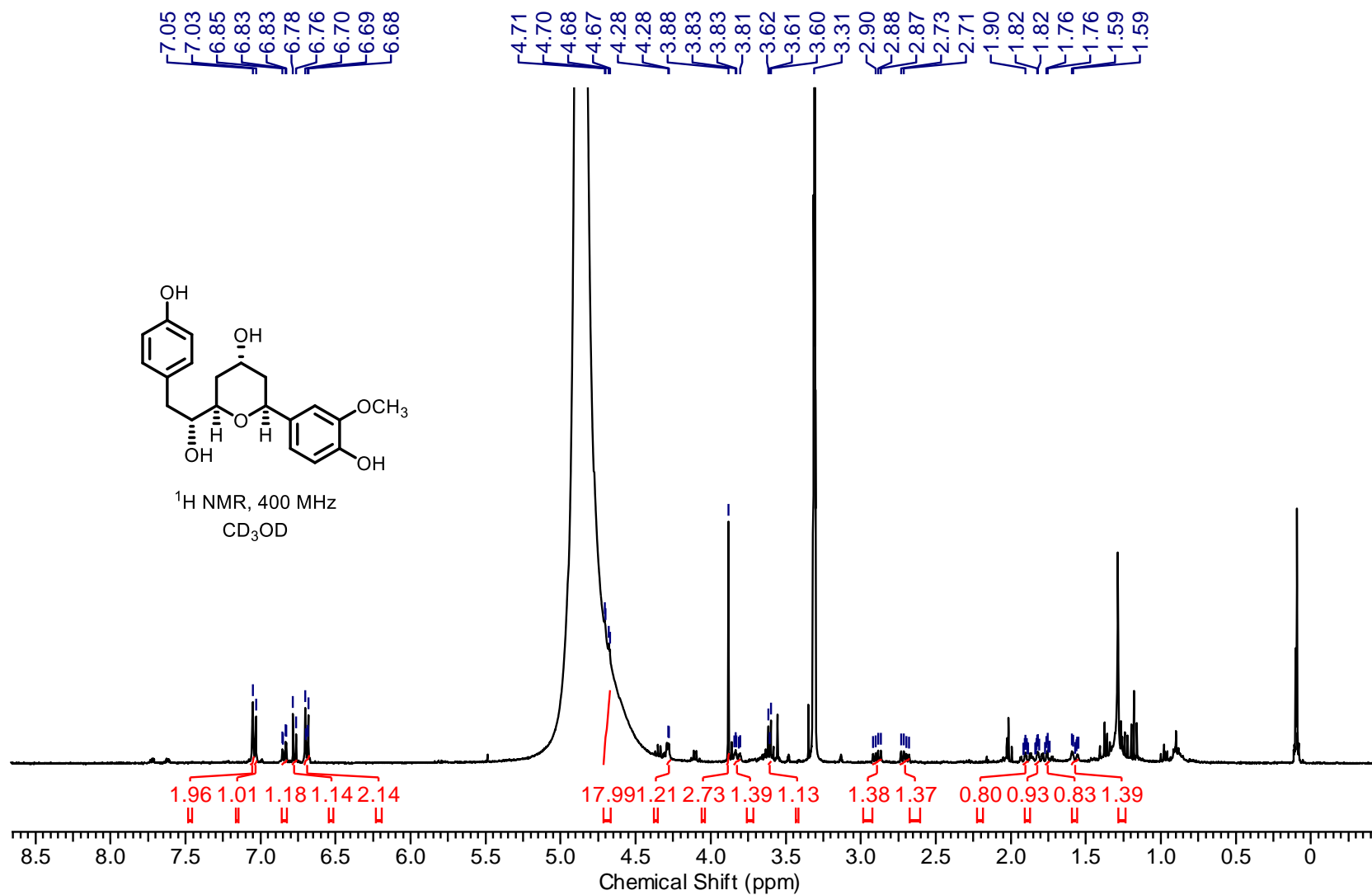
*4-((2*S*, 4*R*, 6*R*)-4-Hydroxy-6-((*R*)-1-hydroxy-2-(4-hydroxyphenyl)ethyl)tetrahydro-2*H*-pyran-2-yl)-2-methoxyphenyl 4-methylbenzenesulfonate (**35**) (using LS-Selectride):*



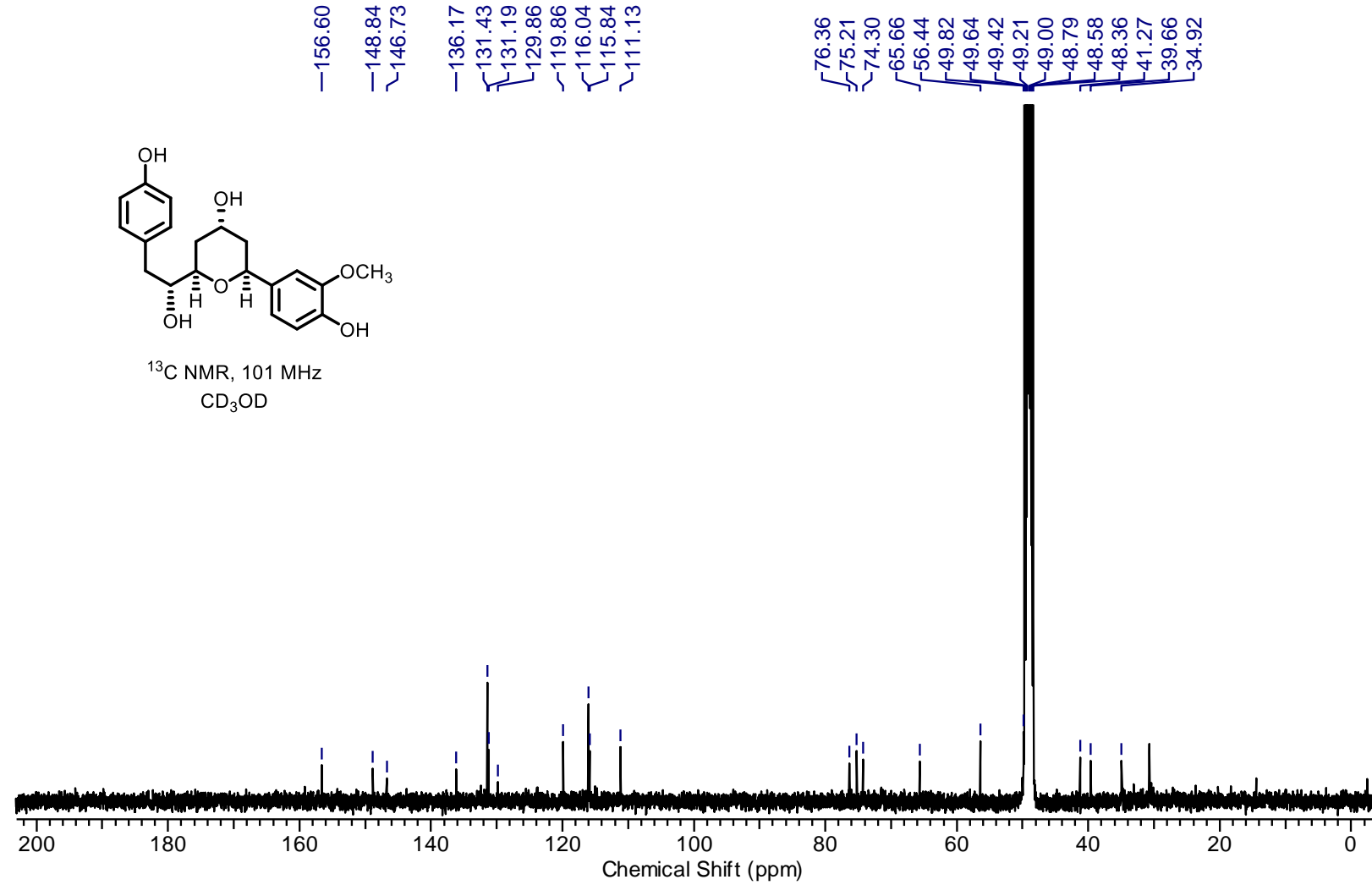
*4-((2*S*, 4*R*, 6*R*)-4-Hydroxy-6-((*R*)-1-hydroxy-2-(4-hydroxyphenyl)ethyl)tetrahydro-2*H*-pyran-2-yl)-2-methoxyphenyl 4-methylbenzenesulfonate (**35**) (using TBAF):*



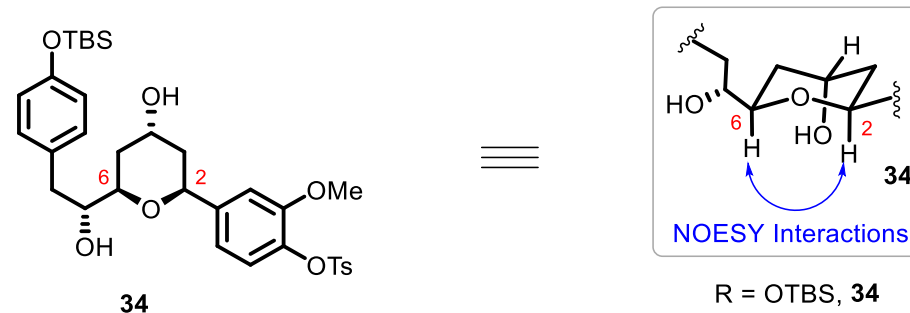
ent-Rhoiptelol B (**3a**):



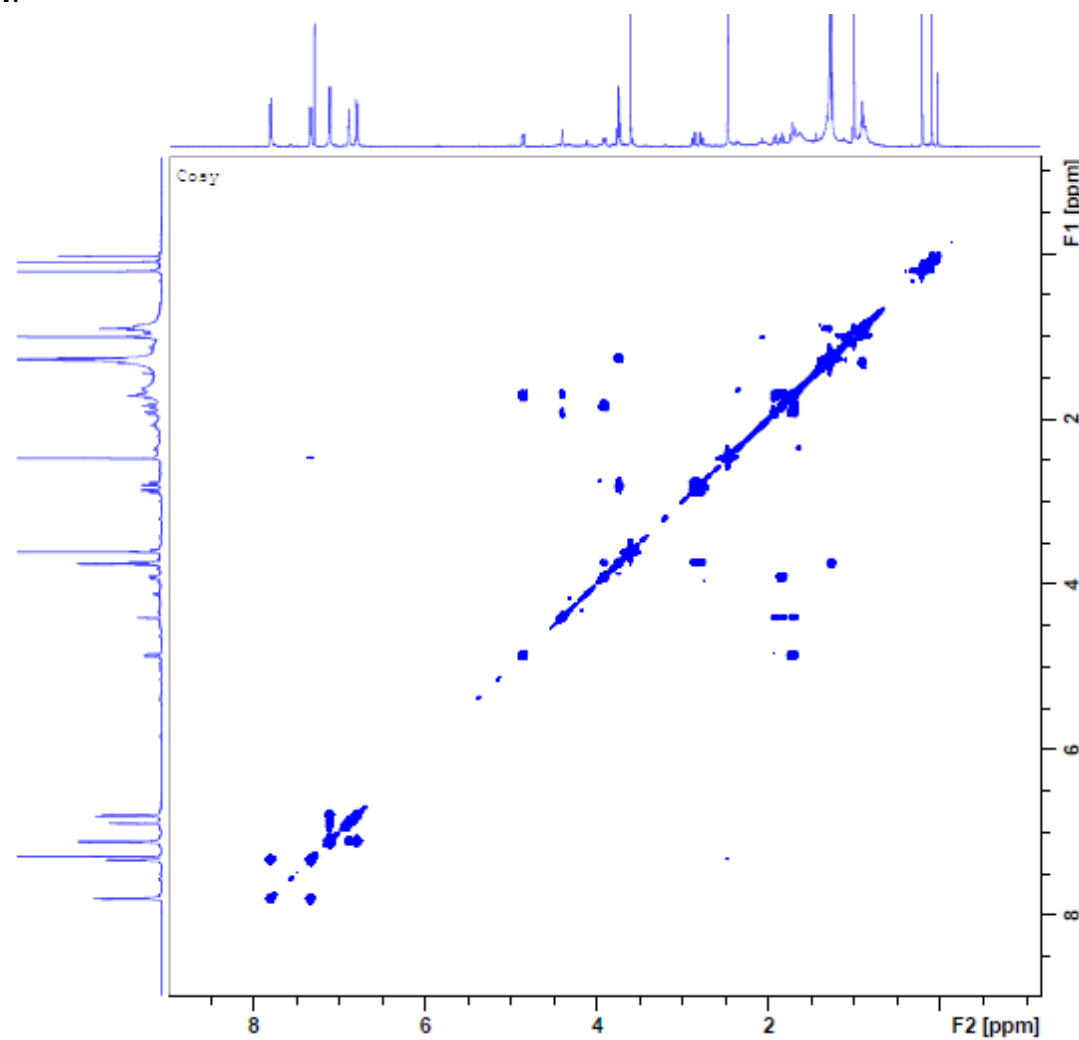
ent-Rhoiptelol B (**3a**):



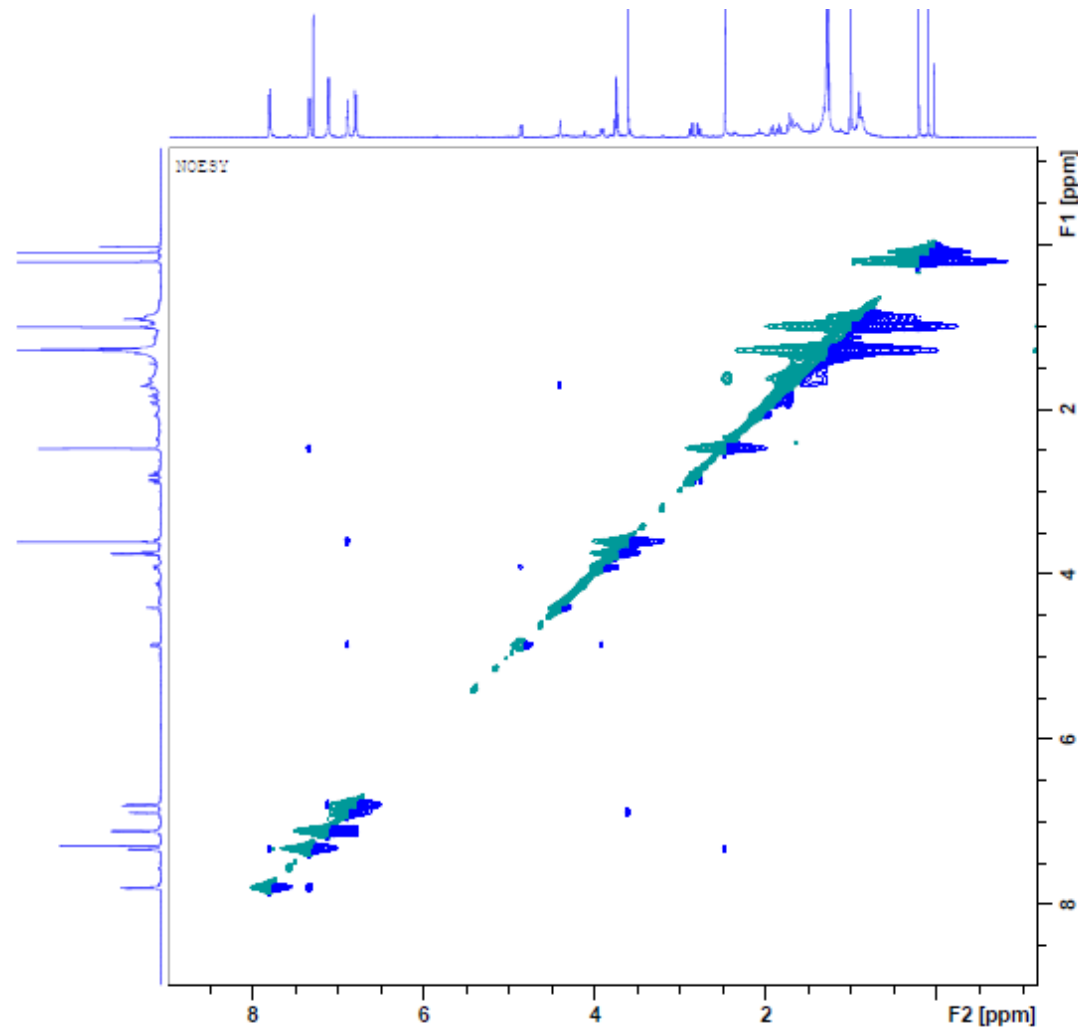
2. 2D-NMR Spectra of 4-((2*S*, 4*R*, 6*R*)-6-((*R*)-2-(4-((tert-butyldimethyl-silyl)oxy)phenyl)-1-hydroxyethyl)-4-hydroxytetrahydro-2*H*-pyran-2-yl)-2-methoxyphenyl 4-methylbenzenesulfonate (**34**):



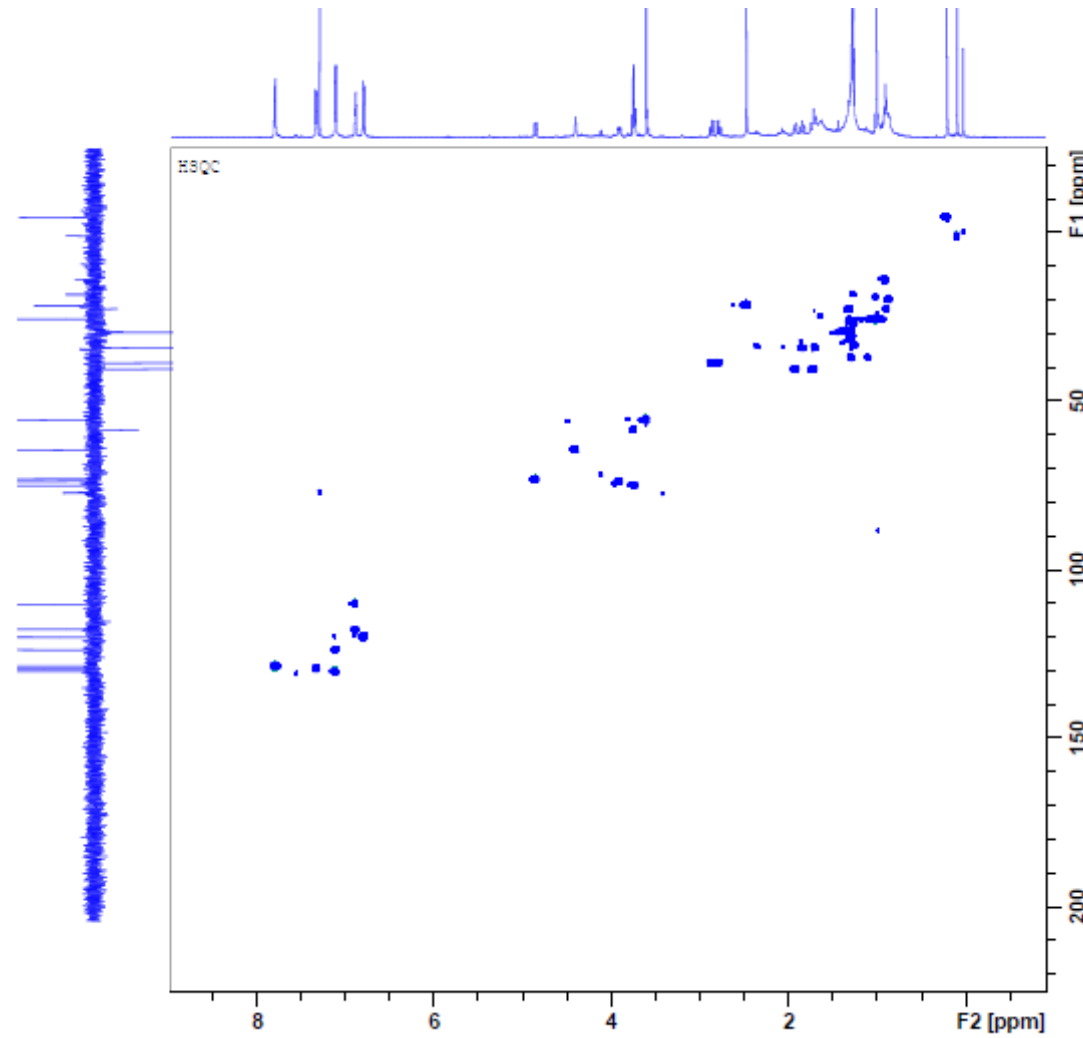
a) COSY spectra of **34**:



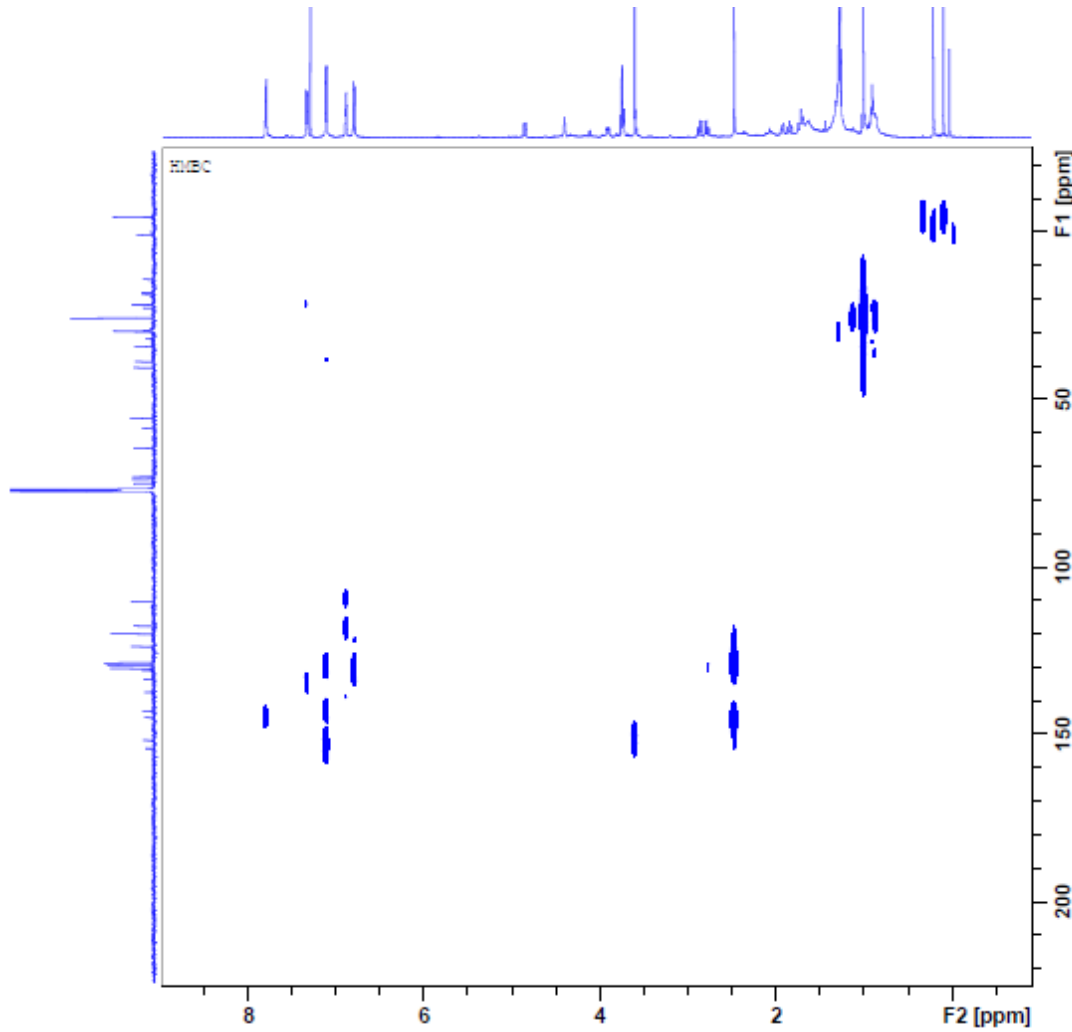
a) NOESY spectra of **34**:



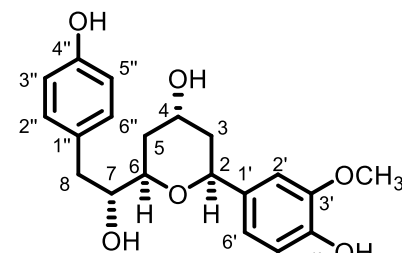
b) HSQC spectra of 34:



c) HMBC spectra of **34**:



3. Table S1. Comparison of NMR data of rhoiptelol B (**3a**) (Our work, Natural (Isolated) and First synthesised)



ent-Rhoiptelol B (3a)

Position	Our Work (<i>ent</i> - Rhoiptelol B)		Natural Rhoiptelol B (Isolated)		First Synthesis of Rhoiptelol B	
	δ_H (J in Hz)	δ_C	δ_H (J in Hz)	δ_C	δ_H (J in Hz)	δ_C
2	4.69 (1H, dd, $J = 2.25, 11.51$ Hz)	75.2	4.69 (1H, dd, $J = 3, 11$ Hz)	75.2 d	4.69 (1H, dd, $J = 11.1, 3.0$ Hz)	75.2
3	1.76 (1H, d, $J = 2.88$ Hz) 1.84-1.80 (1H, m)	41.3	1.75 (1H, ddd, $J = 3, 11, 12$ Hz, <i>ax</i>) 1.84 (1H, dd, $J = 3, 12$ Hz, <i>eq</i>)	41.3 t	1.74 (1H, ddd, $J = 13.9, 11.3, 3.0$ Hz) 1.83 (1H, dd, $J = 14.5, 2.6$ Hz)	41.3
4	4.28 (1H, m)	65.7	4.27 (1H, t, $J = 3$ Hz)	65.6 d	4.27 (1H, t, $J = 3.0$ Hz)	65.7
5	1.57-1.54 (1H, m) 1.92-1.89 (1H, m)	34.9	1.57 (1H, dd, $J = 2, 13$ Hz, <i>eq</i>) 1.89 (1H, dt, $J = 3, 13$ Hz, <i>ax</i>)	34.9 t	1.55 (1H, dd, $J = 13.4, 2.0$ Hz) 1.92 (1H, dd, $J = 13.5, 3.0$ Hz)	35.0
6	3.85-3.82 (1H, m)	74.3	3.82 (1H, dt, $J = 13, 3$ Hz)	74.3 d	3.81 (1H, dt, $J = 12.5, 2.89$ Hz)	74.3
7	3.60-3.57 (1H, m)	76.4	3.60, (1H, dt, $J = 3, 7$ Hz)	76.3d	3.59 (1H, dt, $J = 7.0, 3.2$ Hz)	76.4
8	2.71 (1H, dd, $J = 7.25, 13.26$ Hz) 2.89 (1H, dd, $J = 7.00, 13.66$ Hz)	39.7	2.70 (1H, dd, $J = 7, 13$ Hz) 2.89 (1H, dd, $J = 7, 13$ Hz)	39.7 t	2.69 (1H, dd, $J = 13.4, 7.3$ Hz) 2.89 (1H, dd, $J = 13.4, 6.8$ Hz)	39.7
1'		136.2		136.1 s		136.2
2'	7.05 (2H, br. s)	111.1	7.04 (1H, br s)	111.1 d	7.04 (1H, br. s)	111.1
3'		148.8		148.8 s		148.8

4'		146.7		146.7 s		146.8
5'	6.77 (1H, d, $J = 8.13$ Hz)	115.8	6.77 (1H, d, $J = 8$ Hz)	115.8 d	6.76 (1H, d, $J = 8.1$ Hz)	115.9
6'	6.84 (1H, dd, $J = 1.88, 8.38$ Hz)	119.9	6.84 (1H, dd, $J = 2, 8$ Hz)	119.8 d	6.83 (1H, dd, $J = 8.1, 1.9$ Hz)	119.8
1''		129.9		131.1 s		131.2
2''	7.03 (1H, s)	131.4	7.03 (1H, d, $J = 8$ Hz)	131.4 d	7.03 (2H, d, $J = 8.1$ Hz)	131.4
3''	6.71-6.68 (2H, m)	116.0	6.69 (1H, d, $J = 8$ Hz)	116.0 d	6.68 (2H, d, $J = 8.1$ Hz)	116.0
4''		156.6		156.6 s		156.7
5''		115.8	6.69 (1H, d, $J = 8$ Hz)	116.0 d		116.0
6''		131.4	7.03 (1H, d, $J = 8$ Hz)	131.4 d		131.5
OMe	3.88 (3H, s)	56.4	3.87 (3H, s)	56.4 q	3.87 (1H, s)	56.4

THE END